

島根原子力発電所第2号機 審査資料	
資料番号	NS2-補-027-10-93 改 02
提出年月日	2023年5月10日

仮設耐震構台の耐震性についての計算書に関する  
補足説明資料

2023年5月

中国電力株式会社

本資料のうち、枠囲みの内容は機密に係る事項のため公開できません。

## 目 次

1. 評価方法	1
2. 評価条件	1
2.1 適用規格	1
2.2 構造概要	3
2.3 評価対象断面の選定	12
2.4 使用材料及び材料の物性値	15
2.5 地盤物性値	16
2.6 評価対象部位	17
2.7 地下水位	24
2.8 耐震評価フロー	25
3. 地震応答解析	27
3.1 地震応答解析手法	27
3.2 地震応答解析モデルの設定	29
3.2.1 解析モデル領域	29
3.2.2 境界条件	30
3.2.3 構造物のモデル化	33
3.2.4 隣接構造物等のモデル化	45
3.2.5 地盤，置換コンクリート，埋戻コンクリート及びMMRのモデル化	45
3.2.6 地震応答解析モデル	48
3.2.7 ジョイント要素の設定	50
3.3 減衰定数	54
3.4 荷重及び荷重の組合せ	63
3.4.1 外水圧	64
3.4.2 積雪荷重	64
3.5 地震応答解析の解析ケース	65
3.5.1 耐震評価における解析ケース	65

4.	評価内容	66
4.1	入力地震動の設定	66
4.2	許容限界の設定	81
4.2.1	主桁，受桁，水平材，斜材及び支持杭に対する許容限界	85
4.2.2	支承部に対する許容限界	88
4.2.3	固定ボルトに対する許容限界	89
4.2.4	溶接部に対する許容限界	90
4.2.5	橋台（東側）に対する許容限界	90
4.2.6	置換コンクリート（西側）に対する許容限界	90
4.2.7	基礎地盤の支持性能に対する許容限界	91
4.2.8	構造物間の相対変位に対する許容限界	91
5.	評価方法	92
5.1	施設の損傷，転倒及び落下等による影響評価方法	92
5.1.1	構造部材の健全性に対する評価方法	92
5.1.2	基礎地盤の支持性能に対する評価方法	95
5.2	構造物間の相対変位による影響評価方法	95
5.2.1	相対変位による評価方法	95
6.	評価結果	96
6.1	施設の損傷，転倒及び落下等による影響評価結果	96
6.1.1	構造部材の健全性に対する評価結果	96
6.1.2	基礎地盤の支持性能に対する評価結果	125
6.2	構造物間の相対変位による影響評価結果	129
6.2.1	相対変位による評価結果	129
7.	まとめ	131

- (参考資料 1) A-A断面を評価対象断面とする妥当性確認について
- (参考資料 2) 評価対象断面以外の耐震性評価について
- (参考資料 3) 仮設耐震構台と低圧原子炉代替注水ポンプ格納槽との間の埋戻コンクリートの安定性確認について
- (参考資料 4) 主桁間の横構及び対傾構を剛はりとすることの妥当性確認について
- (参考資料 5) 桁受を剛はり要素とすることの妥当性確認について
- (参考資料 6) 道路橋示方書の網羅性と評価対象部位の選定の考え方について
- (参考資料 7) 減衰定数の設定について
- (参考資料 8) 可搬型重大事故等対処設備の通行性について
- (参考資料 9) 橋台（東側）の安定性について
- (参考資料 10) 置換コンクリート（西側）と水平材及び斜材を接合するアンカーボルトの健全性について



## 1. 評価方法

仮設耐震構台については、VI-2-11-1「波及的影響を及ぼすおそれのある下位クラス施設の耐震評価方針」に基づき、仮設耐震構台が上位クラス施設である原子炉建物、第1ベントフィルタ格納槽、第1ベントフィルタ格納槽遮蔽及び低圧原子炉代替注水ポンプ格納槽に対して、波及的影響を及ぼさないことを確認する。

その波及的影響の評価は、上位クラス施設の有する機能が保持されることを確認するために、基準地震動  $S_s$  を用いた地震応答解析を行い、施設の損傷、転倒及び落下等による影響では、仮設耐震構台の構造部材の健全性評価及び基礎地盤の支持性能評価を、構造物間の相対変位による影響では、原子炉建物、第1ベントフィルタ格納槽、第1ベントフィルタ格納槽遮蔽及び低圧原子炉代替注水ポンプ格納槽のうち、仮設耐震構台との離隔距離が最小となる低圧原子炉代替注水ポンプ格納槽を対象とし、衝突の有無を確認する。

また、仮設耐震構台は、安全対策工事に伴い掘削した箇所のアクセスルートを確保するために設置することから、VI-1-1-7-別添1「可搬型重大事故等対処設備の保管場所及びアクセスルート」に基づき、基準地震動  $S_s$  による地震動に対して耐震評価を実施し、屋外アクセスルートに影響を及ぼさないことを確認する。

なお、仮設耐震構台の周辺他で安全対策工事に伴う掘削を実施中であるため、本資料においては、掘削後の状態を前提とする。

## 2. 評価条件

### 2.1 適用規格

仮設耐震構台の耐震評価にあたっては、道路橋示方書・同解説（Ⅰ共通編）（日本道路協会平成14年3月）、コンクリート標準示方書〔構造性能照査編〕（土木学会2002年制定）、コンクリート標準示方書〔設計編〕（土木学会、2017年制定）及び原子力発電所耐震設計技術指針 J E A G 4 6 0 1 -1987（社団法人 日本電気協会 電気技術基準調査委員会）を適用するが、構造部材の曲げ・軸力系及びせん断破壊の許容限界については、道路橋示方書・同解説（Ⅱ鋼橋編）（日本道路協会平成14年3月）、道路橋示方書・同解説（Ⅱ鋼橋編）（日本道路協会平成24年3月）、道路橋示方書・同解説（Ⅴ耐震設計編）（日本道路協会平成14年3月）、コンクリート標準示方書〔構造性能照査編〕（土木学会、2002年）、及びコンクリート標準示方書〔ダムコンクリート編〕（土木学会、2013年）を適用する。

表2-1に適用する規格、基準類を示す。

表 2-1 適用する規格, 基準類

項目	適用する規格, 基準類	備考	確認項目
使用材料及び材料定数	道路橋示方書・同解説 (I 共通編) (日本道路協会平成 14 年 3 月)	鋼材の材料諸元 ( $\gamma$ , E, $\nu$ )	
	コンクリート標準示方書 [構造性能照査編] (土木学会 2002 年制定)	鉄筋コンクリートの材料諸元 ( $\gamma$ , E, $\nu$ )	
	コンクリート標準示方書 [設計編] (土木学会, 2017 年制定)	コンクリートの材料定数 (材料非線形解析によるせん断耐力の算定)	
荷重及び荷重の組み合わせ	コンクリート標準示方書 [構造性能照査編] (土木学会 2002 年制定)	永久荷重, 偶発荷重等の適切な組み合わせを検討	
許容限界	道路橋示方書・同解説 (II 鋼橋編) (日本道路協会平成 14 年 3 月)	主桁, 受桁, 水平材, 斜材及び支持杭に発生する応力 (曲げ軸力, せん断力) が許容限界を超えないことを確認	構造強度を有すること
	道路橋示方書・同解説 (II 鋼橋編) (日本道路協会平成 24 年 3 月)		
	道路橋示方書・同解説 (V 耐震設計編) (日本道路協会平成 14 年 3 月)		
	コンクリート標準示方書 [構造性能照査編] (土木学会, 2002 年)	構台 (東側) に発生する応力 (曲げ軸力, せん断力) 及び置換コンクリート (西側) に発生する応力 (引張応力) が許容限界を超えないことを確認	構造強度を有すること
	コンクリート標準示方書 [ダムコンクリート編] (土木学会, 2013 年)	置換コンクリート (西側) に発生する応力 (せん断力) が許容限界を超えないことを確認	構造強度を有すること
地震応答解析	原子力発電所耐震設計技術指針 J E A G 4 6 0 1 -1987 (社団法人日本電気協会 電気技術基準調査委員会)	有限要素法による二次元モデルを用いた時刻歴非線形解析	

## 2.2 構造概要

仮設耐震構台の平面規模は、南側長辺方向で約 65m、短辺方向で約 9m、北側長辺方向で約 14m、短辺方向で約 11m であり、主桁、桁受、受桁、水平材、斜材及び支持杭により構成され、主桁に締結された覆工板による床面を有する鉄骨構造物であり、十分な支持性能を有する岩盤に設置されている。なお、支持杭の岩盤部への根入れについては、プレボーリングを行い、根固めコンクリートを打設している。

仮設耐震構台の位置図を図 2-1 に、評価対象断面位置図を図 2-2 に、概略断面図を図 2-3 に、仮設耐震構台と各上位クラス施設との離隔距離を表 2-2 及び図 2-4 に、支持杭の根入れ部の概要図を図 2-5 に示す。



図 2-1 (1) 仮設耐震構台 位置図

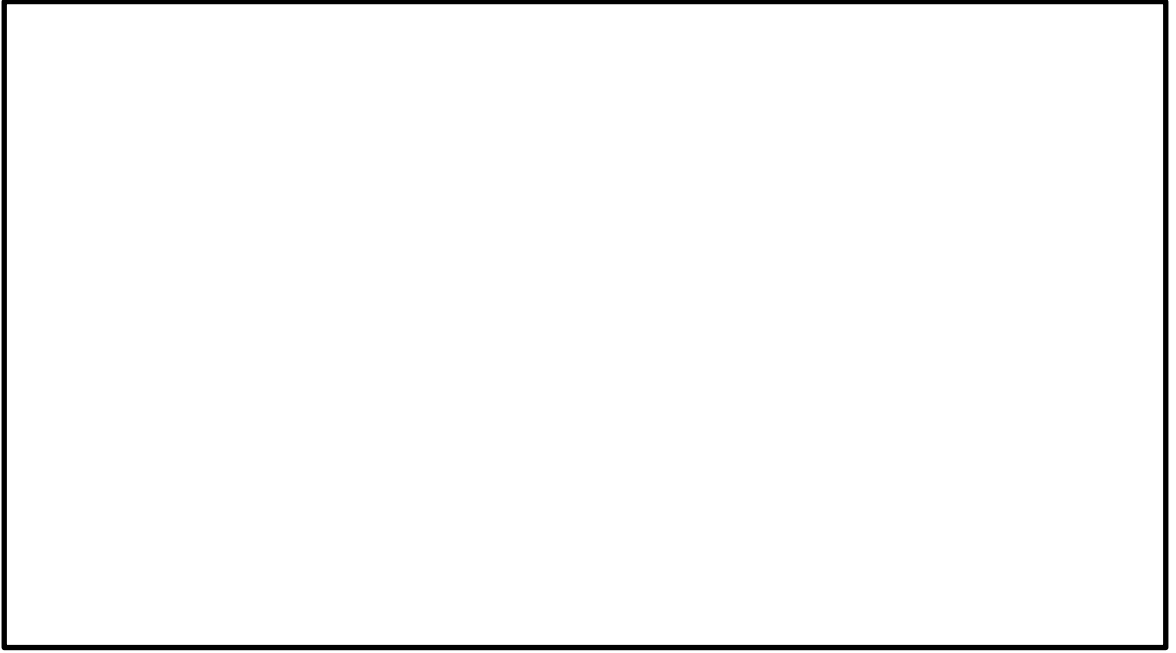


図 2-1 (2) 仮設耐震構台 位置図

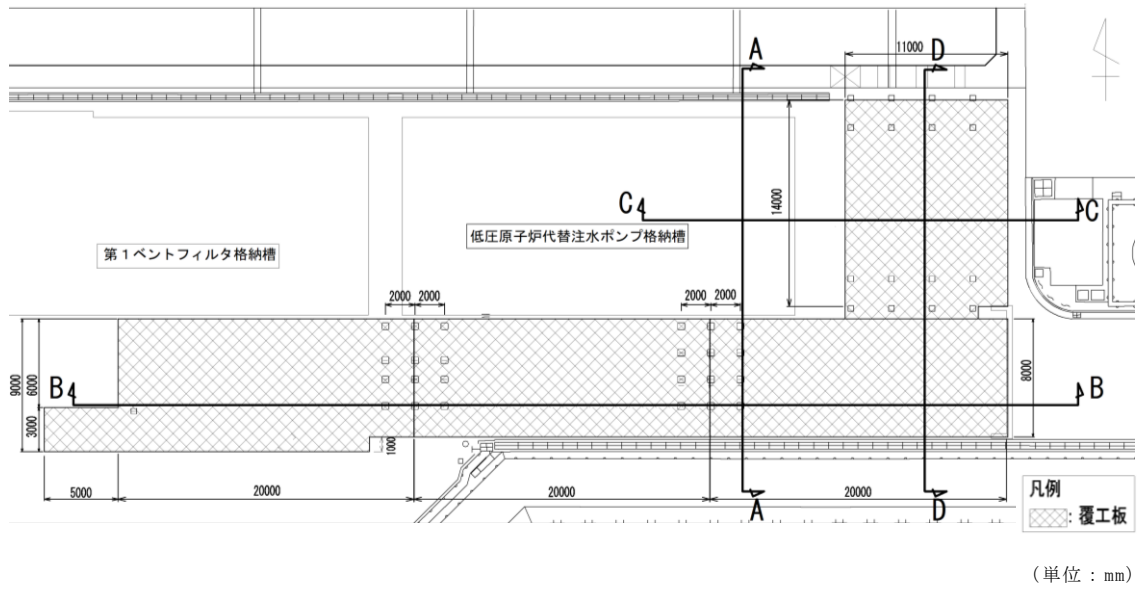
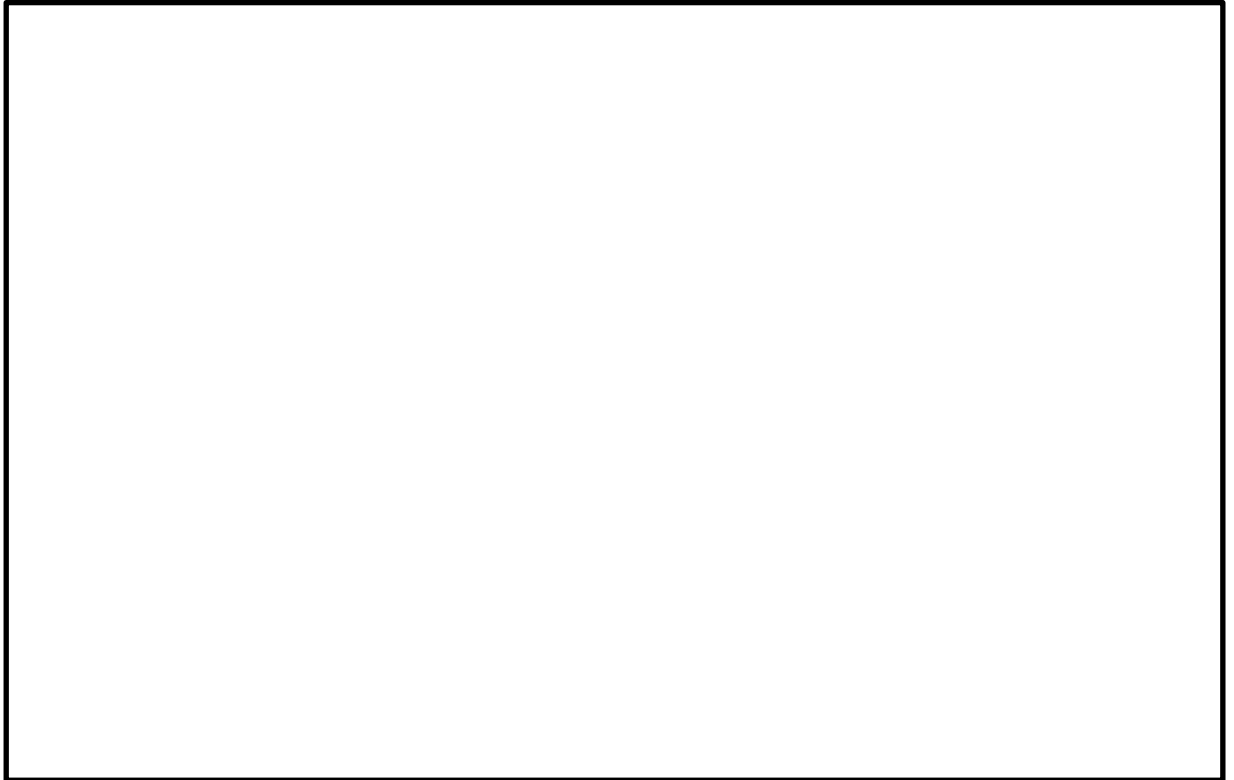
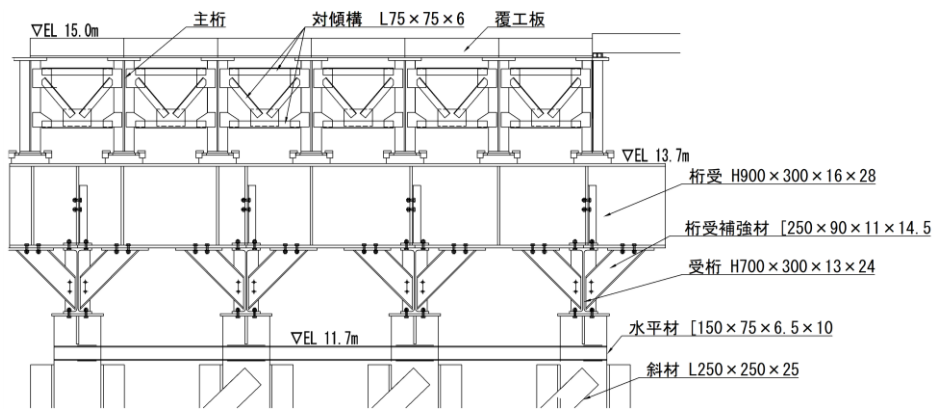


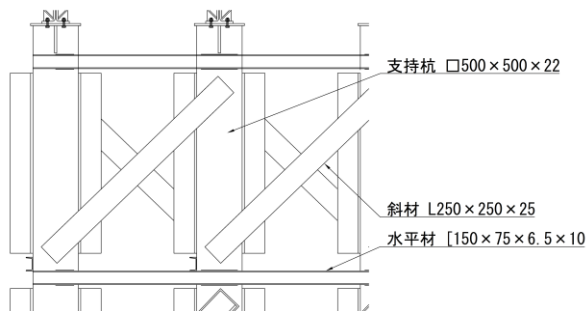
図 2-2 仮設耐震構台 評価対象断面位置図



(A-A断面 (南北方向))



上部工詳細 (A-A断面 ①部)

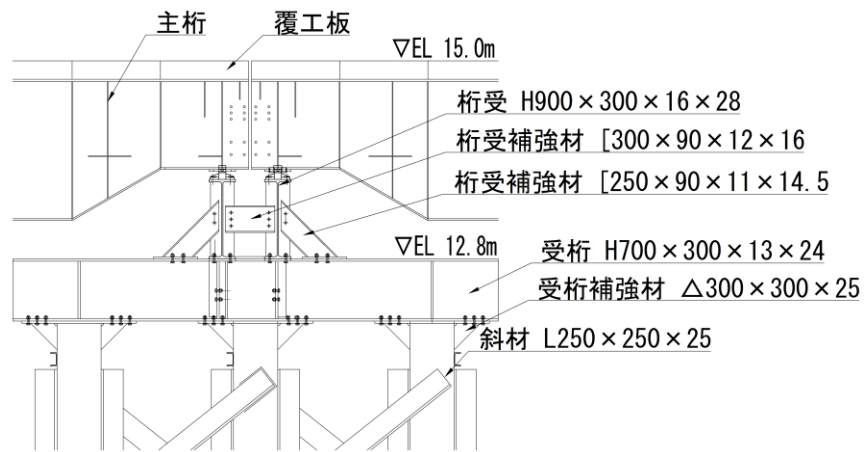


下部工詳細 (A-A断面 ②部)

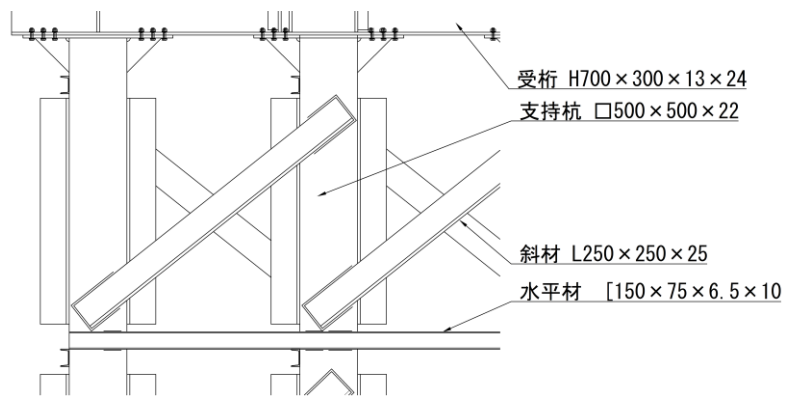
図 2-3 (1) 仮設耐震構台 概略断面図



(B-B断面 (東西方向))

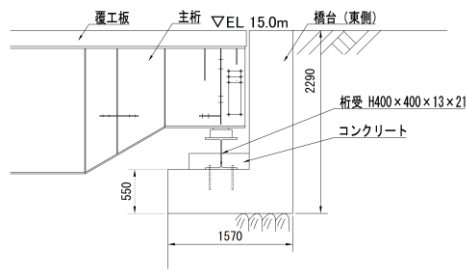


上部工詳細 (B-B断面 ③部)



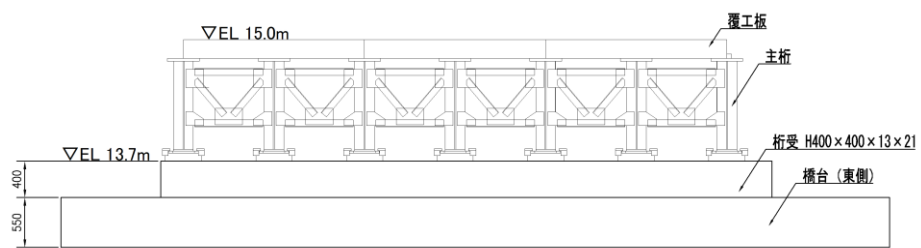
下部工詳細 (B-B断面 ④部)

図 2-3 (2) 仮設耐震構台 概略断面図



(単位：mm)

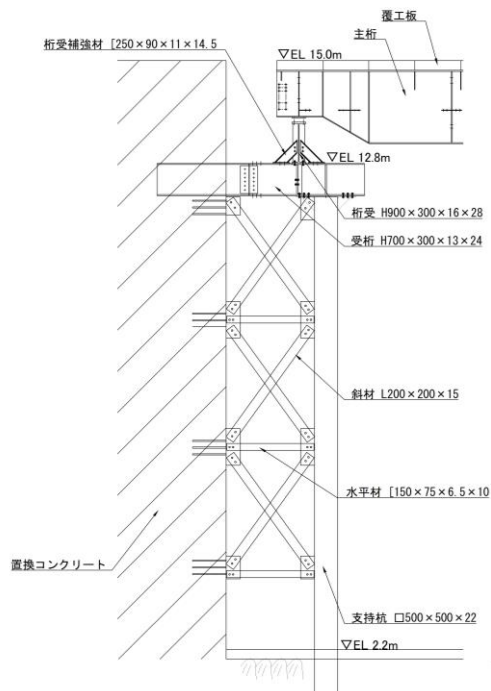
(断面図)



(単位：mm)

(正面図)

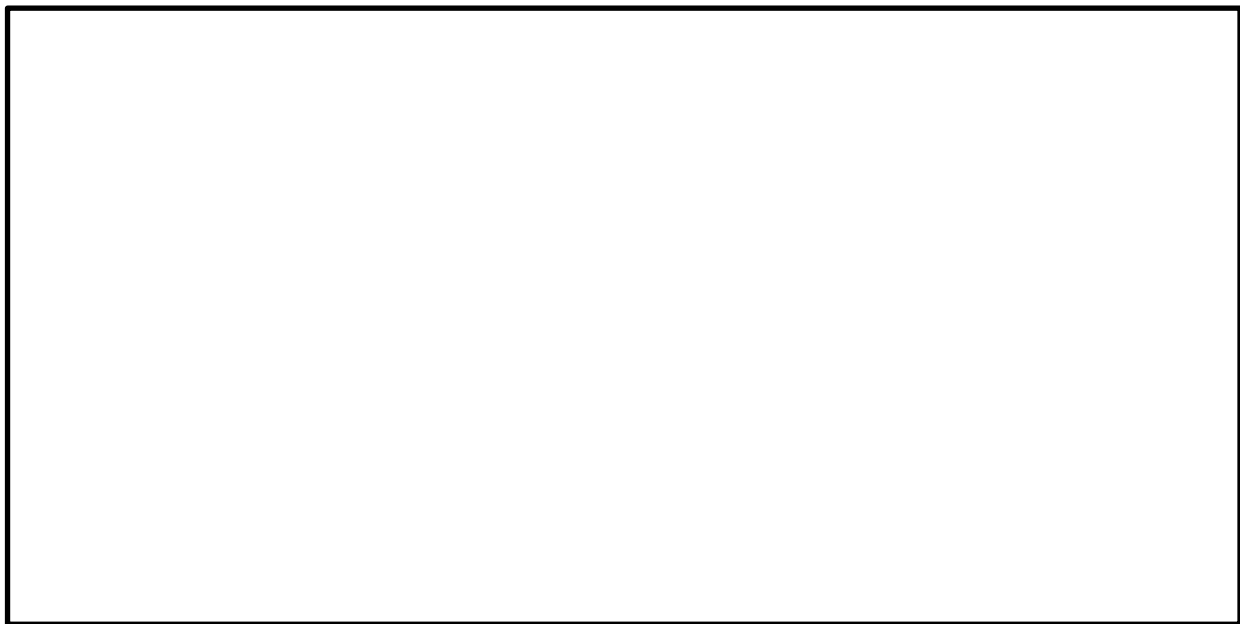
橋台（東側）詳細（B-B断面 ⑤部）



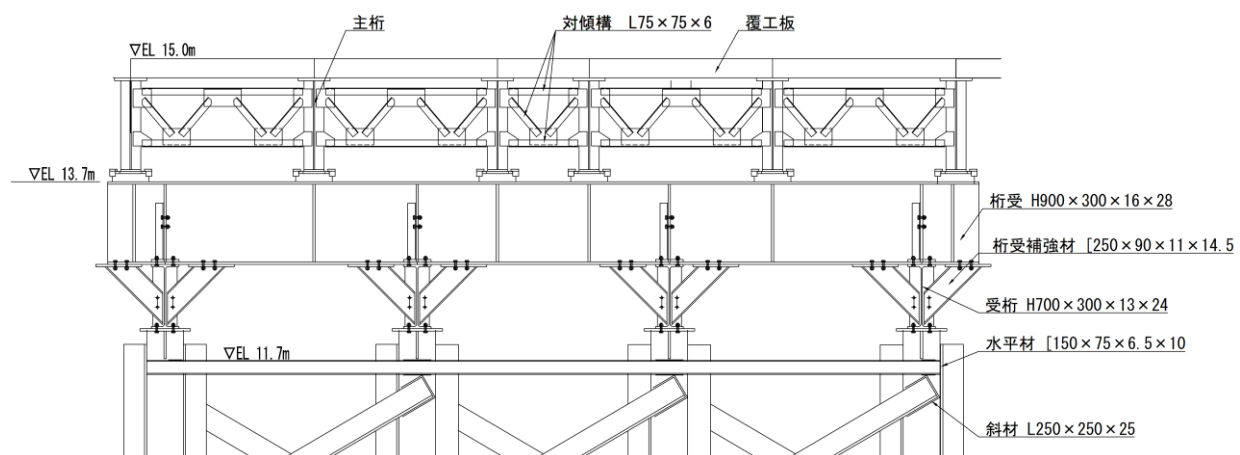
置換コンクリート（西側）詳細（B-B断面 ⑥部）

図2-3(3) 仮設耐震構台 概略断面図

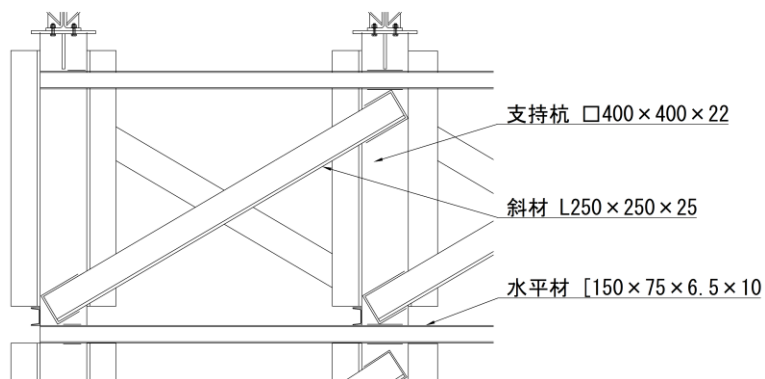




(C-C断面 (東西方向))

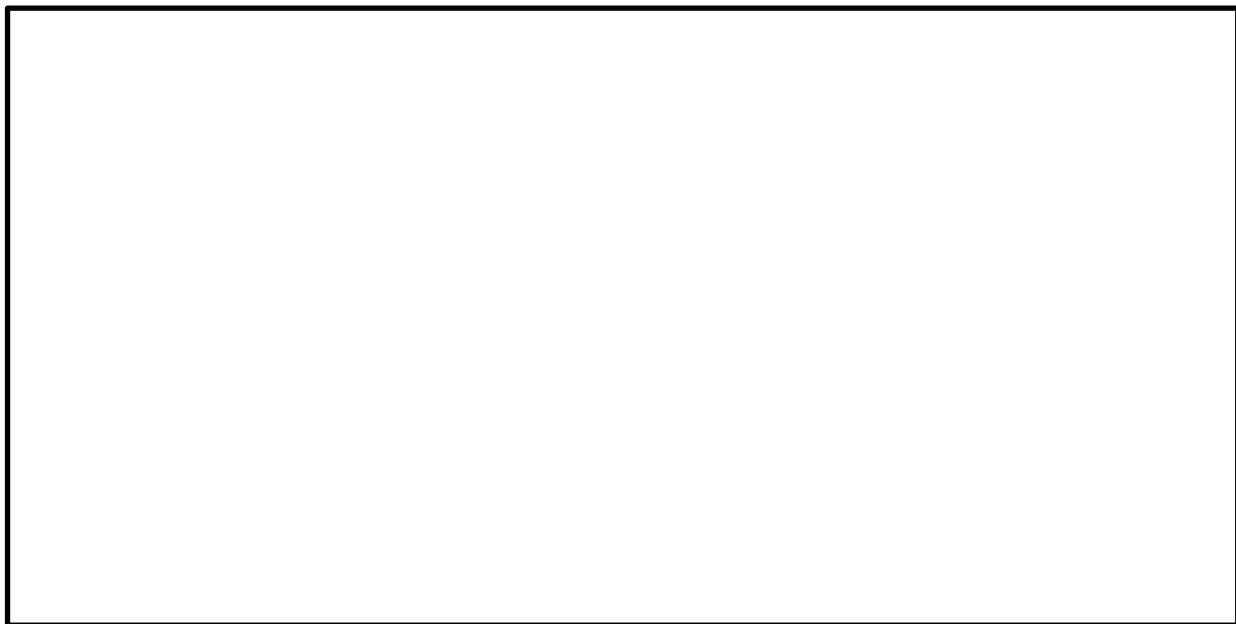


上部工詳細 (C-C断面 ⑦部)

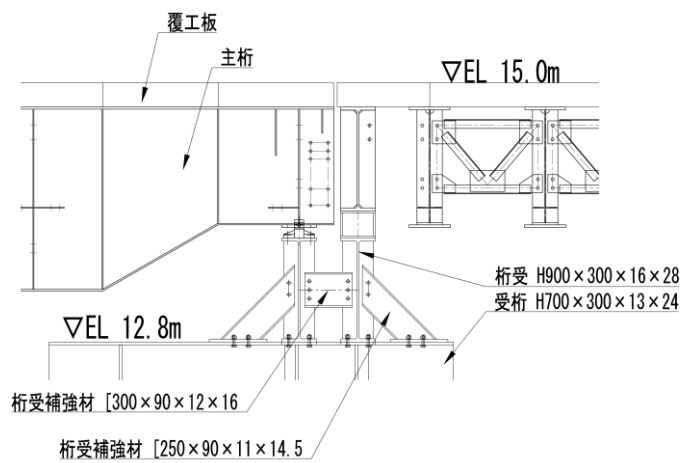


下部工詳細 (C-C断面 ⑧部)

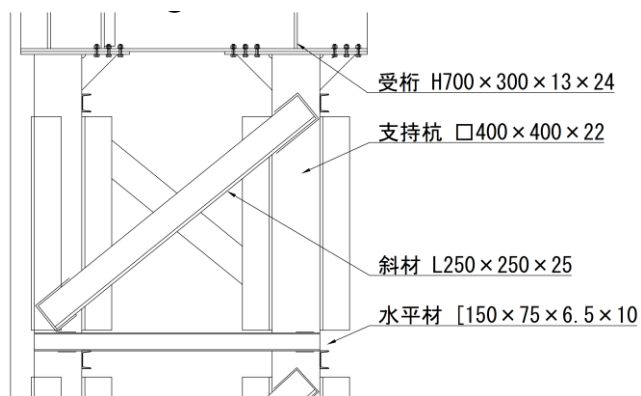
図 2-3 (4) 仮設耐震構台 概略断面図



(D-D断面 (南北方向))



上部工詳細 (D-D断面 ⑨部)



下部工詳細 (D-D断面 ⑩部)

図 2-3 (5) 仮設耐震構台 概略断面図

表 2-2 仮設耐震構台と各上位クラス施設との離隔距離一覧

	離隔距離 (mm)
仮設耐震構台と原子炉建物	200
仮設耐震構台と第1ベントフィルタ格納槽	95
仮設耐震構台と第1ベントフィルタ格納槽遮蔽	95
仮設耐震構台と低圧原子炉代替注水ポンプ格納槽	50

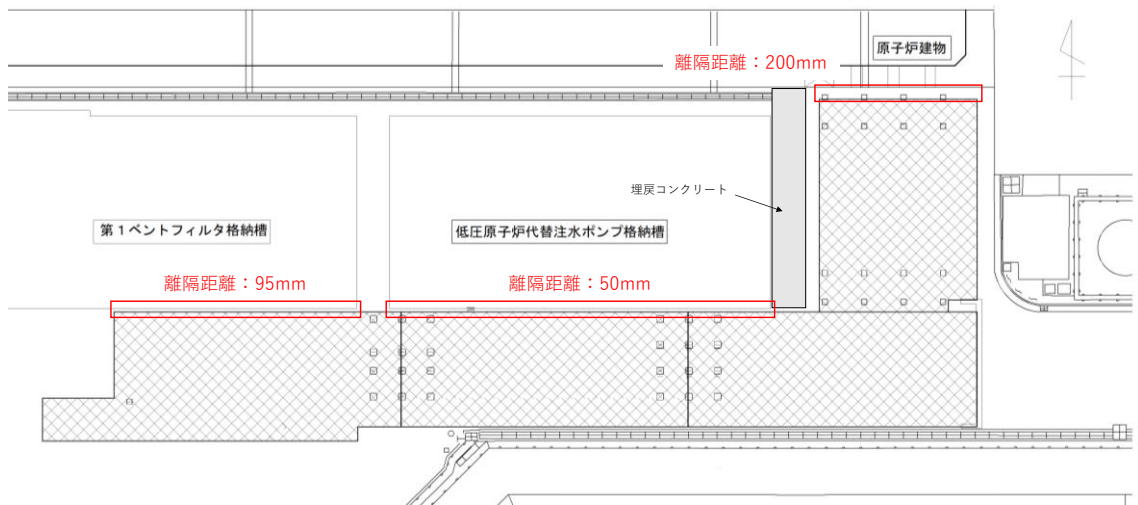


図 2-4 仮設耐震構台と各上位クラス施設との離隔距離

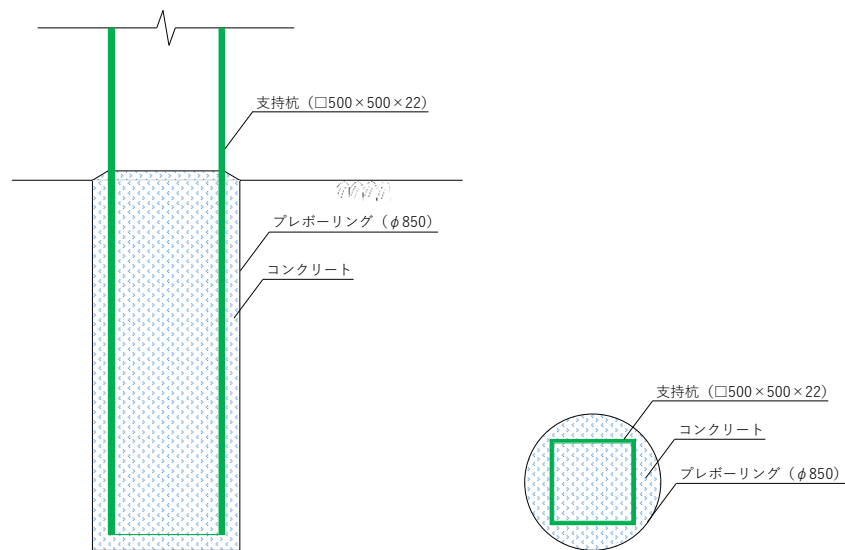


図 2-5 支持杭の根入れ部 概要図

### 2.3 評価対象断面の選定

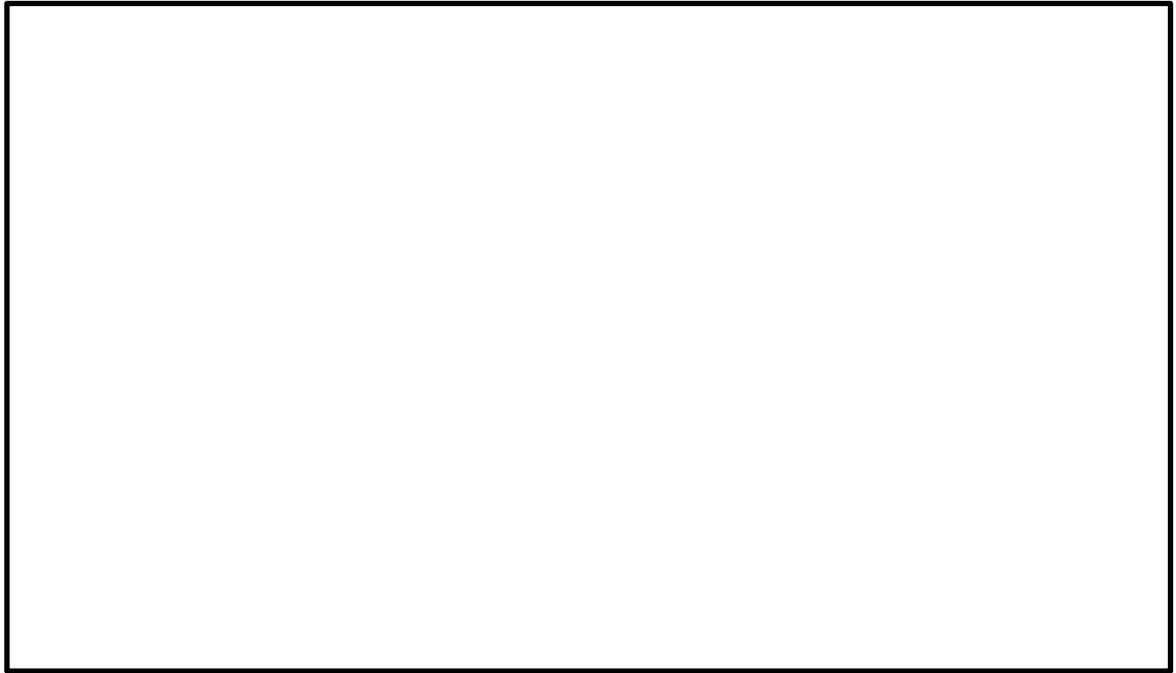
評価対象断面は、施設の損傷、転倒及び落下等による影響と相対変位による影響、並びに屋外のアクセスルートへの影響を評価する観点から、橋軸直交方向及び橋軸方向からそれぞれ断面を選定する。

橋軸直交方向の評価にあたっては、A-A断面及びC-C断面のうちA-A断面を評価対象断面とし、構造部材及び連結・結合部の健全性評価、基礎地盤の支持性能評価、並びに上位クラス施設のうち最も近接する低圧原子炉代替注水ポンプ格納槽に対する相対変位量評価を踏まえた衝突の有無を確認する。なお、A-A断面より西側の盛土斜面が分布する断面（E-E断面）に対して、A-A断面を評価対象断面とする妥当性確認結果を参考資料1に示す。

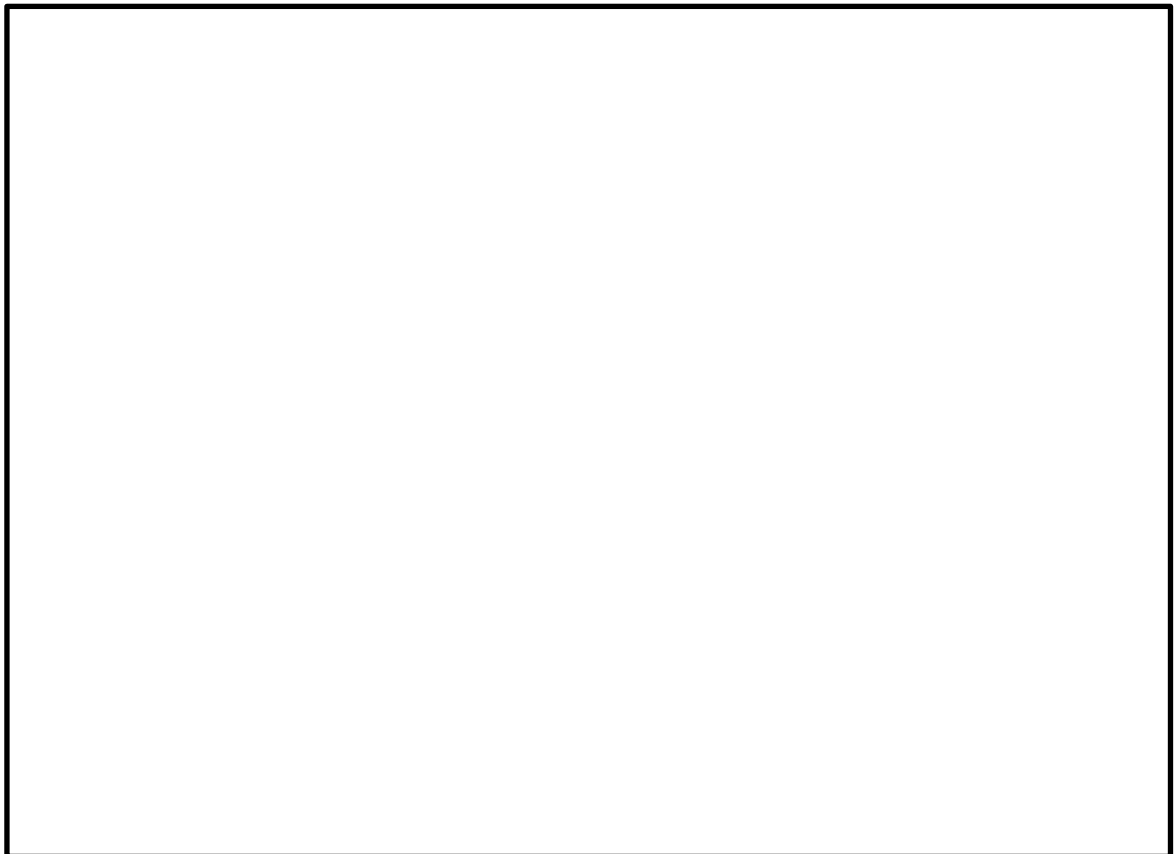
橋軸方向の評価にあたっては、主桁のスパン長が20mの区間（B-B断面）とB-B断面側に対して主桁の縁が切れている14m区間（D-D断面）のうちスパン長が長く、橋脚がより大きな荷重を分担する区間であるB-B断面を評価対象断面とし、東西両端に設置する橋台（東側）及び置換コンクリート（西側）を含めて構造部材及び連結・結合部の健全性評価、並びに基礎地盤の支持性能評価を実施する。

なお、評価対象断面以外の断面（C-C断面及びD-D断面）における耐震性評価を参考資料2に、C-C断面における仮設耐震構台と低圧原子炉代替注水ポンプ格納槽との間の埋戻コンクリートの安定性確認結果を参考資料3に示す。

評価対象地質断面図を図2-6に示す。



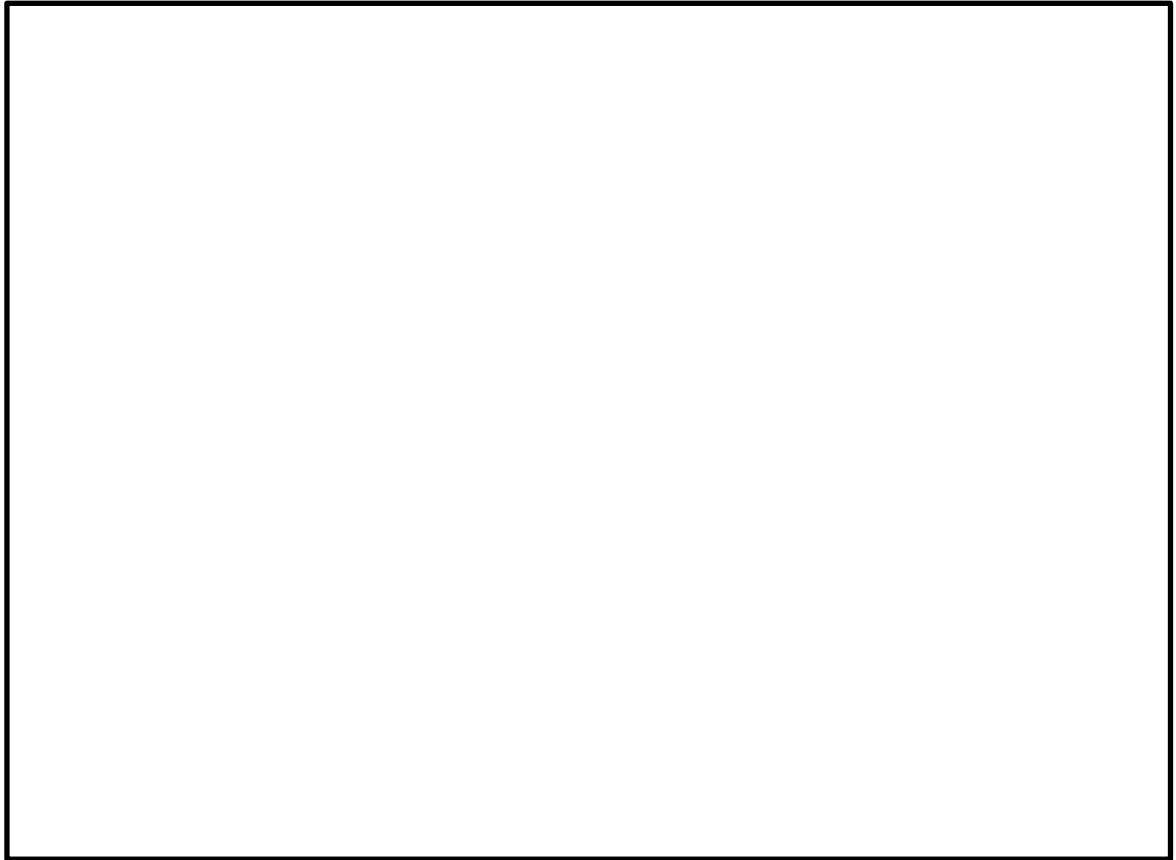
(岩級図)



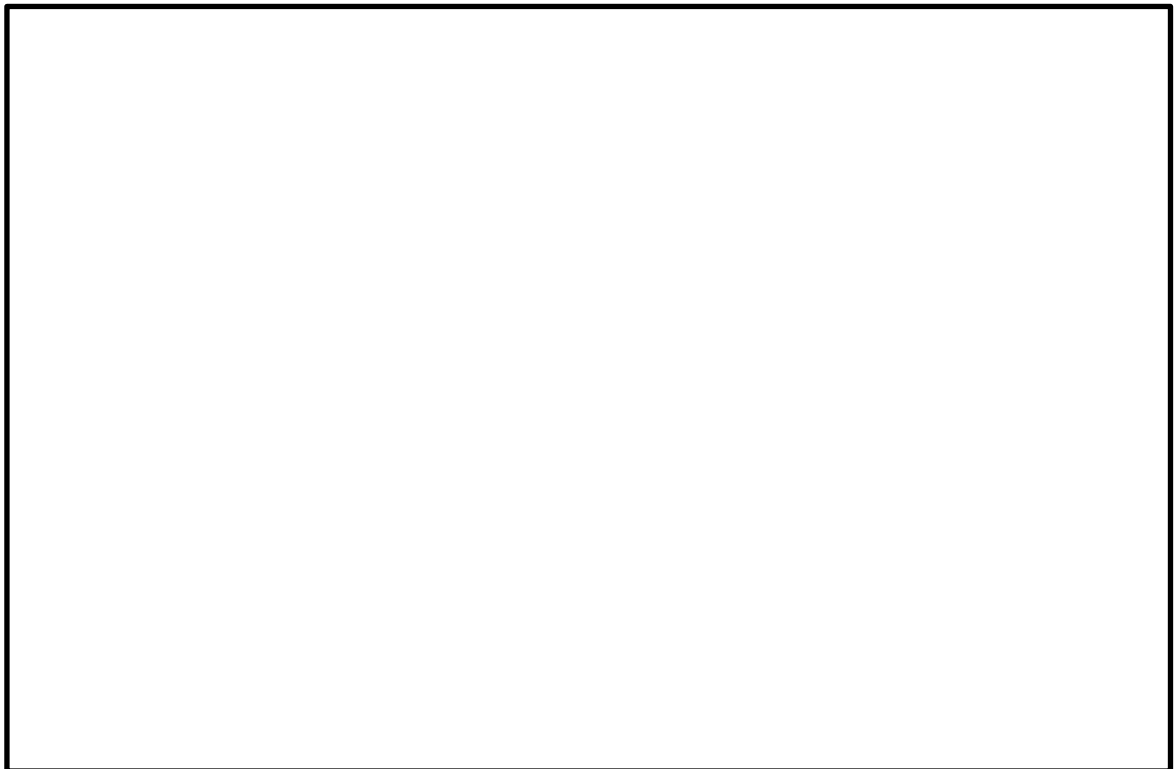
(速度層図)

注：桁受，受桁，水平材，斜材及び支持杭は投影

図 2-6 (1) 仮設耐震構台 評価対象断面図 (A-A断面 (南北方向))



(岩級図)



(速度層図)

図 2-6 (2) 仮設耐震構台 評価対象断面図 (B-B 断面 (東西方向))

## 2.4 使用材料及び材料の物性値

構造物の使用材料を表 2-3 に、材料の物性値を表 2-4 に示す。

表 2-3 使用材料

材料		仕様	
仮設耐震構台	主桁	支点部 H=1018, t=13 上部 B=350, t=26 下部 B=220, t=19 一般部 H=1595, t=13 上部 B=350, t=26 下部 B=350, t=19	SM490Y
	横構	L130×130×9 H125×125×6.5×9	SS400
	対傾構	L75×75×6 L100×100×10 L130×130×9 H125×125×6.5×9	SS400
	桁受	H900×300×16×28	SS400
	桁受補強材	[250×90×11×14.5 [300×90×12×16	SS400
	受桁	H700×300×13×24	SS400
	受桁補強材	△300×300×25	SS400
	水平材	[150×75×6.5×10	SS400
	斜材	L250×250×25 L200×200×15	SS400
	支持杭	□500×500×22	BCR295
	覆工板	1000×2000×208	SM490
橋台（東側）	コンクリート	設計基準強度 24.0N/mm <sup>2</sup>	
	鉄筋	SD345	
置換コンクリート（西側）		設計基準強度 18.0N/mm <sup>2</sup>	

表 2-4 材料の物性値

材料		ヤング係数 (N/mm <sup>2</sup> )	単位体積重量 (kN/m <sup>3</sup> )	ポアソン比
仮設耐震構台	主桁, 横構, 対傾構, 桁受, 桁受補強材, 受桁, 受桁補強材, 水 平材, 斜材, 支持杭	2.00×10 <sup>5</sup>	77.0	0.3
	覆工板	2.00×10 <sup>5</sup>	77.0	0.3
橋台（東側）		2.50×10 <sup>4</sup>	24.0 <sup>*1</sup>	0.2
置換コンクリート（西側）		2.20×10 <sup>4</sup>	22.6 <sup>*2</sup>	0.2

注記\*1：鉄筋コンクリートの単位体積重量を示す。

\*2：無筋コンクリートの単位体積重量を示す。

## 2.5 地盤物性値

地盤については、VI-2-1-3「地盤の支持性能に係る基本方針」にて設定している物性値を用いる。地盤の物性値を表2-5及び表2-6に示す。

表2-5 地盤の解析用物性値（岩盤）

層番号	S波速度 $V_s$ (m/s)	P波速度 $V_p$ (m/s)	単位体積重量 $\gamma$ (kN/m <sup>3</sup> )	ポアソン比 $\nu$	せん断弾性係数 $G$ ( $\times 10^5$ kN/m <sup>2</sup> )	減衰定数 $h$ (%)
①層	250	800	20.6	0.446	1.31	3
②層	900	2100	23.0	0.388	19.0	3
③層	1600	3600	24.5	0.377	64.0	3
④層	1950	4000	24.5	0.344	95.1	3
⑤層	2000	4050	26.0	0.339	105.9	3
⑥層*	2350	4950	27.9	0.355	157.9	3

注記\*：入力地震動の算定においてのみ用いる解析用物性値

表2-6 地盤の解析用物性値（埋戻土）

		解析用物性値
物理特性	密度 $\rho_s$ (g/cm <sup>3</sup> )	2.11
強度特性	初期せん断強度 $\tau_0$ (N/mm <sup>2</sup> )	0.22
	内部摩擦角 $\phi$ (°)	22
動的変形特性	初期せん断弾性係数 $G_0$ (N/mm <sup>2</sup> )	$G_0 = 749 \sigma^{0.66}$ (N/mm <sup>2</sup> ) $G/G_0 = 1/(1 + \gamma/0.00027)$
	動ポアソン比 $\nu_d$	0.45*
減衰特性	減衰定数 $h$	$h = 0.0958 \times (1 - G/G_0)^{0.85}$

注記\*：常時応力解析においては、土木学会マニュアル2005に基づき、静止土圧 ( $K_0 = \nu / (1 - \nu) = 0.5$ ) を作用させるため、 $\nu = 0.333$  とする。



## 2.6 評価対象部位

評価対象部位は、各評価対象断面における設置状況、役割、地震時の荷重作用を考慮し、主要な構造部材及び連結・結合部から選定する。評価対象部位を表 2-7 に示す。

A-A断面（南北方向（橋軸直交方向））における主要な構造部材の評価対象部位は、水平材、斜材及び支持杭とし、連結・結合部の評価対象部位は、支承部（沓座）、固定ボルト（支承部-桁受）、固定ボルト（受桁-支持杭）、溶接部（水平材-支持杭）、及び溶接部（斜材-支持杭）とする。なお、主要な構造部材のうち主桁、桁受及び受桁は、主桁間がスパン長の短い横構及び対傾構によりトラス構造となっていること、及び桁受と受桁間がスパン長の短い補強材によりトラス構造となっていることから、評価対象部位と比較し、十分に剛な構造とみなすことができるため、「3.2.3 構造物のモデル化」に示すとおり剛はり要素としてモデル化する。主桁間の横構及び対傾構を剛はりとするものの妥当性確認結果を参考資料 4 に、桁受を剛はり要素とするものの妥当性確認結果を参考資料 5 に示す。

B-B断面（東西方向（橋軸方向））における主要な構造部材の評価対象部位は、主桁、受桁、水平材、斜材及び支持杭とし、連結・結合部の評価対象部位は、支承部（ソールプレート）、固定ボルト（支承部-桁受）、固定ボルト（桁受-受桁）、固定ボルト（受桁-支持杭）、溶接部（水平材-支持杭）、及び溶接部（斜材-支持杭）とする。また、仮設耐震構台東側の橋台、西側の置換コンクリート及びこれらの連結・結合部についても評価対象とする。なお、主要な構造部材のうち桁受は、橋軸直交方向を長手方向として設置しており、橋軸方向断面の変形に対して十分に剛な構造とみなすことができるため、「3.2.3 構造物のモデル化」に示すとおり剛はり要素としてモデル化する。

設計にあたって準拠した道路橋示方書・同解説（Ⅱ鋼橋編）（日本道路協会 平成 14 年 3 月）及び道路橋示方書（Ⅴ耐震設計編）（日本道路協会 平成 14 年 3 月）に対する網羅性と評価対象部位選定の考え方について、参考資料 6 に示す。

なお、土留め工（親杭）及びグラウンドアンカの評価については、補足-027-10-106 「土留め工（親杭）の耐震性についての計算書に関する補足説明資料」にて説明する。

仮設耐震構台の評価対象部位とその仕様を表 2-8 に評価部位の位置図を図 2-7 に示す。

表 2-7 (1) 評価対象部位 (主要な構造部材)

部位*	設置状況・役割・地震時の荷重作用	検討断面	評価方法
①主桁	<ul style="list-style-type: none"> <li>主桁は、橋軸方向を長手方向として設置しており、橋軸直交方向の主桁間には、横構及び対傾構により接合している。</li> <li>主桁の地震時荷重は、桁受及び受桁に伝達される。</li> <li>主桁は橋軸方向の地震時荷重を負担し、主桁間の横構及び対傾構は橋軸直交方向の地震時荷重を負担する。</li> </ul>	橋軸方向 橋軸直交方向	<ul style="list-style-type: none"> <li>橋軸方向において、主桁を線形はり要素でモデル化し、2次元FEM解析で照査を実施する。</li> <li>橋軸直交方向において、主桁を剛はり要素としてモデル化していることの妥当性確認として、2次元FEM解析から算出する慣性力により、横構及び対傾構の照査を実施する。</li> </ul>
②桁受 ③受桁	<ul style="list-style-type: none"> <li>桁受は橋軸直交方向を、受桁は橋軸方向を長手方向として設置している。</li> <li>主桁からの地震時荷重は、井桁状に接合した桁受及び受桁を介して支持杭に伝達される。</li> <li>受桁は橋軸方向の地震時荷重を負担し、桁受は橋軸直交方向の地震時荷重を負担する。</li> </ul>	橋軸方向 橋軸直交方向	<ul style="list-style-type: none"> <li>橋軸方向において、受桁を線形はり要素でモデル化し、2次元FEM解析で照査を実施する。</li> <li>橋軸直交方向において、桁受を剛はり要素としてモデル化していることの妥当性確認として、桁受を線形はり要素としてモデル化した2次元FEM解析より照査を実施する。</li> </ul>
④水平材	<ul style="list-style-type: none"> <li>水平材は、橋軸方向及び橋軸直交方向を長手方向として設置している。</li> <li>支持杭からの地震時荷重は、水平材により接合している他の支持杭に伝達される。</li> <li>橋軸方向を長手方向としている水平材は橋軸方向の地震時荷重を負担し、橋軸直交方向を長手方向としている水平材は橋軸直交方向の地震時荷重を負担する。</li> </ul>	橋軸方向 橋軸直交方向	<ul style="list-style-type: none"> <li>橋軸方向及び橋軸直交方向において、水平材を線形はり要素でモデル化し、2次元FEM解析で照査を実施する。</li> </ul>
⑤斜材	<ul style="list-style-type: none"> <li>斜材は、橋軸方向及び橋軸直交方向を長手方向として設置している。</li> <li>支持杭からの地震時荷重は、斜材により接合している他の支持杭に伝達される。</li> <li>橋軸方向を長手方向としている斜材は橋軸方向の地震時荷重を負担し、橋軸直交方向を長手方向としている斜材は橋軸直交方向の地震時荷重を負担する。</li> </ul>	橋軸方向 橋軸直交方向	<ul style="list-style-type: none"> <li>橋軸方向及び橋軸直交方向において、斜材を線形はり要素でモデル化し、2次元FEM解析で照査を実施する。</li> </ul>
⑥支持杭	<ul style="list-style-type: none"> <li>支持杭は、橋軸方向及び橋軸直交方向において鉛直方向を長手方向として設置している。</li> <li>受桁より上部の構造部材による地震時荷重は、水平材及び斜材により各支持杭に分散され、岩盤に伝達される。</li> <li>支持杭は、橋軸方向及び橋軸直交方向の地震時荷重を負担する。</li> </ul>	橋軸方向 橋軸直交方向	<ul style="list-style-type: none"> <li>橋軸方向及び橋軸直交方向において、支持杭を線形はり要素でモデル化し、2次元FEM解析で照査を実施する。</li> </ul>

注記\*：番号は図 2-7 の番号を示す。

表 2-7 (2) 評価対象部位 (連結・結合部)

部位*	設置状況・役割・地震時の荷重作用	検討断面	評価方法
支承部 (⑦杓座, ⑧ソールプレート)	<ul style="list-style-type: none"> <li>・ 支承部は、主桁と桁受の間に設置しており、支承部のうちソールプレートは主桁の橋軸方向への変位を、杓座は主桁の橋軸直交方向への変位を拘束している。</li> <li>・ ソールプレートは、主桁等による橋軸方向の地震時荷重を負担する。</li> <li>・ 杓座は、主桁等による橋軸直交方向の地震時荷重を負担する。</li> </ul>	橋軸方向 橋軸直交方向	<ul style="list-style-type: none"> <li>・ 2次元FEM解析から最大応答加速度を抽出し、主桁の慣性力による照査を実施する。</li> </ul>
固定ボルト (⑨支承部 - 桁受)	<ul style="list-style-type: none"> <li>・ 固定ボルト (支承部-桁受) は、支承部と桁受の間に設置しており、支承部を介して主桁の橋軸方向及び橋軸直交方向への変位を拘束している。</li> <li>・ 支承部より上部の部材による橋軸方向及び橋軸直交方向の地震時荷重を負担する。</li> </ul>	橋軸方向 橋軸直交方向	<ul style="list-style-type: none"> <li>・ 2次元FEM解析から最大応答加速度を抽出し、主桁の慣性力による照査を実施する。</li> </ul>
固定ボルト (⑩桁受 - 受桁)	<ul style="list-style-type: none"> <li>・ 固定ボルト (桁受-受桁) は、桁受と受桁の間に設置しており、桁受より上部の部材の橋軸方向及び橋軸直交方向への変位を拘束している。</li> <li>・ 桁受より上部の部材による橋軸方向及び橋軸直交方向の地震時荷重を負担する。</li> </ul>	橋軸方向 橋軸直交方向	<ul style="list-style-type: none"> <li>・ 2次元FEM解析から部材位置の最大断面力を抽出し、照査を実施する。</li> </ul>
固定ボルト (⑪受桁 - 支持杭)	<ul style="list-style-type: none"> <li>・ 固定ボルト (受桁-支持杭) は、受桁と支持杭の間に設置しており、受桁より上部の部材の橋軸方向及び橋軸直交方向への変位を拘束している。</li> <li>・ 受桁より上部の部材による橋軸方向及び橋軸直交方向の地震時荷重を負担する。</li> </ul>	橋軸方向 橋軸直交方向	<ul style="list-style-type: none"> <li>・ 2次元FEM解析から部材位置の最大断面力を抽出し、照査を実施する。</li> </ul>
溶接部 (⑫水平材 - 支持杭)	<ul style="list-style-type: none"> <li>・ 溶接部 (水平材-支持杭) は、水平材と支持杭の結合部に施工しており、水平材と支持杭の橋軸方向及び橋軸直交方向への変位を拘束している。</li> <li>・ 溶接部に発生する橋軸方向及び橋軸直交方向の地震時荷重を負担する。</li> </ul>	橋軸方向 橋軸直交方向	<ul style="list-style-type: none"> <li>・ 2次元FEM解析から溶接位置の最大断面力を抽出し、照査を実施する。</li> </ul>
溶接部 (⑬斜材 - 支持杭)	<ul style="list-style-type: none"> <li>・ 溶接部 (斜材-支持杭) は、斜材と支持杭の結合部に施工しており、斜材と支持杭の橋軸方向及び橋軸直交方向への変位を拘束している。</li> <li>・ 溶接部に発生する橋軸方向及び橋軸直交方向の地震時荷重を負担する。</li> </ul>	橋軸方向 橋軸直交方向	<ul style="list-style-type: none"> <li>・ 2次元FEM解析から溶接位置の最大断面力を抽出し、照査を実施する。</li> </ul>

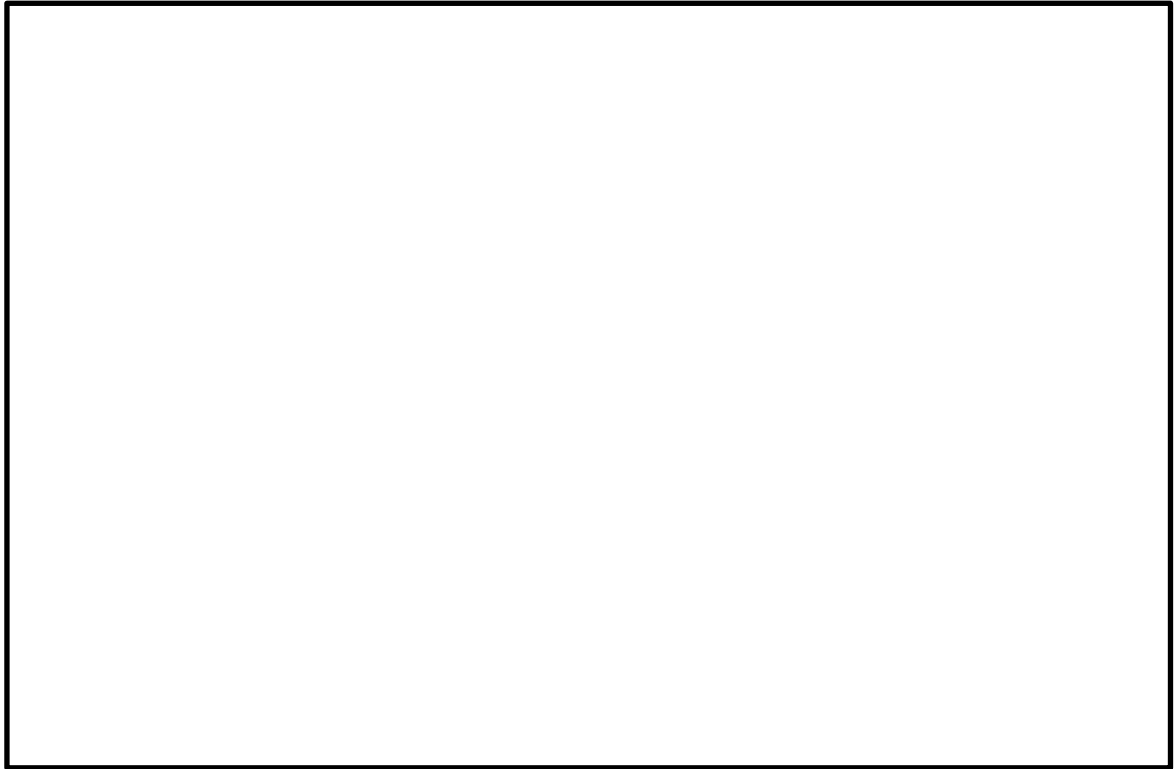
注記\* : 番号は図 2-7 の番号を示す。

表 2-8 (1) 評価対象部位とその仕様 (A-A断面 (南北方向))

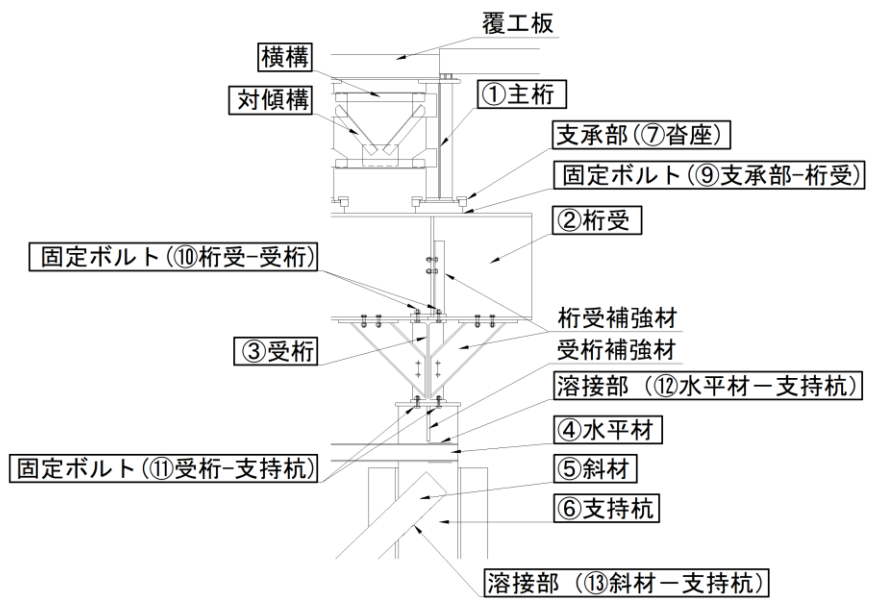
部位		使用材料
水平材	[150×75×6.5×10	SS400
斜材	L250×250×25	SS400
支持杭	□500×500×22	BCR295
支承部 (沓座)	—	SCW480
固定ボルト (支承部-桁受)	M22	10T
固定ボルト (桁受-受桁)	M24	10T
固定ボルト (受桁-支持杭)	M24	10T
溶接部 (水平材-支持杭)	すみ肉溶接	SS400
溶接部 (水平材-支持杭)	すみ肉溶接	SS400

表 2-8 (2) 評価対象部位とその仕様 (B-B断面 (東西方向))

部位		使用材料
主桁	プレートガーダー	SM490Y
受桁	H700×300×13×24	SS400
水平材	[150×75×6.5×10	SS400
斜材	L250×250×25 L200×200×15	SS400
支持杭	□500×500×22	BCR295
支承部 (沓座)	—	SCW480
支承部 (ソールプレート)	—	SM400
固定ボルト (支承部-桁受)	M22	10T
固定ボルト (桁受-受桁)	M24	10T
固定ボルト (受桁-支持杭)	M24	10T
溶接部 (水平材-支持杭)	すみ肉溶接	SS400
溶接部 (水平材-支持杭)	すみ肉溶接	SS400
橋台 (東側)	コンクリート	設計基準強度 24.0N/mm <sup>2</sup>
	鉄筋	SD345
置換コンクリート (西側)	コンクリート	設計基準強度 18.0N/mm <sup>2</sup>



(A-A断面 (南北方向 (橋軸直交方向)))

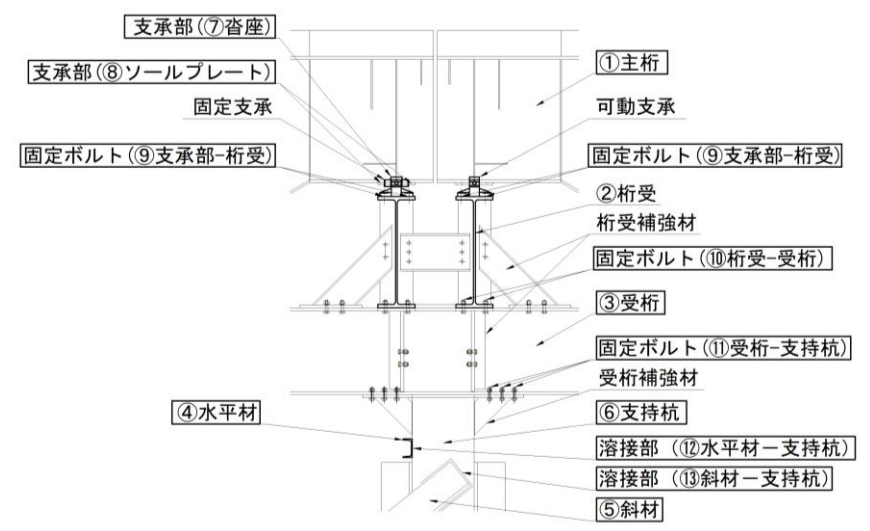


(A-A断面 (拡大部))

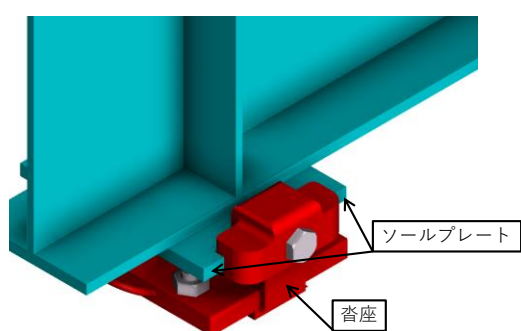
図 2-7 (1) 評価対象部位 位置図



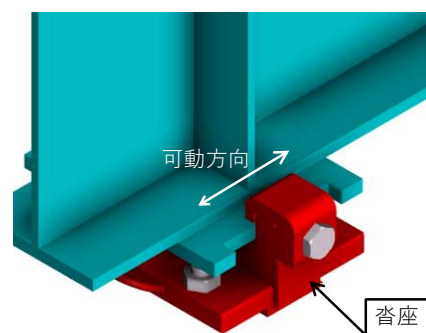
( B - B 断面 ( 東西方向 ( 橋軸方向 ) ) )



( B - B 断面 ( 拡大部 ) )



( 固定支承 )



( 水平可動支承 )

図 2-7 (2) 評価対象部位 位置図



## 2.7 地下水位

設計地下水位は、VI-2-1-3「地盤の支持性能に係る基本方針」に従い設定する。設計地下水位の一覧を表 2-9 に示す。

表 2-9 設計地下水位の一覧

施設名称	解析断面	設計地下水位 (EL m)
仮設耐震構台	A-A断面 (南北方向)	15.0
	B-B断面 (東西方向)	



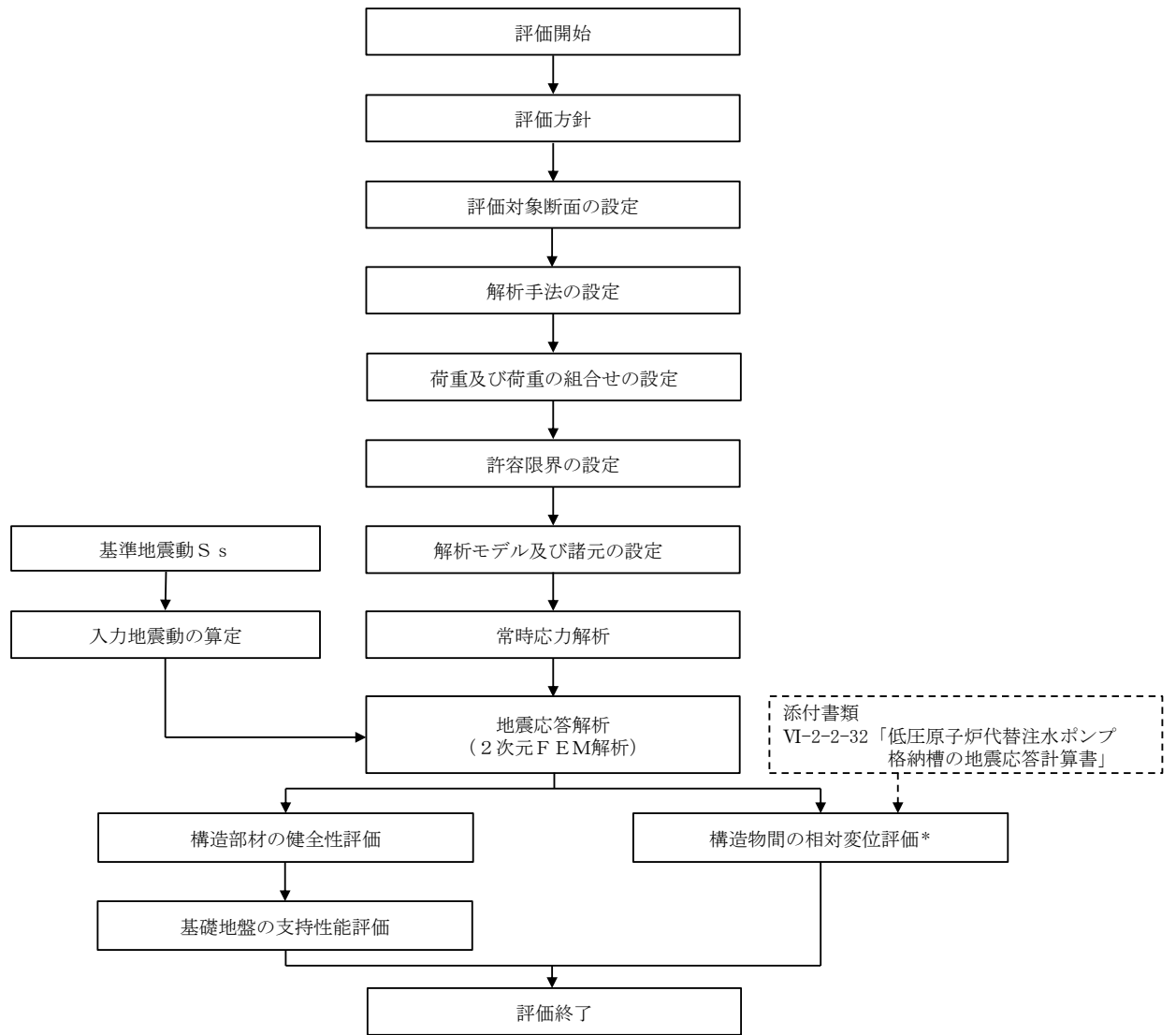
## 2.8 耐震評価フロー

仮設耐震構台の設計基準対象施設及び重大事故等対処施設に対する波及的影響の評価及びアクセスルートの耐震評価においては、基準地震動  $S_s$  に対する評価を行う。

波及的影響の評価にあたっては、VI-2-11-1「波及的影響を及ぼすおそれのある下位クラス施設の耐震評価方針」に基づき、地震応答解析による評価を行う。施設の損傷、転倒及び落下等による影響では、VI-2-1-9「機能維持の基本方針」に基づき、構造部材の健全性評価及び基礎地盤の支持性能評価を行う。構造物間の相対変位による影響では、橋軸方向よりも相対変位が大きくなる橋軸直交方向において、上位クラス施設のうち、仮設耐震構台との離隔距離が最小となる低圧原子炉代替注水ポンプ格納槽を対象とし、相対変位による評価を行うことで、衝突の有無の確認を行う。この相対変位による評価では、仮設耐震構台の最大応答変位に加えて、VI-2-2-32「低圧原子炉代替注水ポンプ格納槽の地震応答計算書」に基づく最大応答変位を用いる。

また、アクセスルートの耐震評価にあたっては、VI-2-1-9「機能維持の基本方針」を参考に、構造部材の健全性評価及び基礎地盤の支持性能評価を行う。

仮設耐震構台の評価フローを図 2-8 に示す。



注記\*：波及的影響の評価においてのみ実施する。

図 2-8 仮設耐震構台の評価フロー

### 3. 地震応答解析

#### 3.1 地震応答解析手法

地震応答解析は、構造物と地盤の相互作用を考慮できる 2 次元有限要素法により、基準地震動  $S_s$  に基づき設定した水平地震動と鉛直地震動の同時加振による逐次時間積分の時刻歴応答解析により行うこととする。

仮設耐震構台周辺の地下水位は支持杭下端より高いが仮設耐震構台周辺に地下水位以深の液状化対象層が存在しないため「全応力解析」を選定する。

構造部材のうち評価対象部位については、線形はり要素によりモデル化する。評価対象部位以外については、剛はり要素によりモデル化する。また、地盤については、平面ひずみ要素でモデル化することとし、岩盤は線形でモデル化する。埋戻土については、地盤のひずみ依存性を適切に考慮できるように **マルチスプリング要素** を用いることとし、ばね特性は双曲線モデル（修正 GHE モデル）を用いて非線形性を考慮する。なお、置換コンクリート、MMR 及び埋戻コンクリートについては線形の平面ひずみ要素でモデル化する。地震応答解析については、解析コード「TDA P III」を使用する。なお、解析コードの検証及び妥当性確認等の概要については、VI-5「計算機プログラム（解析コード）の概要」に示す。

地震応答解析手法の選定フローを図 3-1 に示す。

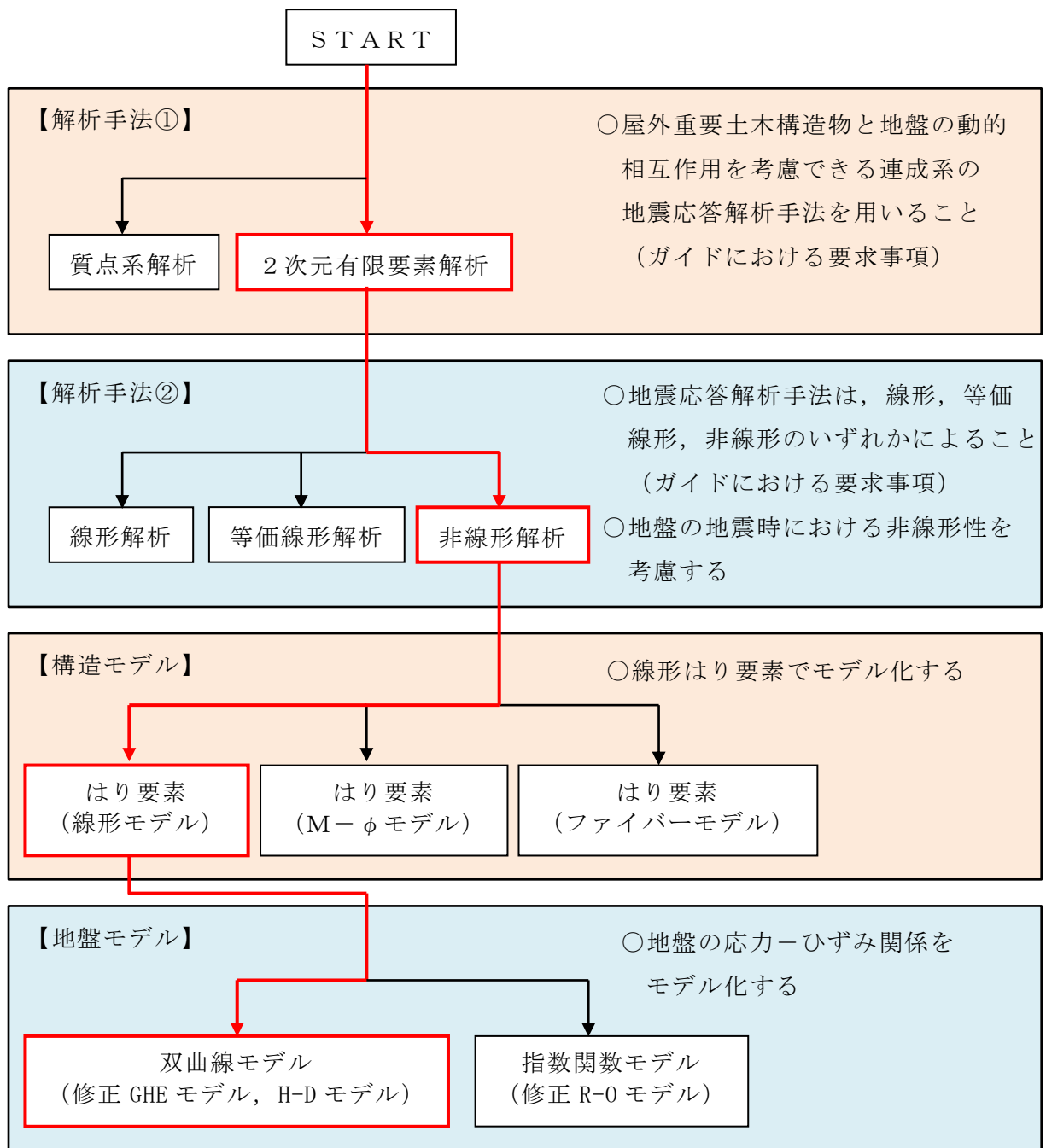


図 3-1 地震応答解析手法の選定フロー

### 3.2 地震応答解析モデルの設定

#### 3.2.1 解析モデル領域

地震応答解析モデルは、境界条件の影響が地盤及び構造物の応力状態に影響を及ぼさないよう、十分広い領域とする。J E A G 4 6 0 1 -1987を参考に、図3-2に示すとおりモデル幅を構造物基礎幅の5倍以上、モデル高さを構造物基礎幅の1.5倍～2倍以上とする。

なお、解析モデルの境界条件は、側面及び底面ともに粘性境界とする。

地盤の要素分割については、波動をなめらかに表現するために、対象とする波長の5分の1程度を考慮し、細分割して設定する。

構造物の要素分割については、土木学会マニュアルに従い、要素長さを部材の断面厚さ又は有効高さの2.0倍以下とし、1.0倍程度まで細分割して設定する。

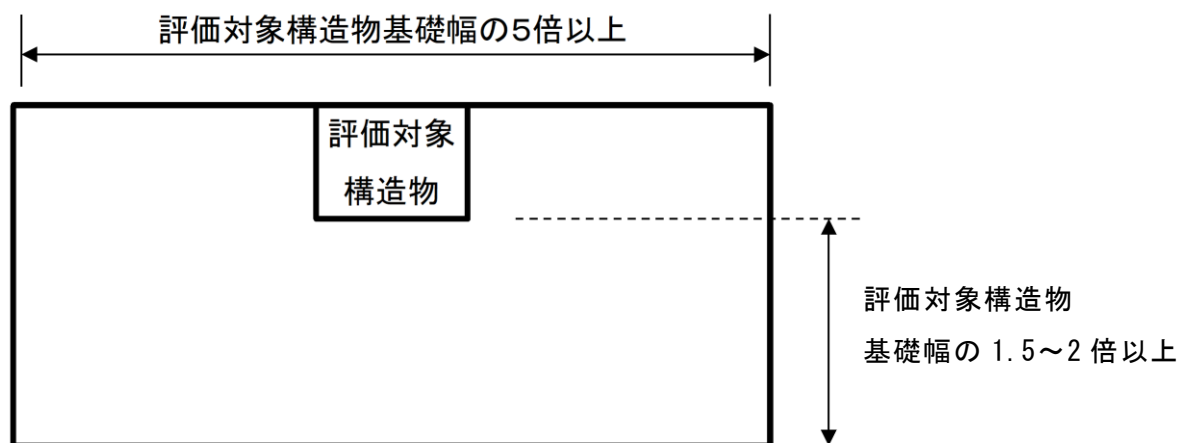


図 3-2 モデル化範囲の考え方

### 3.2.2 境界条件

#### (1) 固有値解析時

固有値解析を実施する際の境界条件は、境界が構造物を含めた周辺地盤の振動特性に影響を与えないよう設定する。ここで、底面境界は地盤のせん断方向の卓越変形モードを把握するために固定とし、側方境界はフリーとする。境界条件の概念図を図 3-3 に示す。

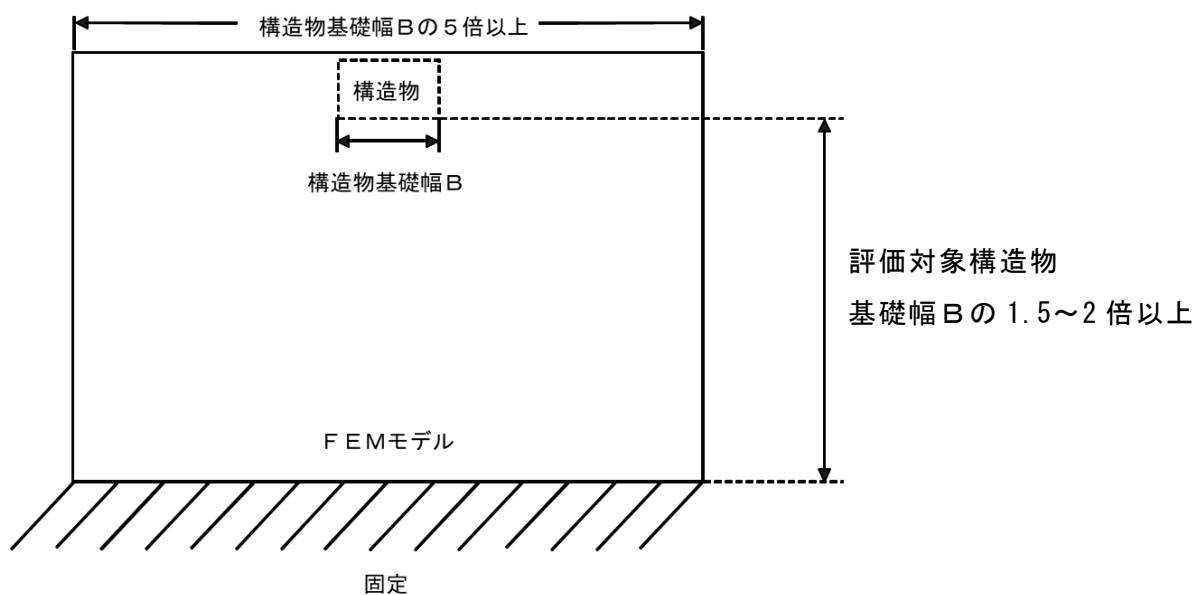


図 3-3 固有値解析における境界条件の概念図

(2) 常時応力解析時

常時応力解析は、地盤や構造物の自重等の静的な荷重を載荷することによる常時応力を算定するために行う。そこで、常時応力解析時の境界条件は底面固定とし、側方は自重等による地盤の鉛直方向の変形を拘束しないよう鉛直ローラーとする。境界条件の概念図を図 3-4 に示す。

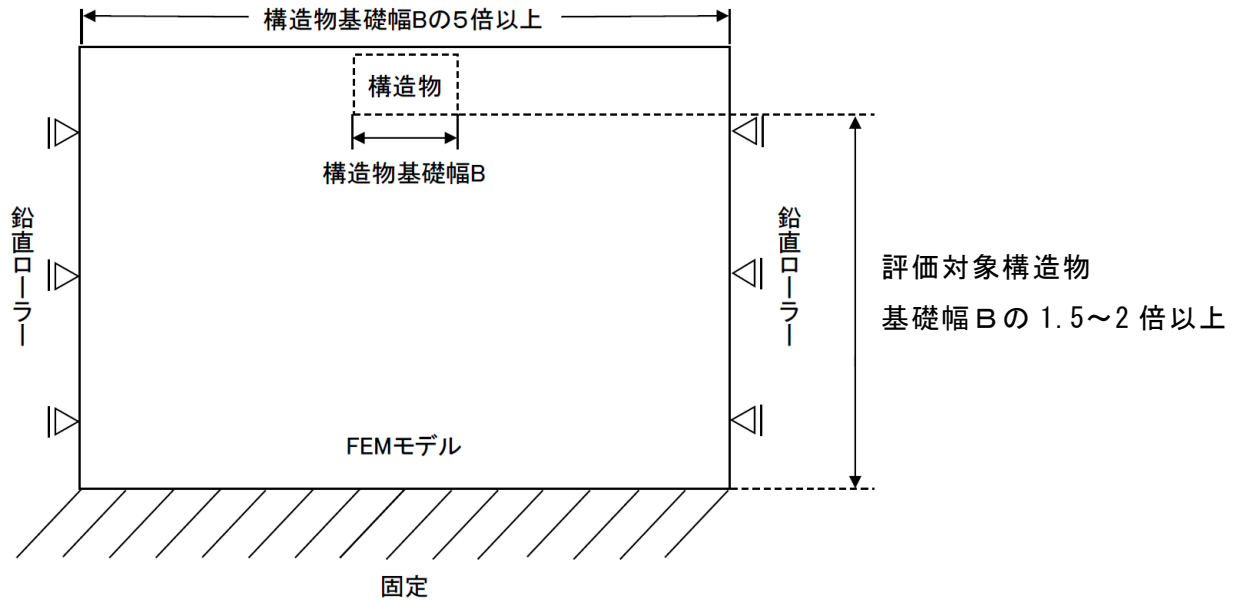


図 3-4 常時応力解析における境界条件の概念図

(3) 地震応答解析時

地震応答解析時の境界条件については、有限要素解析における半無限地盤を模擬するため、粘性境界を設ける。底面の粘性境界については、地震動の下降波がモデル底面境界から半無限地盤へ通過していく状態を模擬するため、ダッシュポットを設定する。側方の粘性境界については、自由地盤の地盤振動と不整形地盤側方の地盤振動の差分が側方を通過していく状態を模擬するため、自由地盤の側方にダッシュポットを設定する。

境界条件の概念図を図 3-5 に示す。

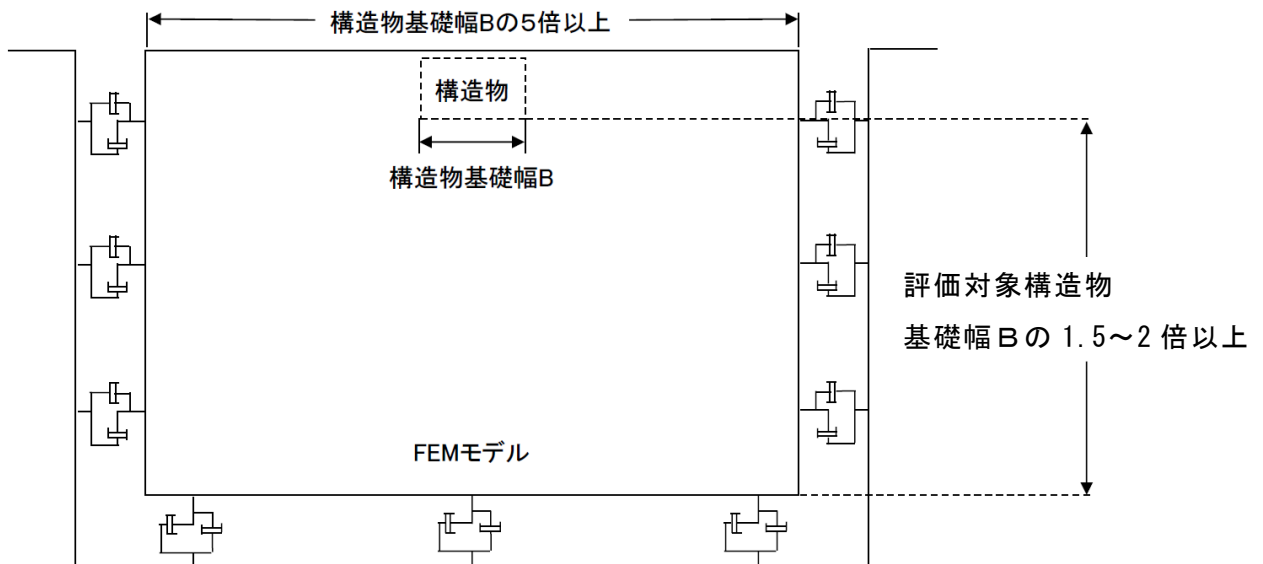


図 3-5 地震応答解析における境界条件の概念図



### 3.2.3 構造物のモデル化

南北方向（A-A断面）については、評価対象部位（水平材、斜材及び支持杭）を線形はり要素によりモデル化する。主桁、桁受、受桁は、主桁間がスパン長の短い横構及び対傾構によりトラス構造となっていること、及び桁受と受桁間がスパン長の短い補強材によりトラス構造となっていることから、評価対象部位と比較し、十分に剛な構造とみなすことができるため、剛はり要素によりモデル化する。

支持杭、水平材及び斜材のモデル化にあたっては、奥行方向3列の支持杭のうち、中央の支持杭、水平材及び斜材を対象とし、その重量を考慮するとともに、支持杭が分担する奥行方向の水平材及び斜材の重量を支持杭の節点に付加質量として考慮する。また、支持杭より上の受桁等の部材重量については、主桁中央～主桁中央間の重量を奥行3列の支持杭で負担するため、奥行方向を考慮した支持杭1本あたりの重量を剛はり上部に付加質量として考慮する。

南北方向（A-A断面）の解析モデル図を図3-6に、モデルの奥行方向の重量考慮イメージを図3-7に、解析モデルの仕様及び物性値を表3-1に示す。

また、構造部材の接合条件について、水平材、斜材及び支持杭は部材同士を溶接して一体化しており、支持杭と受桁間は補強材により補強しており、それぞれ固定度が大きいいため、剛結とした。部材の接合部の構造及び解析モデルにおける接合条件を表3-2に、接合部の構造図を図3-8に、部材の接合条件イメージを図3-9に示す。

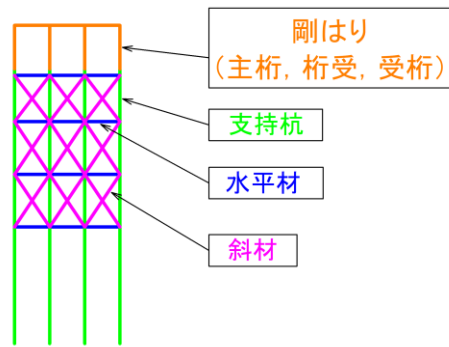


図 3-6 解析モデル図 (A-A断面)



図 3-7 モデルの奥行方向の重量考慮イメージ

表 3-1 (1) 解析モデルの仕様及び物性値 (A-A断面)

材料	単位体積重量 (kN/m <sup>3</sup> )	断面積 (m <sup>2</sup> ) *2	ヤング係数E (N/mm <sup>2</sup> )	ポアソン比ν	減衰定数
水平材	77.0	2.4×10 <sup>-3</sup>	2.00×10 <sup>5</sup>	0.3	0.03
斜材		1.2×10 <sup>-2</sup>			
支持杭		4.0×10 <sup>-2</sup>			
剛はり	0.0*1	4.0×10 <sup>1</sup>			

注記\*1：頂部の節点に付加重量として与えることで考慮する。

\*2：剛はりの断面積は支持杭の1000倍とする。

表 3-1 (2) 解析モデルの仕様及び物性値 (A-A断面)

材料	重量 (kN/本)
覆工板, 主桁等	95.0

表 3-2 部材の接合方法及び解析モデルにおける接合条件

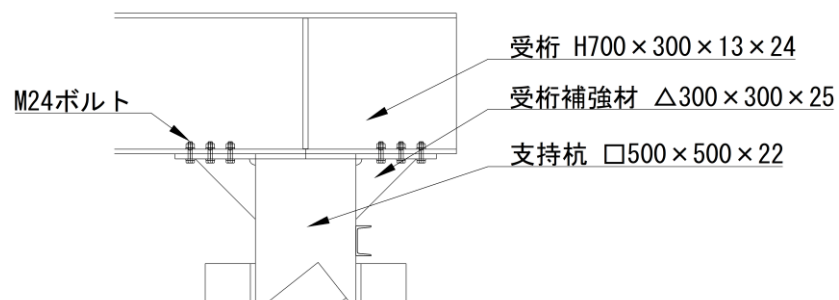
部材		接合方法	解析モデルにおける接合条件	構造図*1
水平材	支持杭	溶接	剛結	—
斜材	支持杭	溶接	剛結	—
支持杭	受桁	ボルト固定(M24)*2	剛結	詳細部 a
支持杭	岩盤	根固め コンクリート	2重節点 MPC 結合 (鉛直及び水平方向)	

注記\*1：接合部の構造図を図 3-8 に示す。

\*2：△300×300×25 により補強



(仮設耐震構台：全体図)



(詳細部 a：支持杭—受桁)

(単位：mm)

図 3-8 接合部の構造図

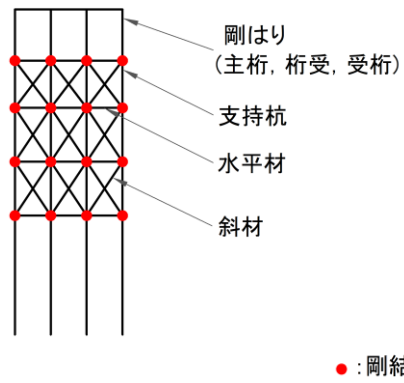


図 3-9 部材の接合条件イメージ (A-A断面)

東西方向（B－B断面）については、評価対象部位（主桁、受桁、水平材、斜材及び支持杭）を線形はり要素によりモデル化する。桁受は、橋軸直交方向を長手方向として設置しており、橋軸方向断面の変形に対して十分に剛な構造とみなすことができるため、剛はり要素によりモデル化し、重量については、主桁の節点に付加重量として与えることで考慮する。覆工板の重量については、主桁の線形はり要素に考慮する。また、橋台（東側）は、線形はり要素によりモデル化する。

支持杭、水平材、及び斜材のモデル化にあたっては、南北方向（A－A断面）同様、奥行方向1本あたりの剛性及び重量を考慮するとともに、支持杭が分担する奥行方向の水平材及び斜材の重量を支持杭の節点に付加質量として考慮する。また、受桁は奥行方向1本あたりの剛性及び重量をモデル化する。一方、東西方向（B－B断面）においては、支持杭の奥行方向4列に対して主桁を7本設置していることから、主桁のモデル化にあたっては、剛性及び重量を7/4倍とした線形はり要素でモデル化する。

東西方向（B－B断面）の解析モデル図を図3-10に、モデルの奥行方向の重量考慮イメージを図3-11に、解析モデルの仕様及び物性値を表3-3に示す。

構造部材の接合条件については、溶接部及び部材による補強を行っている箇所は、固定度が大きいため、剛結とした。また、その他の箇所については、部材間の固定又は可動の構造を踏まえ、2重節点のMPC結合とした。部材の接合部の構造及び解析モデルにおける条件を表3-4に、接合部の構造図を図3-12に、部材の接合条件イメージを図3-13に、2重節点のMPC接合のモデル化イメージを図3-14に示す。



図 3-10 解析モデル図 (B-B断面)



図 3-11 モデルの奥行方向の重量考慮イメージ

表 3-3 (1) 解析モデルの仕様及び物性値 (B-B 断面)

材料	単位体積重量 (kN/m <sup>3</sup> )	断面積 (m <sup>2</sup> ) *2	ヤング係数 E (N/mm <sup>2</sup> )	ポアソン比 $\nu$	減衰定数
主桁	77.0	$7.2 \times 10^{-2}$	$2.00 \times 10^5$	0.3	0.03
受桁		$2.3 \times 10^{-2}$			
水平材		$2.4 \times 10^{-3}$			
斜材		$1.2 \times 10^{-2}$			
支持杭		$4.0 \times 10^{-2}$			
剛はり	0.0*1	$4.0 \times 10^1$			

注記\*1：頂部の節点に付加重量として与えることで考慮する。

\*2：剛はりの断面積は支持杭の 1000 倍とする。

表 3-3 (2) 解析モデルの仕様及び物性値 (B-B 断面)

材料	重量 (kN/本)
桁受	20.0



表 3-4 部材の接合方法及び解析モデルにおける接合条件

部材		接合方法	解析モデルにおける接合条件	構造図*1
主桁	桁受	ボルト固定 (M22)*2	2重節点 MPC 結合 (鉛直方向)	詳細部 a
		ボルト固定 (M22)*3	2重節点 MPC 結合 (鉛直及び水平方向)	
	橋台 (東側)	ボルト固定 (M22)*2	2重節点 MPC 結合 (鉛直方向)	詳細部 b
桁受	受桁	ボルト固定 (M24)*4	剛結	詳細部 c
受桁	支持杭	ボルト固定 (M24)*5	剛結	詳細部 d
水平材	支持杭	溶接	剛結	—
斜材	支持杭	溶接	剛結	—
受桁 (西側)	置換コンクリート (西側)	埋込	共有節点	詳細部 e
支持杭 (西側)	水平材 (西側) 斜材 (西側)	ボルト固定 (M24)	2重節点 MPC 結合 (鉛直及び水平方向)	
水平材 (西側) 斜材 (西側)	置換コンクリート (西側)	ボルト固定 (M24)	2重節点 MPC 結合 (鉛直及び水平方向)	
支持杭	岩盤	根固め コンクリート	2重節点 MPC 結合 (鉛直及び水平方向)	

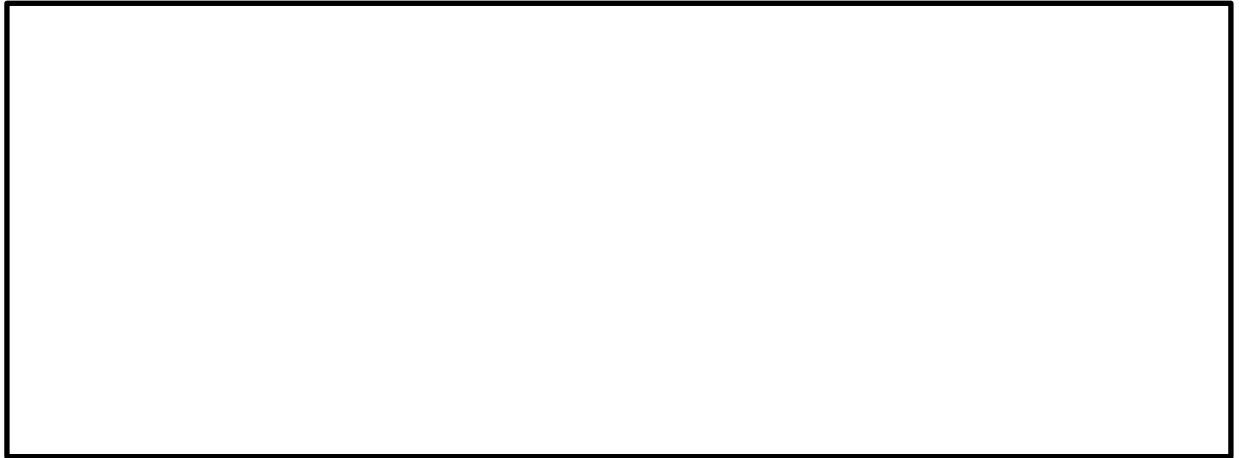
注記\*1：接合部の構造図を図 3-12 に示す。

\*2：可動ブロック，沓座により接合

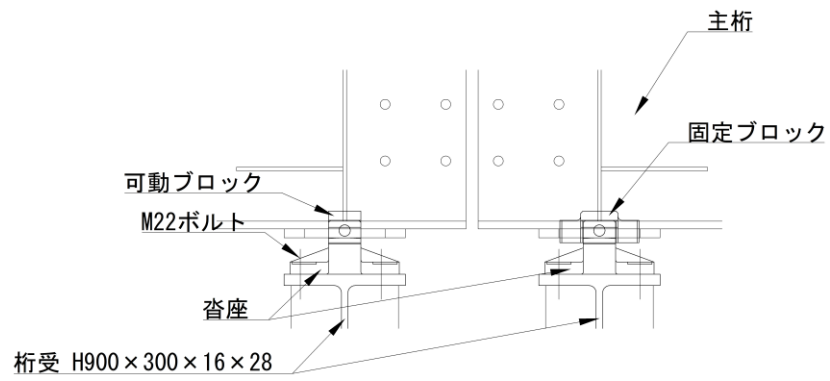
\*3：固定ブロック，沓座により接合

\*4：[250×90×11×14.5 により補強

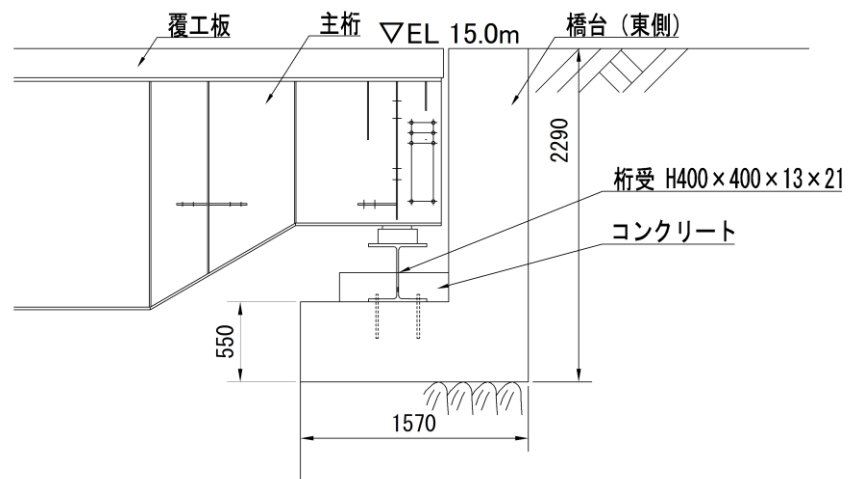
\*5：△300×300×25 により補強



(仮設耐震構台：全体図)



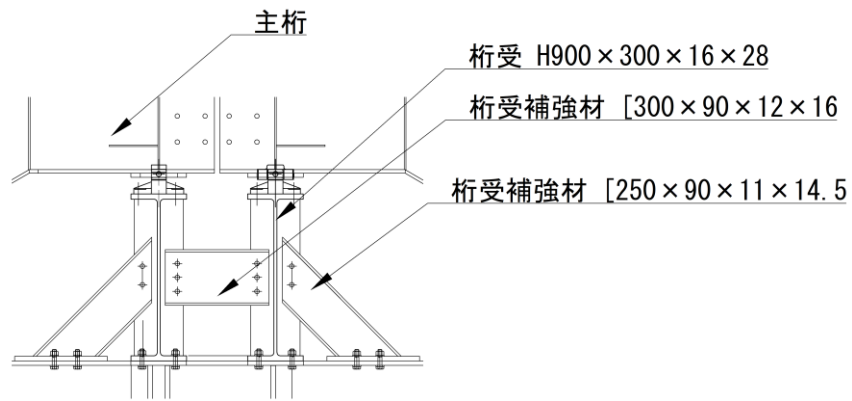
(詳細部 a：主桁－桁受)



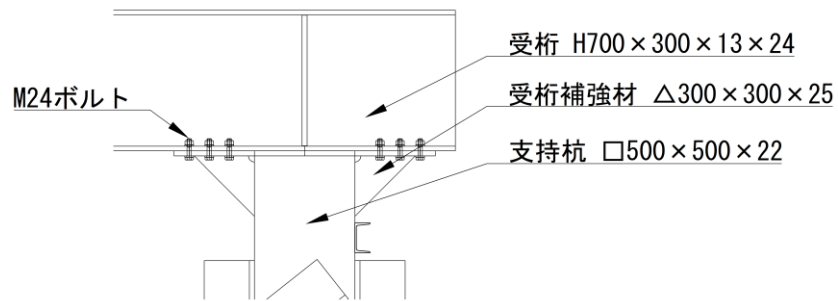
(詳細部 b：主桁－橋台（東側）)

(単位：mm)

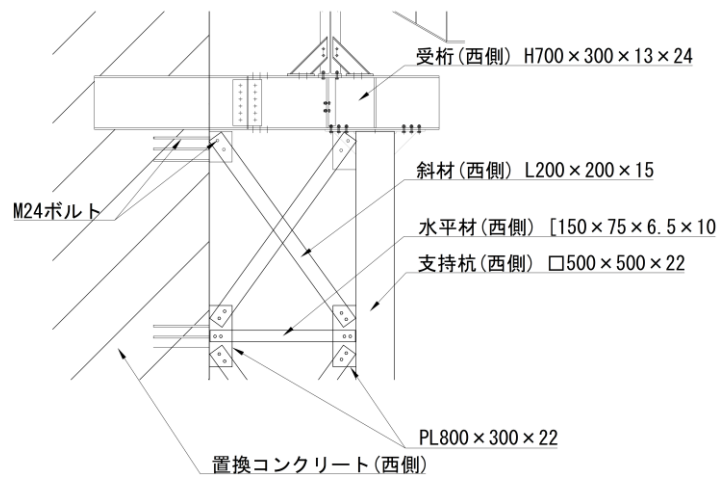
図 3-12 (1) 接合部の構造図



(詳細部 c : 桁受 - 受桁)



(詳細部 d : 支持杭 - 上部工 (受桁))



(詳細部 e)

(受桁 (西側) - 置換コンクリート (西側))

(支持杭 (西側) - 水平材 (西側), 斜材 (西側))

(水平材 (西側), 斜材 (西側) - 置換コンクリート (西側))

(単位 : mm)

図 3-12 (2) 接合部の構造図

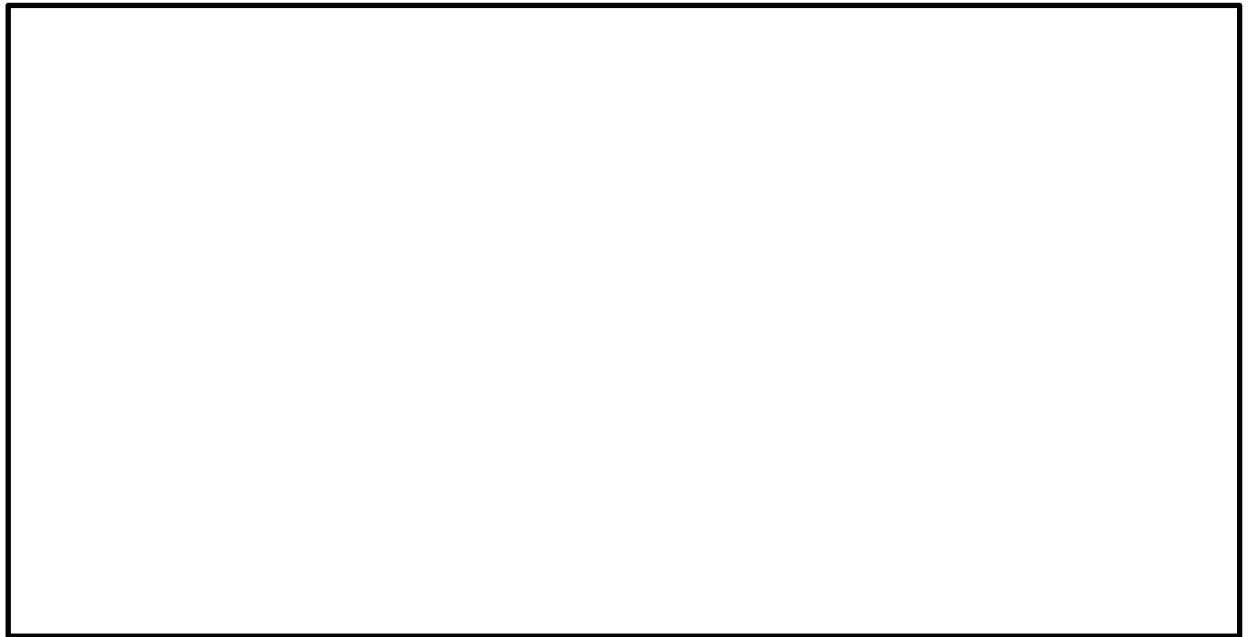
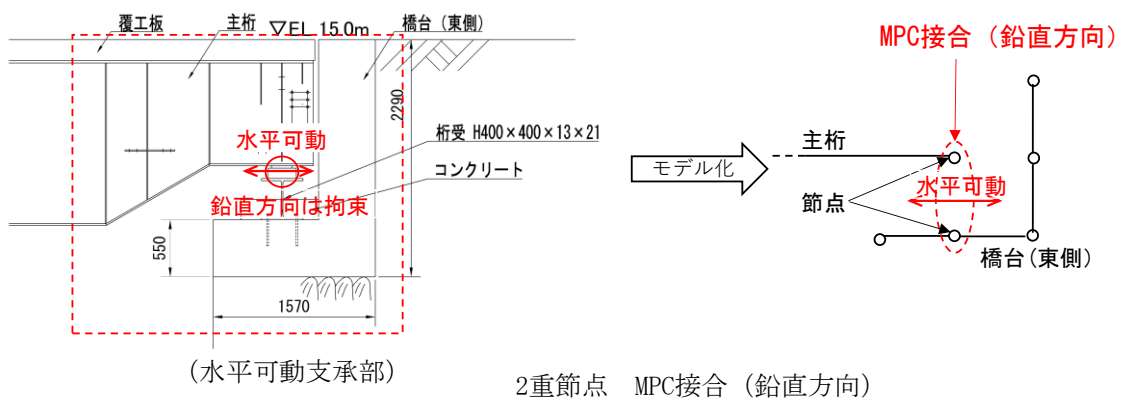
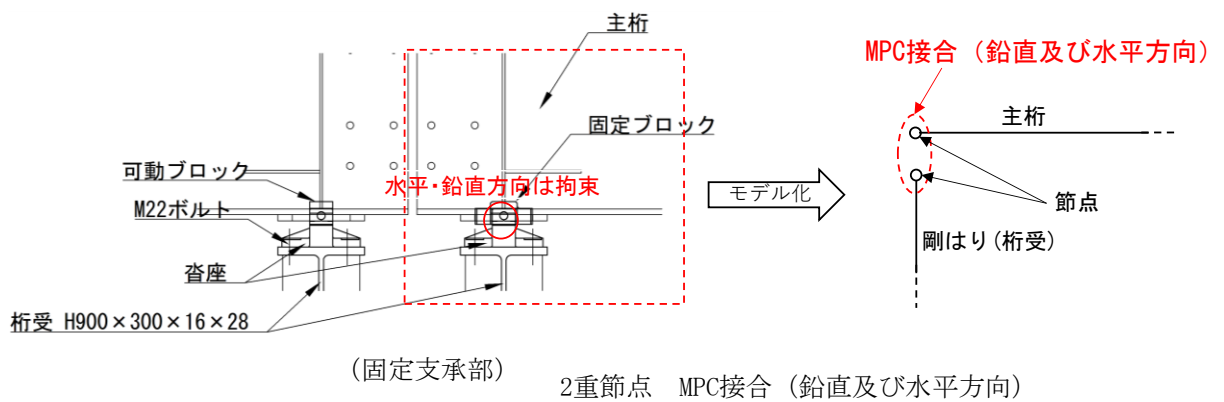


図 3-13 部材の接合条件イメージ (B-B断面)



(単位: mm)

図 3-14 2重節点の MPC 接合のモデル化イメージ

#### 3.2.4 隣接構造物等のモデル化

A-A断面における低圧原子炉代替注水ポンプ格納槽及び原子炉建物については、NS2 補足-026-10「低圧原子炉代替注水ポンプ格納槽の地震応答計算書及び耐震性についての計算書に関する補足説明資料」に示すモデルとする。

#### 3.2.5 地盤、置換コンクリート、埋戻コンクリート及びMMRのモデル化

岩盤、置換コンクリート、埋戻コンクリート及びMMRは線形の平面ひずみ要素でモデル化する。埋戻土は、地盤の非線形性をマルチスプリング要素で考慮した平面ひずみ要素でモデル化する。

なお、安全対策工事に伴う掘削箇所の斜面安定性評価については、補足-023-17「基礎地盤及び周辺斜面の安定性評価について」及び補足-020「可搬型重大事故等対処設備の保管場所及びアクセスルートに係る補足説明資料」に記載する。

地盤のモデル化に用いる、地質断面図を図3-15に示す。

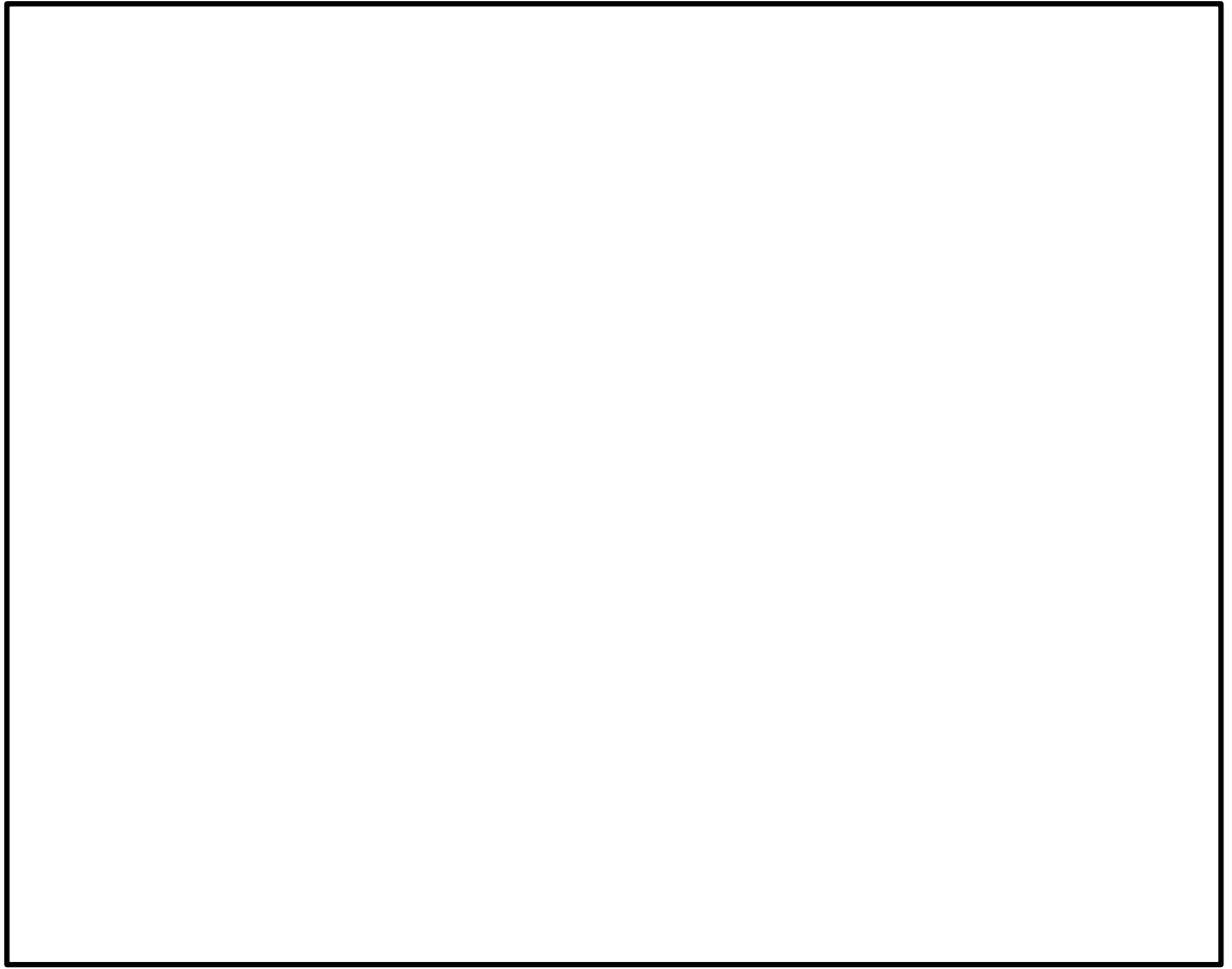


図 3-15 (1) 評価対象地質断面図 (A-A 断面 (南北方向))

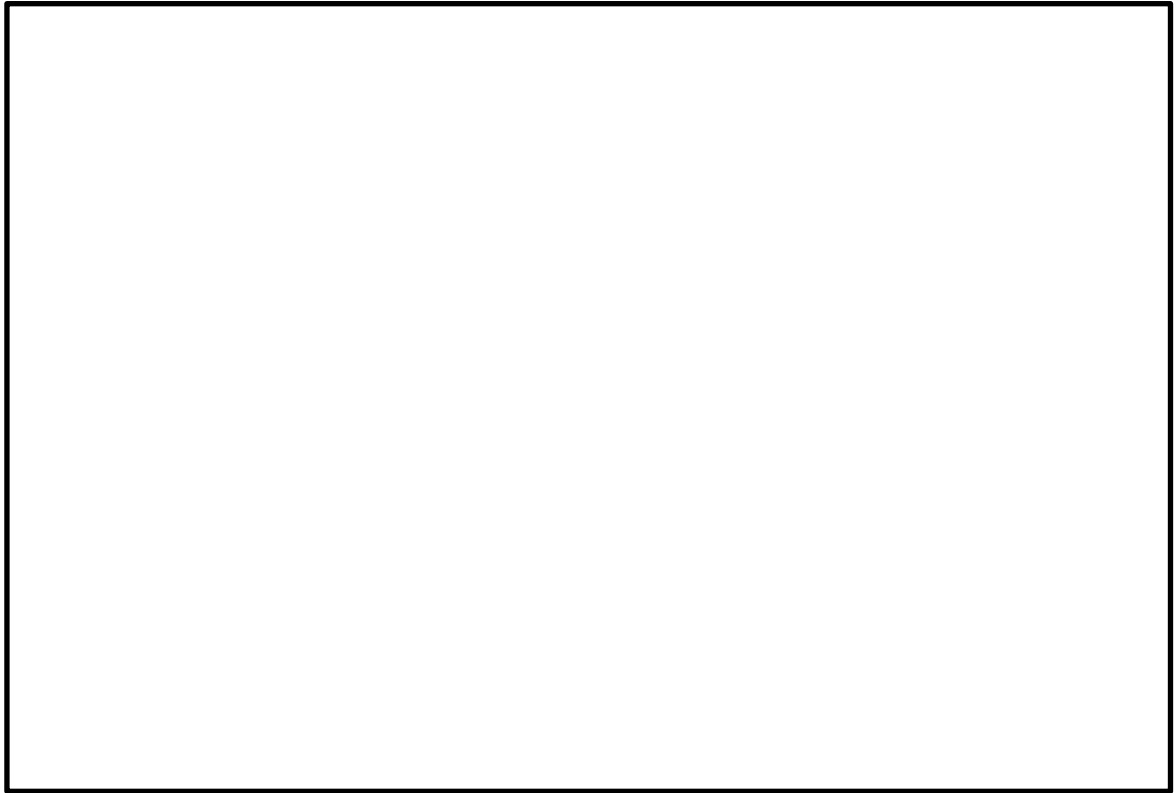


図 3-15 (2) 評価対象地質断面図 (B-B断面 (東西方向))

### 3.2.6 地震応答解析モデル

評価対象地質断面図を踏まえて設定した地震応答解析モデル図を図3-16に示す。

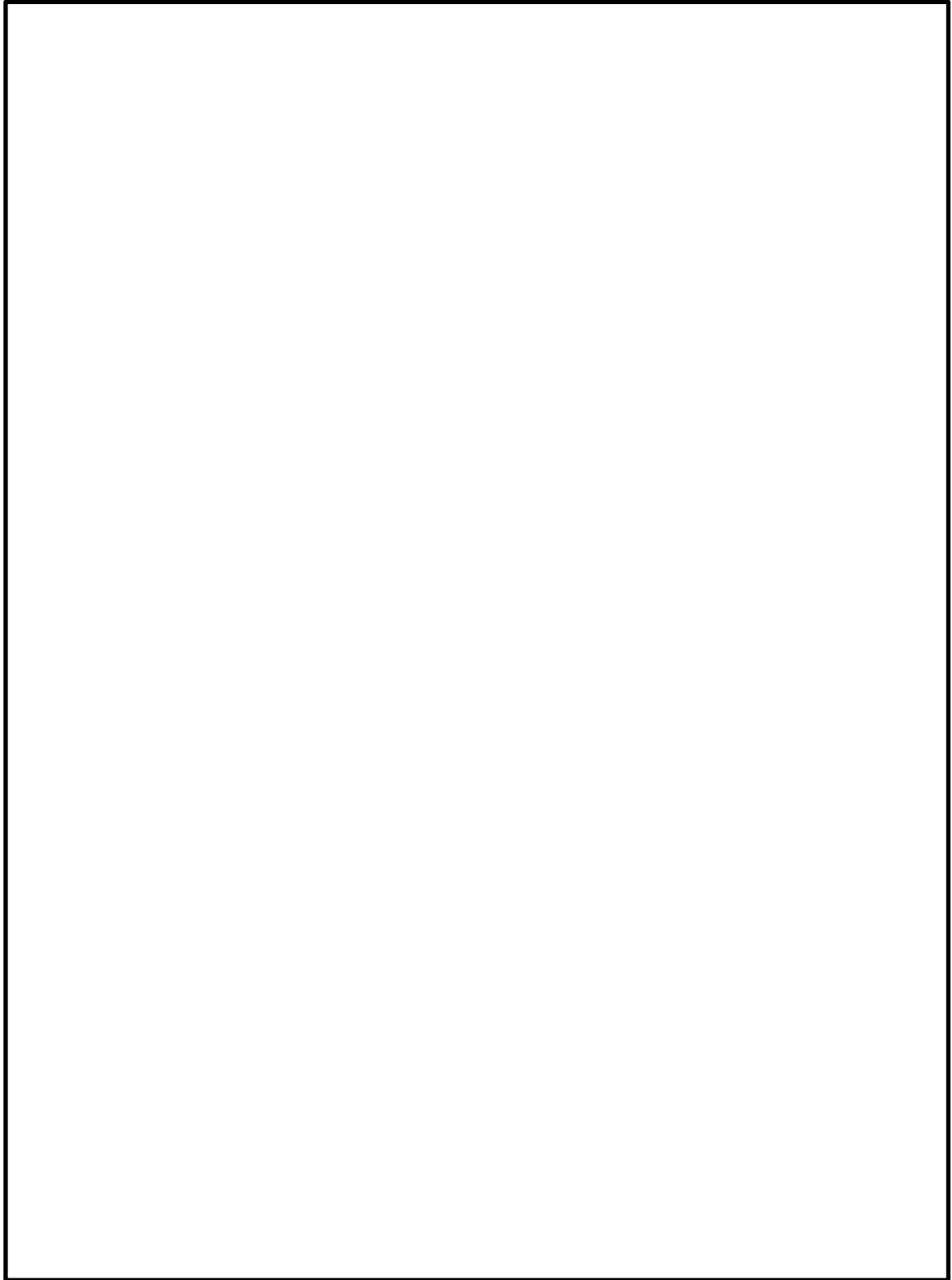


図3-16 (1) 地震応答解析モデル図 (A-A断面 (南北方向))



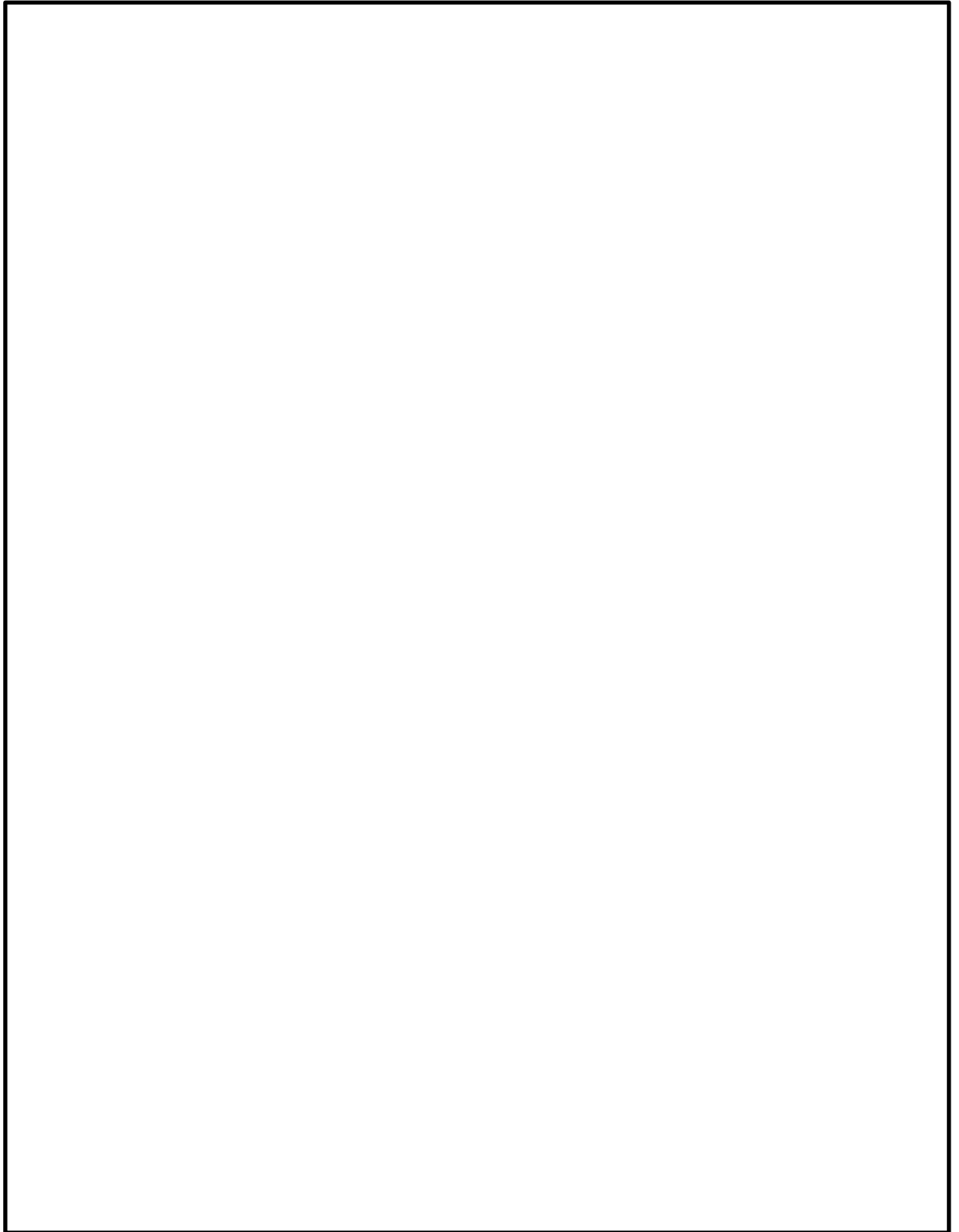


図 3-16 (2) 地震応答解析モデル図 (B-B断面 (東西方向))

### 3.2.7 ジョイント要素の設定

地盤と構造物との接合面にジョイント要素を設けることにより、地震時の地盤と構造物の接合面における剥離及びすべりを考慮する。

ジョイント要素は、地盤と構造物の接合面で法線方向及びせん断方向に対して設定する。法線方向については、常時状態以上の引張荷重が生じた場合、剛性及び応力をゼロとし、剥離を考慮する。せん断方向については、地盤と構造物の接合面におけるせん断強度以上のせん断荷重が生じた場合、せん断剛性をゼロとし、すべりを考慮する。

せん断強度  $\tau_f$  は次式の Mohr-Coulomb 式により規定される。粘着力  $c$  及び内部摩擦角  $\phi$  は周辺地盤の  $c$ 、 $\phi$  とし、VI-2-1-3「地盤の支持性能に係る基本方針」に基づき表 3-5 のとおりとする。また、要素間の粘着力  $c$  及び内部摩擦角  $\phi$  は、表 3-6 のとおり設定する。

低圧原子炉代替注水ポンプ格納槽の直下には  $C_M$  級～ $C_H$  級の岩盤が分布するが、せん断強度の設定においては一律  $C_M$  級岩盤の粘着力  $c$  及び内部摩擦角  $\phi$  を用いる。

$$\tau_f = c + \sigma \tan \phi$$

ここに、 $\tau_f$  : せん断強度

$c$  : 粘着力 (= 初期せん断強度  $\tau_0$ )

$\phi$  : 内部摩擦角

表 3-5 周辺地盤との境界に用いる強度特性

地盤	粘着力 $c$ (N/mm <sup>2</sup> )	内部摩擦角 $\phi$ (°)
岩盤 ( $C_M$ 級)	1.23	52
置換コンクリート, 埋戻コンクリート・MMR	3.58	40

表 3-6 要素間の粘着力と内部摩擦角

接合条件		粘着力 $c$ ( $N/mm^2$ )	内部摩擦角 $\phi$ ( $^\circ$ )
材料 1	材料 2		
構造物	無筋コンクリート*1	材料 2 の $c$	材料 2 の $\phi$
	埋戻土	材料 2 の $c$	材料 2 の $\phi$
	岩盤	材料 2 の $c$	材料 2 の $\phi$
無筋コンクリート*1	埋戻土	材料 2 の $c$	材料 2 の $\phi$
	岩盤	—*2	—*2

注記\*1：MMR，置換コンクリート及び埋戻コンクリートの総称

\*2：表面を露出させて打継処理が可能である箇所については，ジョイント要素を設定しない。

ジョイント要素のばね定数は，土木学会マニュアル 2005 を参考に，数値計算上，不安定な挙動を起こさない程度に周囲材料の剛性よりも十分に大きな値を設定する。表 3-7 にジョイント要素のばね定数を示す。

また，ジョイント要素の力学特性を図 3-17 に，ジョイント要素の配置を図 3-18 に示す。

表 3-7 ジョイント要素のばね定数

圧縮剛性 $k_n$ ( $kN/m^3$ )	せん断剛性 $k_s$ ( $kN/m^3$ )
$1.0 \times 10^7$	$1.0 \times 10^7$

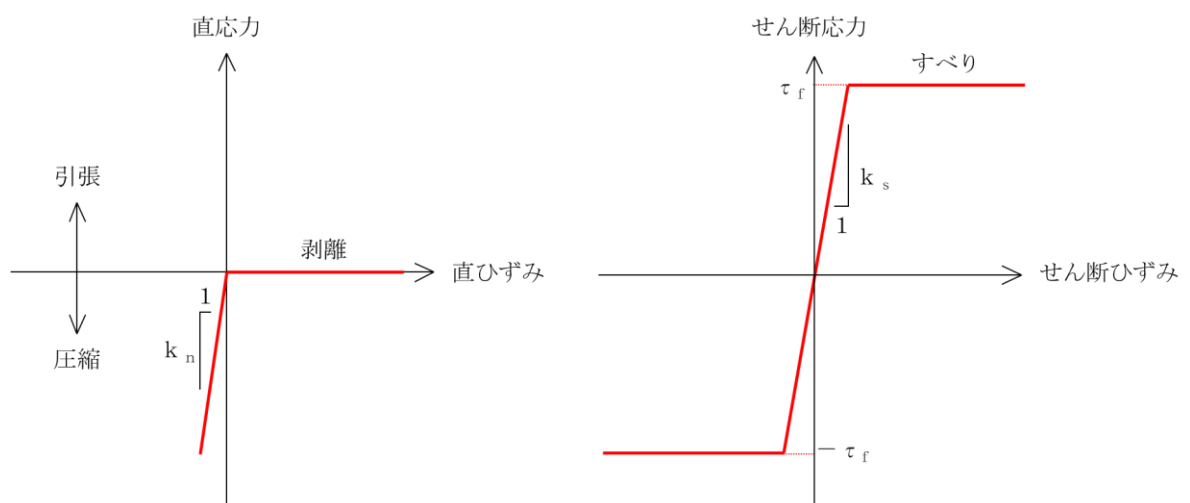


図 3-17 ジョイント要素の力学特性

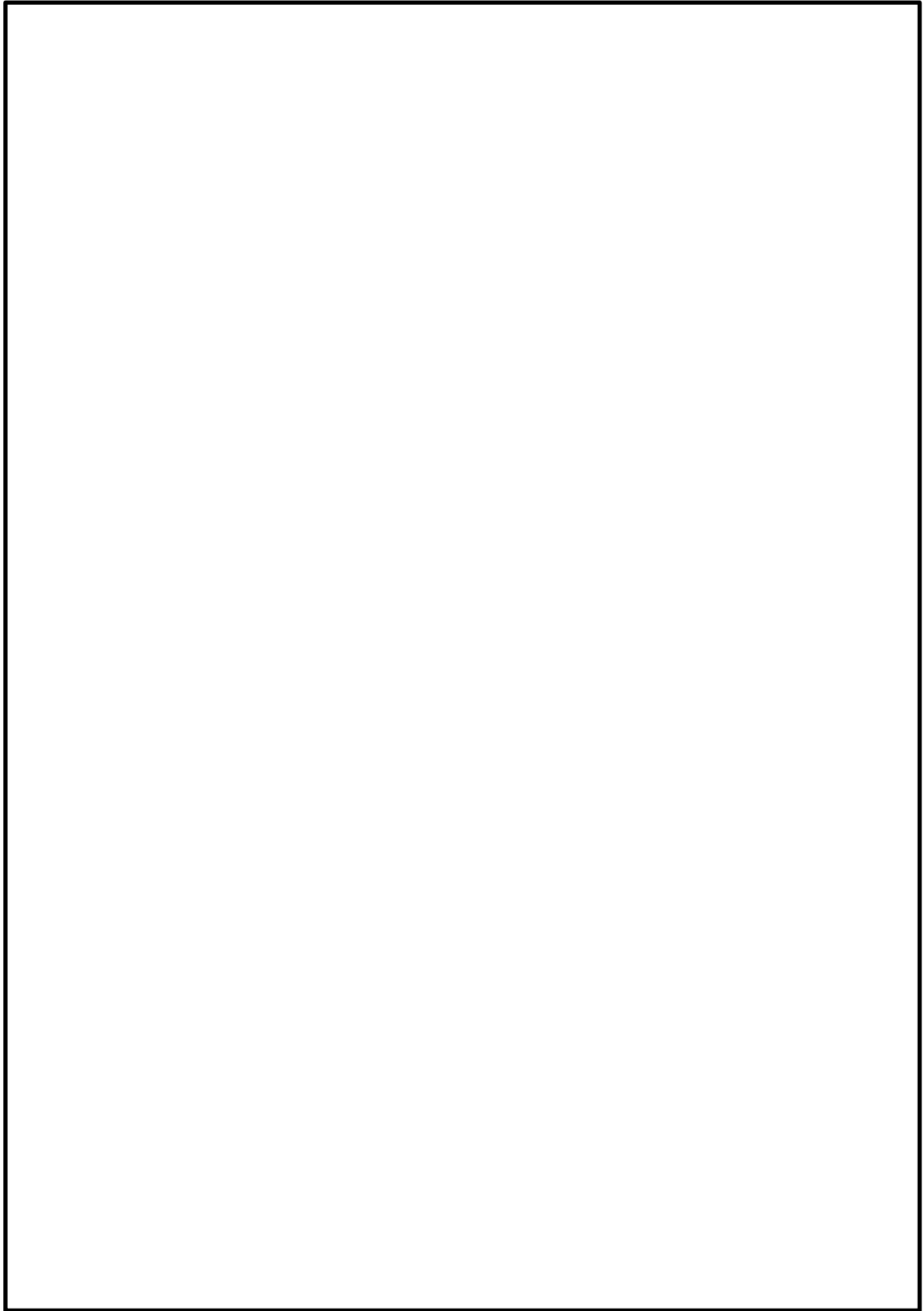


図 3-18 (1) ジョイント要素の配置 (A-A断面 (南北方向))

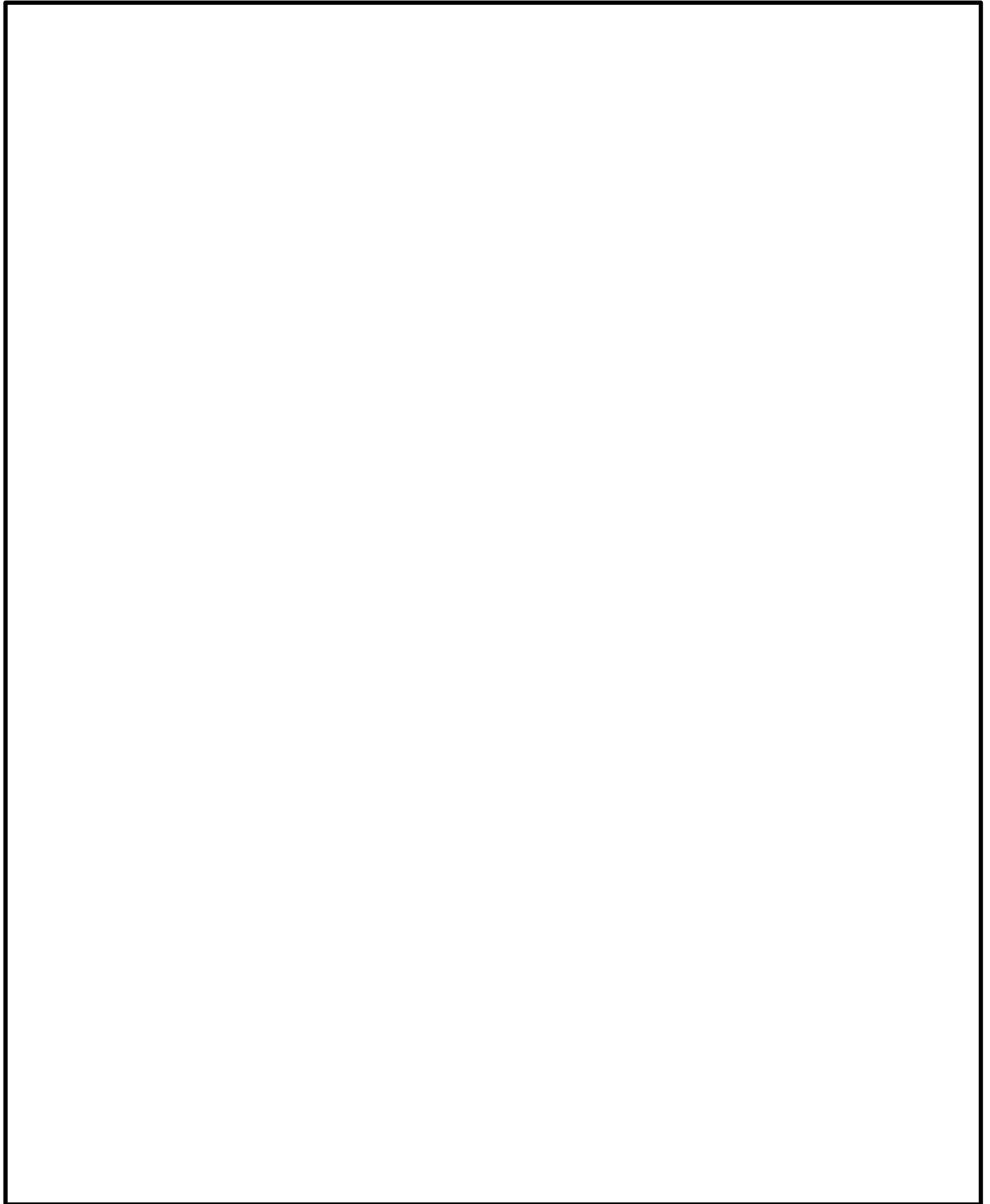


図 3-18 (2) ジョイント要素の配置 (B-B断面 (東西方向))

### 3.3 減衰定数

減衰定数は、粘性減衰及び履歴減衰で考慮する。

固有値解析にて求められる固有周期と各材料の減衰比に基づき、質量マトリックス及び剛性マトリックスの線形結合で表される以下の Rayleigh 減衰を解析モデル全体に与える。

Rayleigh 減衰の設定フローを図 3-19 に示す。

固有値解析において、構造物（鋼材）の減衰定数は、道路橋示方書・同解説（V耐震設計編）（日本道路協会平成 24 年 3 月）に示される橋脚の減衰定数である 3%を設定している。一方で、上部構造の減衰定数は 2%とされているため、構造物（鋼材）の減衰定数を 2%とした影響確認結果を参考資料 7 に示す。

$$[C] = \alpha [M] + \beta [K]$$

[C]：減衰係数マトリックス

[M]：質量マトリックス

[K]：剛性マトリックス

$\alpha$ ,  $\beta$ ：係数

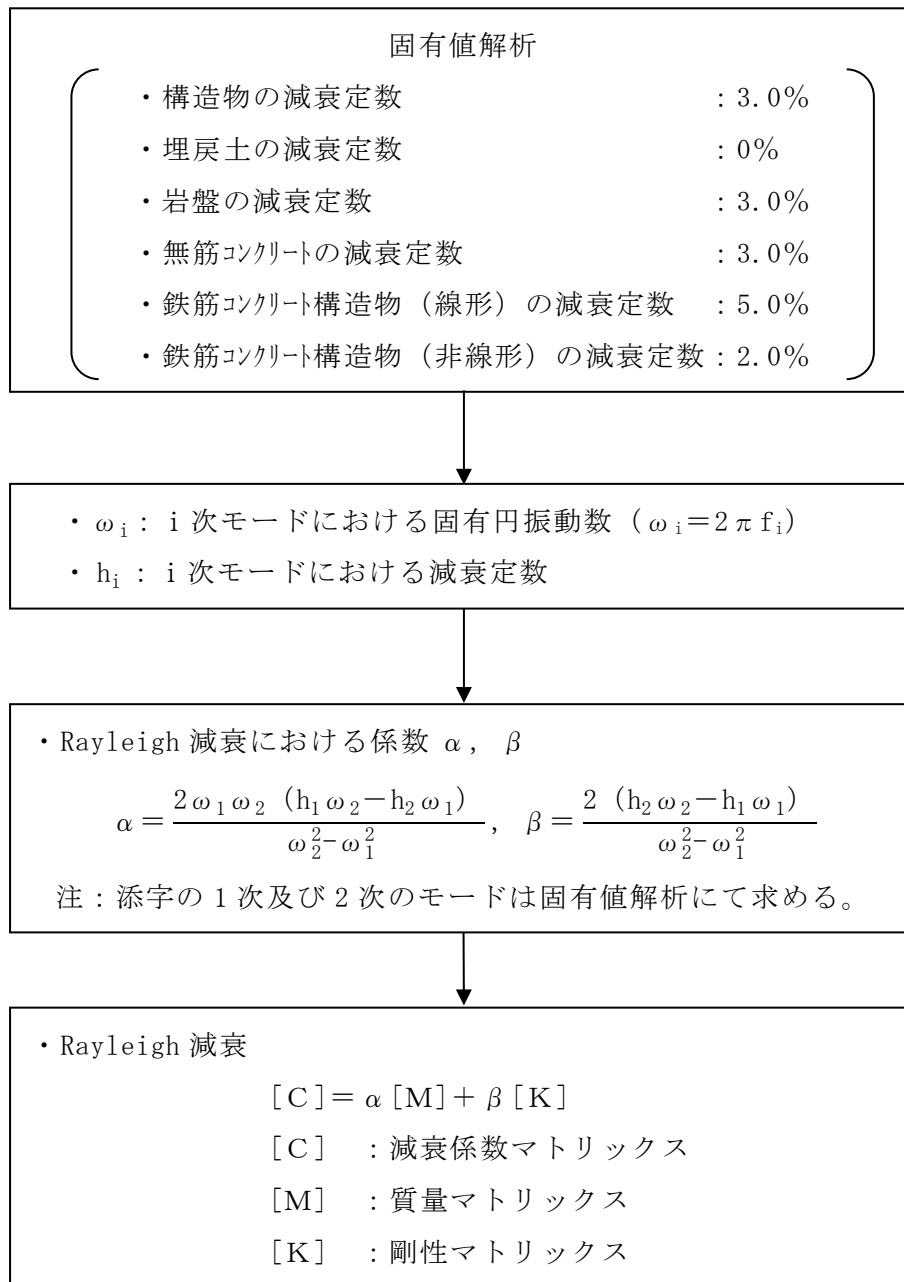


図 3-19 Rayleigh 減衰の設定フロー

Rayleigh 減衰における係数  $\alpha$  ,  $\beta$  は、低次のモードの変形が支配的となる仮設耐震構台に対して、その特定の振動モードの影響が大きいことを考慮して、固有値解析結果より得られる卓越するモードの減衰と Rayleigh 減衰が一致するように設定する。なお、卓越するモードは全体系の固有値解析における刺激係数及びモード図にて決定するが、係数  $\alpha$  ,  $\beta$  が負値となる場合は当該モードを選定しない。

固有値解析結果の一覧を表 3-8 に、固有値解析におけるモード図を図 3-20 に、係数  $\alpha$  ,  $\beta$  を表 3-9 に、固有値解析結果に基づき設定した Rayleigh 減衰を図 3-21 に示す。

表 3-8 (1) 固有値解析結果 (A-A 断面 (南北方向))

	固有振動数 (Hz)	有効質量比 (%)		刺激係数		備考
		Tx	Ty	$\beta_x$	$\beta_y$	
1	2.464	56	0	234.8	-8.957	1次として採用
2	3.313	6	1	74.04	26.5	—
3	3.799	9	0	92.97	-18.99	—
4	4.748	0	7	-17.87	79.5	—
5	5.014	4	15	-61.28	-124.2	2次として採用
6	5.222	0	5	-21.7	-70.69	—
7	5.494	2	5	38.45	69.61	—
8	5.863	5	12	-74.88	106.7	—
9	6.373	1	8	3.363	88.97	—
10	6.684	0	1	-5.635	29.24	—



表 3-8 (2) 固有値解析結果 (B-B 断面 (東西方向))

	固有振動数 (Hz)	有効質量比 (%)		刺激係数		備考
		Tx	Ty	$\beta_x$	$\beta_y$	
1	2.811	66	0	266.3	14.3	1次として採用
2	4.111	7	6	-84.79	76.85	—
3	5.088	0	0	9.177	-8.439	—
4	5.530	5	12	-76.49	-113.8	2次として採用
5	5.959	3	11	-58.94	109.6	—
6	6.373	0	0	-3.269	-11.23	—
7	6.762	1	18	20.95	-140.3	—
8	6.993	0	25	20.26	162.9	—
9	7.920	2	1	37.58	38.15	—
10	7.954	0	1	-23.61	-7.971	—

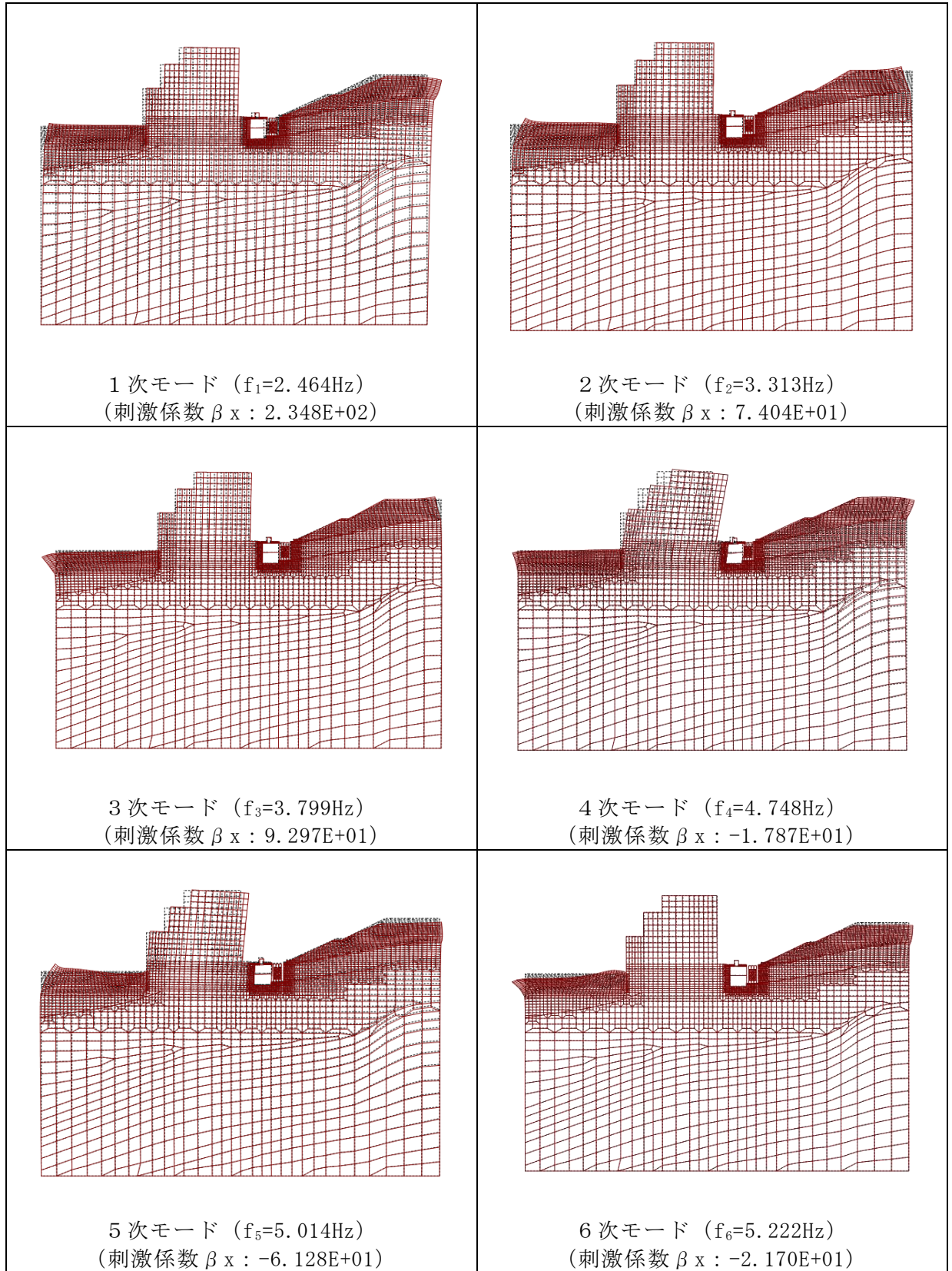


図 3-20 (1) 固有値解析結果 (モード図) (A-A 断面 (南北方向))

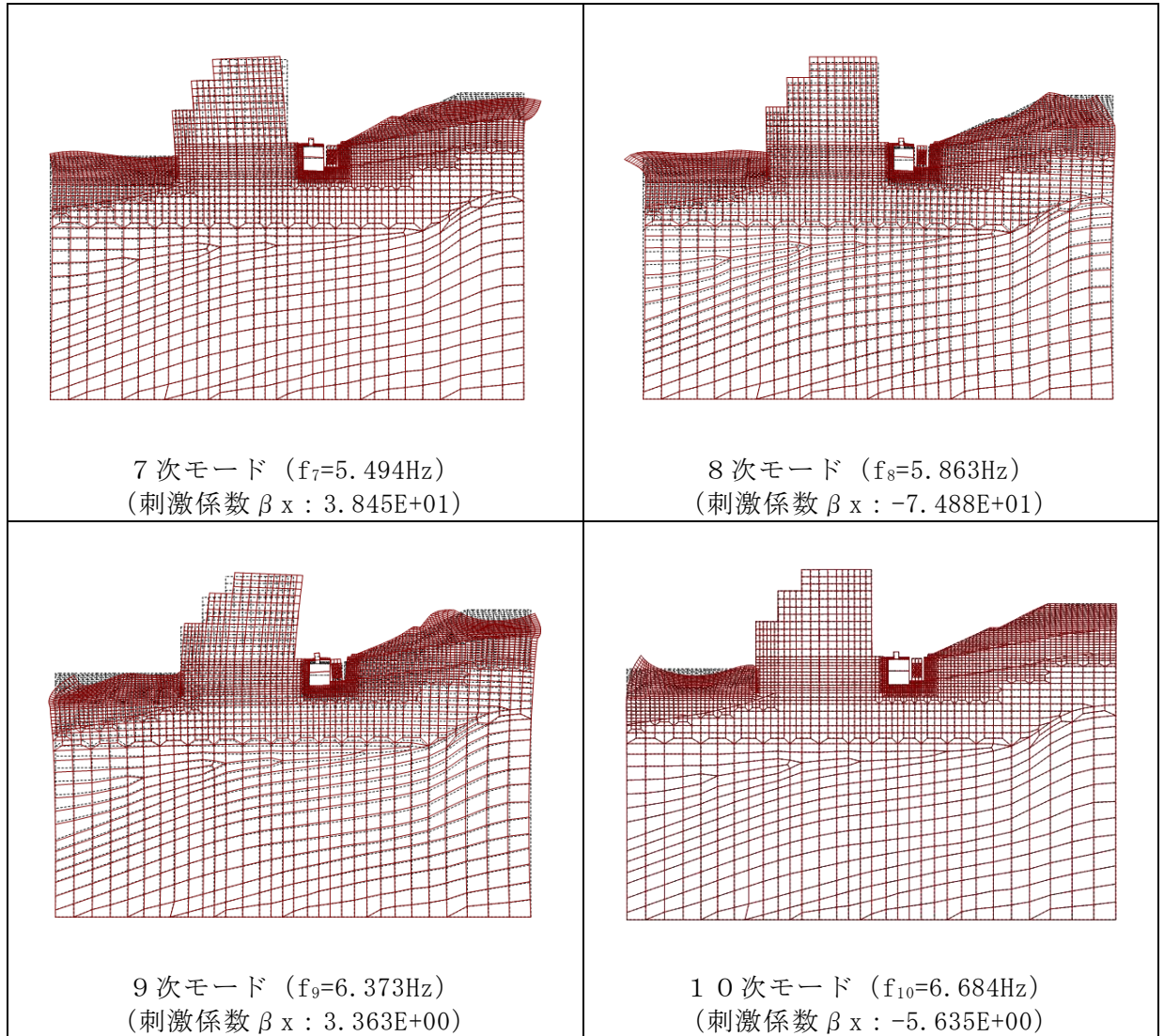


図 3-20 (2) 固有値解析結果 (モード図) (A-A断面 (南北断面))



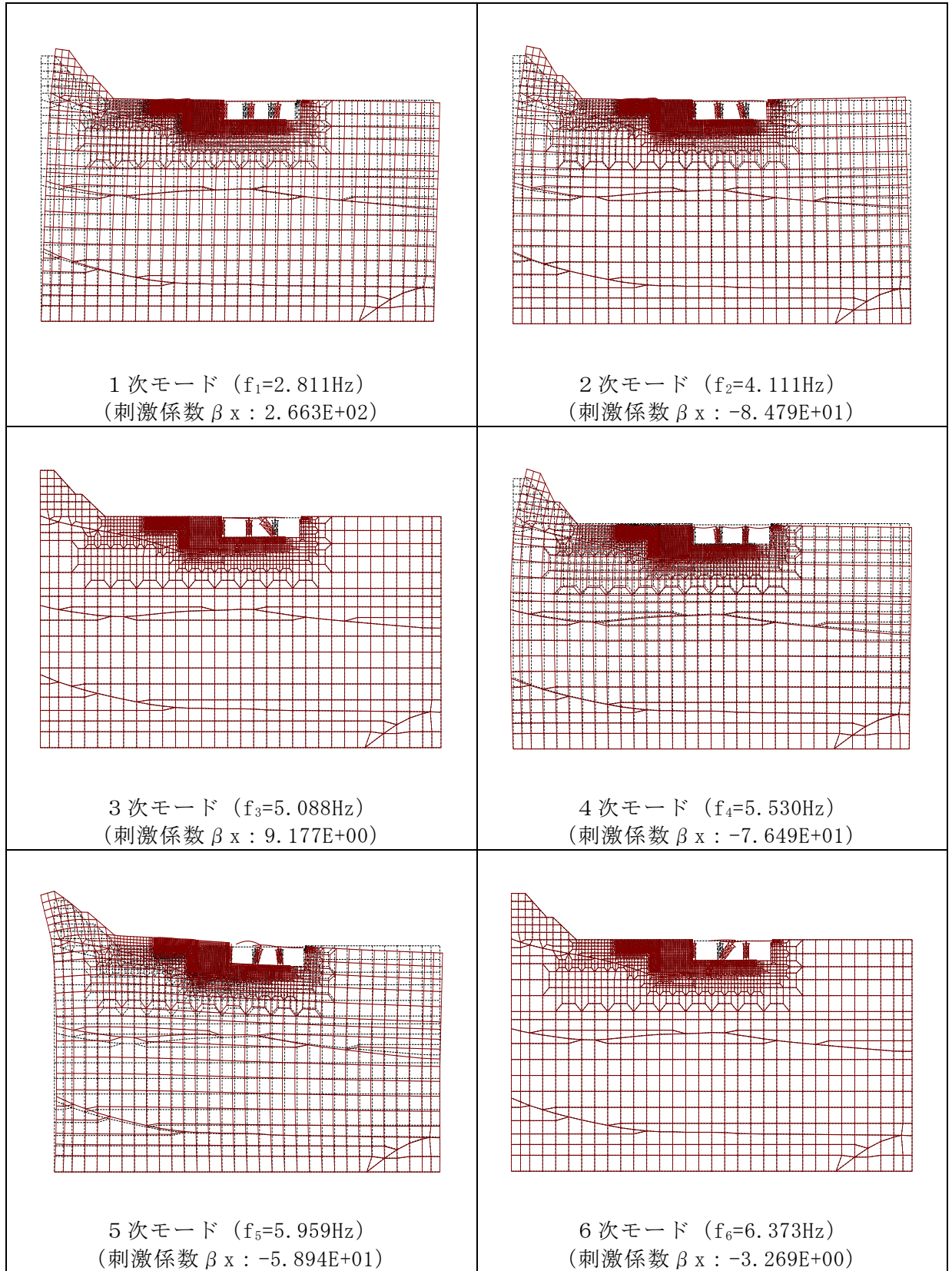


図 3-20 (3) 固有値解析結果 (モード図) (B-B 断面 (東西方向))

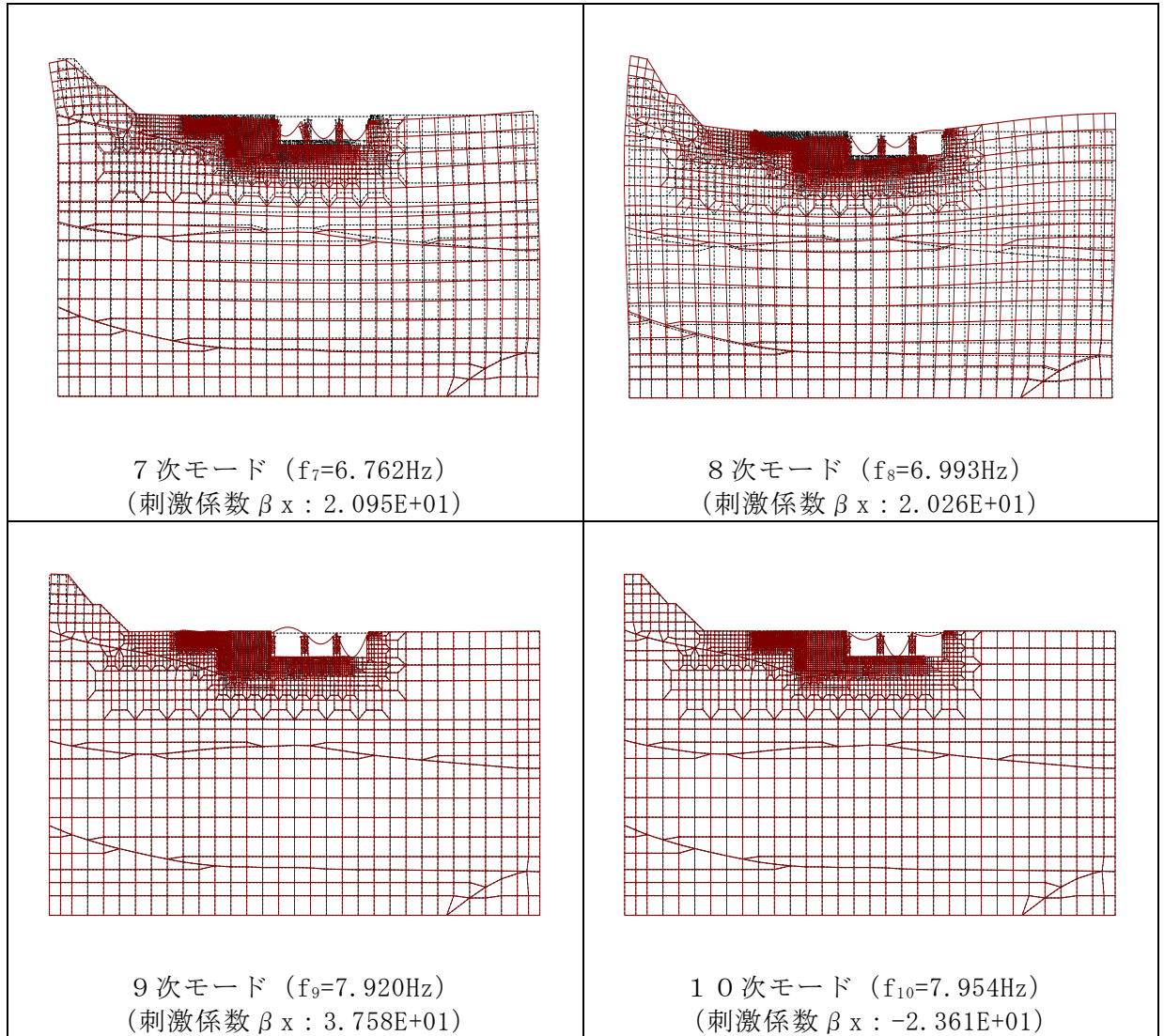


図 3-20 (4) 固有値解析結果 (モード図) (B-B断面 (東西断面))

表 3-9 Rayleigh 減衰における係数  $\alpha$  ,  $\beta$  の設定結果

評価対象断面	$\alpha$	$\beta$
A-A 断面 (南北方向)	$6.5071 \times 10^{-1}$	$1.1093 \times 10^{-3}$
B-B 断面 (東西方向)	$6.9780 \times 10^{-1}$	$1.1489 \times 10^{-3}$

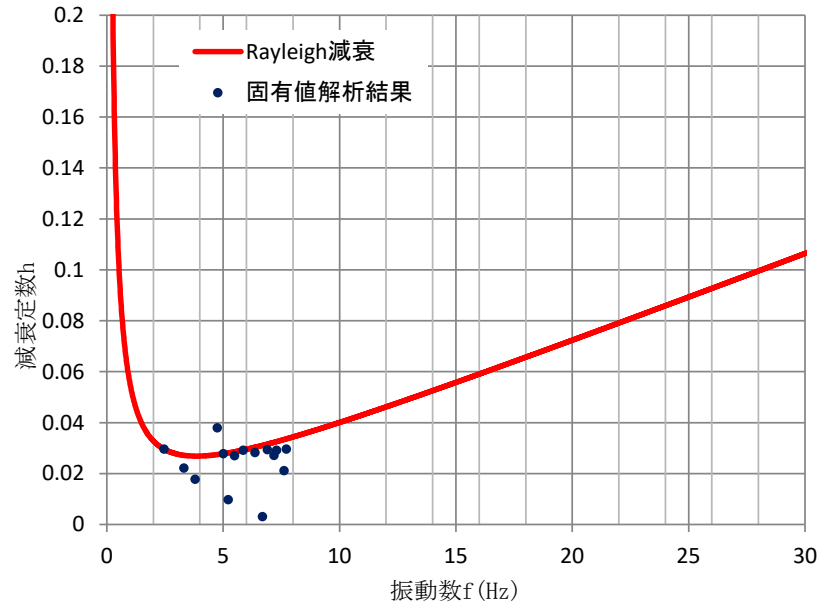


図 3-21 (1) 設定した Rayleigh 減衰 (A-A 断面 (南北方向))

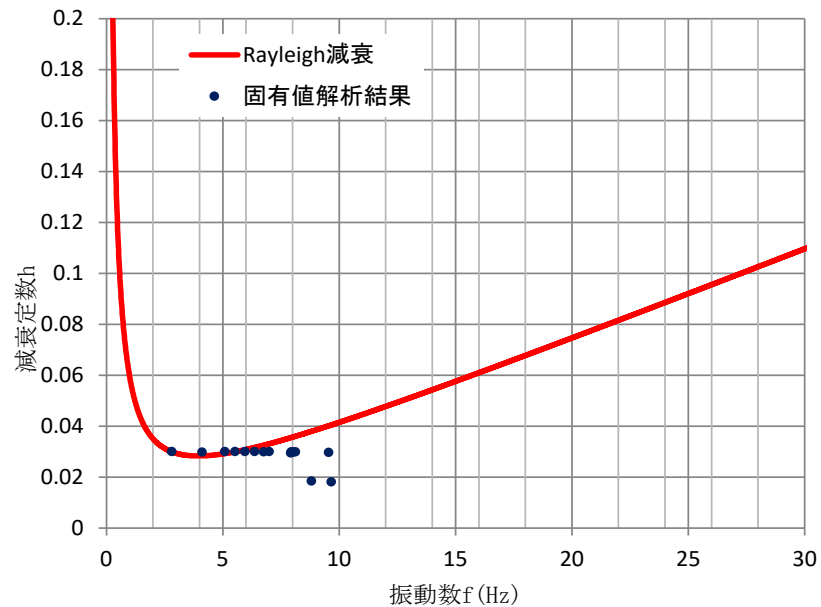


図 3-21 (2) 設定した Rayleigh 減衰 (B-B 断面 (東西方向))

### 3.4 荷重及び荷重の組合せ

道路橋示方書・同解説（V耐震設計編）（日本道路協会 平成14年3月）によると、活荷重の満載と地震が同時に発生する確率は一般に小さいこと、そして仮に地震時に車両が橋面上にあったとしても車両が橋の振動を抑制する効果があること等から、耐震設計上考慮すべき荷重とその組合せとして、主荷重のうち活荷重及び衝撃を除いた荷重と従荷重（地震の影響）を考慮することとしている。

したがって、仮設耐震構台の耐震評価にて考慮する荷重は、通常運転時の荷重（永久荷重）及び地震荷重を抽出し、それぞれを組み合わせで設定する。なお、地震荷重には、地震時土圧及び機器・配管系からの反力による荷重が含まれるものとする。

荷重の組合せを表3-10に示す。

一方、仮設耐震構台は、地震後にアクセスルートとして使用することから、可搬型重大事故等対処設備の通行性について、確認結果を参考資料8に示す。

表3-10 荷重の組合せ

種別	荷重		算定方法の概要
永久荷重 (常時荷重)	固定荷重	躯体自重	○ 設計図書に基づいて、対象構造物の体積に材料の密度を乗じて設定する。
		機器・配管荷重	— 機器・配管系がないことから考慮しない。
	積載荷重	静止土圧	○ 常時応力解析により設定する。
		外水圧	○ 地下水位に応じた静水圧として考慮する。 地下水の密度を考慮する。
		積雪荷重	○ 構造物上部及び地表面に考慮する。
	土被り荷重	— 土被りがないことから考慮しない。	
	永久上載荷重	○ 構造物上部に恒常的に置かれる設備（覆工板）を考慮する。	
偶発荷重 (地震荷重)	水平地震動	○	基準地震動 $S_s$ による水平・鉛直同時加振を考慮する。
	鉛直地震動	○	

#### 3.4.1 外水圧

外水圧は、地下水位に応じた静水圧を設定する。地下水位については、「2.6 地下水位」のとおりとし、地下水の密度として  $1.00\text{g}/\text{cm}^3$  を考慮する。

#### 3.4.2 積雪荷重

積雪荷重は、VI-1-1-3-1-1「発電用原子炉施設に対する自然現象等における損傷の防止に関する基本方針」に基づき、発電所敷地に最も近い気象官署である松江地方気象台で観測された観測史上1位の月最深積雪100cmに平均的な積雪荷重を与えるための係数0.35を考慮し35.0cmとする。積雪荷重については、松江市建築基準法施行細則により、積雪量1cmごとに  $20\text{N}/\text{m}^2$  の積雪荷重が作用することを考慮し設定する。



### 3.5 地震応答解析の解析ケース

#### 3.5.1 耐震評価における解析ケース

仮設耐震構台は岩盤を掘削した箇所に設置した地上構造物であり、水平方向の慣性力による影響が支配的であるため、鉛直動の位相反転の影響は軽微である。

また、A-A断面及びB-B断面の橋台等を除いた範囲において、おおむね左右対称の構造物であることから、水平動の位相反転の影響も軽微である。

以上を踏まえ、耐震評価における解析ケースは、表3-11のとおり、基準地震動S<sub>s</sub>全波（6波）とする。

表3-11 耐震評価における解析ケース

解析ケース			ケース①
			基本ケース
地盤物性			平均値
地震動 (位相)	S <sub>s</sub> -D	++*	○
	S <sub>s</sub> -F1	++*	○
	S <sub>s</sub> -F2	++*	○
	S <sub>s</sub> -N1	++*	○
	S <sub>s</sub> -N2 (NS)	++*	○
	S <sub>s</sub> -N2 (EW)	++*	○

注記\*：地震動の位相について、左側は水平動、右側は鉛直動を表し、「++」は反転なしケースを示す。

#### 4. 評価内容

##### 4.1 入力地震動の設定

入力地震動は、VI-2-1-6「地震応答解析の基本方針」のうち「2.3 屋外重要土木構造物」に示す入力地震動の設定方針を踏まえて設定する。

地震応答解析に用いる入力地震動は、解放基盤表面で定義される基準地震動  $S_s$  を一次元波動論により地震応答解析モデル下端位置で評価したものをを用いる。なお、入力地震動の設定に用いる地下構造モデルは、VI-2-1-3「地盤の支持性能に係る基本方針」のうち「7.1 入力地震動の設定に用いる地下構造モデル」を用いる。

入力地震動算定の概念図を図4-1に、入力地震動の加速度時刻歴波形及び加速度応答スペクトルを図4-2～図4-15に示す。入力地震動の算定には、解析コード「SHAKE」及び「microSHAKE/3D」を使用する。解析コードの検証及び妥当性確認の概要については、VI-5「計算機プログラム（解析コード）の概要」に示す。

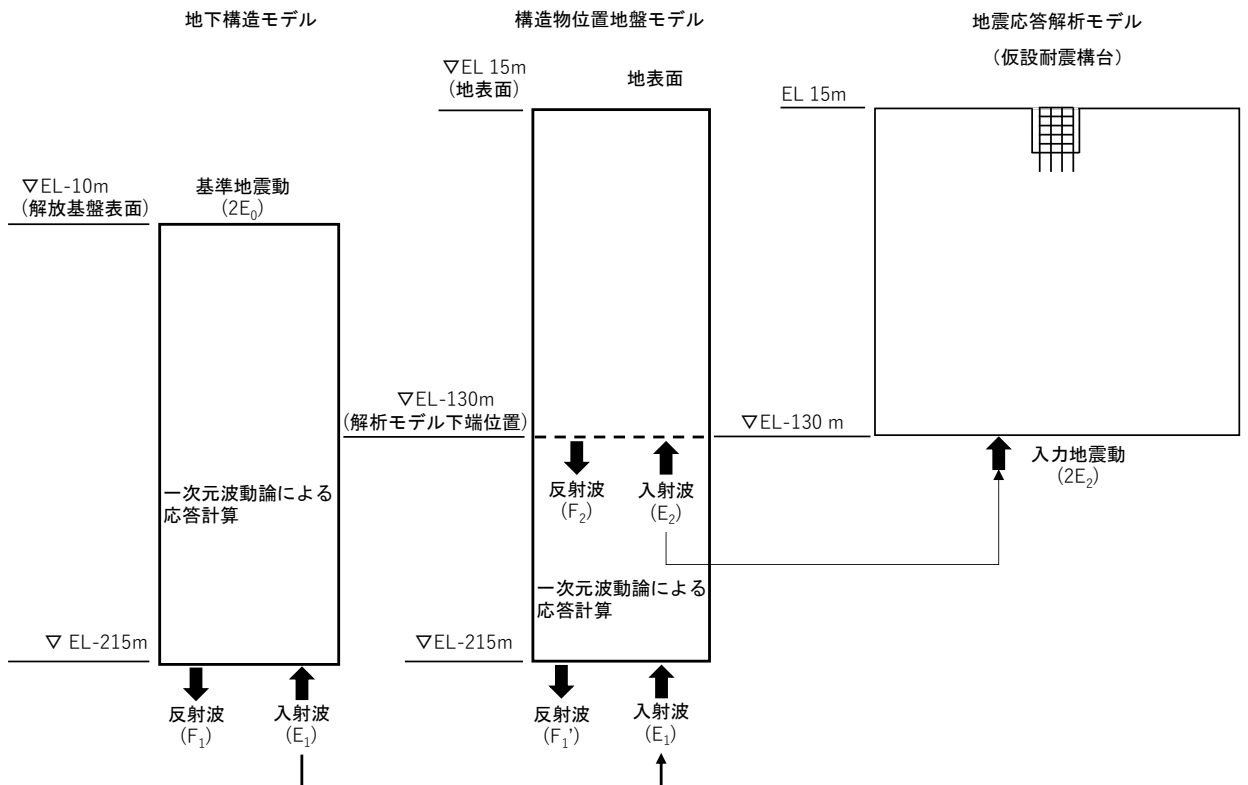
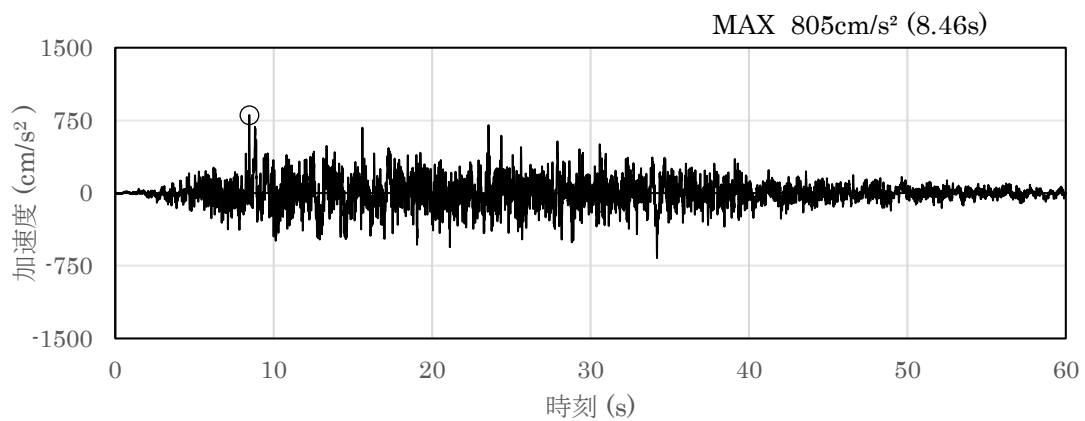
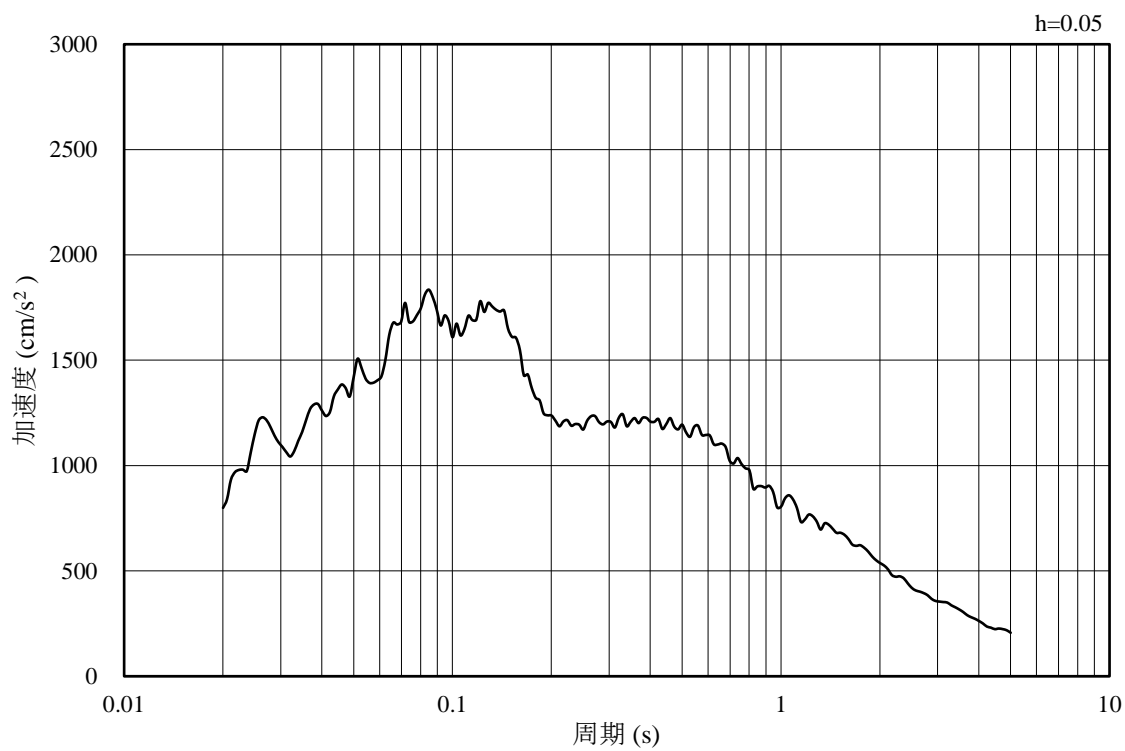


図4-1 入力地震動算定の概念図

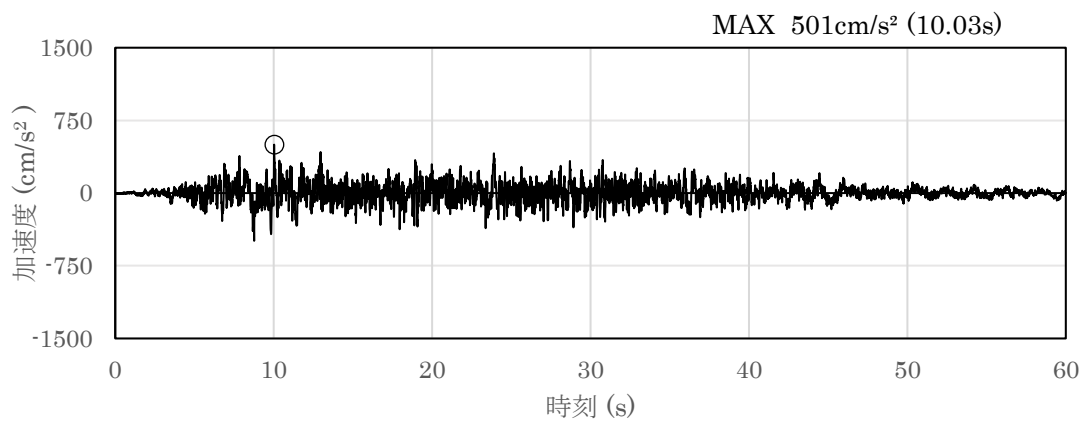


(a) 加速度時刻歴波形

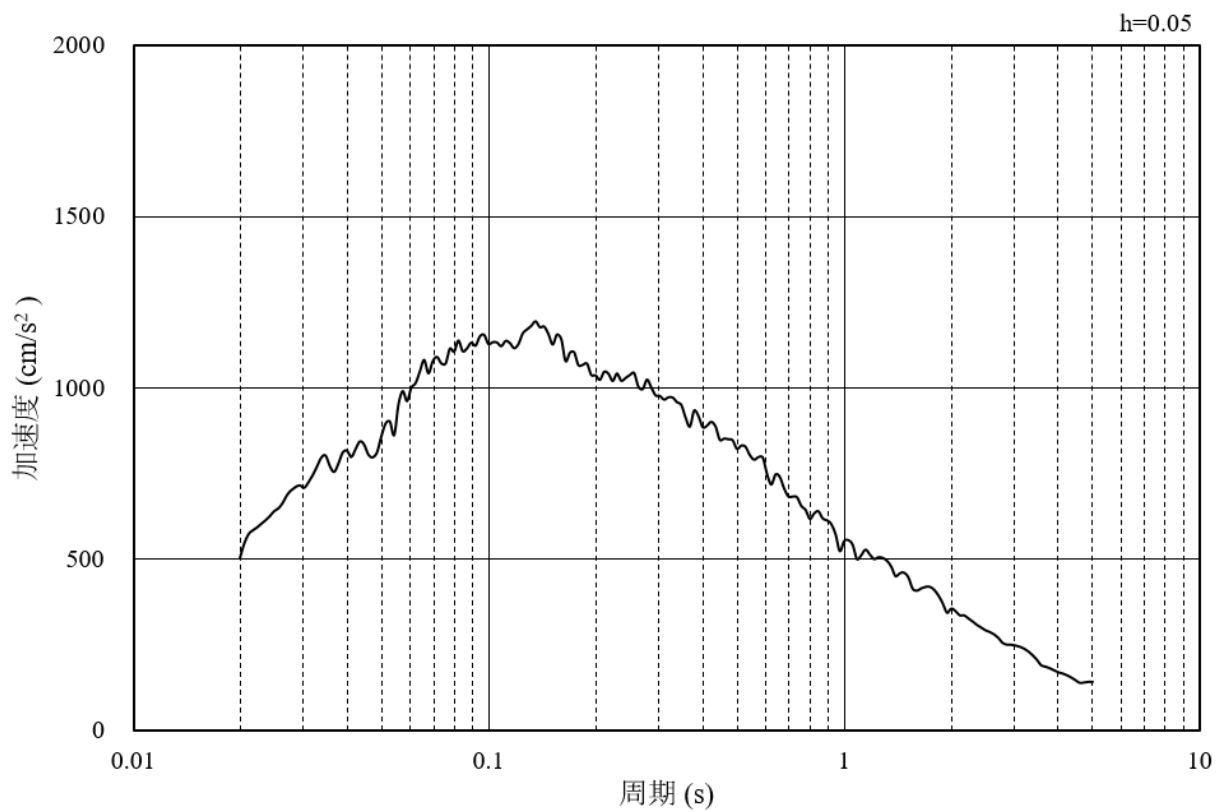


(b) 加速度応答スペクトル

図 4-2 入力地震動の加速度時刻歴波形及び加速度応答スペクトル  
(水平成分：S s - D, EL-130m)

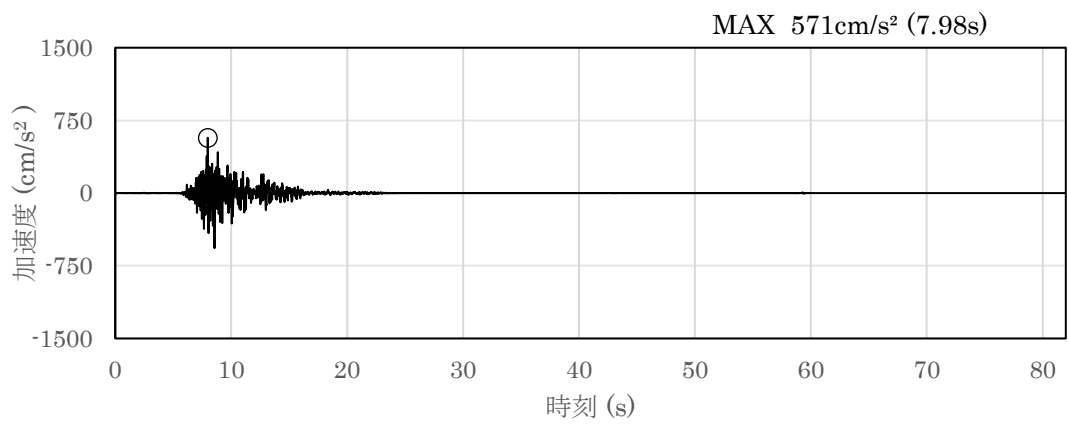


(a) 加速度時刻歴波形

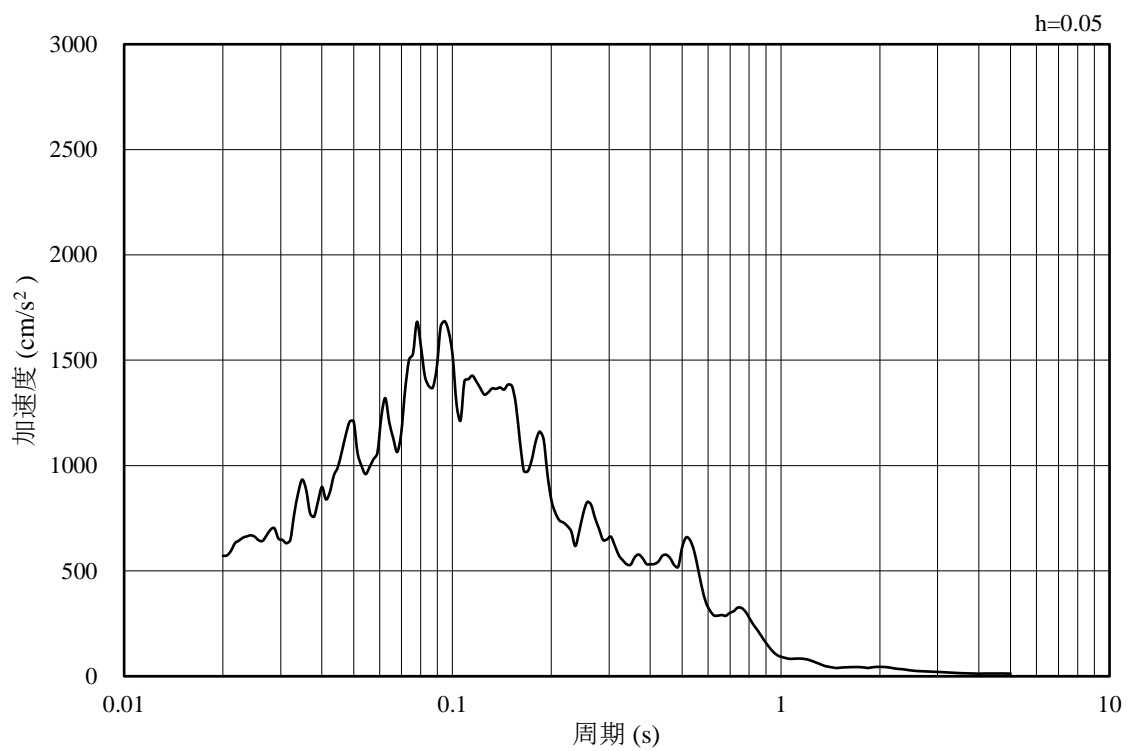


(b) 加速度応答スペクトル

図 4-3 入力地震動の加速度時刻歴波形及び加速度応答スペクトル  
(鉛直成分：S s - D, EL-130m)

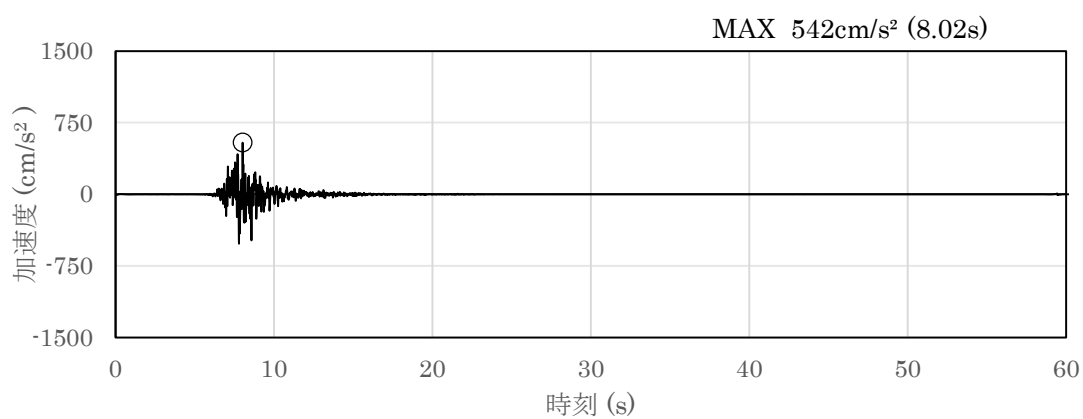


(a) 加速度時刻歴波形

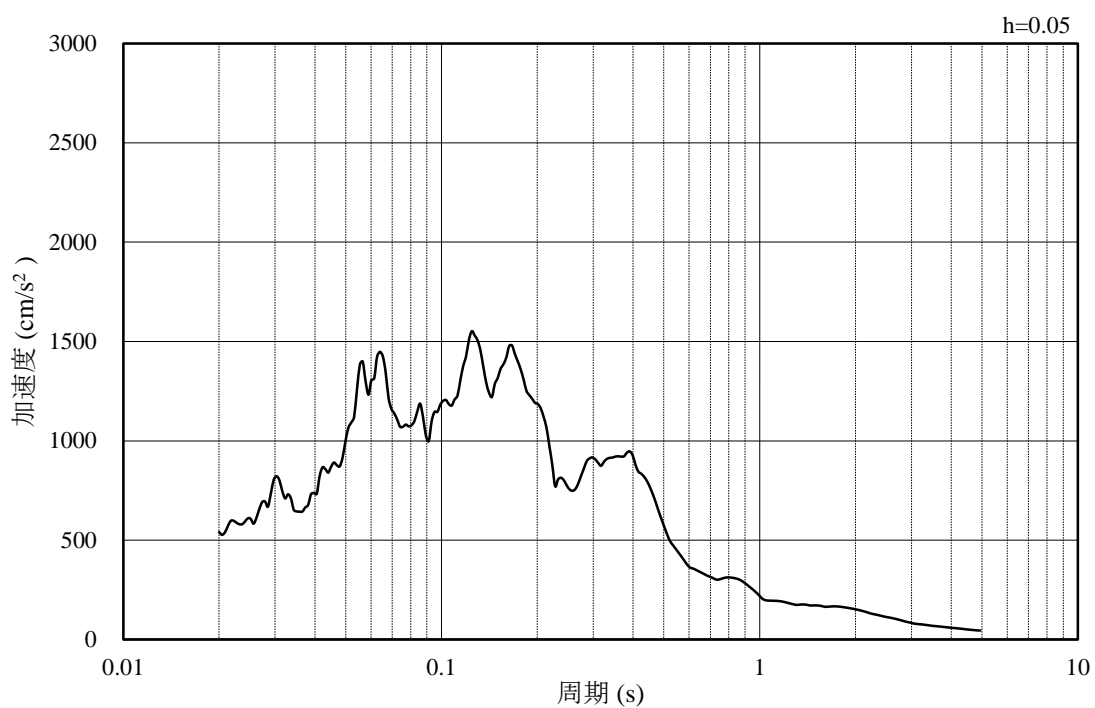


(b) 加速度応答スペクトル

図 4-4 入力地震動の加速度時刻歴波形及び加速度応答スペクトル  
(水平成分：S s - F 1 (南北方向), EL-130m)

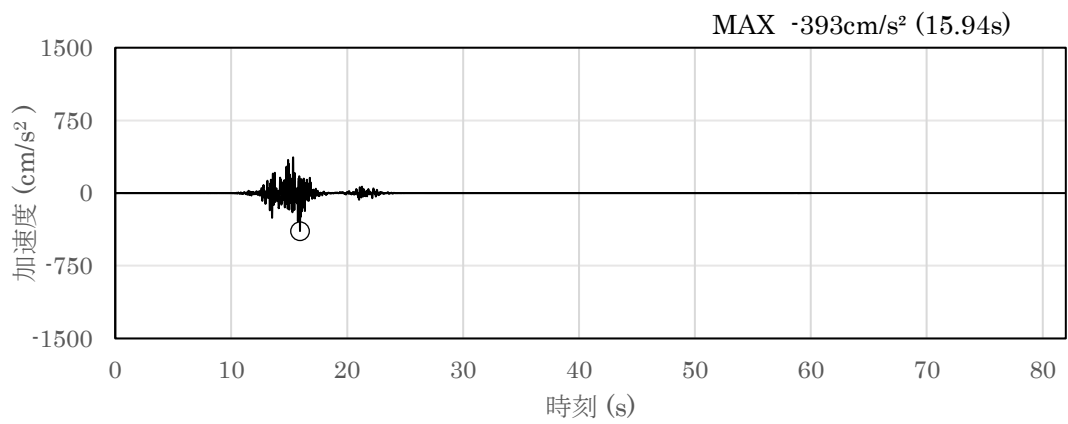


(a) 加速度時刻歴波形

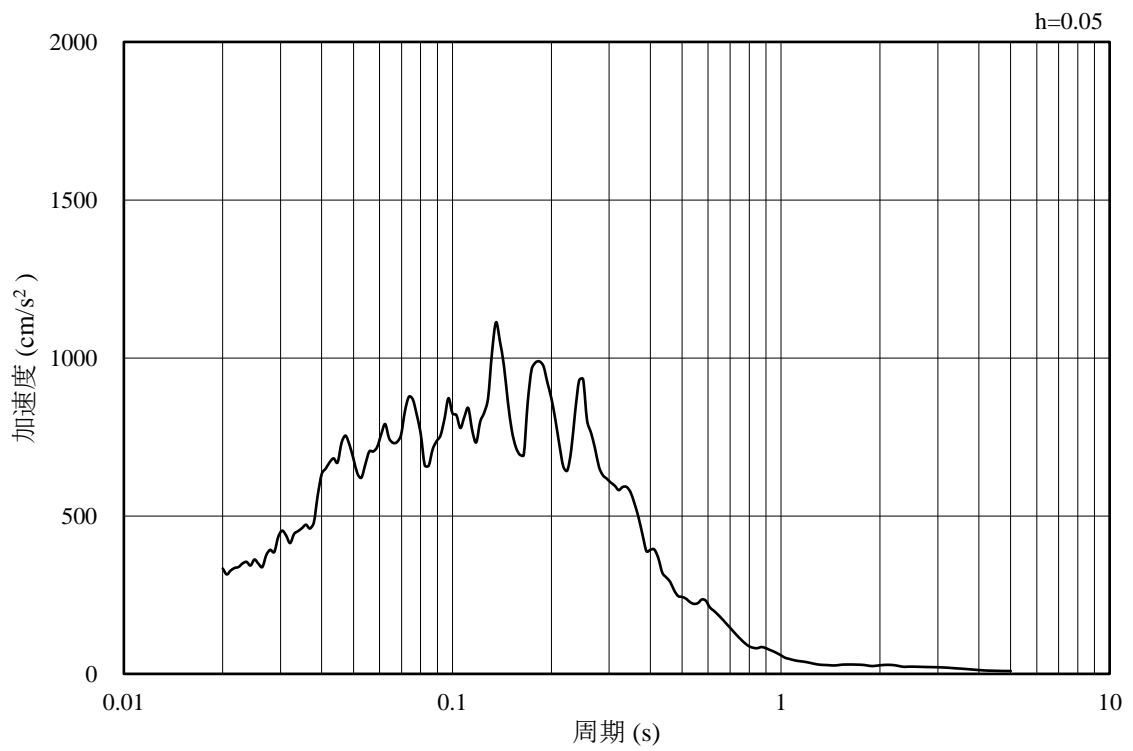


(b) 加速度応答スペクトル

図 4-5 入力地震動の加速度時刻歴波形及び加速度応答スペクトル  
(水平成分：S s - F 1 (東西方向), EL-130m)

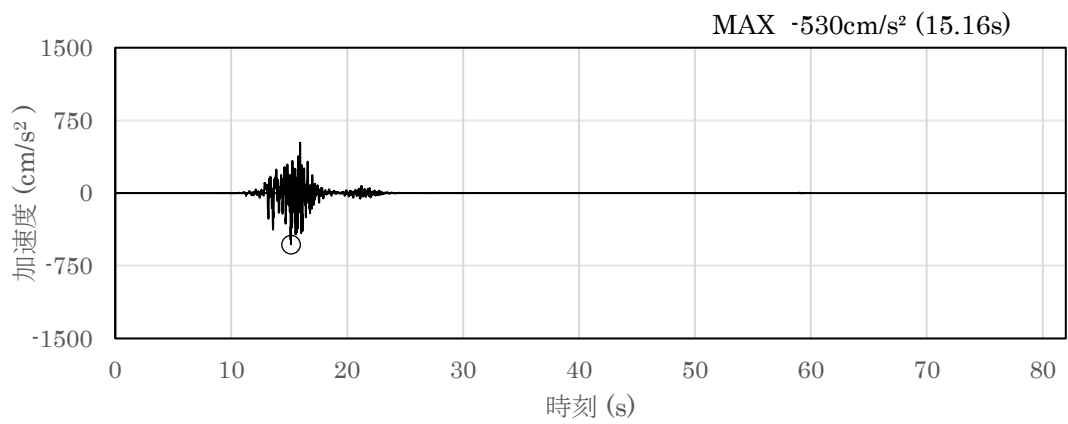


(a) 加速度時刻歴波形

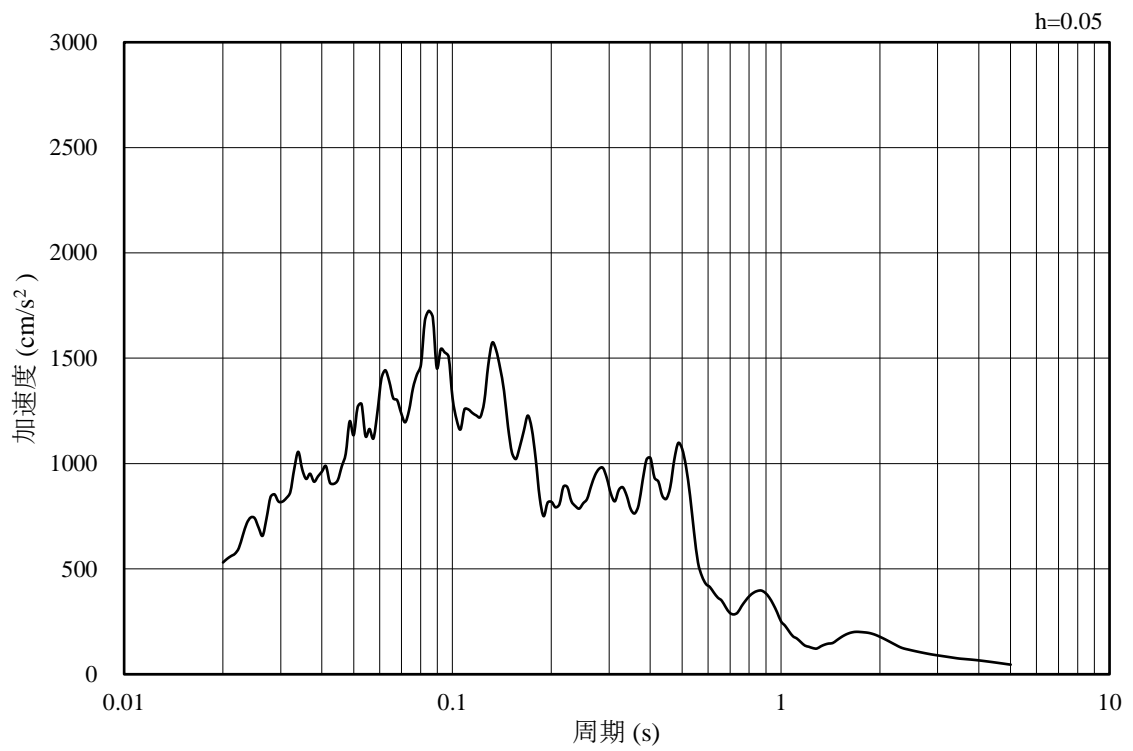


(b) 加速度応答スペクトル

図 4-6 入力地震動の加速度時刻歴波形及び加速度応答スペクトル  
(鉛直成分：S s - F 1, EL-130m)



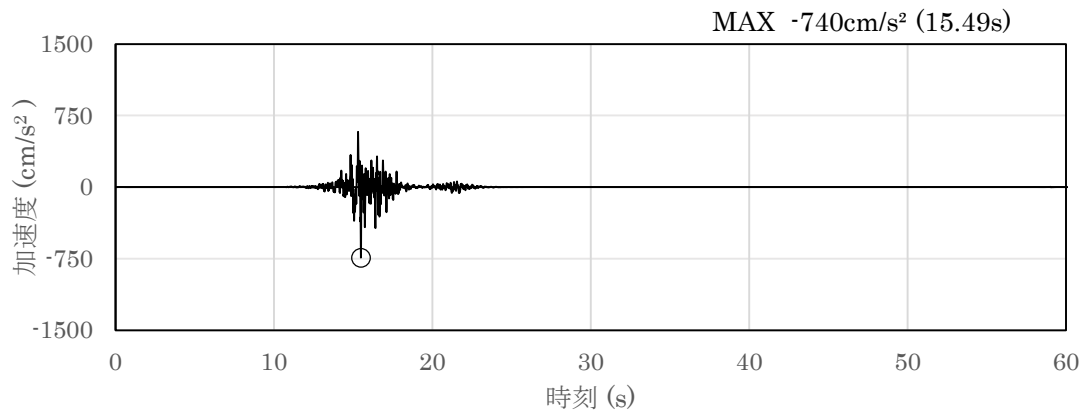
(a) 加速度時刻歴波形



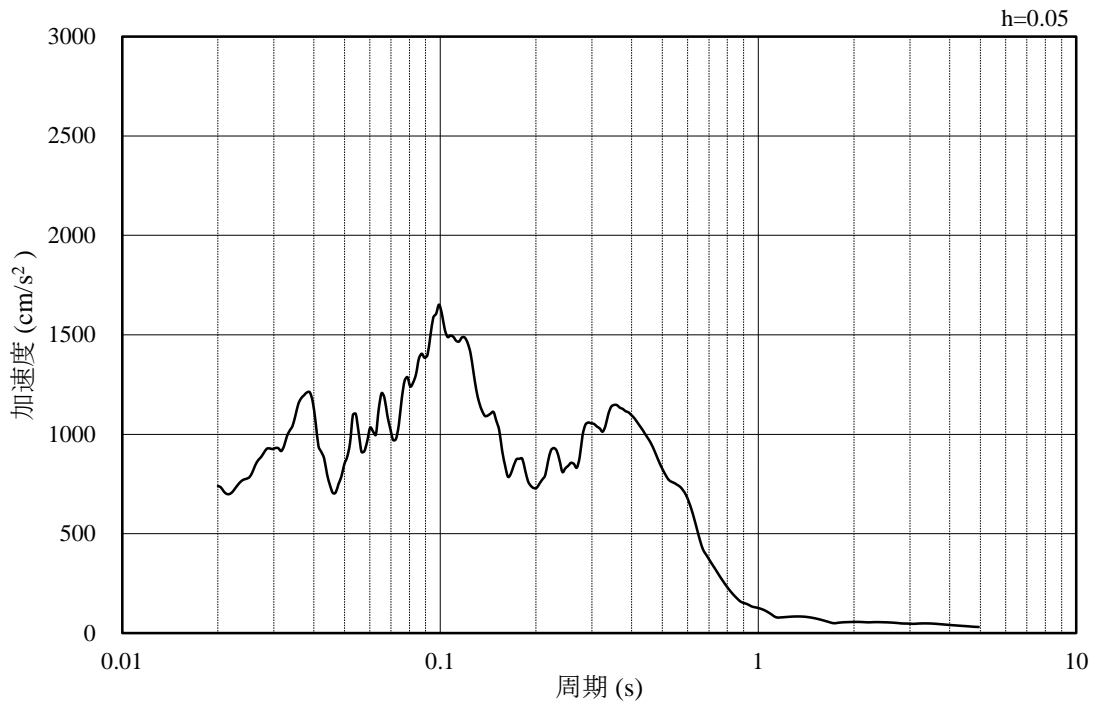
(b) 加速度応答スペクトル

図 4-7 入力地震動の加速度時刻歴波形及び加速度応答スペクトル  
(水平成分：S s - F 2 (南北方向), EL-130m)



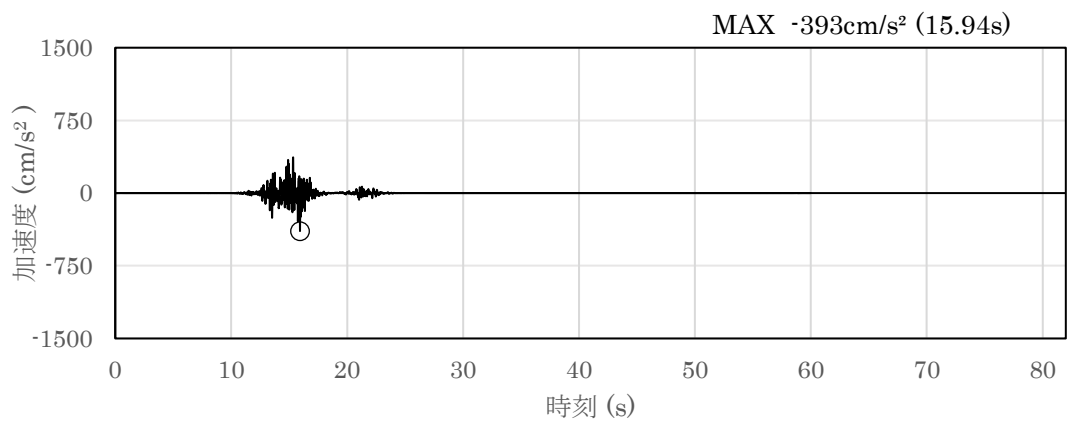


(a) 加速度時刻歴波形

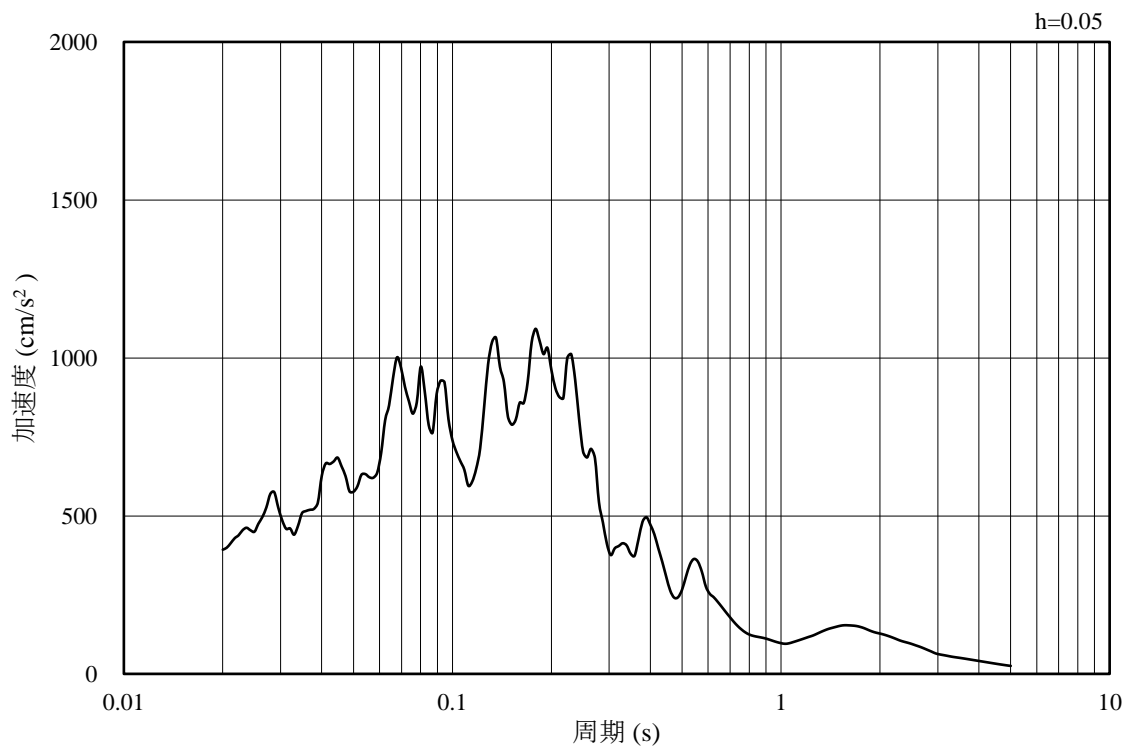


(b) 加速度応答スペクトル

図 4-8 入力地震動の加速度時刻歴波形及び加速度応答スペクトル  
(水平成分 : S s - F 2 (東西方向), EL-130m)

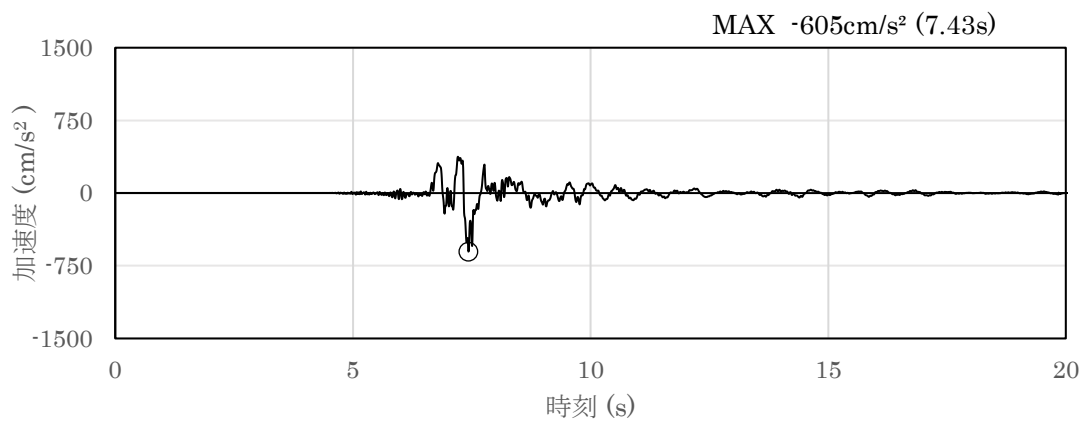


(a) 加速度時刻歴波形

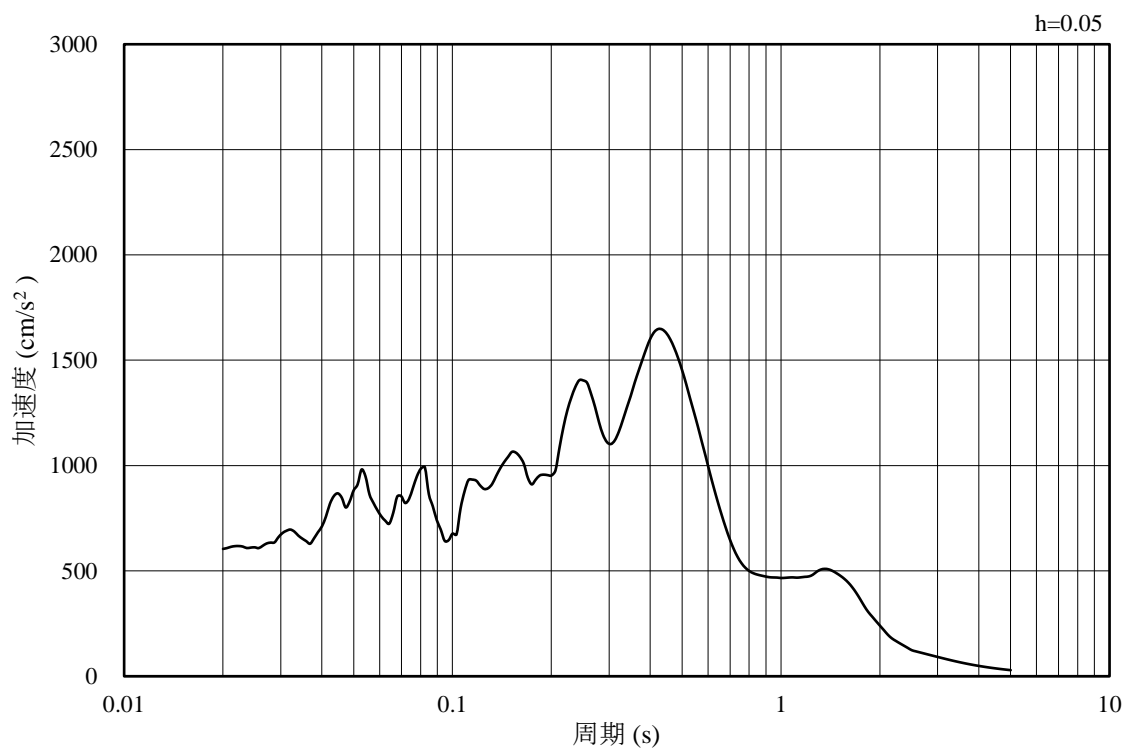


(b) 加速度応答スペクトル

図 4-9 入力地震動の加速度時刻歴波形及び加速度応答スペクトル  
(鉛直成分：S s - F 2, EL-130m)

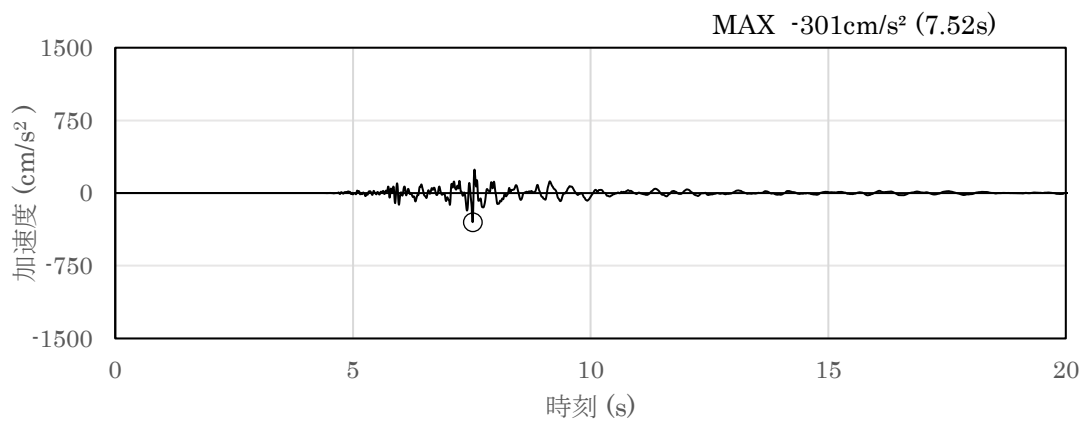


(a) 加速度時刻歴波形

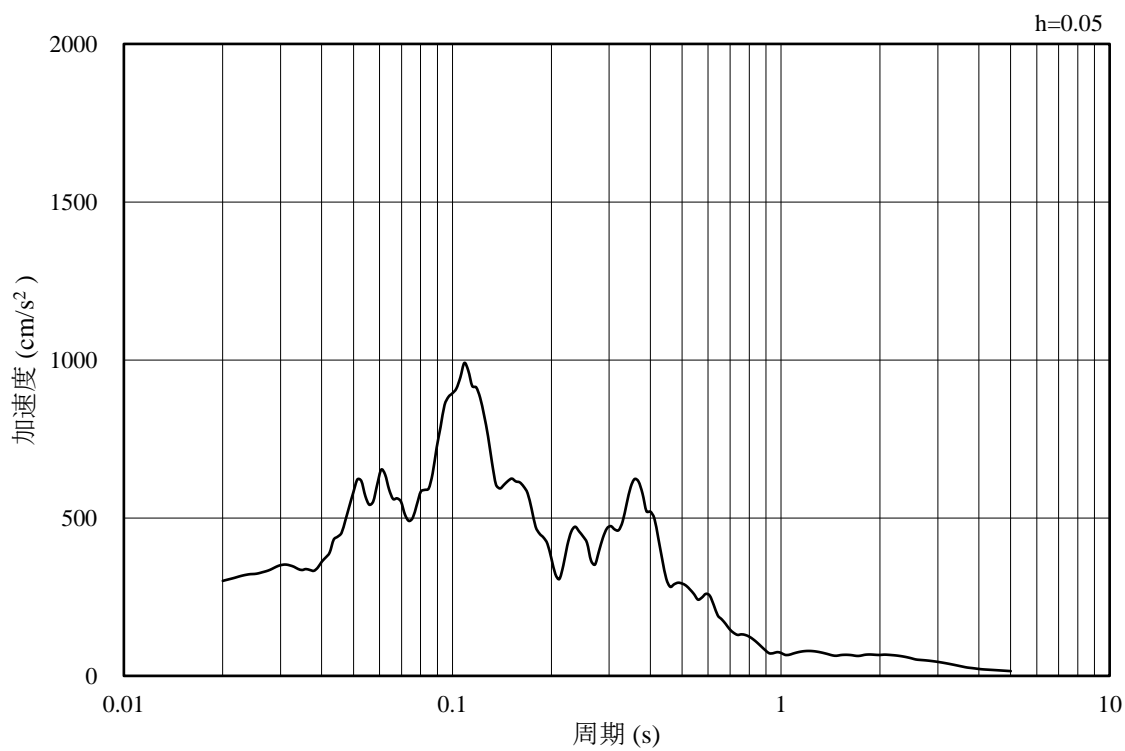


(b) 加速度応答スペクトル

図 4-10 入力地震動の加速度時刻歴波形及び加速度応答スペクトル  
(水平成分：S s - N 1, EL-130m)

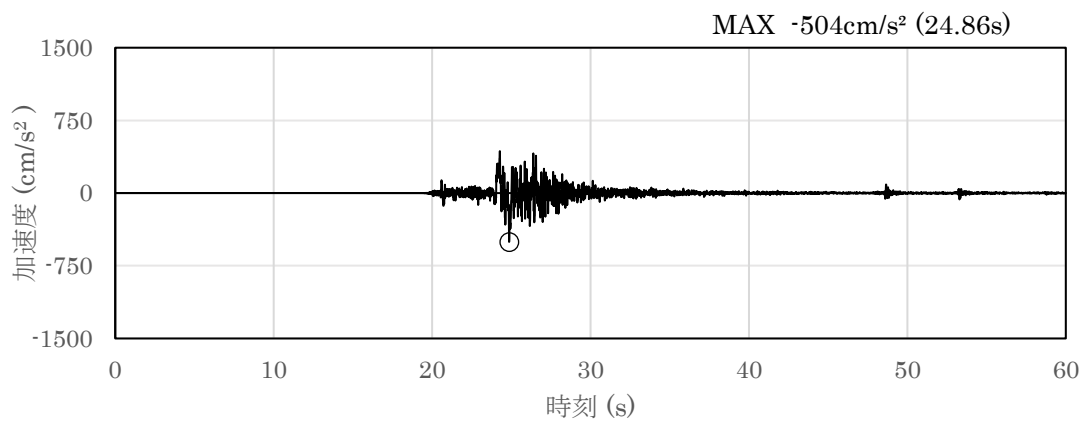


(a) 加速度時刻歴波形

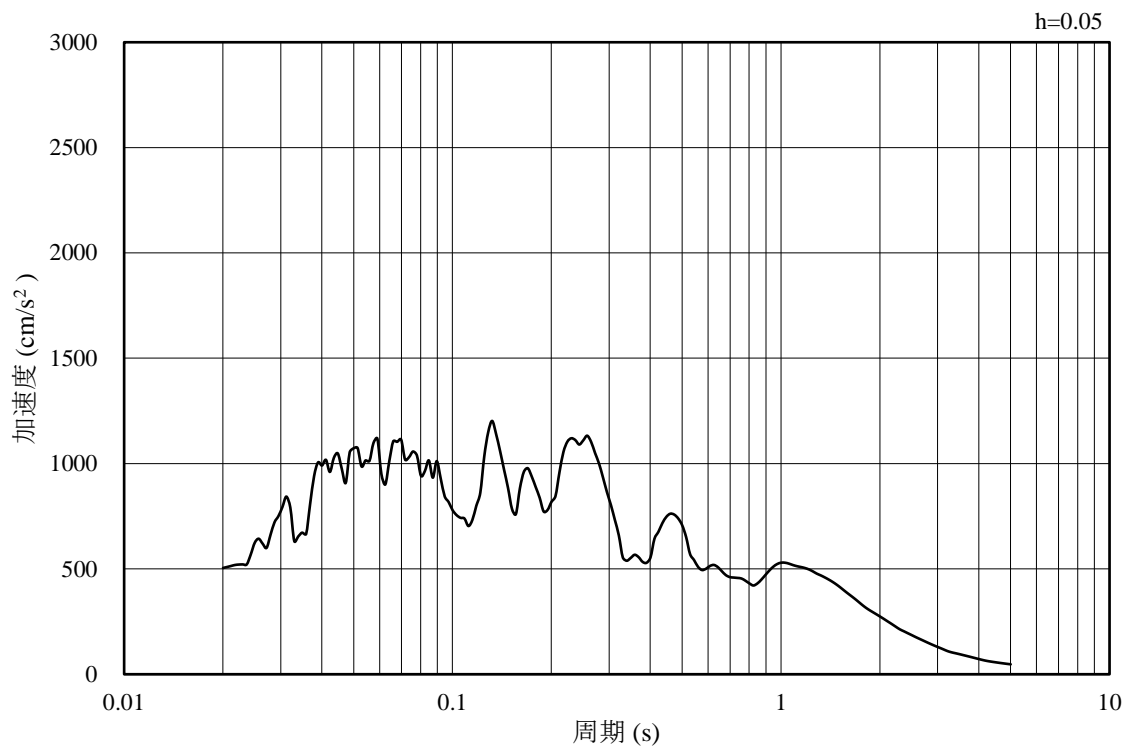


(b) 加速度応答スペクトル

図 4-11 入力地震動の加速度時刻歴波形及び加速度応答スペクトル  
(鉛直成分：S s - N 1, EL-130m)

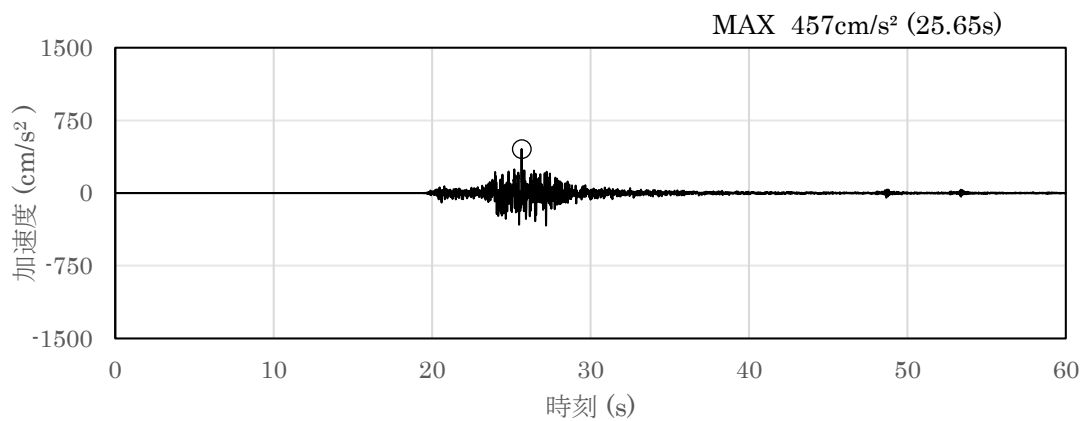


(a) 加速度時刻歴波形

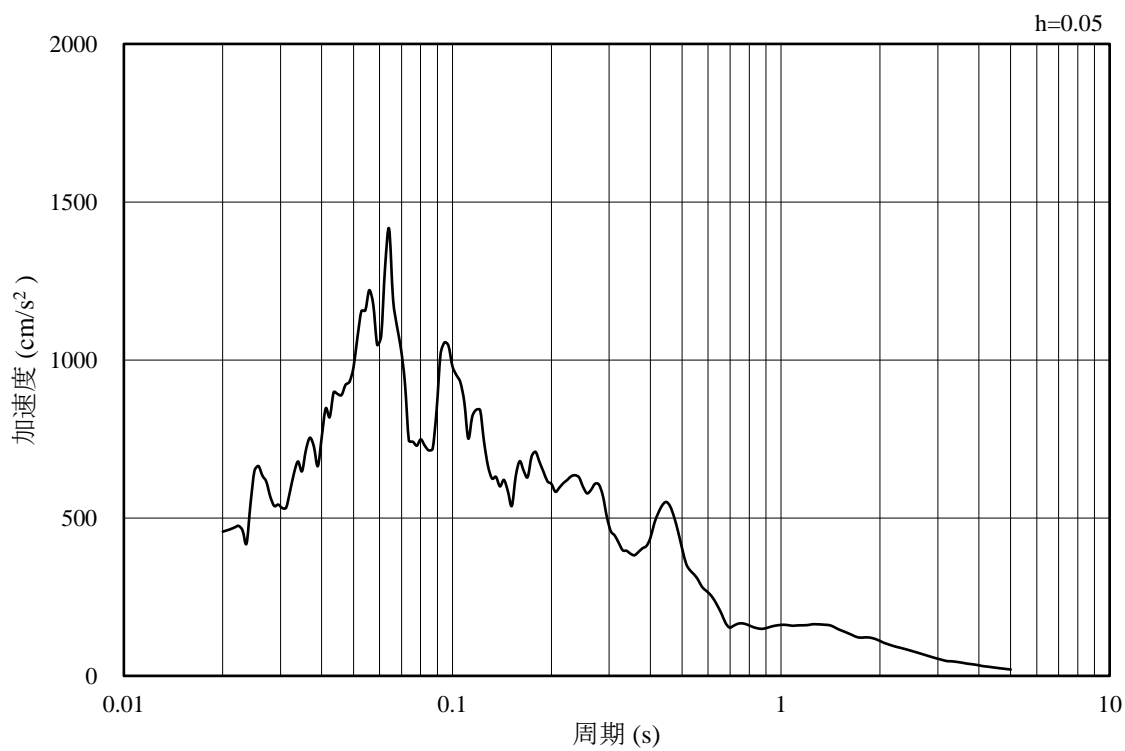


(b) 加速度応答スペクトル

図 4-12 入力地震動の加速度時刻歴波形及び加速度応答スペクトル  
(水平成分：S s - N 2, N S 方向, EL-130m)

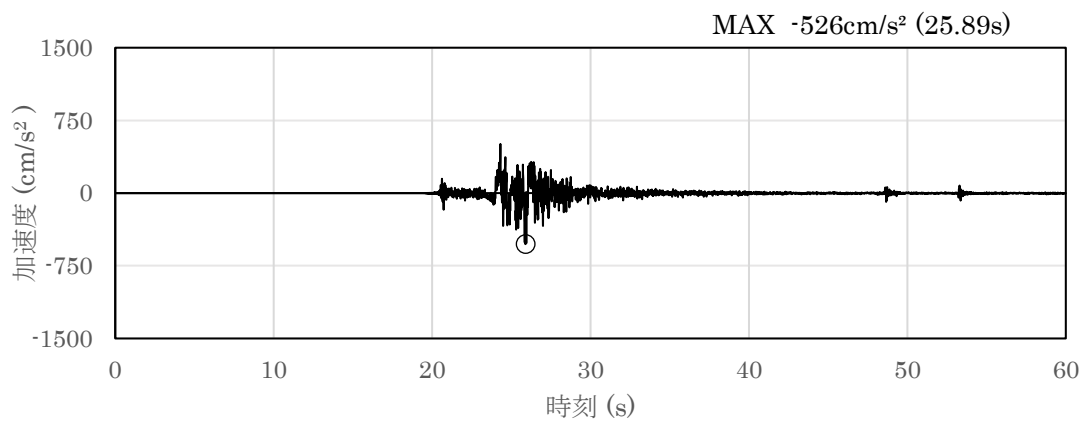


(a) 加速度時刻歴波形

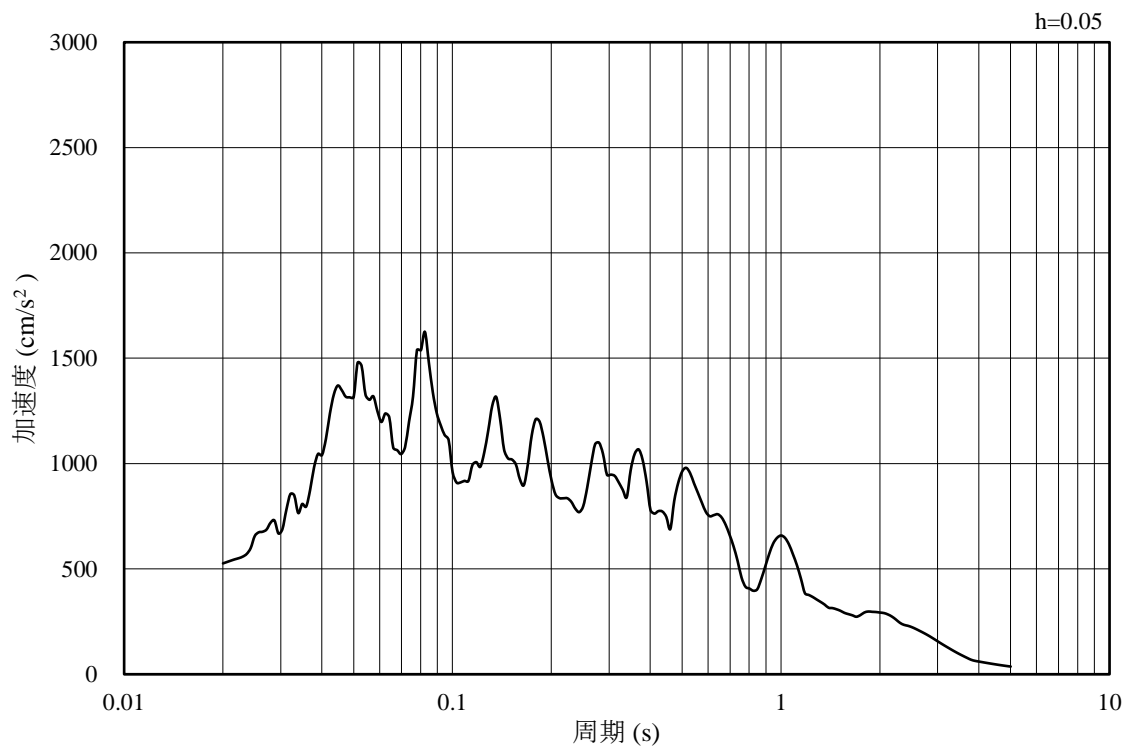


(b) 加速度応答スペクトル

図 4-13 入力地震動の加速度時刻歴波形及び加速度応答スペクトル  
(鉛直成分：S s - N 2, N S 方向, EL-130m)

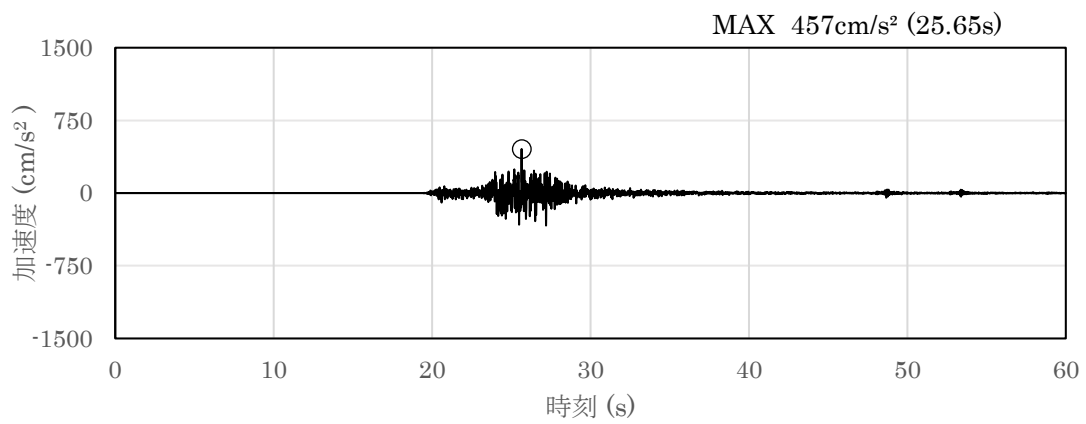


(a) 加速度時刻歴波形

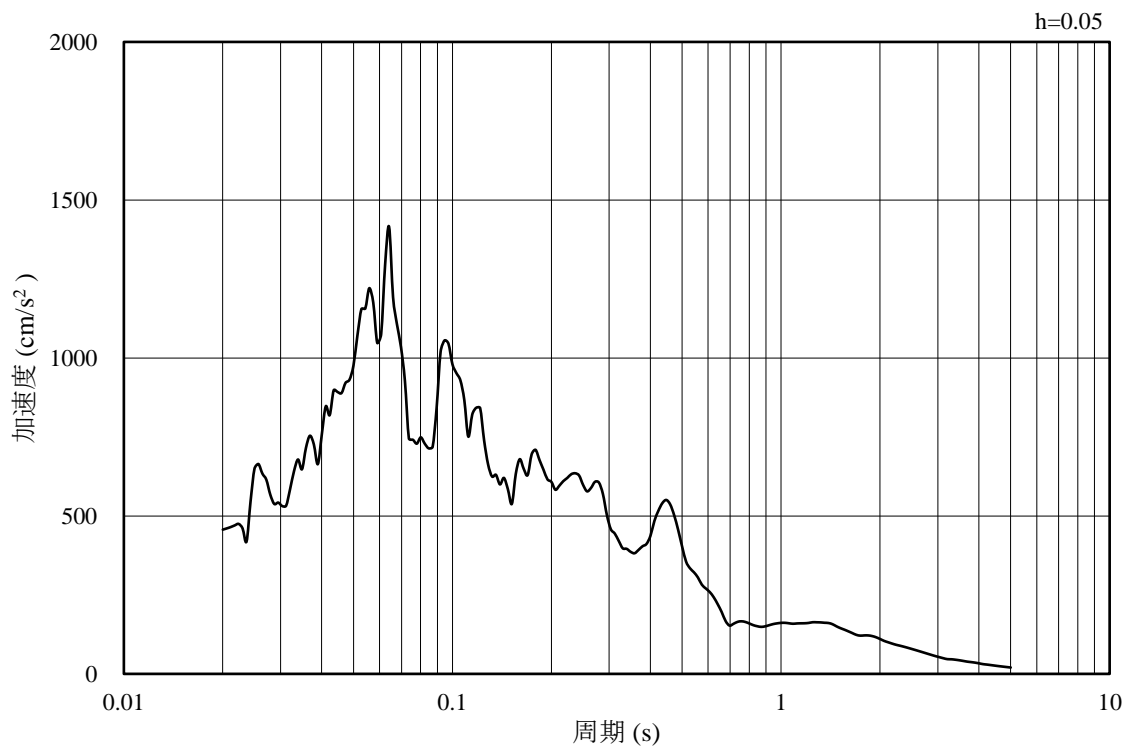


(b) 加速度応答スペクトル

図 4-14 入力地震動の加速度時刻歴波形及び加速度応答スペクトル  
(水平成分：S s - N 2, E W方向, EL-130m)



(a) 加速度時刻歴波形



(b) 加速度応答スペクトル

図 4-15 入力地震動の加速度時刻歴波形及び加速度応答スペクトル  
(鉛直成分：S s - N 2, E W方向, EL-130m)



#### 4.2 許容限界の設定

仮設耐震構台の耐震評価における許容限界は、VI-2-11-1「波及的影響を及ぼすおそれのある下位クラス施設の耐震評価方針」に記載の許容限界を参考に設定する。

仮設耐震構台の耐震評価における許容限界を表 4-1 に示す。

表 4-1 (1) 仮設耐震構台の耐震評価における許容限界

機能設計上の性能目標	地震力	断面	部位	機能維持のための考え方	許容限界
原子炉建物，第1ペントフィルタ格納槽，第1ペントフィルタ格納槽遮蔽及び低圧原子炉代替注水ポンプ格納槽に波及的影響を及ぼさないこと並びに屋外のアクセスルートを確保すること	基準地震動 S s	A-A断面 (南北方向)	水平材，斜材及び支持杭	発生する応力（曲げ軸力，せん断力）が許容限界を超えないことを確認	短期許容曲げ圧縮応力度 別途算出*1
					短期許容せん断応力度*2 120N/mm <sup>2</sup>
			支承部 (沓座)	発生する応力（曲げ軸力，せん断力）が許容限界を超えないことを確認	短期許容曲げ圧縮応力度*2 255N/mm <sup>2</sup>
					短期許容せん断応力度*2 150N/mm <sup>2</sup>
			固定ボルト (支承部-桁受) (受桁-支持杭)	発生する応力（せん断力，引張力）が許容限界を超えないことを確認	短期許容せん断応力度*2 285N/mm <sup>2</sup>
					短期許容引張力*2 277kN
			溶接部 (水平材-支持杭) (斜材-支持杭)	発生する応力（曲げ軸力，せん断力）が許容限界を超えないことを確認	短期許容せん断応力度*2 96N/mm <sup>2</sup>
			基礎地盤	発生する接地圧が許容限界を超えないことを確認	極限支持力度*3 9.8N/mm <sup>2</sup>
発生する引抜き周面摩擦力が許容限界を超えないことを確認	極限周面摩擦力度*3				
仮設耐震構台及び低圧原子炉代替注水ポンプ格納槽	構造物間の最大相対変位が波及的影響を及ぼさないための許容限界を超えないことを確認	離隔距離*4 50mm			

注記\*1：「4.2.1 主桁，受桁，水平材斜材及び支持杭に対する許容限界」に示す。

\*2：道路橋示方書・同解説 II 鋼橋編 平成14年3月（日本道路協会）

\*3：VI-2-1-3「地盤の支持性能に係る基本方針」

\*4：原子炉建物，第1ペントフィルタ格納槽，第1ペントフィルタ格納槽遮蔽及び低圧原子炉代替注水ポンプ格納槽のうち，仮設耐震構台との離隔距離が最小となる，低圧原子炉代替注水ポンプ格納槽との離隔距離を許容限界とする。

表 4-1 (2) 仮設耐震構台の耐震評価における許容限界

機能設計上の性能目標	地震力	断面	部位	機能維持のための考え方	許容限界
原子炉建物， 第1ベントフィルタ格納槽，第1ベントフィルタ格納槽遮蔽及び低圧原子炉代替注水ポンプ格納槽に波及的影響を及ぼさないこと並びに屋外のアクセスルートを確保すること	基準地震動 S s	B-B断面 (東西方向)	主桁	発生する応力（曲げ軸力，せん断力）が許容限界を超えないことを確認	短期許容曲げ圧縮応力度*1 276N/mm <sup>2</sup>
					短期許容曲げ引張応力度*1 315N/mm <sup>2</sup>
					短期許容せん断応力度*1 180N/mm <sup>2</sup>
			受桁，水平材，斜材及び支持杭	発生する応力（曲げ軸力，せん断力）が許容限界を超えないことを確認	短期許容曲げ圧縮応力度 別途算出*2
					短期許容せん断応力度*1 120N/mm <sup>2</sup>
			支承部 (ソールプレート)	発生する応力（せん断力）が許容限界を超えないことを確認	短期許容せん断応力度*1 120N/mm <sup>2</sup>
			固定ボルト (支承部-桁受) (桁受-受桁) (受桁-支持杭)	発生する応力（曲げ軸力，せん断力）が許容限界を超えないことを確認	短期許容せん断応力度*1 285N/mm <sup>2</sup>
					短期許容引張力*1 277kN
溶接部 (水平材-支持杭) (斜材-支持杭)	発生する応力（曲げ軸力，せん断力）が許容限界を超えないことを確認	短期許容せん断応力度*1 96N/mm <sup>2</sup>			

注記\*1：道路橋示方書・同解説 II 鋼橋編 平成14年3月（日本道路協会）

\*2：「4.2.1 主桁，受桁，水平材斜材及び支持杭に対する許容限界」に示す。

表 4-1 (3) 仮設耐震構台の耐震評価における許容限界

機能設計上の性能目標	地震力	断面	部位		機能維持のための考え方	許容限界
原子炉建物，第1ベントフィルタ格納槽，第1ベントフィルタ格納槽遮蔽及び低圧原子炉代替注水ポンプ格納槽に波及的影響を及ぼさないこと並びに屋外のアクセスルートを確認すること	基準地震動 S <sub>s</sub>	B-B断面 (東西方向)	橋台 (東側)	コンクリート	発生する応力 (曲げ軸力，せん断力) が許容限界を超えないことを確認	短期許容曲げ圧縮応力度* <sup>1</sup> 13.5N/mm <sup>2</sup>
						短期許容せん断応力度* <sup>1</sup> 0.675N/mm <sup>2</sup>
				鉄筋		短期許容引張応力度* <sup>1</sup> 294N/mm <sup>2</sup>
				置換コンクリート (西側)	発生する応力 (せん断力，引張力) が許容限界を超えないことを確認	せん断強度* <sup>2</sup> 3.6N/mm <sup>2</sup>
						引張強度* <sup>2</sup> 1.57N/mm <sup>2</sup>
				基礎地盤	発生する接地圧が許容限界を超えないことを確認	極限支持力度* <sup>3</sup> 9.8N/mm <sup>2</sup>
	発生する引抜き周面摩擦力が許容限界を超えないことを確認	極限周面摩擦力度* <sup>3</sup>				

注記\*1：コンクリート標準示方書 [構造性能照査編] (土木学会，2002年)

\*2：コンクリート標準示方書 [ダムコンクリート編] (土木学会，2013年)

\*3：VI-2-1-3「地盤の支持性能に係る基本方針」

4.2.1 主桁，受桁，水平材，斜材及び支持杭に対する許容限界

(1) 曲げ軸力に対する許容限界

a. 主桁

主桁の曲げ軸力に対する許容限界は，「道路橋示方書・同解説 II 鋼橋編 平成 14 年 3 月（日本道路協会）」に基づき設定する。

主桁の曲げ軸力に対する許容限界を表 4-2 に示す。

表 4-2 評価対象部位（主桁）の曲げ軸力に対する許容限界

評価項目	許容限界 (N/mm <sup>2</sup> )
短期許容曲げ圧縮応力度	276
短期許容曲げ引張応力度	315

b. 桁受，受桁，水平材，斜材及び支持杭

桁受，受桁，水平材，斜材及び支持杭の曲げ軸力に対する許容限界は，「道路橋示方書・同解説 II 鋼橋編 平成 24 年 3 月（日本道路協会）」に基づき，以下の式にて算出する。

(a) 軸方向力が引張の場合

$$\sigma_t + \sigma_{bty} + \sigma_{btz} \leq \sigma_{ta} \quad \dots \dots \dots (4.1)$$

$$-\frac{\sigma_t}{\sigma_{ta}} + \frac{\sigma_{bcy}}{\sigma_{bagy}} + \frac{\sigma_{bcz}}{\sigma_{bao}} \leq 1 \quad \dots \dots \dots (4.2)$$

$$-\sigma_t + \sigma_{bcy} + \sigma_{bcz} \leq \sigma_{cal} \quad \dots \dots \dots (4.3)$$

(b) 軸方向力が圧縮の場合

$$\frac{\sigma_c}{\sigma_{caz}} + \frac{\sigma_{bcy}}{\sigma_{bagy}\alpha_y} + \frac{\sigma_{bcz}}{\sigma_{bao}\alpha_z} \leq 1 \quad \dots \dots \dots (4.4)$$

$$\sigma_c + \frac{\sigma_{bcy}}{\alpha_y} + \frac{\sigma_{bcz}}{\alpha_z} \leq \sigma_{cal} \quad \dots \dots \dots (4.5)$$

- $\sigma_t, \sigma_c$  : それぞれ照査する断面に作用する軸方向力による引張及び圧縮応力度 (N/mm<sup>2</sup>)
- $\sigma_{bty}, \sigma_{btz}$  : それぞれ強軸及び弱軸まわりに作用する曲げモーメントによる曲げ引張応力度 (N/mm<sup>2</sup>)
- $\sigma_{bcy}, \sigma_{bcz}$  : それぞれ強軸及び弱軸まわりに作用する曲げモーメントによる曲げ圧縮応力度 (N/mm<sup>2</sup>)
- $\sigma_{ta}$  : 許容軸方向引張応力度 (N/mm<sup>2</sup>)
- $\sigma_{caz}$  : 弱軸まわりの許容軸方向圧縮応力度 (N/mm<sup>2</sup>)
- $\sigma_{bagy}$  : 局部座屈を考慮しない強軸まわりの許容曲げ圧縮応力度 (N/mm<sup>2</sup>)
- $\sigma_{bao}$  : 局部座屈を考慮しない許容曲げ圧縮応力度の上限値 (N/mm<sup>2</sup>)
- $\sigma_{cal}$  : 局部座屈に対する許容応力度 (N/mm<sup>2</sup>)
- $\alpha_y, \alpha_z$  : それぞれ強軸及び弱軸まわりの付加曲げモーメントの影響を考慮するための係数。ただし、有限変位理論によって断面力を算出する場合には 1 とする。
- $$\alpha_y = 1 - \frac{\sigma_c}{0.8\sigma_{ey}}$$
- $$\alpha_z = 1 - \frac{\sigma_c}{0.8\sigma_{ez}}$$
- $\sigma_{ey}, \sigma_{ez}$  : それぞれ強軸及び弱軸まわりのオイラー座屈応力度 (N/mm<sup>2</sup>)
- $$\sigma_{ey} = \pi^2 E / (l/\gamma_y)^2$$
- $$\sigma_{ez} = \pi^2 E / (l/\gamma_z)^2$$
- $l$  : 有効座屈長 (mm)
- $\gamma_y, \gamma_z$  : それぞれ強軸及び弱軸まわりの断面二次半径 (mm)
- $E$  : 鋼材のヤング係数 (N/mm<sup>2</sup>)

(2) せん断力に対する許容限界

a. 主桁

主桁のせん断力に対する許容限界は、「道路橋示方書・同解説 II 鋼橋編 平成 14 年 3 月（日本道路協会）」に基づき設定する。

主桁のせん断力に対する許容限界を表 4-3 に示す。

表 4-3 評価対象部位（主桁）のせん断力に対する許容限界

評価項目	許容限界 (N/mm <sup>2</sup> )
短期許容せん断応力度	180

b. 受桁，水平材，斜材及び支持杭

受桁，水平材，斜材及び支持杭のせん断力に対する許容限界は、「道路橋示方書・同解説 II 鋼橋編 平成 14 年 3 月（日本道路協会）」に基づき設定する。

受桁，水平材，斜材及び支持杭のせん断力に対する許容限界を表 4-4 に示す。

表 4-4 評価対象部位（水平材，斜材及び支持杭）のせん断力に対する許容限界

評価項目	許容限界 (N/mm <sup>2</sup> )
短期許容せん断応力度	120

#### 4.2.2 支承部に対する許容限界

##### (1) 曲げ軸力に対する許容限界

###### a. 沓座

沓座の曲げ軸力に対する許容限界は、「道路橋示方書・同解説 II 鋼橋編 平成 14 年 3 月（日本道路協会）」に基づき設定する。

主桁の曲げ軸力に対する許容限界を表 4-5 に示す。

表 4-5 評価対象部位（沓座）の曲げ軸力に対する許容限界

評価項目	許容限界 (N/mm <sup>2</sup> )
短期許容曲げ応力度	255

##### (2) せん断力に対する許容限界

###### a. 沓座

沓座のせん断力に対する許容限界は、「道路橋示方書・同解説 II 鋼橋編 平成 14 年 3 月（日本道路協会）」に基づき設定する。

沓座のせん断力に対する許容限界を表 4-6 に示す。

表 4-6 評価対象部位（沓座）のせん断力に対する許容限界

評価項目	許容限界 (N/mm <sup>2</sup> )
短期許容曲げ応力度	150

###### b. ソールプレート

ソールプレートのせん断力に対する許容限界は、「道路橋示方書・同解説 II 鋼橋編 平成 14 年 3 月（日本道路協会）」に基づき設定する。

ソールプレートのせん断力に対する許容限界を表 4-7 に示す。

表 4-7 評価対象部位（ソールプレート）のせん断力に対する許容限界

評価項目	許容限界 (N/mm <sup>2</sup> )
短期許容曲げ応力度	120



### 4.2.3 固定ボルトに対する許容限界

#### (1) せん断力に対する許容限界

固定ボルトのせん断力に対する許容限界は、「道路橋示方書・同解説 II 鋼橋編 平成 14 年 3 月（日本道路協会）」に基づき設定する。

固定ボルトのせん断力に対する許容限界を表 4-8 に示す。

表 4-8 評価対象部位（固定ボルト）のせん断力に対する許容限界

評価項目	許容限界 (N/mm <sup>2</sup> )
短期許容せん断応力度	285

#### (2) 引張力に対する許容限界

固定ボルトの引張力に対する許容限界は、「道路橋示方書・同解説 II 鋼橋編 平成 14 年 3 月（日本道路協会）」に基づき設定する。

固定ボルトの引張力に対する許容限界を表 4-9 に示す。

表 4-9 評価対象部位（固定ボルト）の引張力に対する許容限界

評価項目	許容限界 (kN)
短期許容引張力 (M24)	277

#### 4.2.4 溶接部に対する許容限界

##### (1) せん断力に対する許容限界

溶接部は、すみ肉溶接のため、溶接部に発生する応力は全てせん断応力とみなす。また、現地溶接による仮設構造物であるため、「道路土工 仮設構造物指針 平成 11 年 3 月（日本道路協会）」に基づき、許容応力度を母材の 80%とする。

溶接部のせん断力に対する許容限界を表 4-10 に示す。

表 4-10 評価対象部位（溶接部）のせん断力に対する許容限界

評価項目	許容限界 (N/mm <sup>2</sup> )
短期許容せん断応力度)	96

##### 4.2.5 橋台（東側）に対する許容限界

橋台（東側）の許容限界については、コンクリート標準示方書〔構造性能照査編〕（土木学会，2002 年）に基づき、表 4-11 のとおり設定する。

表 4-11 橋台（東側）に対する許容限界

評価項目		許容限界 (N/mm <sup>2</sup> )
コンクリート f'c k = 24 (N/mm <sup>2</sup> )	短期許容曲げ圧縮応力度 $\sigma_{ca}$	13.5
	短期許容せん断応力度 $\tau_{al}$	0.675
鉄筋 SD345	短期許容引張応力度 $\sigma_{sa}$	294

##### 4.2.6 置換コンクリート（西側）に対する許容限界

置換コンクリート（西側）の許容限界については、コンクリート標準示方書〔ダムコンクリート編〕（土木学会，2013 年）及びコンクリート標準示方書〔構造性能照査編〕（土木学会，2002 年）に基づき、表 4-12 のとおり設定する。

表 4-12 置換コンクリート（西側）に対する許容限界

評価項目		許容限界 (N/mm <sup>2</sup> )
置換コンクリート f'c k = 18 (N/mm <sup>2</sup> )	せん断強度*1	3.6
	引張強度*2	1.57

注記\*1：コンクリート標準示方書〔ダムコンクリート編〕（土木学会，2013 年）

\*2：コンクリート標準示方書〔構造性能照査編〕（土木学会，2002 年）

#### 4.2.7 基礎地盤の支持性能に対する許容限界

基礎地盤に発生する接地圧に対する許容限界は、VI-2-1-3「地盤の支持性能に係る基本方針」に基づき、岩盤の極限支持力度とする。また、支持杭の引抜きによりプレボーリング面と岩盤の間に発生する周面摩擦力に対する許容限界は、VI-2-1-3「地盤の支持性能に係る基本方針」に示す岩盤のせん断強度を極限周面摩擦力度として設定する。

基礎地盤の支持性能に対する許容限界を表4-13に示す。

表4-13 基礎地盤の支持性能に対する許容限界

評価項目		許容限界 (N/mm <sup>2</sup> )
極限支持力度	C <sub>M</sub> 級岩盤	9.8
極限周面摩擦力度	C <sub>M</sub> 級岩盤 (頁岩)	0.92

#### 4.2.8 構造物間の相対変位に対する許容限界

構造物間の相対変位に対する許容限界は、仮設耐震構台と低圧原子炉代替注水ポンプ格納槽の離隔距離とする。

構造物間の相対変位に対する許容限界を表4-14に示す。

表4-14 構造物間の相対変位に対する許容限界

評価項目	許容限界 (mm)
構造物間の離隔距離 (仮設耐震構台と低圧原子炉 代替注水ポンプ格納槽)	50

## 5. 評価方法

仮設耐震構台の耐震評価は、地震応答解析により算定した照査用応答値が「4.2 許容限界の設定」において設定した許容限界以下であることを確認する。

### 5.1 施設の損傷、転倒及び落下等による影響評価方法

#### 5.1.1 構造部材の健全性に対する評価方法

##### (1) 主桁、受桁、水平材、斜材及び支持杭に対する評価方法

主桁、受桁、水平材、斜材及び支持杭に対する評価においては、部材の曲げ軸力照査及びせん断力照査を行う。曲げ軸力照査については、「4.2.1 主桁、受桁、水平材、斜材及び支持杭に対する許容限界」の「(1) 曲げ軸力に対する許容限界」に示す許容限界以下であることを確認する。せん断力照査については、「4.2.1 主桁、受桁、水平材、斜材及び支持杭に対する許容限界」の「(2) せん断力に対する許容限界」に示す許容限界以下であることを確認する。

##### (2) 支承部に対する評価方法

支承部に対する評価においては、2次元FEM解析から最大応答加速度を抽出し、主桁の慣性力による支承部の曲げ軸力照査及びせん断力照査を行う。照査については、「4.2.2 支承部に対する許容限界」に示す許容限界以下であることを確認する。

### (3) 固定ボルトに対する評価方法

固定ボルトに対する評価においては、2次元FEM解析から部材位置の最大断面力を抽出し、固定ボルトのせん断力照査、引張力照査を行う。照査については、以下の式にて算出するせん断力及び引張力が、「4.2.3 固定ボルトに対する許容限界」に示す許容限界以下であることを確認する。

#### (1) せん断力に対する許容限界

せん断力に対する許容限界は、以下の式にて算出する。

$$\frac{S}{n} / V_s \leq 1.0 \quad \dots \dots \dots (4.6)$$

- S : 接合部に生じるせん断力 (kN)
- n : 接合部のボルト本数 (本)
- V<sub>s</sub> : ボルトの許容せん断力 (kN)

#### (2) 引張力に対する許容限界

引張力に対する許容限界は、以下の式にて算出する。

$$\left( \frac{M}{\sum n_i L_i^2} L + \frac{N}{n} \right) / V_p \leq 1.0 \quad \dots \dots \dots (4.7)$$

- M : 接合部に生じる曲げモーメント (kN・m)
- n<sub>i</sub> : 中心から i 列目のボルトの本数
- L<sub>i</sub> : 接合部中心から i 列目のボルトまでの長さ (m)
- L : 接合部中心から最外ボルトまでの長さ (m)
- N : 軸力 (kN)
- n : 接合部のボルト本数 (本)
- V<sub>p</sub> : ボルトの許容引張力 (kN)

#### (4) 溶接部に対する評価方法

溶接部に対する評価においては、2次元FEM解析から溶接位置の最大断面力を抽出し、溶接部のせん断力照査を行う。照査については、「道路橋示方書・同解説 II 鋼橋編 平成14年3月（日本道路協会）」に基づく以下の式にて算出するせん断応力が、「4.2.4 溶接部に対する許容限界」に示す許容限界以下であることを確認する。

(a) せん断力が作用する場合

$$\tau = \frac{P}{\sum al} \quad \dots \dots \dots (4.8)$$

$\tau$  : 溶接部に生じるせん断応力度 (N/mm<sup>2</sup>)

$a$  : 溶接の有効厚 (mm)

$l$  : 溶接の有効長 (mm)

(b) 曲げ軸力が作用する場合

$$\tau = \frac{M}{I} \cdot y \quad \dots \dots \dots (4.9)$$

$\tau$  : 溶接部に生じるせん断応力度 (N/mm<sup>2</sup>)

$M$  : 継手に作用する曲げモーメント (N・mm)

$I$  : のど厚を接合面に展開した断面のその中立軸のまわりの断面二次モーメント (mm<sup>4</sup>)

$y$  : 展開図形の中立軸から応力度を算出する位置までの距離 (mm)

(c) せん断力と曲げ軸力の合成力が作用する場合

$$\left(\frac{\tau_b}{\tau_a}\right)^2 + \left(\frac{\tau_s}{\tau_a}\right)^2 \leq 1.0 \quad \dots \dots \dots (4.10)$$

$\tau_b$  : 軸方向もしくは曲げモーメントによるせん断応力度または両者の和 (N/mm<sup>2</sup>)

$\tau_a$  : 許容せん断応力度 (N/mm<sup>2</sup>)

$\tau_s$  : せん断力によるせん断応力度 (N/mm<sup>2</sup>)

#### (5) 橋台（東側）に対する評価方法

橋台（東側）に対する評価においては、地震応答解析により仮設耐震構台の東側の橋台に発生する応力度が「4.2.5 橋台（東側）に対する許容限界」に示す許容限界以下であることを確認する。

なお、橋台（東側）の安定性についての確認結果を、参考資料9に示す。

(6) 置換コンクリート（西側）に対する評価方法

置換コンクリート（西側）に対する評価においては、地震応答解析により仮設耐震構台の西側の置換コンクリートに発生する応力度が「4.2.6 置換コンクリート（西側）に対する許容限界」に示す許容限界以下であることを確認する。

なお、置換コンクリート（西側）と水平材及び斜材を接合するアンカーボルトの健全性の確認結果を、参考資料 10 に示す。

5.1.2 基礎地盤の支持性能に対する評価方法

基礎地盤の支持性能評価においては、基礎地盤に生じる接地圧が極限支持力度に基づく許容限界以下であること及び支持杭の引抜きにより引抜き周面摩擦力度が許容限界以下であることを確認する。

5.2 構造物間の相対変位による影響評価方法

5.2.1 相対変位による評価方法

相対変位による評価においては、仮設耐震構台と低圧原子炉代替注水ポンプ格納槽の最大相対変位が許容限界以下であることを確認する。

## 6. 評価結果

### 6.1 施設の損傷，転倒及び落下等による影響評価結果

#### 6.1.1 構造部材の健全性に対する評価結果

##### (1) A－A断面（南北方向）の評価結果

A－A断面（南北方向）の**主要な構造部材**の曲げ軸力に対する照査値を表 6－1 に，せん断力に対する照査値を表 6－2 に示す。曲げ軸力の最も厳しい照査値となった支持杭の断面力を図 6－1 に，せん断力の最も厳しい照査値となった支持杭の断面力を図 6－2 に示す。**また，連結・結合部の照査値を表 6－3 に示す。**

A－A断面（南北方向）の仮設耐震構台の評価対象部位に発生する曲げ軸力及びせん断力が許容限界以下であることを確認した。



表 6-1 (1) 曲げ軸力に対する照査値 (水平材)

解析 ケース	地震動		部位	発生断面力		照査値
				曲げ モーメント (kN・m)	軸力 (kN)	
①	S s - D	++*	水平材	5	-9	0.32
	S s - F 1	++*		4	-11	0.26
	S s - F 2	++*		4	-11	0.28
	S s - N 1	++*		3	-4	0.18
	S s - N 2 (NS)	++*		4	-3	0.24
	S s - N 2 (EW)	++*		3	-6	0.21

注記\*：地震動の位相について、左側は水平動、右側は鉛直動を表し、「++」は反転なしケースを示す。

表 6-1 (2) 曲げ軸力に対する照査値 (斜材)

解析 ケース	地震動		部位	発生断面力		照査値
				曲げ モーメント (kN・m)	軸力 (kN)	
①	S s - D	++*	斜材	11	-508	0.41
	S s - F 1	++*		9	-398	0.32
	S s - F 2	++*		9	-417	0.33
	S s - N 1	++*		6	-283	0.23
	S s - N 2 (NS)	++*		9	-387	0.31
	S s - N 2 (EW)	++*		7	-334	0.27

注記\*：地震動の位相について、左側は水平動、右側は鉛直動を表し、「++」は反転なしケースを示す。

表 6-1 (3) 曲げ軸力に対する照査値 (支持杭)

解析 ケース	地震動		部位	発生断面力		照査値
				曲げ モーメント (kN・m)	軸力 (kN)	
①	S s - D	++*	支持杭	333	-1814	0.49
	S s - F 1	++*		283	-1422	0.40
	S s - F 2	++*		287	-1468	0.41
	S s - N 1	++*		185	-1025	0.28
	S s - N 2 (NS)	++*		274	-1279	0.38
	S s - N 2 (EW)	++*		228	-1196	0.33

注記\* : 地震動の位相について、左側は水平動、右側は鉛直動を表し、「++」は反転なしケースを示す。

表 6-2 (1) せん断力に対する照査値 (水平材)

解析 ケース	地震動		部位	発生応力度 (N/mm <sup>2</sup> )	短期許容 せん断応力度 (N/mm <sup>2</sup> )	照査値
①	S <sub>s</sub> -D	++*	水平材	6	120	0.05
	S <sub>s</sub> -F 1	++*		5		0.05
	S <sub>s</sub> -F 2	++*		5		0.05
	S <sub>s</sub> -N 1	++*		4		0.04
	S <sub>s</sub> -N 2 (NS)	++*		5		0.05
	S <sub>s</sub> -N 2 (EW)	++*		4		0.04

注記\* : 地震動の位相について、左側は水平動、右側は鉛直動を表し、「++」は反転なしケースを示す。

表 6-2 (2) せん断力に対する照査値 (斜材)

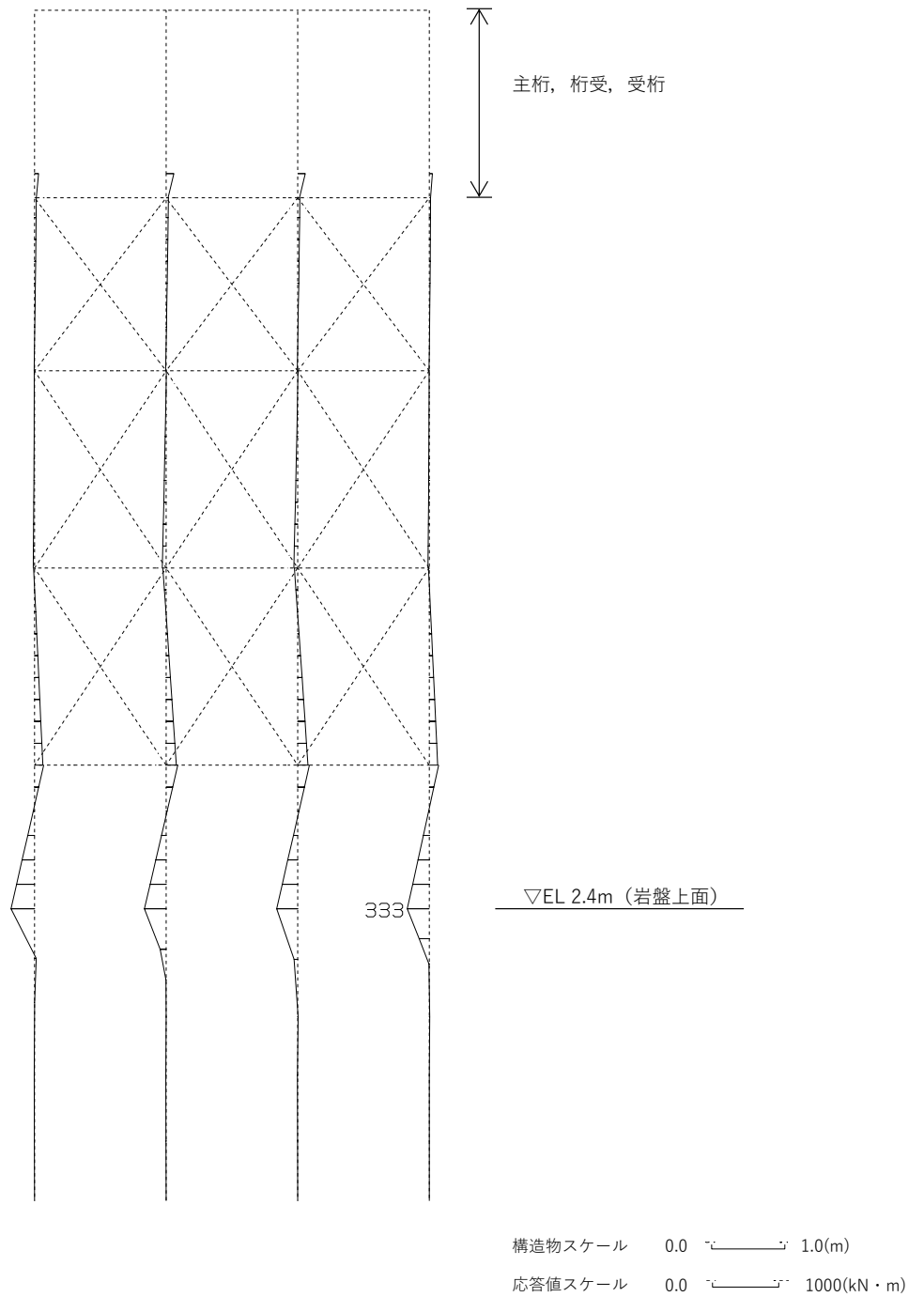
解析 ケース	地震動		部位	発生応力度 (N/mm <sup>2</sup> )	短期許容 せん断応力度 (N/mm <sup>2</sup> )	照査値
①	S <sub>s</sub> -D	++*	斜材	1	120	0.01
	S <sub>s</sub> -F 1	++*		1		0.01
	S <sub>s</sub> -F 2	++*		1		0.01
	S <sub>s</sub> -N 1	++*		1		0.01
	S <sub>s</sub> -N 2 (NS)	++*		1		0.01
	S <sub>s</sub> -N 2 (EW)	++*		1		0.01

注記\* : 地震動の位相について、左側は水平動、右側は鉛直動を表し、「++」は反転なしケースを示す。

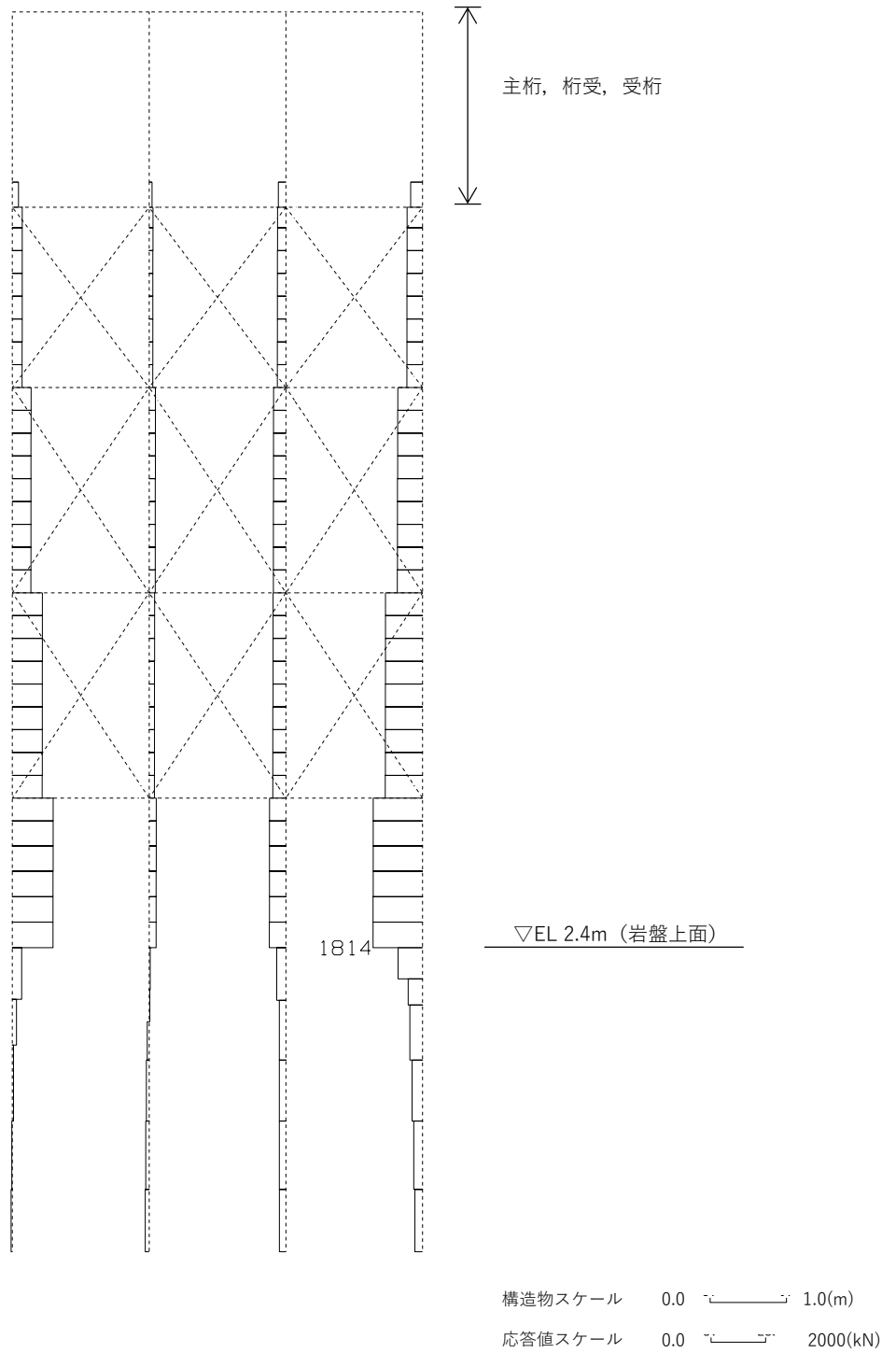
表 6-2 (3) せん断力に対する照査値 (支持杭)

解析 ケース	地震動		部位	発生応力度 (N/mm <sup>2</sup> )	短期許容 せん断応力度 (N/mm <sup>2</sup> )	照査値
①	S s - D	++*	支持杭	28	120	0.24
	S s - F 1	++*		22		0.19
	S s - F 2	++*		23		0.20
	S s - N 1	++*		15		0.13
	S s - N 2 (NS)	++*		22		0.19
	S s - N 2 (EW)	++*		18		0.15

注記\* : 地震動の位相について, 左側は水平動, 右側は鉛直動を表し, 「++」は反転なしケースを示す。

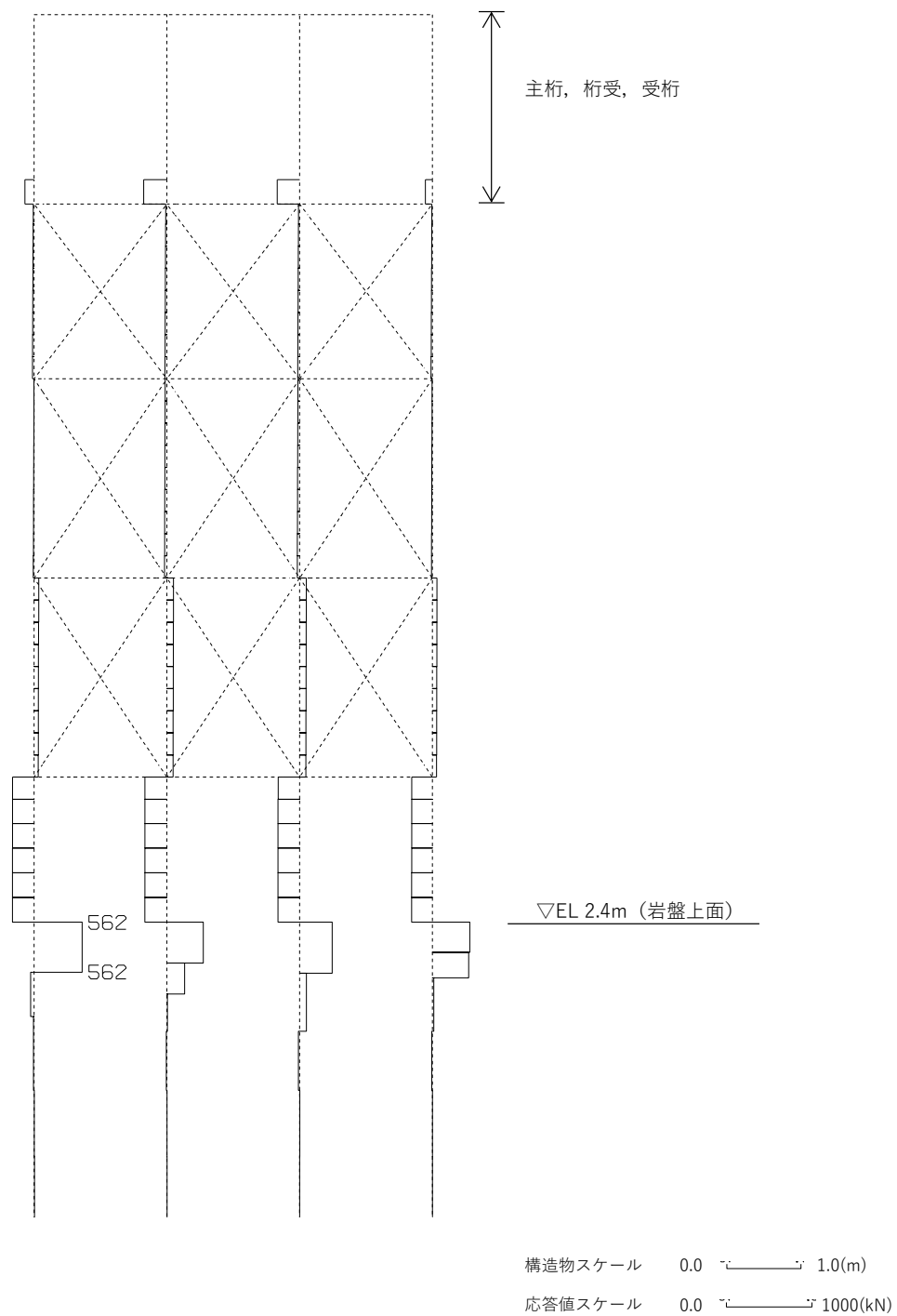


(支持杭 曲げモーメント  $S_s - D (+, +)$ ,  $t = 25.79s$ )  
 図 6-1 (1) 曲げ軸力の最も厳しい照査値となったケースの断面力



(支持杭 軸力  $S_s - D (+, +)$ ,  $t = 25.79s$ )

図 6-1 (2) 曲げ軸力の最も厳しい照査値となったケースの断面力



(支持杭 せん断力  $S_s - D (+, +)$ ,  $t = 25.79s$ )  
 図 6-2 せん断力の最も厳しい照査値となったケースの断面力

表 6-3 (1) 連結・結合部の照査値 (支承部 (沓座) : 曲げ軸力)

解析 ケース	地震動		部位	曲げ応力度 (N/mm <sup>2</sup> )	許容 曲げ応力度 (N/mm <sup>2</sup> )	照査値
	S s - D	++ *				
①	S s - D	++ *	支承部 (沓座)	75	255	0.30

注記\* : 地震動の位相について, 左側は水平動, 右側は鉛直動を表し, 「++」は反転なしケースを示す。

表 6-3 (2) 連結・結合部の照査値 (支承部 (沓座) : せん断力)

解析 ケース	地震動		部位	せん断 応力度 (N/mm <sup>2</sup> )	許容せん断 応力度 (N/mm <sup>2</sup> )	照査値
	S s - D	++ *				
①	S s - D	++ *	支承部 (沓座)	43	150	0.29

注記\* : 地震動の位相について, 左側は水平動, 右側は鉛直動を表し, 「++」は反転なしケースを示す。

表 6-3 (3) 連結・結合部の照査値 (固定ボルト (支承部-桁受) : せん断力)

解析 ケース	地震動		部位	せん断力 (kN)	許容 せん断力 (kN)	照査値
	S s - D	++ *				
①	S s - D	++ *	固定ボルト (支承部-桁受)	131	433	0.31

注記\* : 地震動の位相について, 左側は水平動, 右側は鉛直動を表し, 「++」は反転なしケースを示す。

表 6-3 (4) 連結・結合部の照査値 (固定ボルト (受桁-支持杭) : せん断力)

解析 ケース	地震動		部位	最大 せん断力 (kN/本)	許容 せん断力 (kN/本)	照査値
	S s - D	++ *				
①	S s - D	++ *	固定ボルト (受桁-支持杭)	22	128	0.18

注記\* : 地震動の位相について, 左側は水平動, 右側は鉛直動を表し, 「++」は反転なしケースを示す。



表 6-3 (5) 連結・結合部の照査値 (固定ボルト (受桁-支持杭) : 引張力)

解析 ケース	地震動		部位	最大 引張力 (kN/本)	許容引張力 (kN/本)	照査値
	S s - D	++*				
①	S s - D	++*	固定ボルト (受桁-支持杭)	118	277	0.43

注記\* : 地震動の位相について、左側は水平動、右側は鉛直動を表し、「++」は反転なしケースを示す。

表 6-3 (6) 連結・結合部の照査値

(溶接部 (水平材-支持杭) : せん断力によるせん断照査)

解析 ケース	地震動		部位	最大 せん断力 (kN)	許容 せん断力 (kN)	照査値
	S s - D	++*				
①	S s - D	++*	溶接部 (水平材-支持杭)	83	163	0.51

注記\* : 地震動の位相について、左側は水平動、右側は鉛直動を表し、「++」は反転なしケースを示す。

表 6-3 (7) 連結・結合部の照査値

(溶接部 (水平材-支持杭) : 曲げ軸力によるせん断照査)

解析 ケース	地震動		部位	最大曲げ モーメント (kN・m)	許容曲げ モーメント (kN・m)	照査値
	S s - D	++*				
①	S s - D	++*	溶接部 (水平材-支持杭)	5	13	0.39

注記\* : 地震動の位相について、左側は水平動、右側は鉛直動を表し、「++」は反転なしケースを示す。

表 6-3 (8) 連結・結合部の照査値

(溶接部 (水平材-支持杭) : せん断力と曲げ軸力の合成力によるせん断照査)

解析 ケース	地震動		部位	照査値
	S s - D	++*		
①	S s - D	++*	溶接部 (水平材-支持杭)	0.41

注記\* : 地震動の位相について、左側は水平動、右側は鉛直動を表し、「++」は反転なしケースを示す。

表 6-3 (9) 連結・結合部の照査値

(溶接部 (斜材-支持杭) : せん断力によるせん断照査)

解析 ケース	地震動		部位	最大 せん断力 (kN)	許容 せん断力 (kN)	照査値
①	S s - D	++*	溶接部 (斜材-支持杭)	508	950	0.54

注記\* : 地震動の位相について、左側は水平動、右側は鉛直動を表し、「++」は反転なしケースを示す。

表 6-3 (10) 連結・結合部の照査値

(溶接部 (斜材-支持杭) : 曲げ軸力によるせん断照査)

解析 ケース	地震動		部位	最大曲げ モーメント (kN・m)	許容曲げ モーメント (kN・m)	照査値
①	S s - D	++*	溶接部 (斜材-支持杭)	11	96	0.13

注記\* : 地震動の位相について、左側は水平動、右側は鉛直動を表し、「++」は反転なしケースを示す。

表 6-3 (11) 連結・結合部の照査値

(溶接部 (斜材-支持杭) : せん断力と曲げ軸力の合成力によるせん断照査)

解析 ケース	地震動		部位	照査値
①	S s - D	++*	溶接部 (斜材-支持杭)	0.30

注記\* : 地震動の位相について、左側は水平動、右側は鉛直動を表し、「++」は反転なしケースを示す。

(2) B－B断面（東西方向）の評価結果

B－B断面（東西方向）の仮設耐震構台の構造部材に関する曲げ軸力に対する照査値を表6－4に、せん断力に対する照査値を表6－5に示す。曲げ軸力の最も厳しい照査値となった支持杭の断面力を図6－3に、せん断力の最も厳しい照査値となった受桁の断面力を図6－4に示す。また、連結・結合部の照査値を表6－6に示す。

橋台（東側）に関する曲げ軸力に対する照査値を表6－7に、せん断力に対する照査値を表6－8に示す。置換コンクリート（西側）のせん断破壊に対する局所安全係数を表6－9に、引張破壊に対する局所安全係数を表6－10に示す。

B－B断面（東西方向）の仮設耐震構台の評価対象部位に発生する曲げ軸力、せん断力及び引張力が許容限界以下であることを確認した。また、置換コンクリート（西側）のせん断破壊及び引張破壊に対する局所安全係数が1.0を上回ることを確認した。

表 6-4 (1) 曲げ軸力に対する照査値 (主桁：曲げ圧縮)

解析 ケース	地震動		部位	曲げ圧縮 応力度 (N/mm <sup>2</sup> )	許容曲げ 圧縮応力度 (N/mm <sup>2</sup> )	照査値
①	S s - D	++ *	主桁	53	276	0.20
	S s - F 1	++ *		43		0.16
	S s - F 2	++ *		45		0.17
	S s - N 1	++ *		45		0.17
	S s - N 2 (NS)	++ *		44		0.16
	S s - N 2 (EW)	++ *		42		0.16

注記\*：地震動の位相について、左側は水平動、右側は鉛直動を表し、「++」は反転なしケースを示す。

表 6-4 (2) 曲げ軸力に対する照査値 (主桁：曲げ引張)

解析 ケース	地震動		部位	曲げ引張 応力度 (N/mm <sup>2</sup> )	許容曲げ 引張応力度 (N/mm <sup>2</sup> )	照査値
①	S s - D	++ *	主桁	54	315	0.18
	S s - F 1	++ *		43		0.14
	S s - F 2	++ *		45		0.15
	S s - N 1	++ *		44		0.14
	S s - N 2 (NS)	++ *		44		0.14
	S s - N 2 (EW)	++ *		42		0.14

注記\*：地震動の位相について、左側は水平動、右側は鉛直動を表し、「++」は反転なしケースを示す。

表 6-4 (3) 曲げ軸力に対する照査値 (受桁)

解析 ケース	地震動		部位	発生断面力		照査値
				曲げ モーメント (kN・m)	軸力 (kN)	
①	S s - D	++ *	受桁	597	-260	0.58
	S s - F 1	++ *		592	-258	0.58
	S s - F 2	++ *		403	-167	0.39
	S s - N 1	++ *		470	-194	0.46
	S s - N 2 (NS)	++ *		401	-165	0.39
	S s - N 2 (EW)	++ *		468	-204	0.46

注記\* : 地震動の位相について、左側は水平動、右側は鉛直動を表し、「++」は反転なしケースを示す。

表 6-4 (4) 曲げ軸力に対する照査値 (水平材)

解析 ケース	地震動		部位	発生断面力		照査値
				曲げ モーメント (kN・m)	軸力 (kN)	
①	S s - D	++ *	水平材	5	-1	0.32
	S s - F 1	++ *		4	1	0.29
	S s - F 2	++ *		3	5	0.18
	S s - N 1	++ *		3	5	0.22
	S s - N 2 (NS)	++ *		3	6	0.18
	S s - N 2 (EW)	++ *		4	1	0.24

注記\* : 地震動の位相について、左側は水平動、右側は鉛直動を表し、「++」は反転なしケースを示す。

表 6-4 (5) 曲げ軸力に対する照査値 (斜材)

解析 ケース	地震動		部位	発生断面力		照査値
				曲げ モーメント (kN・m)	軸力 (kN)	
①	S s - D	++ *	斜材	12	-605	0.46
	S s - F 1	++ *		11	-573	0.44
	S s - F 2	++ *		8	-371	0.29
	S s - N 1	++ *		9	-443	0.34
	S s - N 2 (NS)	++ *		7	-365	0.29
	S s - N 2 (EW)	++ *		9	-462	0.36

注記\* : 地震動の位相について、左側は水平動、右側は鉛直動を表し、「++」は反転なしケースを示す。

表 6-4 (6) 曲げ軸力に対する照査値 (支持杭)

解析 ケース	地震動		部位	発生断面力		照査値
				曲げ モーメント (kN・m)	軸力 (kN)	
①	S s - D	++ *	支持杭	417	-2448	0.63
	S s - F 1	++ *		389	-2378	0.60
	S s - F 2	++ *		250	-1587	0.39
	S s - N 1	++ *		302	-1855	0.47
	S s - N 2 (NS)	++ *		252	-1520	0.39
	S s - N 2 (EW)	++ *		317	-1889	0.48

注記\* : 地震動の位相について、左側は水平動、右側は鉛直動を表し、「++」は反転なしケースを示す。

表 6-5 (1) せん断力に対する照査値 (主桁)

解析 ケース	地震動		部位	発生応力度 (N/mm <sup>2</sup> )	短期許容 せん断応力度 (N/mm <sup>2</sup> )	照査値
①	S s - D	++*	主桁	13	180	0.11
	S s - F 1	++*		10		0.09
	S s - F 2	++*		11		0.10
	S s - N 1	++*		11		0.10
	S s - N 2 (NS)	++*		10		0.09
	S s - N 2 (EW)	++*		10		0.09

注記\* : 地震動の位相について、左側は水平動、右側は鉛直動を表し、「++」は反転なしケースを示す。

表 6-5 (2) せん断力に対する照査値 (受桁)

解析 ケース	地震動		部位	発生応力度 (N/mm <sup>2</sup> )	短期許容 せん断応力度 (N/mm <sup>2</sup> )	照査値
①	S s - D	++*	受桁	70	120	0.59
	S s - F 1	++*		74		0.62
	S s - F 2	++*		47		0.40
	S s - N 1	++*		52		0.44
	S s - N 2 (NS)	++*		56		0.47
	S s - N 2 (EW)	++*		48		0.40

注記\* : 地震動の位相について、左側は水平動、右側は鉛直動を表し、「++」は反転なしケースを示す。

表 6-5 (3) せん断力に対する照査値 (水平材)

解析 ケース	地震動		部位	発生応力度 (N/mm <sup>2</sup> )	短期許容 せん断応力度 (N/mm <sup>2</sup> )	照査値
①	S <sub>s</sub> -D	++*	水平材	6	120	0.05
	S <sub>s</sub> -F 1	++*		5		0.05
	S <sub>s</sub> -F 2	++*		3		0.03
	S <sub>s</sub> -N 1	++*		4		0.04
	S <sub>s</sub> -N 2 (NS)	++*		4		0.04
	S <sub>s</sub> -N 2 (EW)	++*		3		0.03

注記\*：地震動の位相について、左側は水平動、右側は鉛直動を表し、「++」は反転なしケースを示す。

表 6-5 (4) せん断力に対する照査値 (斜材)

解析 ケース	地震動		部位	発生応力度 (N/mm <sup>2</sup> )	短期許容 せん断応力度 (N/mm <sup>2</sup> )	照査値
①	S <sub>s</sub> -D	++*	斜材	1	120	0.01
	S <sub>s</sub> -F 1	++*		1		0.01
	S <sub>s</sub> -F 2	++*		1		0.01
	S <sub>s</sub> -N 1	++*		1		0.01
	S <sub>s</sub> -N 2 (NS)	++*		1		0.01
	S <sub>s</sub> -N 2 (EW)	++*		1		0.01

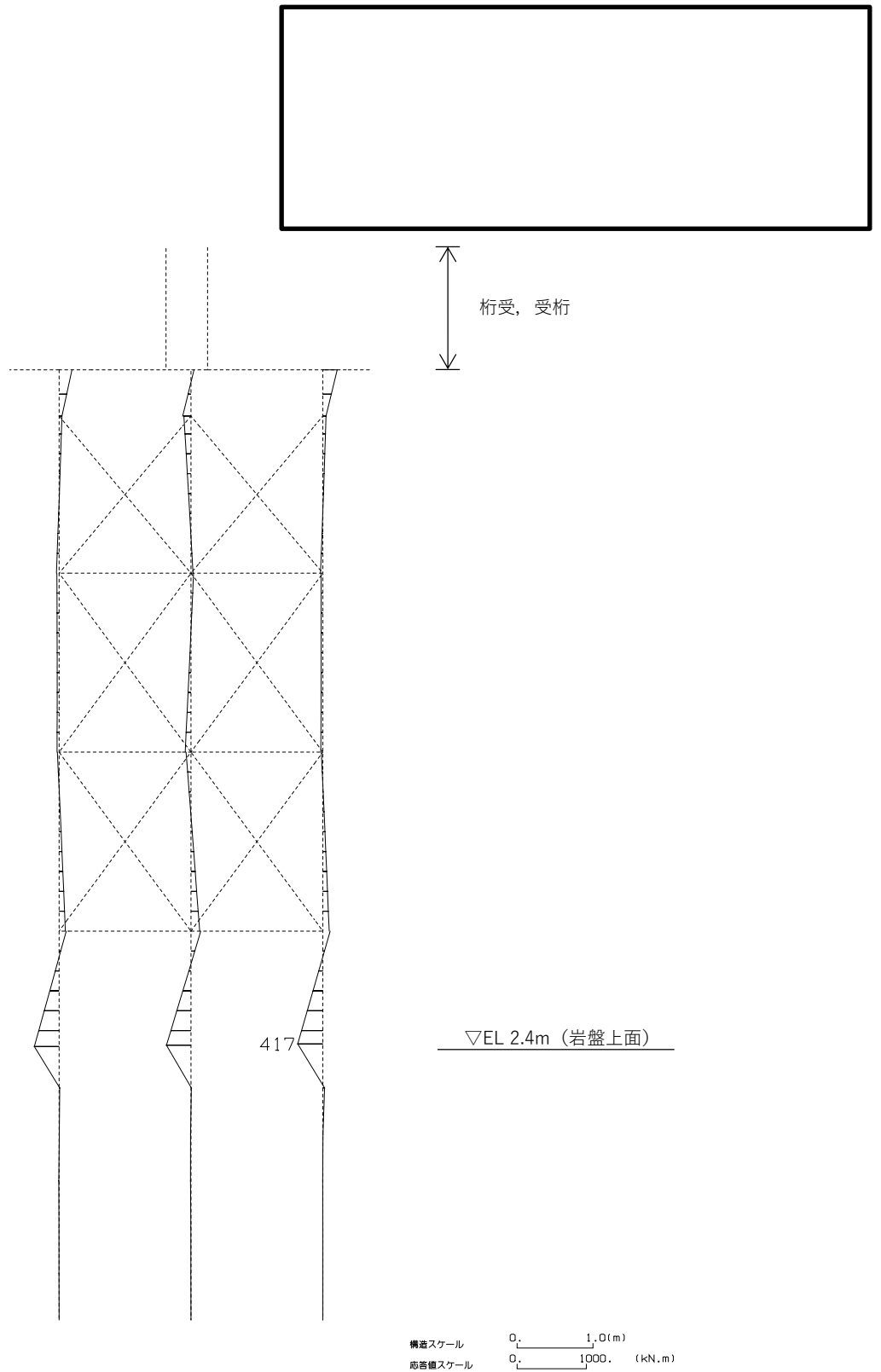
注記\*：地震動の位相について、左側は水平動、右側は鉛直動を表し、「++」は反転なしケースを示す。



表 6-5 (5) せん断力に対する照査値 (支持杭)

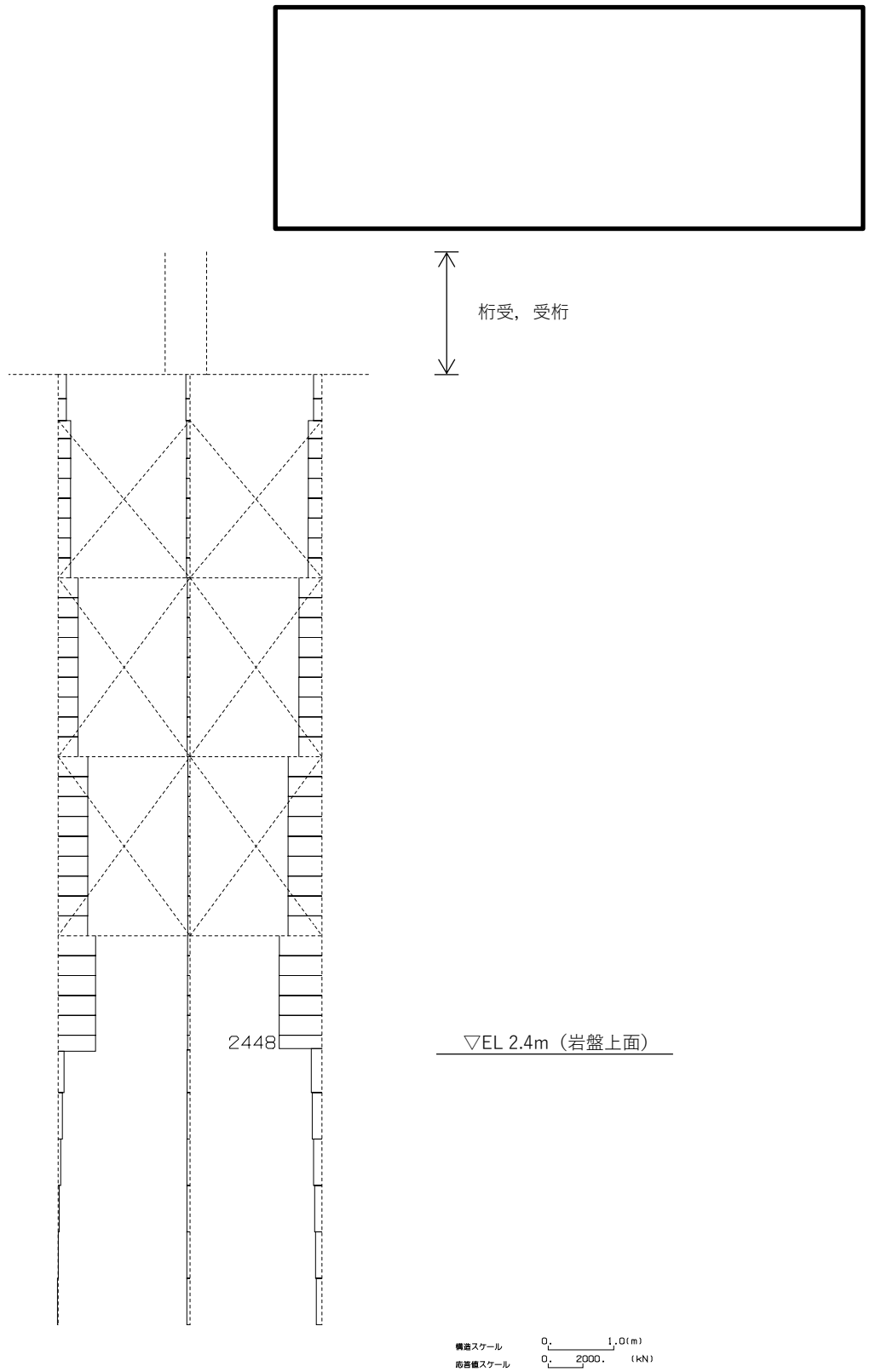
解析 ケース	地震動		部位	発生応力度 (N/mm <sup>2</sup> )	短期許容 せん断応力度 (N/mm <sup>2</sup> )	照査値
①	S s - D	++*	支持杭	34	120	0.29
	S s - F 1	++*		31		0.26
	S s - F 2	++*		21		0.18
	S s - N 1	++*		25		0.21
	S s - N 2 (NS)	++*		26		0.22
	S s - N 2 (EW)	++*		20		0.17

注記\* : 地震動の位相について, 左側は水平動, 右側は鉛直動を表し, 「++」は反転なしケースを示す。

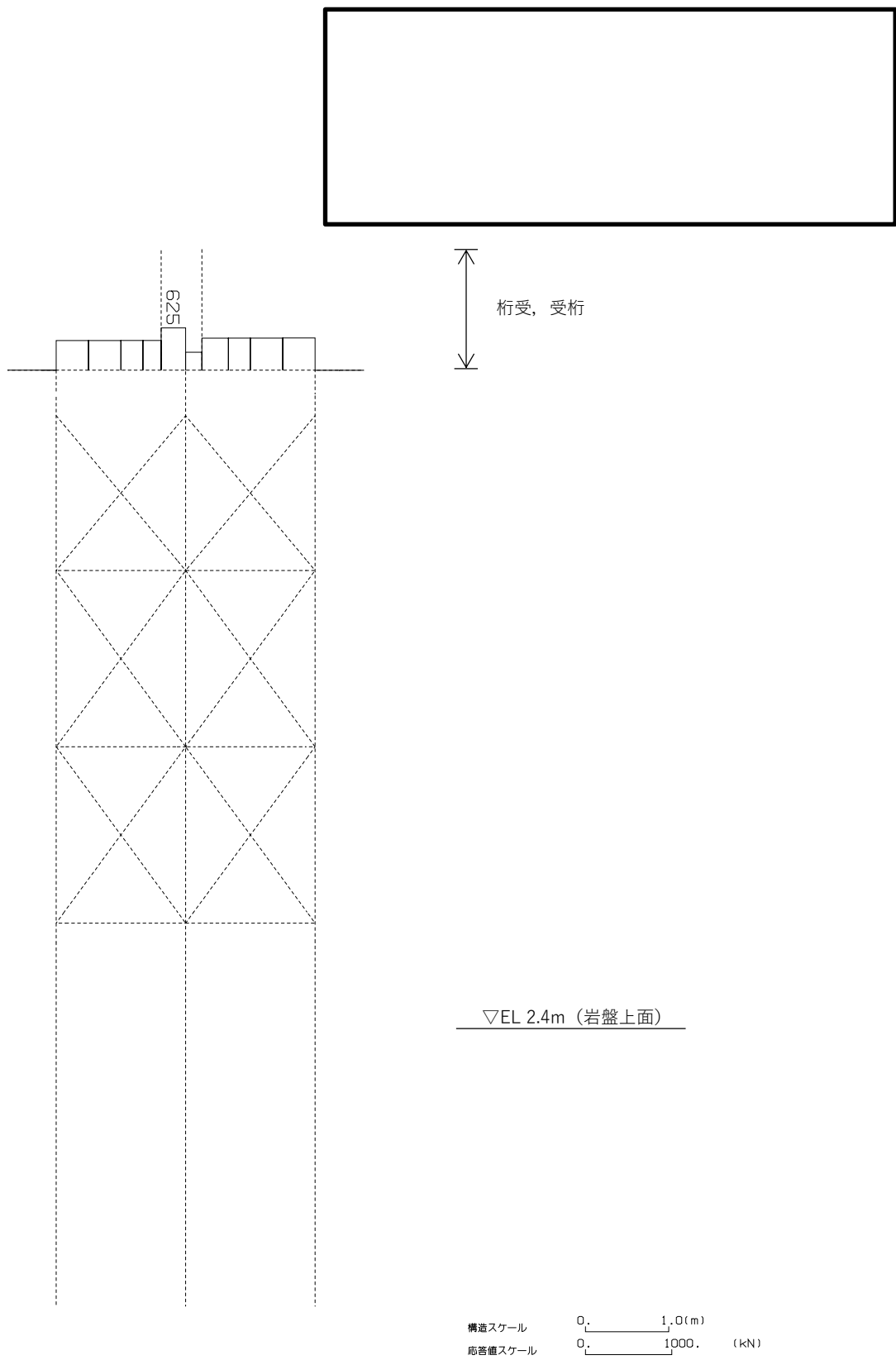


(支持杭 (橋脚 (東側)) 曲げモーメント S s - D (+, +), t = 14.55s)

図 6-3 (1) 曲げ軸力の最も厳しい照査値となったケースの断面力



(支持杭 (橋脚 (東側) 軸力  $S_s - D (+, +)$ ,  $t = 14.55s$ )  
 図 6-3 (2) 曲げ軸力の最も厳しい照査値となったケースの断面力



(支持杭 (橋脚 (東側) せん断力  $S_s - F_1 (+, +)$ ,  $t = 7.94s$ )

図 6-4 せん断力の最も厳しい照査値となったケースの断面力

表 6-6 (1) 連結・結合部の照査値 (支承部 (ソールプレート) : せん断力)

解析 ケース	地震動		部位	せん断 応力度 (N/mm <sup>2</sup> )	許容せん断 応力度 (N/mm <sup>2</sup> )	照査値
	S s - D	++*				
①	S s - D	++*	支承部 (ソールプレート)	39	120	0.33

注記\* : 地震動の位相について, 左側は水平動, 右側は鉛直動を表し, 「++」は反転なしケースを示す。

表 6-6 (2) 連結・結合部の照査値 (固定ボルト (支承部-桁受) : せん断力)

解析 ケース	地震動		部位	せん断力 (kN)	許容 せん断力 (kN)	照査値
	S s - D	++*				
①	S s - D	++*	固定ボルト (支承部-桁受)	268	433	0.62

注記\* : 地震動の位相について, 左側は水平動, 右側は鉛直動を表し, 「++」は反転なしケースを示す。

表 6-6 (3) 連結・結合部の照査値 (固定ボルト (桁受-受桁) : せん断力)

解析 ケース	地震動		部位	最大 せん断力 (kN/本)	許容 せん断力 (kN/本)	照査値
	S s - D	++*				
①	S s - D	++*	固定ボルト (受桁-支持杭)	24	128	0.19

注記\* : 地震動の位相について, 左側は水平動, 右側は鉛直動を表し, 「++」は反転なしケースを示す。

表 6-6 (4) 連結・結合部の照査値 (固定ボルト (桁受-受桁) : 引張力)

解析 ケース	地震動		部位	最大 引張力 (kN/本)	許容引張力 (kN/本)	照査値
	S s - D	++*				
①	S s - D	++*	固定ボルト (受桁-支持杭)	100	277	0.37

注記\* : 地震動の位相について, 左側は水平動, 右側は鉛直動を表し, 「++」は反転なしケースを示す。

表 6-6 (5) 連結・結合部の照査値 (固定ボルト (受桁-支持杭) : せん断力)

解析 ケース	地震動		部位	最大 せん断力 (kN/本)	許容 せん断力 (kN/本)	照査値
	S s - D	++*				
①	S s - D	++*	固定ボルト (受桁-支持杭)	22	128	0.18

注記\* : 地震動の位相について、左側は水平動、右側は鉛直動を表し、「++」は反転なしケースを示す。

表 6-6 (6) 連結・結合部の照査値 (固定ボルト (受桁-支持杭) : 引張力)

解析 ケース	地震動		部位	最大 引張力 (kN/本)	許容引張力 (N/mm <sup>2</sup> )	照査値
	S s - D	++*				
①	S s - D	++*	固定ボルト (受桁-支持杭)	84	277	0.31

注記\* : 地震動の位相について、左側は水平動、右側は鉛直動を表し、「++」は反転なしケースを示す。

表 6-6 (7) 連結・結合部の照査値 (固定ボルト (受桁-支持杭) : 引張力)

解析 ケース	地震動		部位	最大 引張力 (kN/本)	許容引張力 (N/mm <sup>2</sup> )	照査値
	S s - D	++*				
①	S s - D	++*	固定ボルト (受桁-支持杭)	84	277	0.31

注記\* : 地震動の位相について、左側は水平動、右側は鉛直動を表し、「++」は反転なしケースを示す。

表 6-6 (8) 連結・結合部の照査値

(溶接部 (水平材-支持杭) : せん断力によるせん断照査)

解析 ケース	地震動		部位	最大 せん断力 (kN)	許容 せん断力 (kN)	照査値
①	S s - D	++*	溶接部 (水平材-支持杭)	83	163	0.51

注記\* : 地震動の位相について、左側は水平動、右側は鉛直動を表し、「++」は反転なしケースを示す。

表 6-6 (9) 連結・結合部の照査値

(溶接部 (水平材-支持杭) : 曲げ軸力によるせん断照査)

解析 ケース	地震動		部位	最大曲げ モーメント (kN・m)	許容曲げ モーメント (kN・m)	照査値
①	S s - D	++*	溶接部 (水平材-支持杭)	5	13	0.39

注記\* : 地震動の位相について、左側は水平動、右側は鉛直動を表し、「++」は反転なしケースを示す。

表 6-6 (10) 連結・結合部の照査値

(溶接部 (水平材-支持杭) : せん断力と曲げ軸力の合成力によるせん断照査)

解析 ケース	地震動		部位	照査値
①	S s - D	++*	溶接部 (水平材-支持杭)	0.41

注記\* : 地震動の位相について、左側は水平動、右側は鉛直動を表し、「++」は反転なしケースを示す。

表 6-6 (11) 連結・結合部の照査値

(溶接部 (斜材-支持杭) : せん断力によるせん断照査)

解析 ケース	地震動		部位	最大 せん断力 (kN)	許容 せん断力 (kN)	照査値
①	S s - D	++*	溶接部 (斜材-支持杭)	606	950	0.64

注記\* : 地震動の位相について、左側は水平動、右側は鉛直動を表し、「++」は反転なしケースを示す。

表 6-6 (12) 連結・結合部の照査値

(溶接部 (斜材-支持杭) : 曲げ軸力によるせん断照査)

解析 ケース	地震動		部位	最大曲げ モーメント (kN・m)	許容曲げ モーメント (kN・m)	照査値
①	S s - D	++*	溶接部 (斜材-支持杭)	12	96	0.13

注記\* : 地震動の位相について、左側は水平動、右側は鉛直動を表し、「++」は反転なしケースを示す。

表 6-6 (13) 連結・結合部の照査値

(溶接部 (斜材-支持杭) : せん断力と曲げ軸力の合成力によるせん断照査)

解析 ケース	地震動		部位	照査値
①	S s - D	++*	溶接部 (斜材-支持杭)	0.43

注記\* : 地震動の位相について、左側は水平動、右側は鉛直動を表し、「++」は反転なしケースを示す。



表 6-7 (1) 曲げ軸力に対する照査値 (橋台 (東側) 側壁 : 曲げ圧縮)

解析 ケース	地震動		部位	発生応力度 (N/mm <sup>2</sup> )	短期許容 曲げ圧縮 応力度 (N/mm <sup>2</sup> )	照査値
①	S s - D	++*	橋台 (東側) 側壁	1.0	13.5	0.08
	S s - F 1	++*		0.9		0.07
	S s - F 2	++*		1.0		0.08
	S s - N 1	++*		0.9		0.07
	S s - N 2 (NS)	++*		0.9		0.07
	S s - N 2 (EW)	++*		1.0		0.08

注記\* : 地震動の位相について、左側は水平動、右側は鉛直動を表し、「++」は反転なしケースを示す。

表 6-7 (2) 曲げ軸力に対する照査値 (橋台 (東側) 側壁 : 曲げ引張)

解析 ケース	地震動		部位	発生応力度 (N/mm <sup>2</sup> )	短期許容 曲げ引張 応力度 (N/mm <sup>2</sup> )	照査値
①	S s - D	++*	橋台 (東側) 側壁	30	294	0.11
	S s - F 1	++*		25		0.09
	S s - F 2	++*		27		0.10
	S s - N 1	++*		26		0.09
	S s - N 2 (NS)	++*		23		0.08
	S s - N 2 (EW)	++*		28		0.07

注記\* : 地震動の位相について、左側は水平動、右側は鉛直動を表し、「++」は反転なしケースを示す。

表 6-7 (3) 曲げ軸力に対する照査値 (橋台 (東側) 底版 : 曲げ圧縮)

解析 ケース	地震動		部位	発生応力度 (N/mm <sup>2</sup> )	短期許容 曲げ圧縮 応力度 (N/mm <sup>2</sup> )	照査値
①	S s - D	++*	橋台 (東側) 底版	1.8	13.5	0.14
	S s - F 1	++*		1.5		0.12
	S s - F 2	++*		1.6		0.12
	S s - N 1	++*		1.5		0.12
	S s - N 2 (NS)	++*		1.4		0.11
	S s - N 2 (EW)	++*		1.4		0.11

注記\* : 地震動の位相について、左側は水平動、右側は鉛直動を表し、「++」は反転なしケースを示す。

表 6-7 (4) 曲げ軸力に対する照査値 (橋台 (東側) 底版 : 曲げ引張)

解析 ケース	地震動		部位	発生応力度 (N/mm <sup>2</sup> )	短期許容 曲げ引張 応力度 (N/mm <sup>2</sup> )	照査値
①	S s - D	++*	橋台 (東側) 底版	55	294	0.19
	S s - F 1	++*		46		0.16
	S s - F 2	++*		49		0.17
	S s - N 1	++*		45		0.16
	S s - N 2 (NS)	++*		43		0.15
	S s - N 2 (EW)	++*		44		0.15

注記\* : 地震動の位相について、左側は水平動、右側は鉛直動を表し、「++」は反転なしケースを示す。

表 6-8 (1) せん断力に対する照査値 (橋台 (東側) 側壁)

解析 ケース	地震動		部位	発生せん断力 (kN)	短期許容 せん断力 (kN)	照査値
①	S s - D	++*	橋台 (東側) 側壁	28	343	0.09
	S s - F 1	++*		23		0.07
	S s - F 2	++*		28		0.09
	S s - N 1	++*		25		0.08
	S s - N 2 (NS)	++*		24		0.07
	S s - N 2 (EW)	++*		30		0.09

注記\* : 地震動の位相について、左側は水平動、右側は鉛直動を表し、「++」は反転なしケースを示す。

表 6-8 (2) せん断力に対する照査値 (橋台 (東側) 底版)

解析 ケース	地震動		部位	発生せん断力 (kN)	短期許容 せん断力 (kN)	照査値
①	S s - D	++*	橋台 (東側) 底版	93	343	0.28
	S s - F 1	++*		77		0.23
	S s - F 2	++*		83		0.25
	S s - N 1	++*		77		0.23
	S s - N 2 (NS)	++*		73		0.22
	S s - N 2 (EW)	++*		75		0.22

注記\* : 地震動の位相について、左側は水平動、右側は鉛直動を表し、「++」は反転なしケースを示す。

表 6-9 置換コンクリート（西側）のせん断破壊に対する局所安全係数

解析 ケース	地震動		部位	せん断応力 S (N/mm <sup>2</sup> )	せん断強度 R (N/mm <sup>2</sup> )	局所安全係数 f <sub>s</sub>
①	S <sub>s</sub> -D	++*	置換 コンク リート (西側)	1.07	3.6	3.37
	S <sub>s</sub> -F 1	++*		0.74		4.87
	S <sub>s</sub> -F 2	++*		0.89		4.05
	S <sub>s</sub> -N 1	++*		0.98		3.68
	S <sub>s</sub> -N 2 (NS)	++*		0.74		4.87
	S <sub>s</sub> -N 2 (EW)	++*		0.79		4.56

注記\*：地震動の位相について、左側は水平動、右側は鉛直動を表し、「++」は反転なしケースを示す。

表 6-10 置換コンクリート（西側）の引張破壊に対する局所安全係数

解析 ケース	地震動		部位	引張応力 S (N/mm <sup>2</sup> )	引張強度 R (N/mm <sup>2</sup> )	局所安全係数 f <sub>s</sub>
①	S <sub>s</sub> -D	++*	置換 コンク リート (西側)	1.51	1.57	1.04
	S <sub>s</sub> -F 1	++*		1.12		1.41
	S <sub>s</sub> -F 2	++*		0.90		1.75
	S <sub>s</sub> -N 1	++*		0.73		2.16
	S <sub>s</sub> -N 2 (NS)	++*		0.94		1.68
	S <sub>s</sub> -N 2 (EW)	++*		0.68		2.31

注記\*：地震動の位相について、左側は水平動、右側は鉛直動を表し、「++」は反転なしケースを示す。

### 6.1.2 基礎地盤の支持性能に対する評価結果

#### (1) A-A断面（南北方向）の評価結果

A-A断面（南北方向）の基礎地盤の支持性能に対する照査結果を表6-11及び表-12に示す。

A-A断面（南北方向）の仮設耐震構台の基礎地盤に生じる最大接地圧及び引抜き周面摩擦力度が許容限界以下であることを確認した。

表6-11 基礎地盤の支持性能（接地圧）評価結果（A-A断面（南北方向））

解析ケース	地震動		軸力 N <sub>max</sub> (kN)	軸応力度 R <sub>d</sub> (N/mm <sup>2</sup> )	極限支持力度 R <sub>u</sub> (N/mm <sup>2</sup> )	照査値 R <sub>d</sub> /R <sub>u</sub>
①	S <sub>s</sub> -D	++*	1814	3.2	9.8	0.33
	S <sub>s</sub> -F1	++*	1474	2.6		0.27
	S <sub>s</sub> -F2	++*	1468	2.6		0.27
	S <sub>s</sub> -N1	++*	1025	1.8		0.19
	S <sub>s</sub> -N2 (NS)	++*	1446	2.5		0.26
	S <sub>s</sub> -N2 (EW)	++*	1196	2.1		0.22

注記\*：地震動の位相について、左側は水平動、右側は鉛直動を表し、「++」は反転なしケースを示す。

表 6-12 基礎地盤の支持性能（引抜き）評価結果（A-A断面（南北方向））

解析 ケー ス	地震動		軸力 Nmin (kN)	引抜き周面 摩擦力度 P <sub>d</sub> (N/mm <sup>2</sup> )	極限周面 摩擦力度 P <sub>u</sub> (N/mm <sup>2</sup> )	照査値 P <sub>d</sub> /P <sub>u</sub>
①	S <sub>s</sub> -D	++*	1486	0.14	0.92	0.16
	S <sub>s</sub> -F 1	++*	1126	0.11		0.12
	S <sub>s</sub> -F 2	++*	1149	0.11		0.12
	S <sub>s</sub> -N 1	++*	652	0.06		0.07
	S <sub>s</sub> -N 2 (NS)	++*	832	0.08		0.09
	S <sub>s</sub> -N 2 (EW)	++*	1021	0.10		0.11

注記\*：地震動の位相について，左側は水平動，右側は鉛直動を表し，「++」は反転なしケースを示す。

(2) B-B断面（東西方向）の評価結果

B-B断面（東西方向）の基礎地盤の支持性能に対する照査結果を表6-13及び表-14に示す。

B-B断面（東西方向）の仮設耐震構台の基礎地盤に生じる最大接地圧及び引抜き周面摩擦力度が許容限界以下であることを確認した。

表6-13 基礎地盤の支持性能（接地圧）評価結果（B-B断面（東西方向））

解析ケース	地震動		軸力 Nmax (kN)	軸応力度 R <sub>d</sub> (N/mm <sup>2</sup> )	極限支持力度 R <sub>u</sub> (N/mm <sup>2</sup> )	照査値 R <sub>d</sub> /R <sub>u</sub>
①	S <sub>s</sub> -D	++*	2448	4.3	9.8	0.44
	S <sub>s</sub> -F1	++*	2378	4.2		0.43
	S <sub>s</sub> -F2	++*	1587	2.8		0.29
	S <sub>s</sub> -N1	++*	1855	3.3		0.34
	S <sub>s</sub> -N2 (NS)	++*	1889	2.8		0.29
	S <sub>s</sub> -N2 (EW)	++*	1563	3.3		0.34

注記\*：地震動の位相について、左側は水平動、右側は鉛直動を表し、「++」は反転なしケースを示す。

表 6-14 基礎地盤の支持性能（引抜き）評価結果（B-B断面（東西方向））

解析 ケー ス	地震動		軸力 Nmin (kN)	引抜き周面 摩擦力度 P <sub>d</sub> (N/mm <sup>2</sup> )	極限周面 摩擦力度 P <sub>u</sub> (N/mm <sup>2</sup> )	照査値 P <sub>d</sub> /P <sub>u</sub>
①	S <sub>s</sub> -D	++*	2142	0.20	0.92	0.22
	S <sub>s</sub> -F 1	++*	1956	0.18		0.20
	S <sub>s</sub> -F 2	++*	1311	0.12		0.14
	S <sub>s</sub> -N 1	++*	1547	0.14		0.16
	S <sub>s</sub> -N 2 (NS)	++*	1264	0.12		0.14
	S <sub>s</sub> -N 2 (EW)	++*	1594	0.15		0.17

注記\*：地震動の位相について，左側は水平動，右側は鉛直動を表し，「++」は反転なしケースを示す。



## 6.2 構造物間の相対変位による影響評価結果

### 6.2.1 相対変位による評価結果

基準地震動  $S_s$  に対する仮設耐震構台と低圧原子炉代替注水ポンプ格納槽の南北方向の最大相対変位を表 6-15 に、各構造物の変位抽出位置を図 6-5 示す。

最大相対変位は、16mm であり、許容限界（50mm）を超えないことを確認した。

表 6-15 仮設耐震構台と低圧原子炉代替注水ポンプ格納槽の最大相対変位（南北方向）

解析 ケース	地震動*1		仮設耐震構台 最大変位(mm)*2	低圧原子炉代替注 水ポンプ格納槽 最大変位(mm)*3	最大相対 変位*4 (mm)	離隔距離 (mm)
①	S s - D	++	7	9	16	50
	S s - F 1	++	7	4	11	
	S s - F 2	++	7	6	13	
	S s - N 1	++	3	10	13	
	S s - N 2 (NS)	++	6	9	15	
	S s - N 2 (EW)	++	6	7	13	

注記\*1：地震動の位相について、左側は水平動、右側は鉛直動を表し、「++」は反転なしケースを示す。

\*2：北側（低圧原子炉代替注水ポンプ格納槽側）への最大変位

\*3：南側（仮設耐震構台側）への最大変位

\*4：時刻性を考慮していない最大変位の足し合わせによる最大相対変位

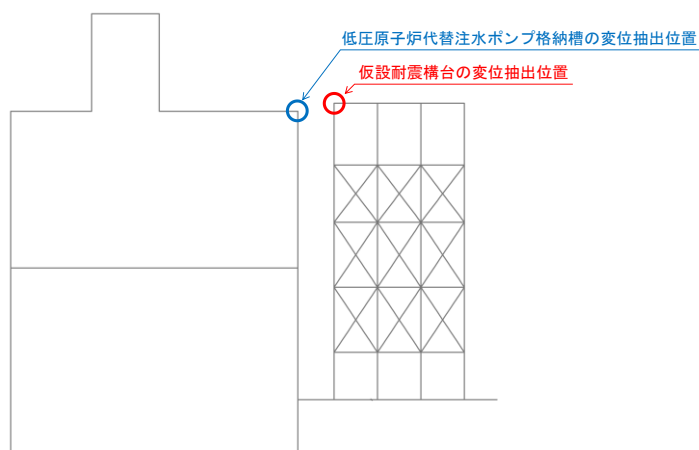


図 6-5 各構造物の変位抽出位置

## 7. まとめ

仮設耐震構台については、上位クラス施設である原子炉建物、第1ベントフィルタ格納槽、第1ベントフィルタ格納槽遮蔽及び低圧原子炉代替注水ポンプ格納槽に対する波及的影響の評価、及びアクセスルートへの影響評価を実施した。

仮設耐震構台の構造部材の健全性評価については、評価対象部位に発生する曲げ軸力及びせん断力が許容限界以下であることを確認した。基礎地盤の支持性能評価については、基礎地盤に発生する応力（接地圧）が極限支持力度に基づく許容限界以下であることを確認した。また、波及的影響評価の構造物間の相対変位による影響評価については、仮設耐震構台と上位クラス施設の最大相対変位が許容限界を超えないことを確認した。

以上から、仮設耐震構台は、上位クラス施設に対して、波及的影響を及ぼさないこと、及びアクセスルートの通行性を確認した。

(参考資料 1) A-A断面を評価対象断面とする妥当性確認について

## 1. 概要

仮設耐震構台の地震応答解析の評価対象断面のうち橋軸直交方向断面については、施設の損傷、転倒及び落下等による影響と相対変位による影響、並びに屋外のアクセスルートへの影響を評価する観点を踏まえ、地震時に仮設耐震構台が変形した際に、上位クラス施設のうち仮設耐震構台との離隔距離が最小となる低圧原子炉代替注水ポンプ格納槽に近接するA-A断面を選定している。

一方、低圧原子炉代替注水ポンプ格納槽南側の仮設耐震構台は東西方向に延長が長いこと、及び西側には盛土斜面が分布することから、A-A断面を評価対象断面として選定する妥当性を確認する。

## 2. 評価方針

仮設耐震構台の評価対象断面であるA-A断面とA-A断面より西側のE-E断面の支持杭の基部における地震応答解析結果を比較する。

地震応答解析断面位置を図1に示す。

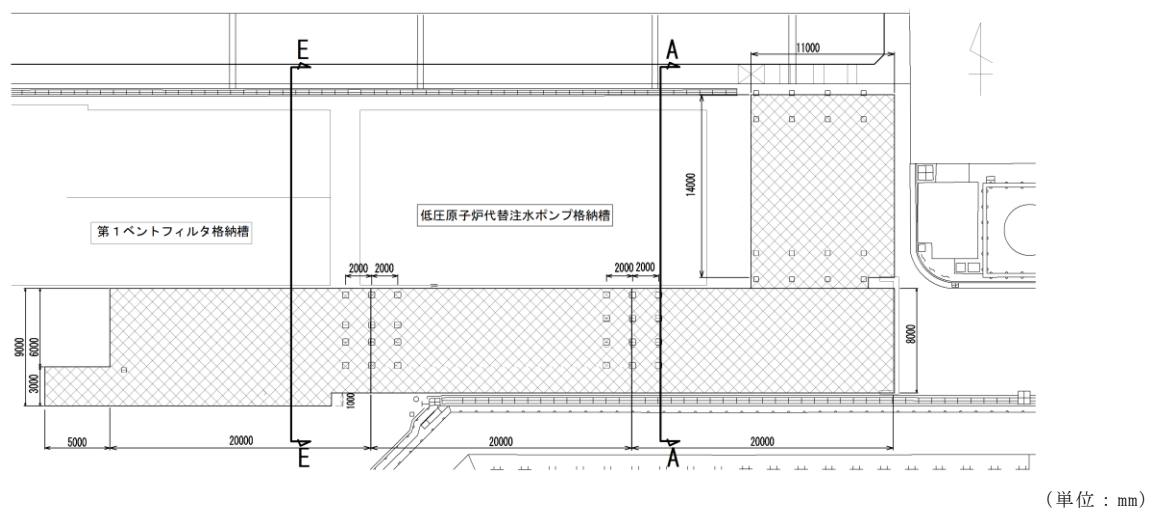


図1 地震応答解析断面位置

### 3. 解析モデル

地震応答解析を実施する解析モデルを図 2 に示す。なお、E-E 断面は、VI-2-2-30 「第 1 ベントフィルタ格納槽の地震応答計算書」の評価対象断面（B-B 断面）である。

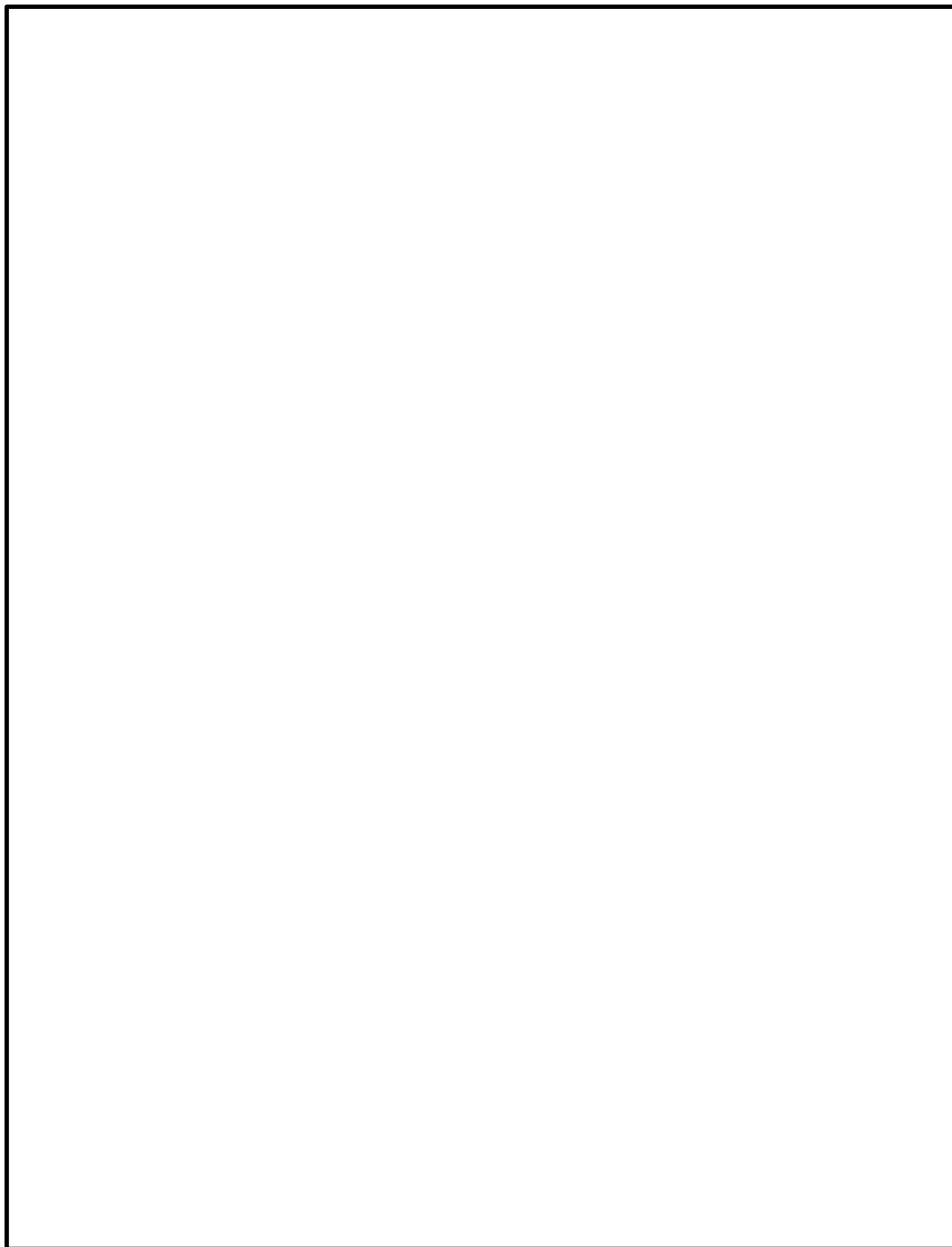


図 2 (1) 解析モデル (A-A 断面)

(参考) 1-2

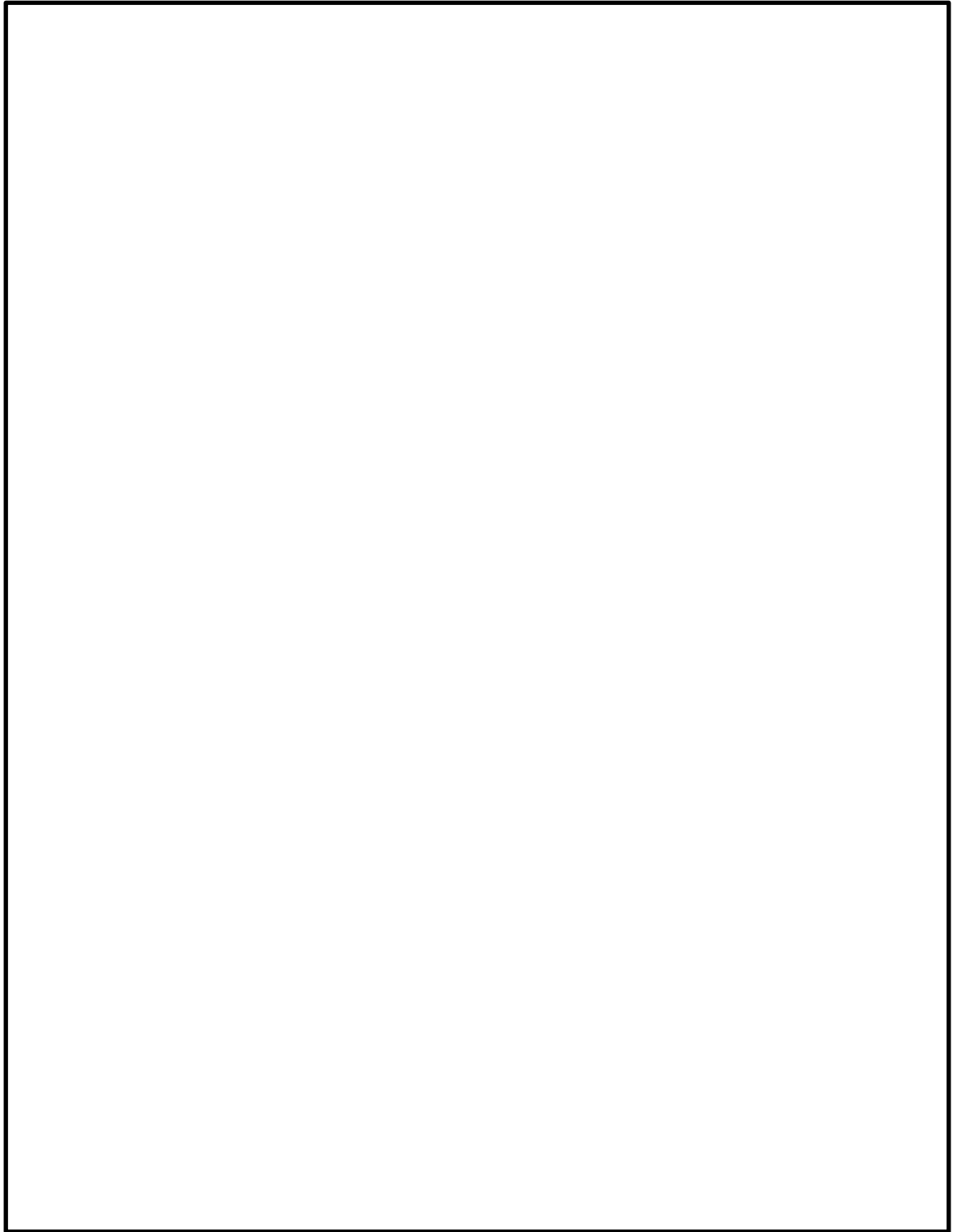


図 2 (2) 解析モデル (E - E 断面)

(参考) 1-3

#### 4. 確認結果

仮設耐震構台のうち評価対象断面であるA-A断面及びA-A断面より西側のE-E断面における仮設耐震構台の設置位置の応答加速度を表1に示す。A-A断面及びE-E断面において、最大水平加速度、最大鉛直加速度共に、おおむね同等の値であることを確認した。

以上を踏まえ、橋軸方向におおむね同等の断面が連続することから、評価対象断面としてA-A断面を選定する妥当性を確認した。

表1 仮設耐震構台の設置位置の応答加速度

抽出位置	最大水平加速度 ( $\text{cm/s}^2$ )	最大鉛直加速度 ( $\text{cm/s}^2$ )
A-A断面	634	471
E-E断面	654	455

(参考資料 2) 評価対象断面以外の耐震性評価について

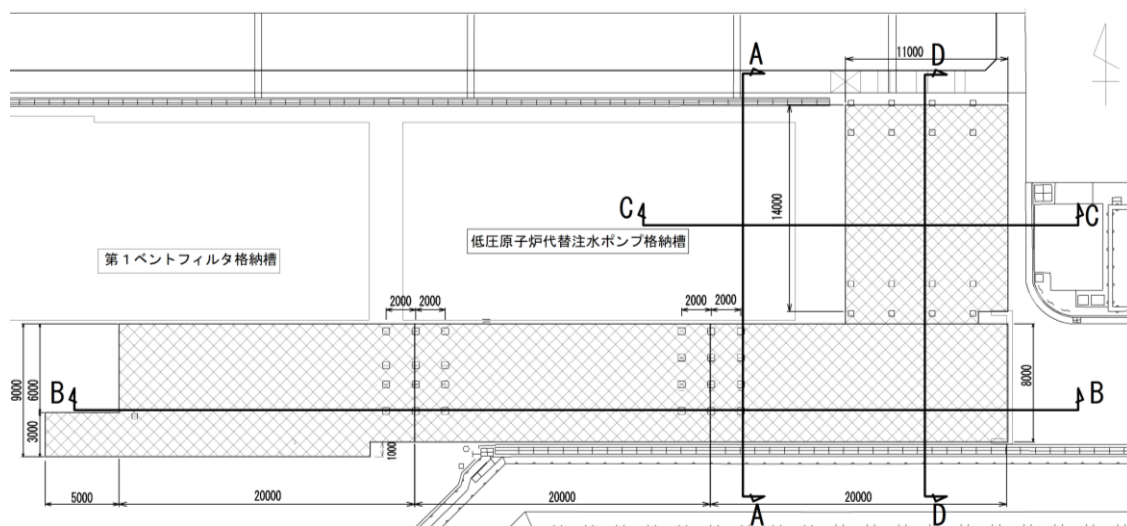
### 1. 概要

橋軸直交方向の評価にあたっては、A-A断面及びC-C断面のうちA-A断面を評価対象断面とし、構造部材及び連結・結合部の健全性評価、基礎地盤の支持性能評価、並びに上位クラス施設のうち最も近接する低圧原子炉代替注水ポンプ格納槽に対する相対変位量評価を踏まえた衝突の有無を確認する。

橋軸方向の評価にあたっては、主桁のスパン長が20mの区間(B-B断面)とB-B断面側に対して主桁の縁が切れている14m区間(D-D断面)のうちスパン長が長く、橋脚がより大きな荷重を分担する区間であるB-B断面を評価対象断面とし、東西両端に設置する橋台(東側)及び置換コンクリート(西側)を含めて構造部材及び連結・結合部の健全性評価、並びに基礎地盤の支持性能評価を実施する。

C-C断面及びD-D断面は評価対象断面としていないが、A-A断面及びB-B断面と支持杭の間隔及び本数、支間長等が異なることを踏まえ、原子炉建物へのアクセスルートとなる当該区間(C-C断面及びD-D断面)の仮設耐震構台が、上位クラス施設に対して、波及的影響を及ぼさないこと、及びアクセスルートの通行性を確認する。

仮設耐震構台の断面位置を図1に示す。



(単位：mm)

図1 仮設耐震構台の断面位置

(参考) 2-1



## 2. 評価方針

### 2.1 評価方法

C-C断面及びD-D断面の概略検討においては、照査値が最も厳しくなる地震動及び主要な構造部材を確認するため、評価対象断面であるA-A断面及びB-B断面の照査結果を整理した。A-A断面及びB-B断面の照査結果を表1に示す。

A-A断面及びB-B断面の評価において、地震動はS<sub>s</sub>-D、評価対象部位は支持杭が最も照査値の厳しくなる条件であることを確認した。

以上のことから、「2.2 C-C断面とD-D断面の強度特性及び応答特性の確認について」にて、地震動はS<sub>s</sub>-D、評価対象部位は支持杭を対象とする。

表1 A-A断面及びB-B断面の照査結果

断 面		部 位	地震動	各部位の 最大照査値
A-A断面	橋軸直交	支持杭	S <sub>s</sub> -D	<u>0.49</u>
		水平材	S <sub>s</sub> -D	0.32
		斜材	S <sub>s</sub> -D	0.41
B-B断面	橋軸	支持杭	S <sub>s</sub> -D	<u>0.63</u>
		水平材	S <sub>s</sub> -D	0.32
		斜材	S <sub>s</sub> -D	0.46

注：下線は各断面における照査値最大

### 2.2 C-C断面とD-D断面の強度特性及び応答特性の確認について

評価対象断面以外のC-C断面とD-D断面で強度特性及び応答特性を確認するため、概略モデルによる比較検討を行った。概略検討モデルを図2に示す。なお、概略モデルは、本文におけるモデルと構造条件及び地質条件をおおむね一致させている。

基準地震動S<sub>s</sub>-Dによる支持杭の照査値を確認したところ、C-C断面よりD-D断面の方が厳しい結果となることを確認した。C-C断面及びD-D断面の概略検討結果を表2に示す。

したがって、次項にてD-D断面の耐震性評価を実施する。

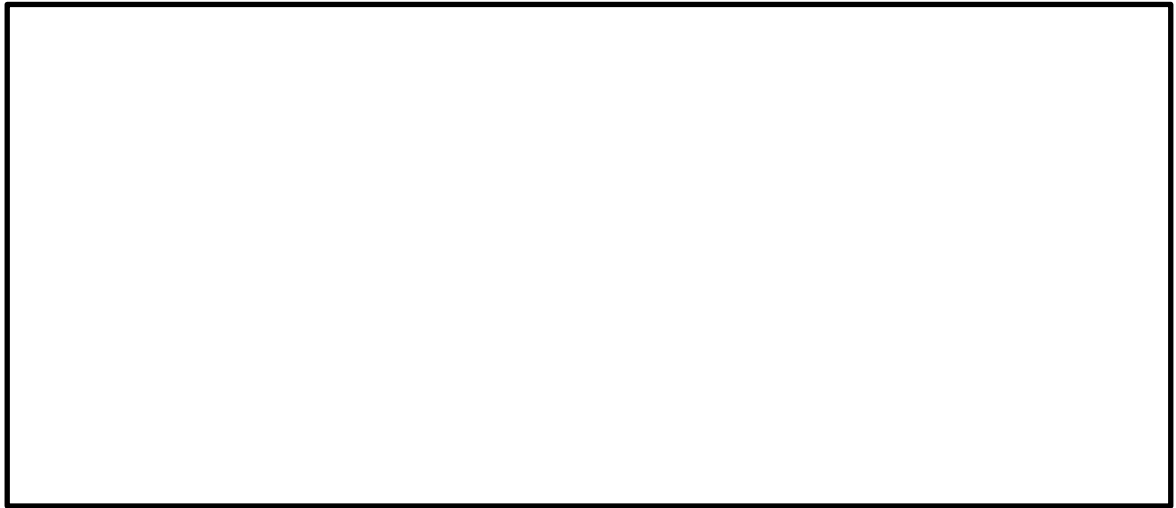


図 2 (1) 概略検討モデル (C-C 断面)

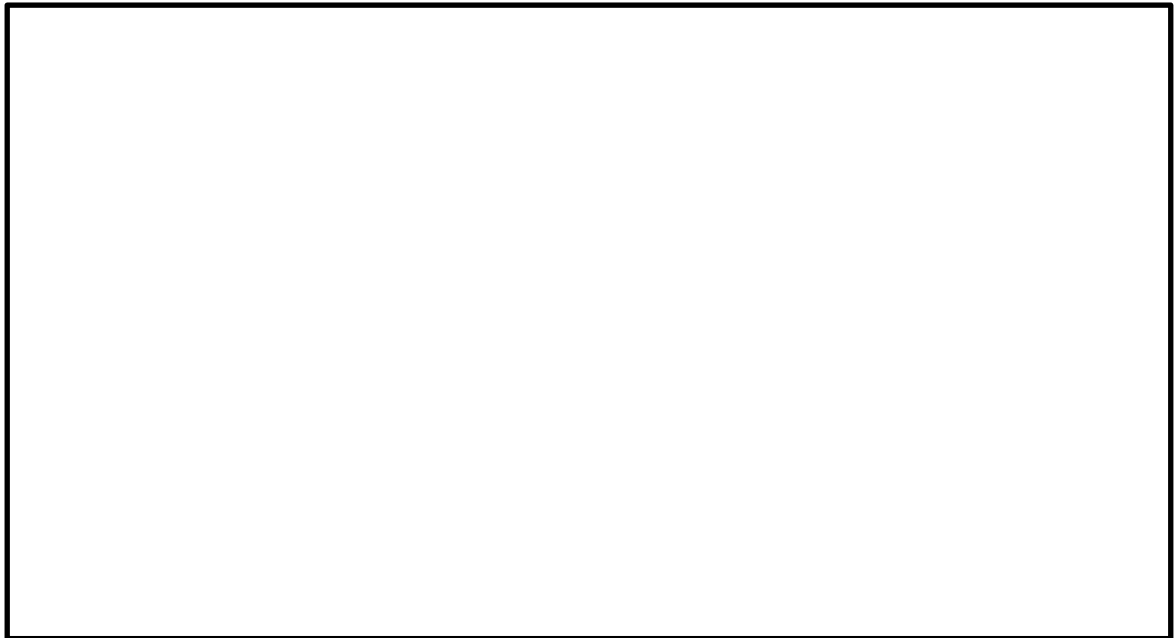


図 2 (2) 概略検討モデル (D-D 断面)

表 2 C-C 断面及びD-D断面の概略検討結果

断 面		部 位	地震動	各部位の 最大照査値
C-C 断面	橋軸直交	支持杭	S s - D	0.56
D-D 断面	橋軸	支持杭	S s - D	0.65

### 3. D-D断面の耐震性評価

「2.2 C-C断面とD-D断面の強度特性及び応答特性の確認について」の検討により、照査値の厳しくなるD-D断面について、評価対象断面であるA-A断面及びB-B断面のモデル化方針により、解析モデルを作成し、耐震性評価を実施した。D-D断面の解析モデルを図3に示す。基準地震動 $S_s-D(+,+)$ による支持杭の照査を実施し、構造成立性を確認した。D-D断面の照査結果を表3に示す。

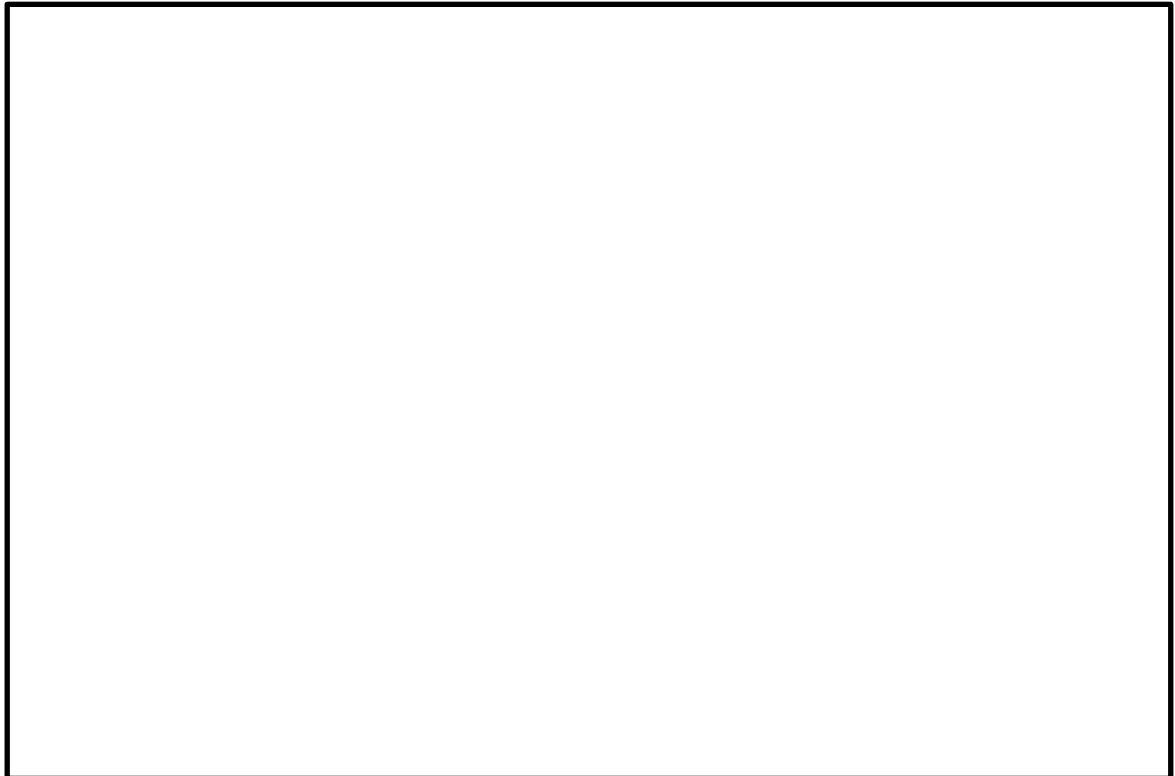


図3 D-D断面の解析モデル

表3 D-D断面の照査結果

断面	方向	地震動	最大照査値 (部位)	備考
D-D断面	橋軸	$S_s-D$	0.66 (支持杭)	今回設工認 モデル
C-C断面	橋軸直交	$S_s-D$	0.56 (支持杭)	概略検討 モデル
D-D断面	橋軸	$S_s-D$	0.65 (支持杭)	概略検討 モデル

#### 4. まとめ

D-D断面による今回設工認と概略検討の結果を比較した結果、概ね同等の結果が得られたことから、D-D断面を評価することにより、C-C断面についての耐震性も確保していると判断した。

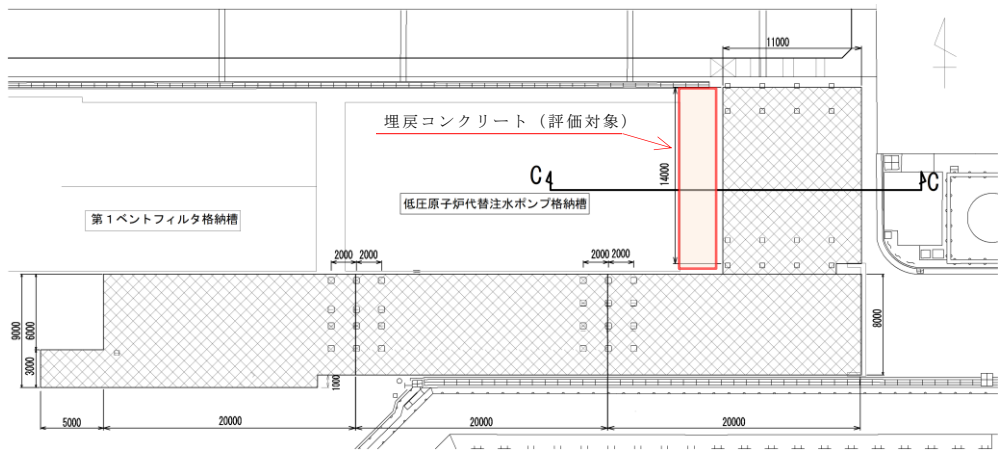
以上より、C-C断面及びD-D断面の仮設耐震構台が、上位クラス施設に対して、波及的影響を及ぼさないこと、及びアクセスルートの通行性を確認した。

(参考資料3) 仮設耐震構台と低圧原子炉代替注水ポンプ格納槽との間の埋戻コンクリートの安定性確認について

1. 概要

仮設耐震構台と低圧原子炉代替注水ポンプ格納槽との間には、埋戻コンクリートが存在し、当該埋戻コンクリートが損壊することにより、仮設耐震構台に影響を及ぼすことが想定されることから、埋戻コンクリートの安定性を確認する。

仮設耐震構台と低圧原子炉代替注水ポンプ格納槽との間の埋戻コンクリートを図1に示す。



(平面位置図)



(断面図 (C-C断面))

図1 仮設耐震構台と低圧原子炉代替注水ポンプ格納槽との間の埋戻コンクリート

(参考) 3-1

## 2. 評価方針

仮設耐震構台と低圧原子炉代替注水ポンプ格納槽との間の埋戻コンクリートの安定性評価においては、当該埋戻コンクリートが岩盤と低圧原子炉代替注水ポンプ格納槽との間に2m程度根入れされており、当該埋戻コンクリートは転倒しないと考えられることから、地震応答解析より算出される低圧原子炉代替注水ポンプ格納槽の東側壁の東側への最大変位量を当該埋戻コンクリートに与えた際に発生する応力度が本文「4.2.6 置換コンクリート（西側）に対する許容限界」に示す許容限界以下であることを確認し、安定性を評価する。

解析ケースについては、低圧原子炉代替注水ポンプ格納槽の東側壁の変位が最大となるケースである  $S_s - D(-, -)$  とする。

## 3. 確認結果

仮設耐震構台と低圧原子炉代替注水ポンプ格納槽との間の埋戻コンクリートのせん断破壊に対する局所安全係数を表1に、引張破壊に対する局所安全係数を表2に、せん断破壊及び引張破壊の最小安全率位置を図2に、最大変位量を表3に示す。

せん断破壊及び引張破壊に対する局所安全係数が1.0を上回ることを確認した。

以上より、仮設耐震構台と低圧原子炉代替注水ポンプ格納槽との間の埋戻コンクリートの安定性を確認した。

表1 埋戻コンクリートのせん断破壊に対する局所安全係数

解析ケース	地震動		部位	せん断応力 S (N/mm <sup>2</sup> )	せん断強度 R (N/mm <sup>2</sup> )	局所安全係数 f <sub>s</sub>
①	$S_s - D$	--*	埋戻 コンク リート	0.72	3.6	5.00

注記\*：地震動の位相について、左側は水平動、右側は鉛直動を表し、「++」は反転なしケースを示す。

表2 置換コンクリート（西側）の引張破壊に対する局所安全係数

解析ケース	地震動		部位	引張応力 S (N/mm <sup>2</sup> )	引張強度 R (N/mm <sup>2</sup> )	局所安全係数 f <sub>s</sub>
①	$S_s - D$	--*	埋戻 コンク リート	1.11	1.57	1.41

注記\*：地震動の位相について、左側は水平動、右側は鉛直動を表し、「++」は反転なしケースを示す。



図 2 セン断破壊及び引張破壊の最小安全率位置

表 3 埋戻コンクリートの最大変位量

解析 ケース	地震動		埋戻コンクリート 最大変位 (mm)	離隔距離 (mm)
①	S s - D	-- *	2	719

注記\* : 地震動の位相について、左側は水平動、右側は鉛直動を表し、「-」は位相を反転させたケースを示す。

## 1. 概要

A-A断面（南北方向（橋軸直交方向））における主要な構造部材の評価対象部位は、水平材、斜材及び支持杭としており、主桁については、主桁間がスパン長の短い横構及び対傾構によりトラス構造となっていることから、評価対象部位と比較し、十分に剛な構造とみなすことができるため、剛はり要素としている。

主桁間の横構及び対傾構を剛はり要素とするにあたり、その妥当性確認のため、横構及び対傾構が健全であり、構造が成立することを確認する。

A-A断面（南北方向（橋軸直交方向））の解析モデルを図1に、横構及び対傾構のイメージ図を図2に示す。

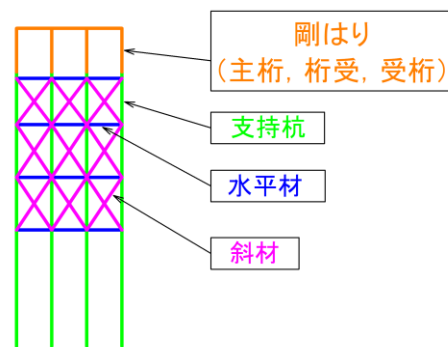


図1 A-A断面（南北方向（橋軸直交方向））の解析モデル

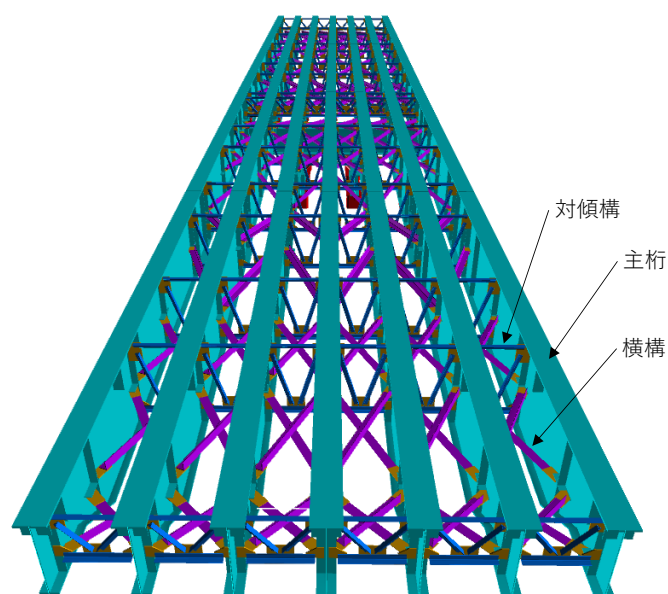


図2 横構及び対傾構のイメージ図

(参考) 4-1



## 2. 評価方針

主桁間の横構及び対傾構を剛はり要素とすることの妥当性確認は、本文における A-A断面の地震応答解析結果より得られる最大応答加速度を上回る加速度を用いた 2次元フレーム解析により実施する。フレーム解析にあたっては、主桁、横構及び対傾構を線形はり要素でモデル化し、設計震度を主桁に与えることで横構及び対傾構に発生する応力度が許容限界以下であることを確認し、構造成立性を確認する。なお、設計震度は 1.5 で除した値とし、許容限界は常時の値とする。

最大加速度分布図を図 1 に、評価に用いる加速度を表 1 に、横構及び対傾構の許容限界を表 2 に示す。

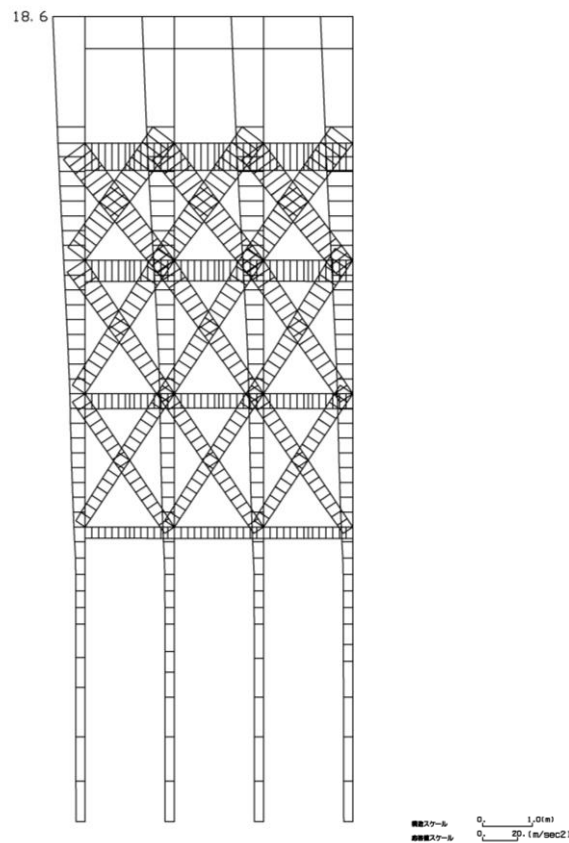


図 1 最大加速度分布図

表 1 評価に用いる加速度

評価に用いる加速度	(参考) A-A断面の地震応答解析結果 より得られる最大応答加速度
20.0m/s <sup>2</sup>	18.6m/s <sup>2</sup>

(参考) 4-2

表 2 横構及び対傾構の許容限界

評価項目	許容限界 (N/mm <sup>2</sup> )
許容圧縮応力度	別途算出* <sup>1</sup>
許容引張応力度	140* <sup>2</sup>

注記\*1：「道路橋示方書・同解説（Ⅱ鋼橋編）（日本道路協会 平成14年3月）」に基づき、許容圧縮応力度は以下により算出する。

- ・ H形鋼の場合

$$\sigma_{ca} = 140 - 0.82(l/r - 18)$$

$\sigma_{ca}$ ：許容圧縮応力度 (N/mm<sup>2</sup>)

$l$ ：部材の有効座屈長 (mm)

$r$ ：部材の総断面の断面二次半径 (mm)

- ・ 山形鋼の場合

$$\sigma_{ca} = (140 - 0.82(l/r - 18)) \times (0.5 + (l/r_x)/1000)$$

$\sigma_{ca}$ ：許容圧縮応力度 (N/mm<sup>2</sup>)

$l$ ：部材の有効座屈長 (mm)

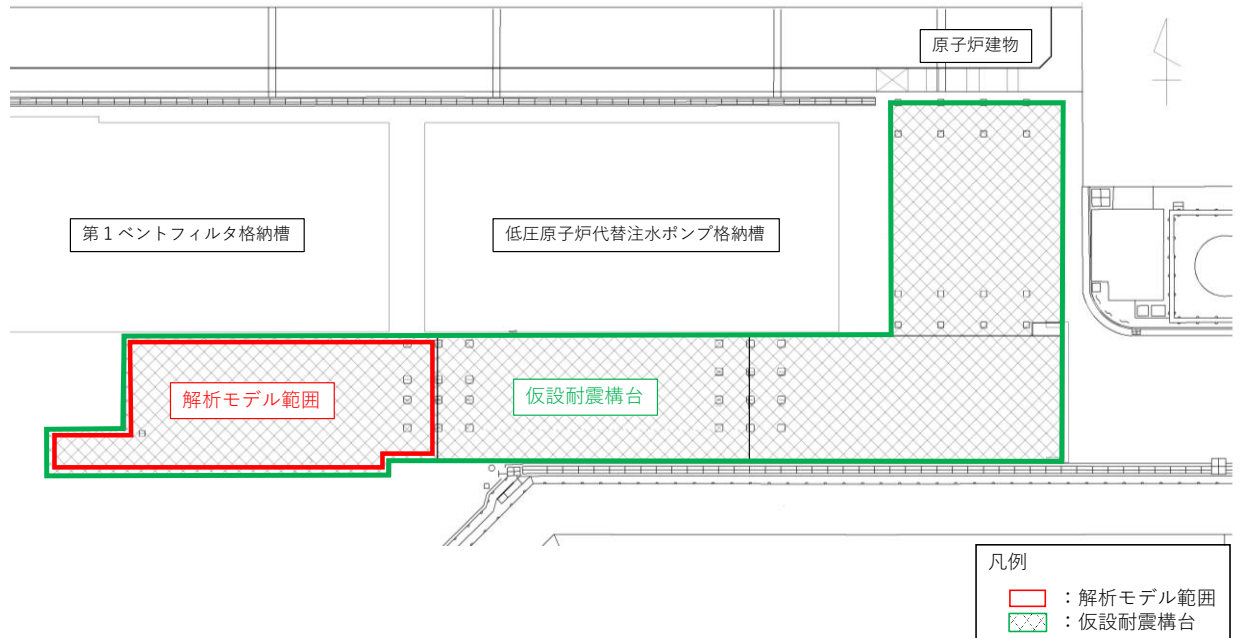
$r$ ：部材の総断面の断面二次半径 (mm)

$r_x$ ：ガセット面に平行な軸のまわりの断面二次半径 (mm)

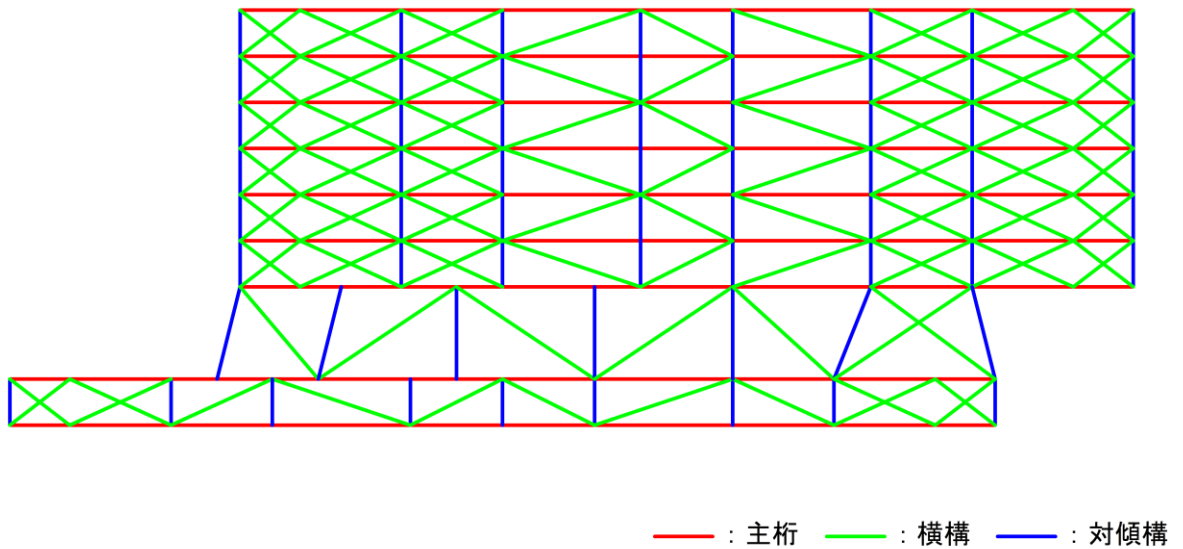
\*2：「道路橋示方書・同解説（Ⅱ鋼橋編）（日本道路協会 平成14年3月）」

### 3. 解析モデル

解析モデル範囲及び2次元フレーム解析モデルを図3に示す。横構及び対傾構の仕様及び物性値を表3に、対傾構の概略断面図を図4に示す。



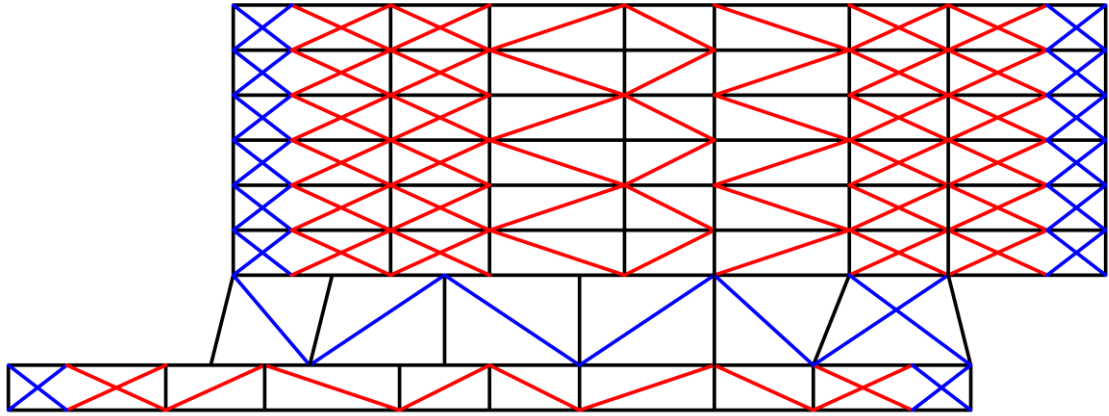
(解析モデル範囲)



(2次元フレーム解析モデル)

図3(1) 解析モデル範囲及び2次元フレーム解析モデル

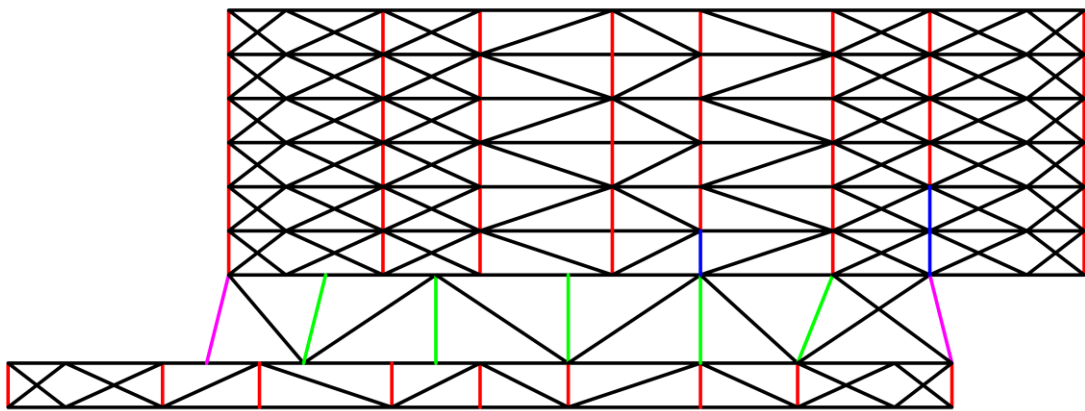
(参考) 4-4



— : 横構 L130×130×9      — : 横構 H125×125×6.5×9

(2次元フレーム解析モデル)

図 3 (2) 解析モデル範囲及び2次元フレーム解析モデル



— : 対傾構①    — : 対傾構②    — : 対傾構③    — : 対傾構④

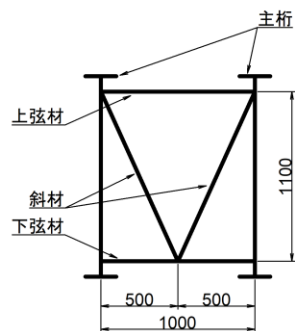
(2次元フレーム解析モデル)

図 3 (3) 解析モデル範囲及び2次元フレーム解析モデル

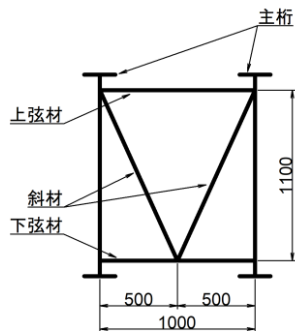
(参考) 4-5

表 3 横構及び対傾構の仕様及び物性値

材料		仕様	単位体積重量 ( $\text{kN/m}^3$ )	断面積 ( $\text{cm}^2$ )	ヤング係数 E ( $\text{N/mm}^2$ )	ポアソン比 $\nu$
横構	L130×130×9	SS400	77.0	22.74	$2.00 \times 10^5$	0.3
横構	H125×125×6.5×9	SS400	77.0	30.00	$2.00 \times 10^5$	0.3
対傾構	L75×75×6	SS400	77.0	17.45	$2.00 \times 10^5$	0.3
対傾構	L130×130×9	SS400	77.0	22.74	$2.00 \times 10^5$	0.3



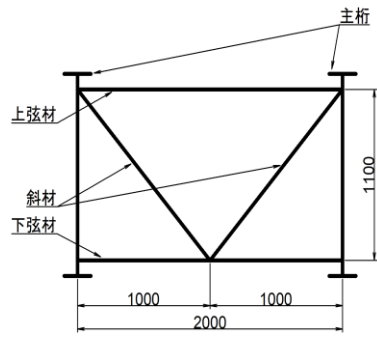
上・下弦材 : L75×75×6 (SS400)  
 斜材 : L75×75×6 (SS400)  
 (対傾構①)



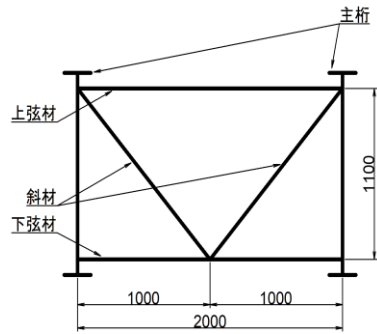
上・下弦材 : L75×75×6 (SS400)  
 斜材 : L100×100×10 (SS400)  
 (対傾構②)

図 4 (1) 対傾構の概略断面図

(参考) 4-6



上・下弦材 : L75×75×6 (SS400)  
 斜材 : L75×75×6 (SS400)  
 (対傾構③)



上・下弦材 : L130×130×9 (SS400)  
 斜材 : H125×125×6.5×9 (SS400)  
 (対傾構④)

図 4 (2) 対傾構の概略断面図

(参考) 4-7

#### 4. 確認結果

横構及び対傾構の耐震性評価を実施した。横構及び対傾構の照査結果を表4に示す。

横構及び対傾構に発生する圧縮力及び引張力が許容限界以下であり、構造が成立することを確認したことから、横構及び対傾構を剛はり要素とする妥当性を確認した。

表4(1) 圧縮力に対する照査値

部位		発生応力度 (N/mm <sup>2</sup> )	許容圧縮 応力度 (N/mm <sup>2</sup> )	照査値
横構	L130×130×9	37	52	0.72
横構	H125×125×6.5×9	58	99	0.59
対傾構	L75×75×6	47	65	0.73
対傾構	L130×130×9	45	63	0.72
対傾構	L100×100×10	49	69	0.72
対傾構	H125×125×6.5×9	51	132	0.39

表4(2) 引張力に対する照査値

部位		発生応力度 (N/mm <sup>2</sup> )	許容引張 応力度 (N/mm <sup>2</sup> )	照査値
横構	L130×130×9	49	140	0.35
横構	H125×125×6.5×9	58		0.42
対傾構	L75×75×6	62		0.45
対傾構	L100×100×10	65		0.47
対傾構	H125×125×6.5×9	51		0.37

## 1. 概要

A-A断面（南北方向（橋軸直交方向））における主要な構造部材の評価対象部位は、水平材、斜材及び支持杭としており、桁受については、桁受－受桁間がスパン長の短い補強材によりトラス構造となっていることから、評価対象部位と比較し、十分に剛な構造とみなすことができるため、剛はり要素としている。

桁受を剛はり要素とするにあたり、その妥当性確認のため、桁受を線形はり要素としてモデル化した場合においても、桁受が健全であり、構造が成立することを確認する。

本文におけるA-A断面（南北方向（橋軸直交方向））の解析モデルを図1に示す。

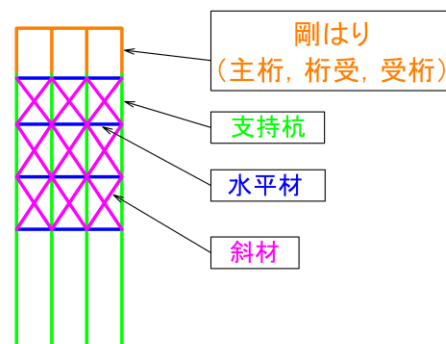


図1 本文におけるA-A断面（南北方向（橋軸直交方向））の解析モデル



## 2. 評価方針

桁受を剛はり要素とすることの妥当性確認においては、本文において剛はり要素としている桁受を線形はり要素としてモデル化を行い、桁受に発生する応力度が本文「4.2.1 主桁，受桁，水平材，斜材及び支持杭に対する許容限界」に示す許容限界以下であることを確認し、構造成立性を確認する。また、桁受－受桁間の固定ボルトについても、発生する応力度が本文「4.2.3 固定ボルトに対する許容限界」に示す許容限界以下であることを確認し、構造成立性を確認する。

解析ケースについては、本文における評価において照査値が最大となるケースである  $S_s - D(+, +)$  とする。

## 3. 解析モデル

地震応答解析を実施する解析モデルを図 2 に示す。桁受の仕様及び物性値を表 3-1 に示す。

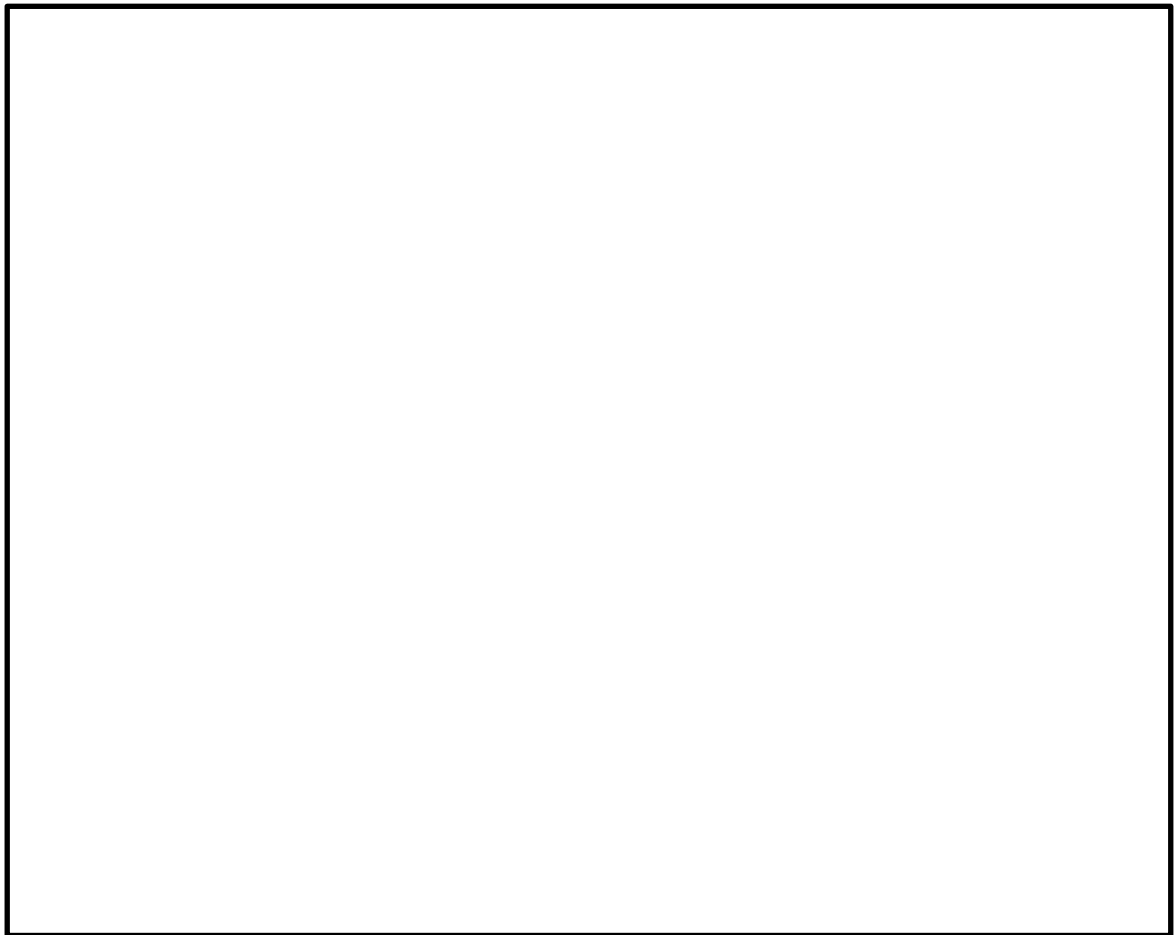
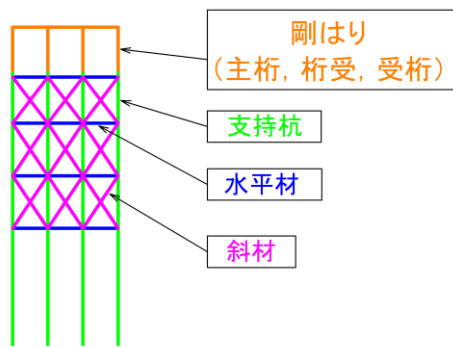
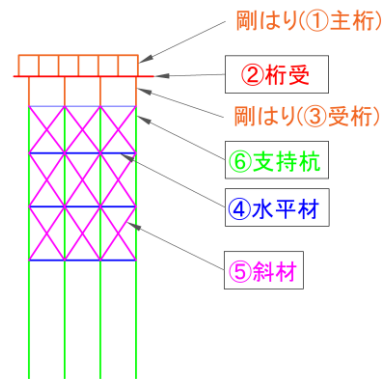


図 2 (1) 解析モデル

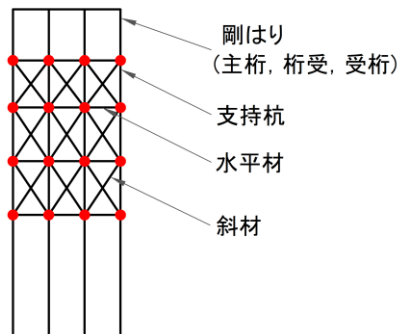


(本文のモデル (モデル①))

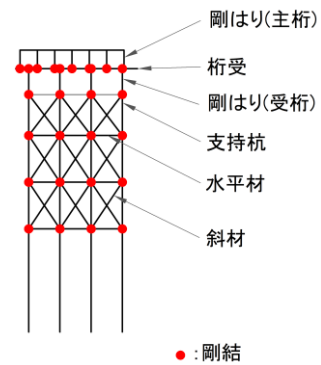


(妥当性確認モデル (モデル②))

(構造部材のみ)



(モデル①)



(モデル②)

(部材の接合条件イメージ)

図 2 (2) 解析モデル

表 1 桁受の仕様及び物性値

材料	単位体積重量 (kN/m <sup>3</sup> )	断面積 (m <sup>2</sup> )	ヤング係数 E (N/mm <sup>2</sup> )	ポアソン比 ν	減衰定数
桁受	77.0	2.0 × 10 <sup>-2</sup>	2.00 × 10 <sup>5</sup>	0.3	0.03

#### 4. 確認結果

桁受を線形はり要素としてモデル化を行い、耐震性評価を実施した。桁受の曲げ軸力に対する照査値を表 2 に、桁受のせん断力に対する照査値を表 3 に、桁受－受桁間の固定ボルトの照査値を表 4 に示す。

A－A 断面（南北方向（橋軸方向））において、桁受を線形はり要素としてモデル化した場合において、桁受及び固定ボルト（桁受－受桁間）に発生する曲げ軸力、せん断力及び引張力が許容限界以下であり、構造が成立することを確認した。

また、モデル①とモデル②の断面力図はおおむね同等であることを確認した。モデル①とモデル②の全時刻における断面力図の比較を図 3 に示す。

以上より、桁受を剛はり要素とする妥当性を確認した。

表 2 曲げ軸力に対する照査値（桁受）

解析 ケース	地震動		部位	発生断面力		照査値
				曲げ モーメント (kN・m)	軸力 (kN)	
①	S s - D	++*	桁受	255	-197	0.26

注記\*：地震動の位相について、左側は水平動、右側は鉛直動を表し、「++」は反転なしケースを示す。

表 3 せん断力に対する照査値（桁受）

解析 ケース	地震動		部位	発生応力度 (N/mm <sup>2</sup> )	短期許容 せん断応力度 (N/mm <sup>2</sup> )	照査値
				53	120	
①	S s - D	++*	桁受	53	120	0.45

注記\*：地震動の位相について、左側は水平動、右側は鉛直動を表し、「++」は反転なしケースを示す。

表 4 (1) 桁受－受桁間の固定ボルトの照査値（せん断力）

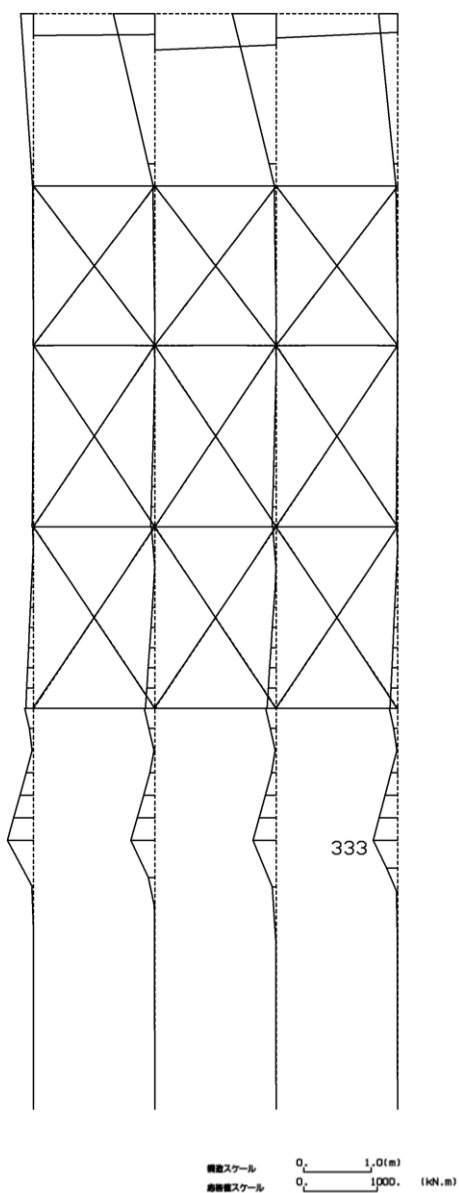
解析 ケース	地震動		部位	最大 せん断力 (kN/本)	許容 せん断力 (kN/本)	照査値
	S s - D	++*				
①	S s - D	++*	固定ボルト (桁受－受桁)	30	128	0.24

注記\*：地震動の位相について，左側は水平動，右側は鉛直動を表し，「++」は反転なしケースを示す。

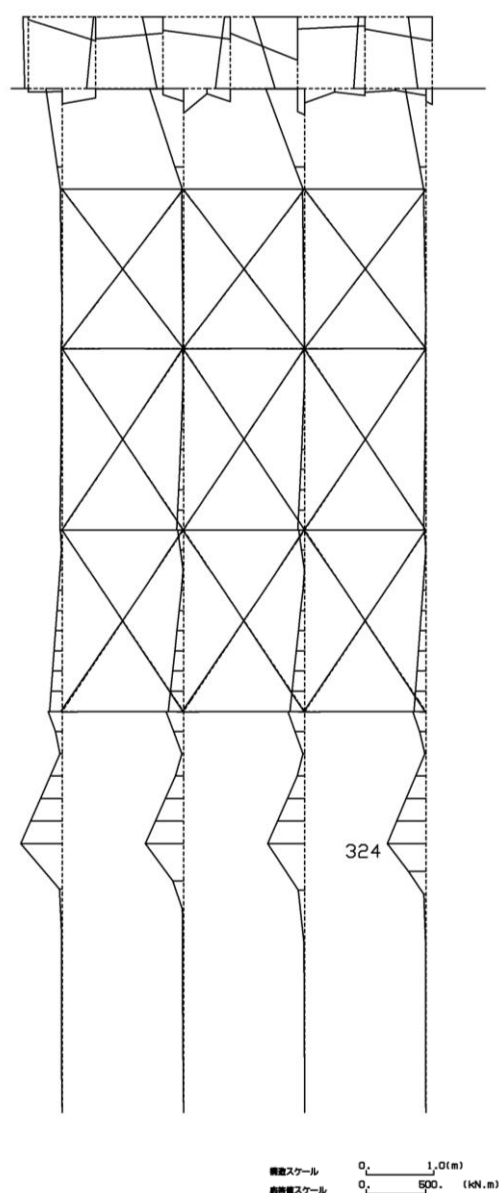
表 4 (2) 桁受－受桁間の固定ボルトの照査値（引張力）

解析 ケース	地震動		部位	最大 引張力 (kN/本)	許容引張力 (kN/本)	照査値
	S s - D	++*				
①	S s - D	++*	固定ボルト (桁受－受桁)	94	277	0.34

注記\*：地震動の位相について，左側は水平動，右側は鉛直動を表し，「++」は反転なしケースを示す。



(モデル変更前)

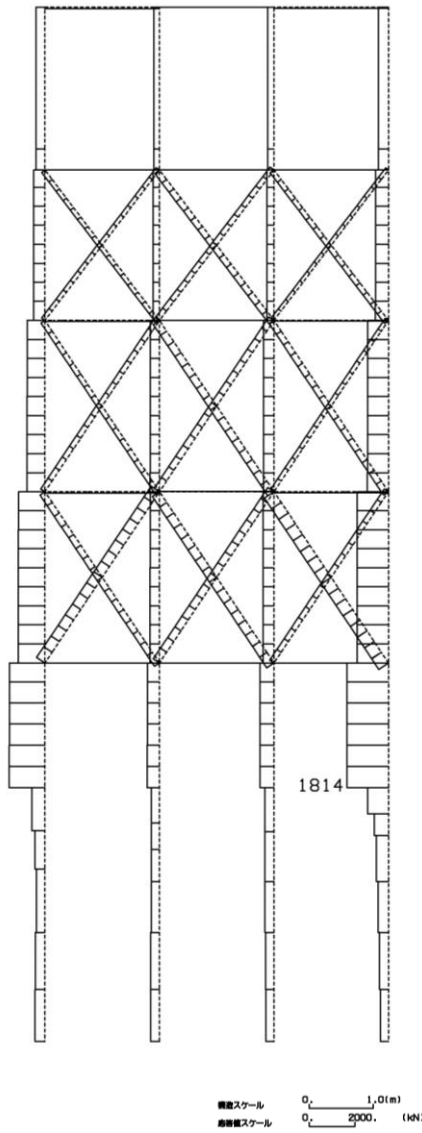


(モデル変更後)

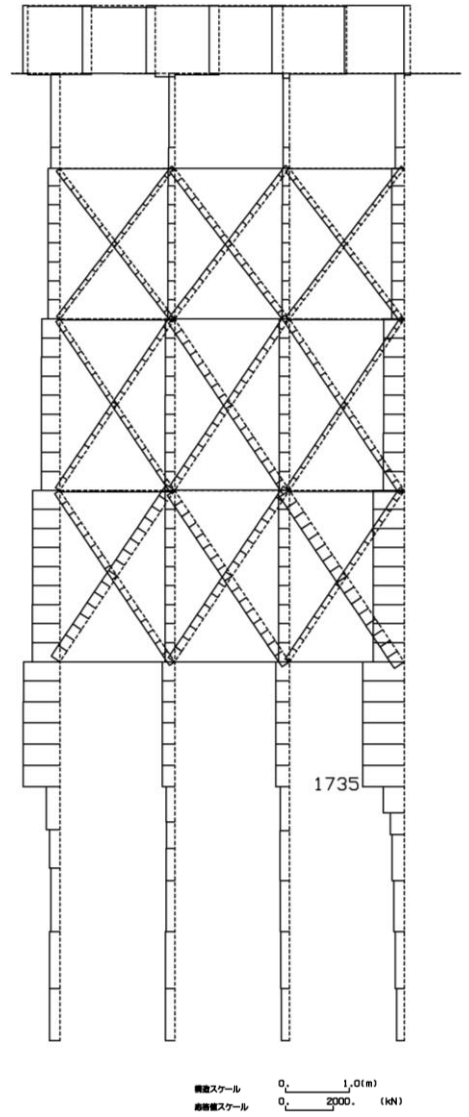
(曲げモーメント)

図 3 (1) 断面力図の比較 (全時刻最大)

(参考) 5-6



(モデル変更前)

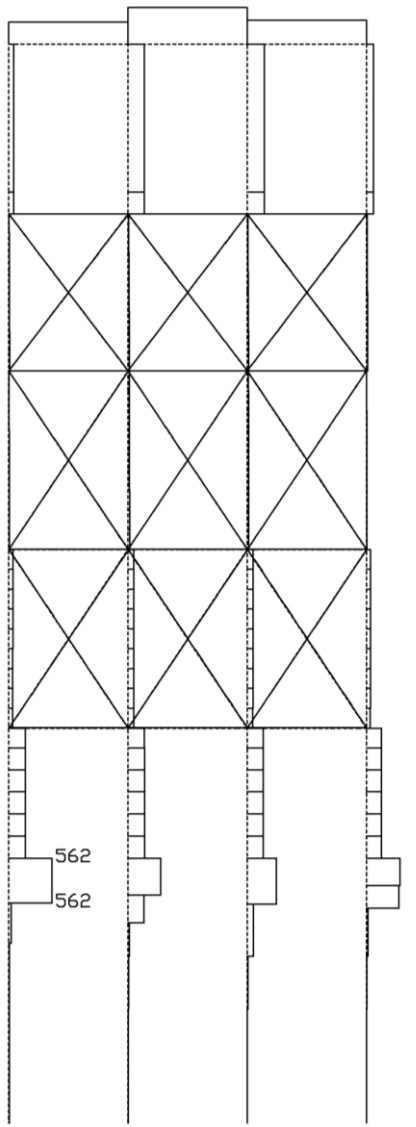


(モデル変更後)

(軸力)

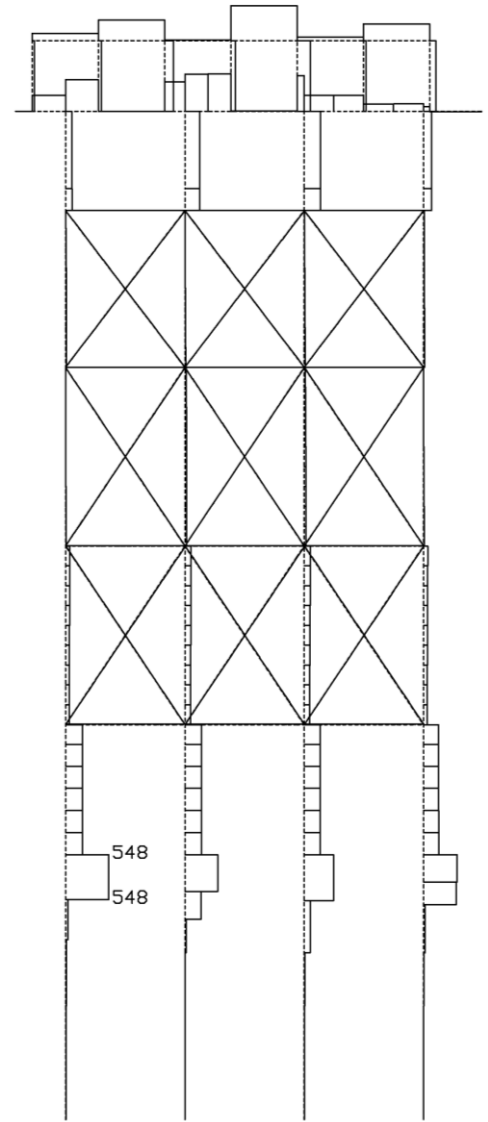
図 3 (2) 断面力図の比較 (全時刻最大)

(参考) 5-7



断面スケール 0 1,0(m)  
 軸力値スケール 0 1000 (kN)

(モデル変更前)



断面スケール 0 1,0(m)  
 軸力値スケール 0 1000 (kN)

(モデル変更後)

(せん断力)

図 3 (3) 断面力図の比較 (全時刻最大)

(参考) 5-8

(参考資料 6) 道路橋示方書の網羅性と評価対象部位の選定の考え方について

## 1. 概要

仮設耐震構台は、主桁、桁受、受桁、水平材、斜材及び支持杭により構成され、主桁に締結された覆工板による床面を有する鉄骨構造物であり、仮設構造物の鋼橋として設計している。

設計に用いる指針等については、道路橋示方書・同解説（Ⅱ鋼橋編）及び道路橋示方書・同解説（Ⅴ耐震設計編）（日本道路協会 平成 14 年 3 月）（以下「道路橋示方書」という）を主に適用している。

また、道路橋示方書・同解説（Ⅱ鋼橋編）（日本道路協会平成 24 年 3 月）において、軸方向力と曲げを同時に受ける部材の応力等の照査式に見直しがなされたため、水平材等の許容限界算定においては当該指針を適用している。

ここでは、道路橋示方書に規定されている鋼橋としての照査及び検討項目について網羅していることを確認するとともに、耐震計算書で示している評価対象部位の選定の考え方について整理するものである。

## 2. 道路橋示方書の記載内容との比較及び整理結果

道路橋示方書に記載されている鋼橋としての評価及び検討内容と仮設耐震構台の設計において実施した内容を整理した結果を表 1 に示す。

### 2.1 道路橋示方書の網羅性について

仮設耐震構台の設計は、道路橋示方書に記載されている内容について以下の内容を除き網羅しており、構造細目についても満足した材料を使用している。

(表 1 (◎) 参照)

上部構造の落橋防止対策及び落橋防止システムの設置については、主桁の支承部（沓座及びソールプレート）に加え、主要な構造部材及び連結・結合部が基準地震動  $S_s$  の地震力による耐震性を確保する設計とすることで省略する。

また、耐久性の検討については、仮設構造物であるが供用期間中に定期的な点検・維持管理を実施することから省略する。

(表 1 (△) 参照)



## 2.2 評価対象部位の選定の考え方について

設工認図書で示す評価対象部位については、倒壊による上位クラス施設に対する波及的影響の観点及びアクセスルートの通行性の観点から、主要な構造部材として、主桁、桁受、受桁、水平材、斜材及び支持杭を、当該部材の連結・結合部として、支承部（沓座、ソールプレート）、固定ボルト（支承部－桁受、桁受－受桁、及び受桁－支持杭）及び溶接部（水平材－支持杭及び斜材－支持杭）を、それぞれ選定する。

なお、主桁間の横構及び対傾構についても、基準地震動  $S_s$  の地震力による耐震性を確保する設計とする。

表 1 (1) 道路橋示方書の記載内容と仮設耐震構台の設計の整理結果

【V耐震設計編】 ◎：設工認で設計，△：省略(補足欄に理由追記)，\：対象外

耐震設計編の記載内容		設工認の設計	補足
1 総則			照査と関連のない項目
2 耐震設計の基本方針			
3 耐震設計上考慮すべき荷重		◎	主荷重(活荷重及び活荷重の衝撃を除いた荷重)及び従荷重(地震の影響)を考慮
4 設計地震動			
5 耐震性能の照査			
5.1	一般	◎	許容応力度による設計
5.2	耐震性能 1 に対する橋の限界状態		
5.3	耐震性能 2 に対する橋の限界状態		
5.4	耐震性能 3 に対する橋の限界状態		
5.5	耐震性能の照査方法		
5.6	上部構造の落下防止対策	△	上部構造(主桁)の支承部に加え、構造部材及び連結・結合部が基準地震動 $S_s$ の地震力による耐震性を確保する設計とすることで省略する。
6 静的照査法による耐震性能の照査方法			動的解析のため対象外
7 動的照査法による耐震性能の照査方法			
7.1	一般	◎	
7.2	動的解析に用いる地震動	◎	
7.3	解析モデル及び解析方法	◎	
7.4	耐震性能の照査	◎	
8 地震時に不安定となる地盤の影響		◎	地盤の支持性能を照査
9 免震橋の耐震性能の照査			

表 1 (2) 道路橋示方書の記載内容と仮設耐震構台の設計の整理結果

【V耐震設計編】 ◎：設工認で設計，△：省略(補足欄に理由追記)，\：対象外

10 鉄筋コンクリート橋脚の地震時保有水平耐力および許容塑性率			鋼製橋脚のため対象外
11 鋼製橋脚の応答値及び許容値			
11.1	一般	◎	基準地震動 $S_s$ に対して照査結果が許容値以下とする
11.2	動的照査法による照査		
11.3	構造細目	◎	
11.4	アンカー部の照査		
12 橋脚基礎の応答値と許容値			
13 液状化が生じる地盤にある橋台基礎の応答値と許容値			
14 地震の影響を受ける上部構造の許容値と上部構造端部構造			
14.1	一般	◎	
14.2	鋼上部構造	◎	横構で補強しており構造細目を満足している
14.3	コンクリート上部構造		
14.4	上部構造端部構造	◎	最大変位照査を実施

表 1 (3) 道路橋示方書の記載内容と仮設耐震構台の設計の整理結果

【V耐震設計編】 ◎：設工認で設計，△：省略(補足欄に理由追記)，\：対象外

15 支承部の照査			
15.1	一般	◎	
15.2	支承部の照査に用いる設計用 地震力		
15.3	支承部の照査		
15.4	支承部の構造		
15.5	変位制限構造		
16 落橋防止システム			
16.1	一般	△	上部構造（主桁）の支承部 に加え，構造部材及び連 結・結合部が基準地震動 S <sub>s</sub> の地震力による耐震性 を確保する設計とすること で省略する。
16.2	けたかかり長		
16.3	落橋防止構造		
16.4	段差防止構造		
16.5	変位制限構造		

表 1 (4) 道路橋示方書の記載内容と仮設耐震構台の設計の整理結果

【Ⅱ鋼橋編】 ◎：設工認で設計，△：省略(補足欄に理由追記)，\：対象外

鋼橋編の記載内容		設工認の設計	補足
1 総則		\	照査と関連のない項目
2 設計の基本			
3 許容応力度			
3.1	一般	◎	
3.2	鋼材の許容応力度	◎	
4 部材の設計			
4.1	総則	◎	
4.2	圧縮応力を受ける板及び補剛板	◎	
4.3	軸方向力と曲げモーメントを受ける部材	◎	
4.4	孔あき板	\	
4.5	山形及び T 型断面を有する圧縮部材	◎	
4.6	引張山形鋼の有効断面積		
5 耐久性の検討			
5.1	一般	△	仮設構造物であるが，供用期間中に定期的な点検・維持管理を実施するため省略する。
5.2	防せい防食		
5.3	疲労設計		
6 連結			
6.1	部材の連結	◎	
6.2	溶接継手		
6.3	高力ボルト継手		
6.4	ピンによる連結	\	

表 1 (4) 道路橋示方書の記載内容と仮設耐震構台の設計の整理結果

【Ⅱ鋼橋編】 ◎：設工認で設計，△：省略(補足欄に理由追記)，\：対象外

7 対傾構及び横構			
7.1	一般	◎	
7.2	対傾構及び横構の構造	◎	
8 床版			
9 床組			
10 鋼げた			
10.1	適用の範囲	◎	構造細目を満足している 既製品を使用
10.2	設計一般		
10.3	フランジ		
10.4	腹板		
10.5	荷重集中点の構造		
10.6	対傾構及び横構		
10.7	そり		
11 コンクリート床版を有するけた構造			構造が異なるため対象外
12 トラス			
13 アーチ			
14 鋼管構造			
15 ラーメン構造			
16 ケーブル構造			
17 施工			

(参考資料7) 減衰定数の設定について

1. 概要

解析モデル全体に設定する Rayleigh 減衰については、道路橋示方書・同解説（V耐震設計編）（日本道路協会平成24年3月）（以下、道路橋示方書）に示される橋脚の減衰定数3%を参照し、仮設耐震構台（鋼材）の減衰定数を3%とした固有値解析結果を踏まえて設定している。一方、上部構造については、減衰定数2%と示されていることから、減衰定数を変更した場合の影響確認を実施する。各構造要素の減衰定数の標準値を図1に示す。

構造部材	線形部材としてモデル化する場合		非線形履歴によるエネルギー吸収を別途考慮するモデルを用いる場合	
	鋼構造	コンクリート構造	鋼構造	コンクリート構造
上部構造	0.02 (ケーブル:0.01)	0.03	-	
弾性支承	0.03 (使用する弾性支承の実験より得られた等価減衰定数)		-	
免震支承	有効設計変位に対する等価減衰定数		0	
橋脚	0.03	0.05	0.01: コンクリートを充てんしない場合 0.02: コンクリートを充てんする場合	0.02
基礎	0.1: I種地盤上の基礎及びII種地盤上の直接基礎 0.2: 上記以外の条件の基礎		-	

図1 各構造要素の減衰定数の標準値（道路橋示方書に一部加筆）

2. 評価方針

解析モデル全体に設定する Rayleigh 減衰について、仮設耐震構台（鋼材）の減衰定数を3%とした固有値解析結果と減衰定数2%とした場合の  $\alpha$ 、 $\beta$  を算定し、影響確認を実施する。

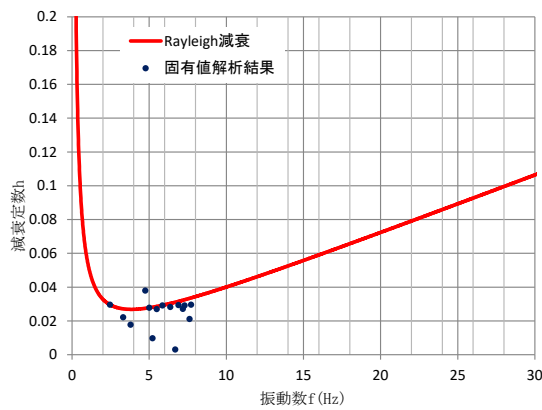
3. 確認結果

仮設耐震構台（鋼材）の減衰定数を3%とした場合と減衰定数2%とした場合の Rayleigh 減衰における係数  $\alpha$ 、 $\beta$  を表1に、Rayleigh 減衰を図2に示す。

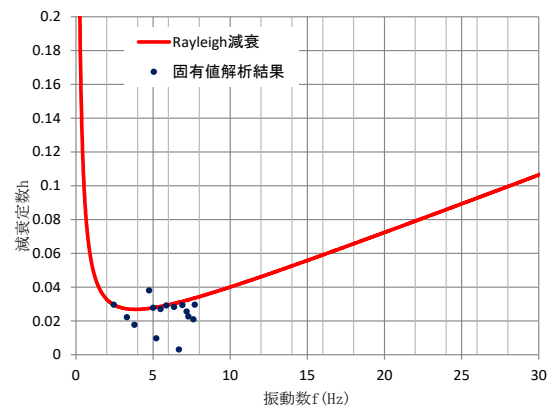
減衰定数を変更した結果、影響は軽微であることを確認したため、仮設耐震構台（鋼材）の減衰定数を3%として耐震性評価を実施する。

表1 Rayleigh 減衰における係数  $\alpha$ ,  $\beta$

評価対象断面	鋼材の減衰定数	$\alpha$	$\beta$
A - A 断面	3%	$6.5071 \times 10^{-1}$	$1.1093 \times 10^{-3}$
	2%	$6.5071 \times 10^{-1}$	$1.1093 \times 10^{-3}$
B - B 断面	3%	$6.9780 \times 10^{-1}$	$1.1489 \times 10^{-3}$
	2%	$7.0023 \times 10^{-1}$	$1.1411 \times 10^{-3}$

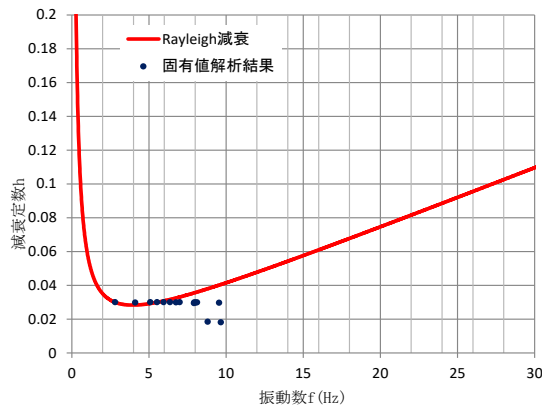


減衰定数 3%

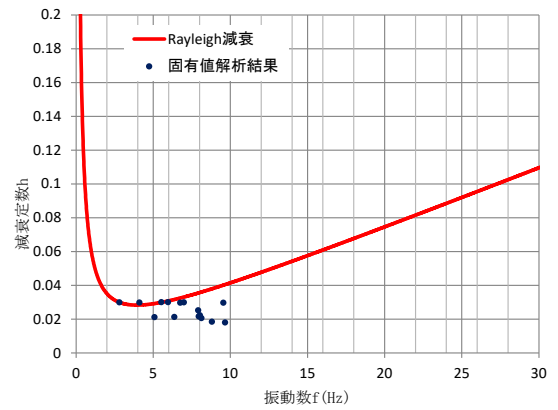


減衰定数 2%

(A - A 断面)



減衰定数 3%



減衰定数 2%

(B - B 断面)

図2 Rayleigh 減衰

(参考) 7-2



(参考資料 8) 可搬型重大事故等対処設備の通行性について

1. 概要

仮設耐震構台は、地震後にアクセスルートとして使用することから、可搬型重大事故等対処設備のうち車両総重量が最も大きい移動式代替熱交換設備（42620kg＝約 418kN）を上回る車両（1800kN）による健全性を確認する。

評価対象部位は、車両通行時に最も厳しくなる主桁（延長 20m 及び 14m）のうち、支間長の長い東西方向の主桁（延長 20m）を対象とする。なお、主桁を支持する支承部、橋脚部については、耐震評価において評価対象部位として構造健全性を確認している。

評価対象部位を図 1 及び図 2 に示す。

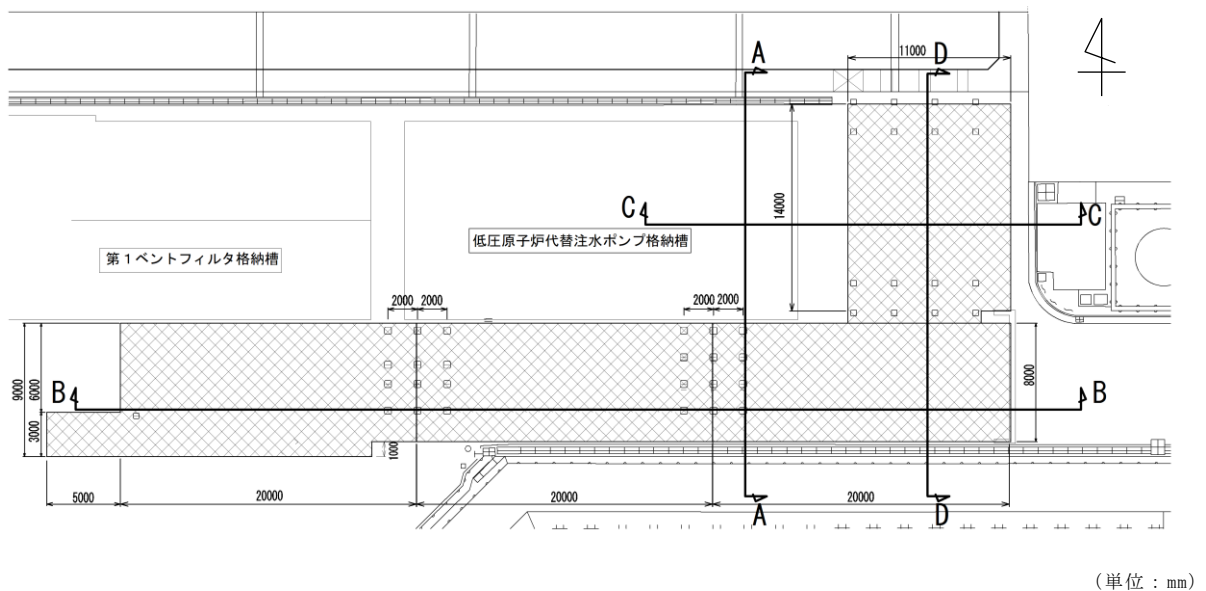


図 1 仮設耐震構台 断面位置図

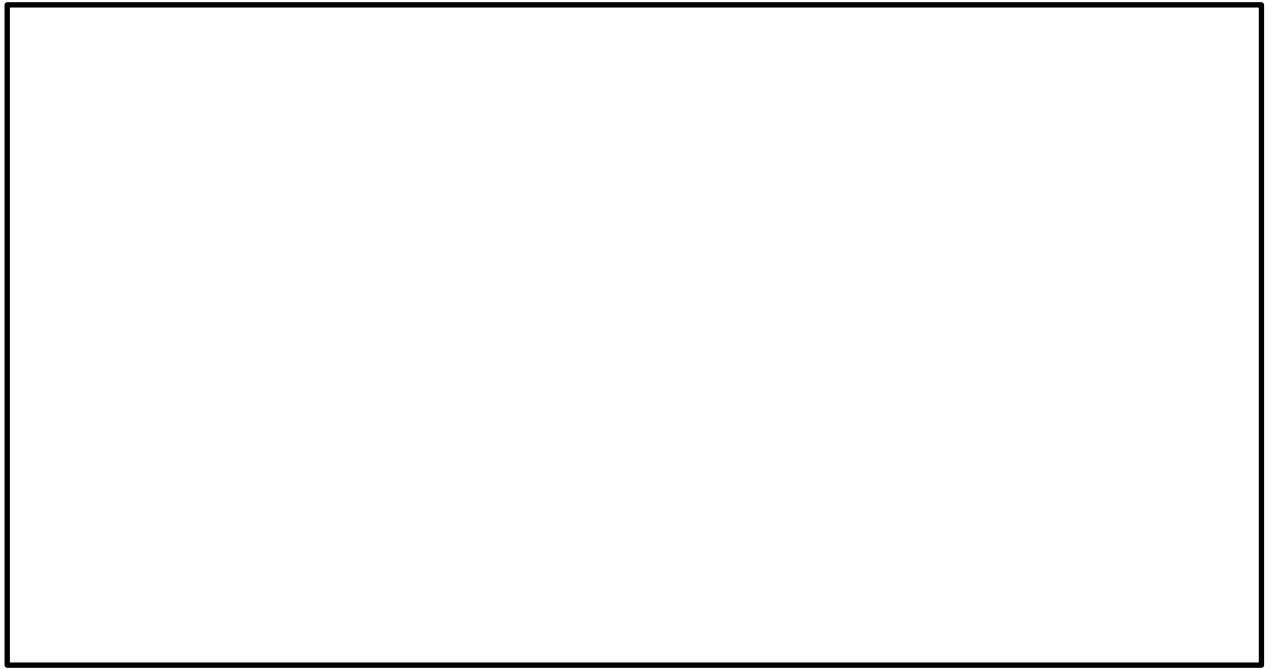


图 2 B - B 断面

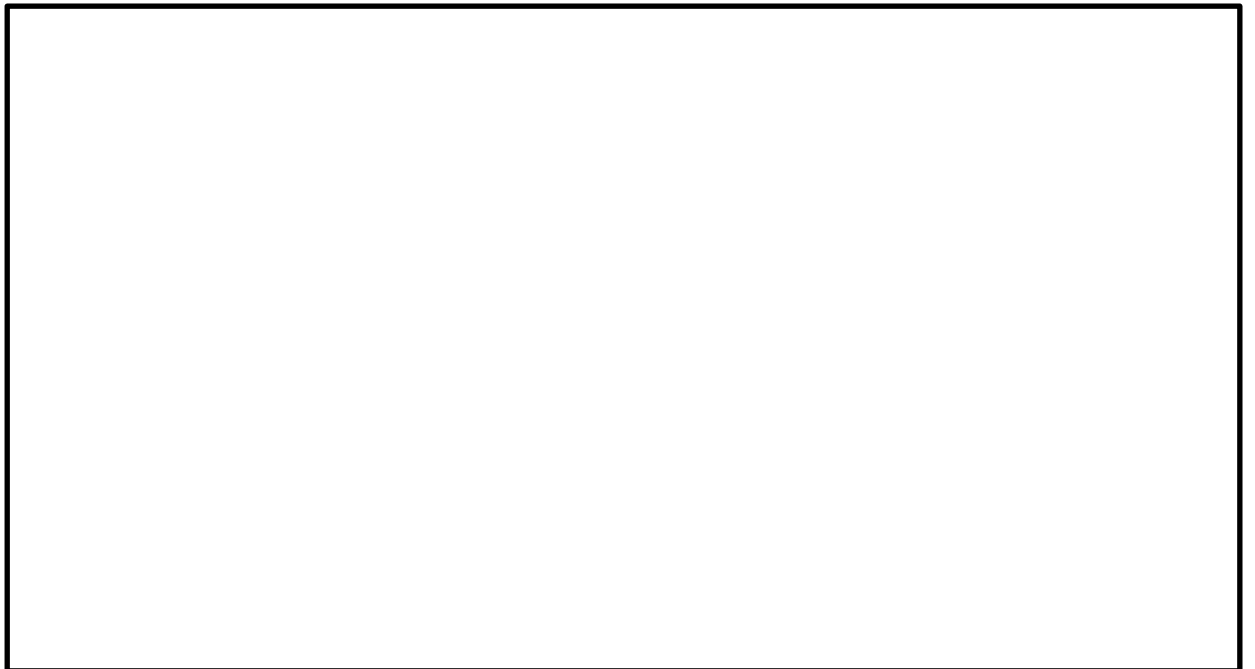


图 3 D - D 断面

(参考) 8-2

## 2. 評価方法

評価対象部位である主桁について、活荷重として車両荷重（1800kN）を考慮した際の曲げ応力度及びせん断応力度の評価を行う。

## 3. 計算条件

### 3.1 主桁の諸元

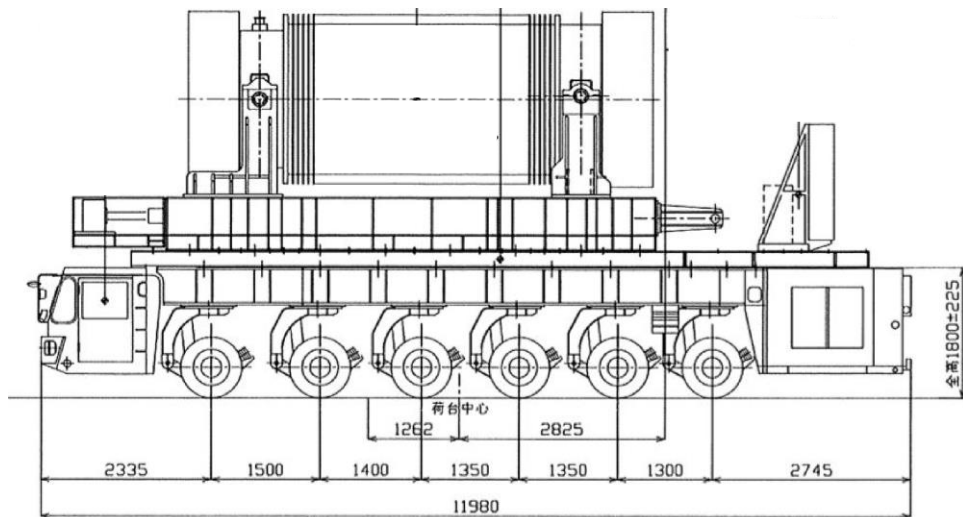
主桁の諸元を表 1 に示す。

表 1 主桁（20m）の諸元

橋長	20.0 m
支間長	19.4 m
幅員	7.0 m
形式	鈹桁橋 P G II 型
材料	SM490Y

### 3.2 対象車両

対象車両の諸元等を図 4、図 5 及び表 2～表 4 に示す。



(単位：mm)

図 4 対象車両の側面図

(参考) 8-3

表 2 対象車両の諸元

車両名称	特殊トレーラー
車軸数	6 軸
車両重量W	1800.0kN
車両左右間隔L	1595 mm
車輪接地長 a	200 mm

表 3 対象車両の寸法条件

車軸	車両接地幅* b (mm)	荷重負担比 $\alpha$	車輪前後間隔 B (mm)
P1	1330	0.1960	1500
P2	1330	0.1960	
P3	1330	0.1970	1400
P4	1330	0.1970	1350
P5	1330	0.1070	1350
P6	1330	0.1070	1300
		( $\sum \alpha = 1.0$ )	

注記\* : ダブルタイヤ片側 2 個分

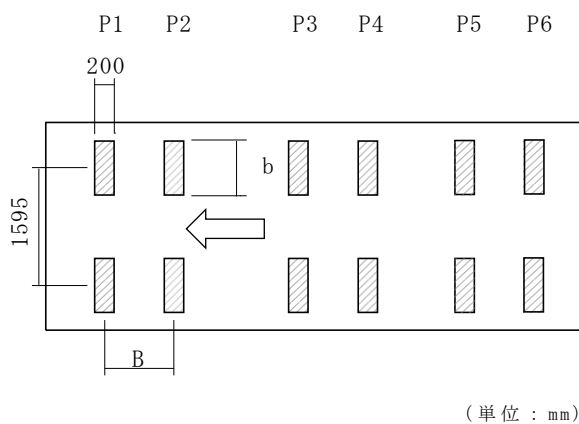


図 5 対象車両のタイヤ配置概要図

表 4 対象車両の輪荷重条件

	輪荷重 (片側) (kN)
P1	176.4
P2	176.4
P3	177.3
P4	177.3
P5	96.3
P6	96.3
計	900.0kN

(参考) 8-4

#### 4. 主桁の設計

##### 4.1 断面性能の算出

断面性能を①～⑤断面及び支点部で算出する。

主桁の縦断図を図 6 に示す。

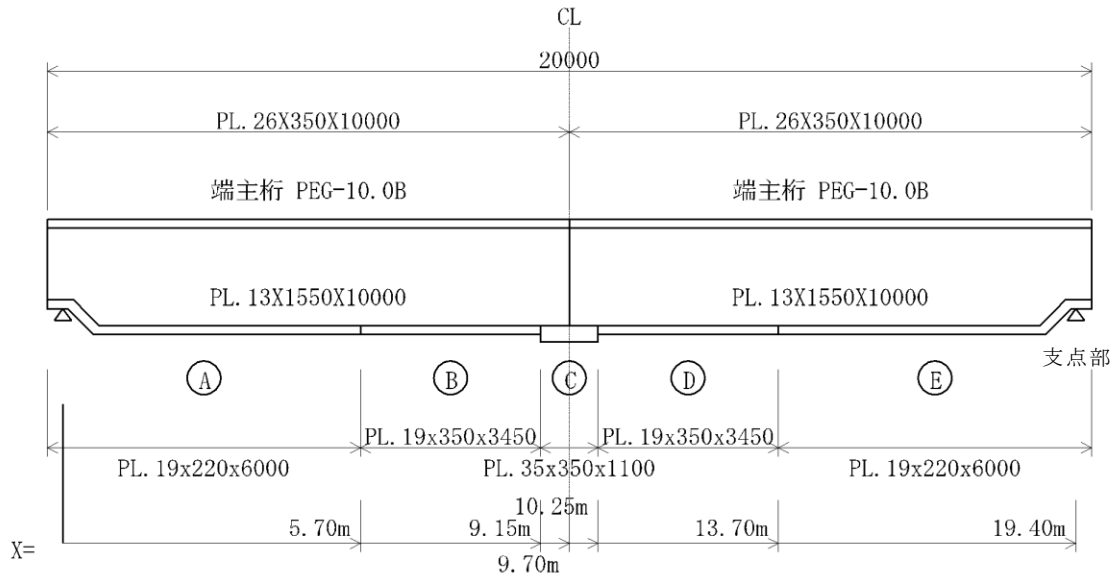


図 6 主桁 (20m) 縦断図

##### 4.2 許容応力度

主桁の許容応力度の設定において、道路土工—仮設構造物工指針（日本道路協会平成 11 年 3 月）を参照し、道路橋示方書・同解説（Ⅱ鋼橋編）（日本道路協会平成 14 年 3 月）の許容応力度を基準とし、これを 50%割増したものを適用する。

###### (1) 許容曲げ圧縮応力度

圧縮フランジの固定点間距離  $L = 300 \text{ cm}$ （対傾構のスパン長）

圧縮フランジの幅  $b = 35.0 \text{ cm}$

$$\frac{L}{b} = \frac{300}{35.0} = 8.57$$

$A_w$  : 腹板の総断面積

$A_c$  : 圧縮フランジの総断面積

$$A_w / A_c \leq 2$$

$$\sigma_{ca} = \{210 - 4.6 \times (8.57 - 3.5)\} \times 1.50 = 187 \times 1.50 = 280 \text{ N/mm}^2$$

$$A_w / A_c > 2$$

$$\sigma_{ca} = \{210 - 2.3 \times (k \cdot L/b - 7)\} \times 1.50$$

$$k = (3 + A_w / (2 \cdot A_c))^{1/2}$$

(参考) 8-5

(2) 許容引張応力度  $\sigma_{ta} = 210 \times 1.50 = 315 \text{ N/mm}^2$

(3) 許容せん断応力度  $\tau_a = 120 \times 1.50 = 180 \text{ N/mm}^2$

#### 4.3 断面性能

##### (1) 断面㊸

主桁の上フランジ及び下フランジに対する断面係数に、許容曲げ圧縮応力度を乗じて抵抗曲げモーメントを算出する。

表 5 断面性能 (断面㊸)

		A (cm <sup>2</sup> )	Y (cm)	A・Y (cm <sup>3</sup> )	I <sub>o</sub> (cm <sup>4</sup> )
U. Flg. PL	26X350	91.0	78.80	7171	565059
L. Flg. PL	19X220	41.8	-78.45	-3279	257254
Web PL	13X1550	201.5			403420
		334.3		3892	1225733

ウェブプレート図芯と図芯との距離

$$\delta = 3892 / 334.3 = 11.6 \text{ cm}$$

断面 2 次モーメント

$$I = 1225733 - 334.3 \times 11.6^2 = 1180431 \text{ cm}^4$$

上フランジに対する断面係数 (圧縮側)

$$Z_u = \frac{1180431}{155.0/2 + 2.6 - 11.6} = 17243 \text{ cm}^3$$

下フランジに対する断面係数 (引張側)

$$Z_L = \frac{1180431}{155.0/2 + 1.9 + 11.6} = 12966 \text{ cm}^3$$

曲げ圧縮に対する抵抗曲げモーメント

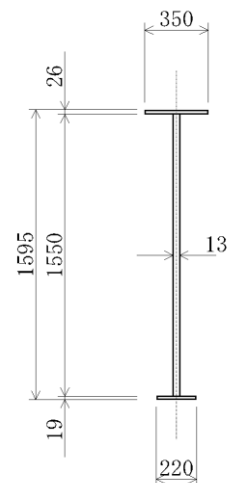
$$M_{ca} = \sigma_{ca} \cdot Z_u = 279 \times 17243 = 4810.8 \text{ kN}\cdot\text{m}$$

曲げ引張に対する抵抗曲げモーメント

$$M_{ta} = \sigma_{ta} \cdot Z_L = 315 \times 12966 = 4084.3 \text{ kN}\cdot\text{m}$$

$$M_{ca} > M_{ta}$$

$$\therefore \text{抵抗曲げモーメント } M_a = M_{ta} = 4084.3 \text{ kN}\cdot\text{m}$$



(単位 : mm)

図 7 断面㊸

(2) 断面㉔

表 6 断面性能 (断面㉔)

		A (cm <sup>2</sup> )	Y (cm)	A·Y (cm <sup>3</sup> )	I <sub>o</sub> (cm <sup>4</sup> )
U. Flg. PL	26X350	91.0	78.80	7171	565059
L. Flg. PL	19X220	66.5	-78.45	-5217	409268
Web PL	13X1550	201.5			403420
		359.0		1954	1377747

$$\delta = 1954 / 359.0 = 5.4 \text{ cm}$$

$$I = 1377747 - 359.0 \times 5.4^2 = 1367113 \text{ cm}^4$$

$$Z_u = \frac{1367113}{155.0/2 + 2.6 - 5.4} = 18312 \text{ cm}^3$$

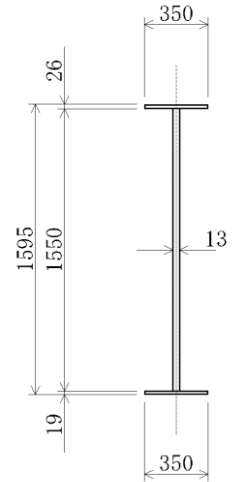
$$Z_L = \frac{1367113}{155.0/2 + 1.9 + 5.4} = 16114 \text{ cm}^3$$

$$M_{ca} = \sigma_{ca} \cdot Z_u = 279 \times 17243 = 5109.0 \text{ kN}\cdot\text{m}$$

$$M_{ta} = \sigma_{ta} \cdot Z_L = 315 \times 16114 = 5075.8 \text{ kN}\cdot\text{m}$$

$$M_{ca} > M_{ta}$$

$$\therefore M_a = M_{ta} = 5075.8 \text{ kN}\cdot\text{m}$$



(单位: mm)

图 8 断面㉔

(3) 断面㉔

表 7 断面性能 (断面㉔)

		A (cm <sup>2</sup> )	Y (cm)	A·Y (cm <sup>3</sup> )	I <sub>0</sub> (cm <sup>4</sup> )
U. Flg. PL	26X350	91.0	78.80	7171	565059
L. Flg. PL	19X220	122.5	-79.25	-9708	769369
Web PL	13X1550	201.5			403420
		415.0		-2537	1737848

$$\delta = -2536 / 415.0 = -6.1 \text{ cm}$$

$$I = 1737848 - 415.0 \times 6.1^2 = 1722334 \text{ cm}^4$$

$$Z_u = \frac{1722334}{155.0/2 + 2.6 + 6.1} = 19977 \text{ cm}^3$$

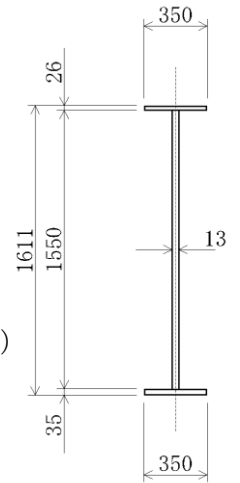
$$Z_L = \frac{1722334}{155.0/2 + 3.5 - 6.1} = 22999 \text{ cm}^3$$

$$M_{ca} = \sigma_{ca} \cdot Z_u = 279 \times 19977 = 5573.7 \text{ kN}\cdot\text{m}$$

$$M_{ta} = \sigma_{ta} \cdot Z_L \cdot (b - 2w) / b = 315 \times 22999 \times (35 - 2 \times 4.5) / 35 = 5381.9 \text{ kN}\cdot\text{m}$$

$$M_{ca} > M_{ta}$$

$$\therefore M_a = M_{ta} = 5381.9 \text{ kN}\cdot\text{m}$$



(单位: mm)

图 9 断面㉔



(4) 断面⑩

表 8 断面性能 (断面⑩)

		A (cm <sup>2</sup> )	Y (cm)	A·Y (cm <sup>3</sup> )	I <sub>0</sub> (cm <sup>4</sup> )
U. Flg. PL	26X350	91.0	78.80	7171	565059
L. Flg. PL	19X220	66.5	-78.45	-5217	409268
Web PL	13X1550	201.5			403420
		359.0		1954	1377747

$$\delta = 1954 / 359.0 = 5.4 \text{ cm}$$

$$I = 1377747 - 359.0 \times 5.4^2 = 1367113 \text{ cm}^4$$

$$Z_u = \frac{1367113}{155.0/2 + 2.6 - 5.4} = 18312 \text{ cm}^3$$

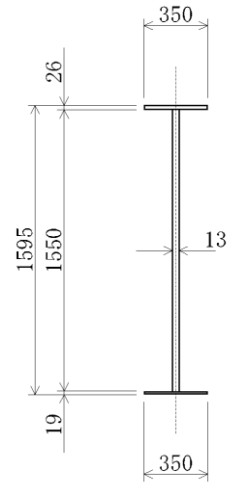
$$Z_L = \frac{1367113}{155.0/2 + 1.9 + 5.4} = 16114 \text{ cm}^3$$

$$M_{ca} = \sigma_{ca} \cdot Z_u = 279 \times 18312 = 5109.0 \text{ kN}\cdot\text{m}$$

$$M_{ta} = \sigma_{ta} \cdot Z_L = 315 \times 16114 = 5075.8 \text{ kN}\cdot\text{m}$$

$$M_{ca} > M_{ta}$$

$$\therefore M_a = M_{ta} = 5075.8 \text{ kN}\cdot\text{m}$$



(单位: mm)

图 10 断面⑩

(5) 断面㉔

表 9 断面性能 (断面㉔)

		A (cm <sup>2</sup> )	Y (cm)	A·Y (cm <sup>3</sup> )	I <sub>o</sub> (cm <sup>4</sup> )
U. Flg. PL	26X350	91.0	78.80	7171	565059
L. Flg. PL	19X220	41.8	-78.45	-3279	257254
Web PL	13X1550	201.5			403420
		334.3		3892	1225733

$$\delta = 3892 / 334.3 = 11.6 \text{ cm}$$

$$I = 1225733 - 334.3 \times 11.6^2 = 1180431 \text{ cm}^4$$

$$Z_u = \frac{1180431}{155.0/2 + 2.6 - 11.6} = 17243 \text{ cm}^3$$

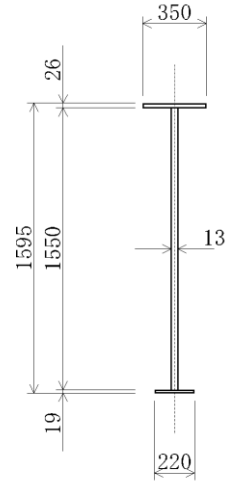
$$Z_L = \frac{1180431}{155.0/2 + 1.9 + 11.6} = 12966 \text{ cm}^3$$

$$M_{ca} = \sigma_{ca} \cdot Z_u = 279 \times 17243 = 4810.8 \text{ kN}\cdot\text{m}$$

$$M_{ta} = \sigma_{ta} \cdot Z_L = 315 \times 12966 = 4084.3 \text{ kN}\cdot\text{m}$$

$$M_{ca} > M_{ta}$$

$$\therefore M_a = M_{ta} = 4084.3 \text{ kN}\cdot\text{m}$$



(单位: mm)

图 11 断面㉔

(参考) 8-10

(6) 支点部

表 10 断面性能 (支点部)

		A (cm <sup>2</sup> )	Y (cm)	A・Y (cm <sup>3</sup> )	I <sub>o</sub> (cm <sup>4</sup> )
U. Flg. PL	26X350	91.0	50.0	4545	227045
L. Flg. PL	19X220	41.8	-49.6	-2073	102835
Web PL	13X973	126.5			99793
		259.3		2472	429673

$$\delta = 2472 / 259.3 = 9.5 \text{ cm}$$

$$I = 429673 - 259.3 \times 9.5^2 = 406102 \text{ cm}^4$$

$$Z_u = \frac{406102}{97.3/2 + 2.6 - 9.5} = 9735 \text{ cm}^3$$

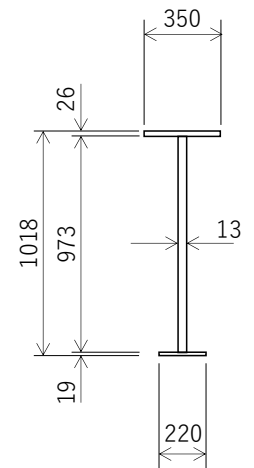
$$Z_L = \frac{406102}{97.3/2 + 1.9 + 9.5} = 6759 \text{ cm}^3$$

$$M_{ca} = \sigma_{ca} \cdot Z_u = 280 \times 9735 = 2725.8 \text{ kN}\cdot\text{m}$$

$$M_{ta} = \sigma_{ta} \cdot Z_L = 315 \times 6759 = 2129.0 \text{ kN}\cdot\text{m}$$

$$M_{ca} > M_{ta}$$

$$\therefore M_a = M_{ta} = 2129.0 \text{ kN}\cdot\text{m}$$



(単位: mm)

図 12 支点部

(7) 各断面の断面性能について表 11 に示す。

表 11 各断面の断面性能

断面	Ⓐ	Ⓑ	Ⓒ	Ⓓ	Ⓔ	支点部
許容圧縮応力度 $\sigma_{ca} (\text{N}/\text{mm}^2)$	279	279	279	279	279	280
許容引張応力度 $\sigma_{ta} (\text{N}/\text{mm}^2)$	315	315	315	315	315	315
断面二次モーメント I (cm <sup>4</sup> )	1180431	1367113	1722334	1367113	1180431	406102
断面係数 Z <sub>U</sub> (cm <sup>3</sup> )	17243	18312	19977	18312	17243	9735
断面係数 Z <sub>L</sub> (cm <sup>3</sup> )	12966	16114	22999	16114	12966	6759
抵抗モーメント M <sub>a</sub> (kN・m)	4084.3	5075.8	5381.9	5075.8	4084.3	2129.0

(参考) 8-11

5. 荷重条件

(1) 死荷重

死荷重内桁（主桁＋添接板）重量  $d_1 = 2.95 \text{ kN/m}$

覆工板重量  $w_1 = 2.00 \text{ kN/m}^2$

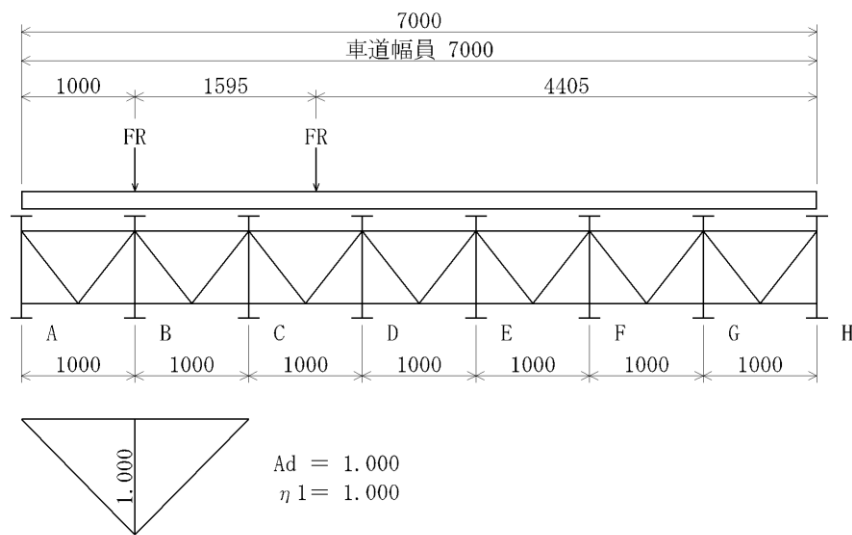
その他の鋼材重量  $w_2 = 0.42 \text{ kN/m}^2$

(2) 衝撃荷重

衝撃係数（鋼橋）  $i = 20 / (50 + L) = 20 / (50 + 19.4) = 0.288$

(3) 荷重影響線

荷重影響線を図 13 に示す。



（単位：mm）

図 13 荷重影響線

(4) 荷重強度及び荷重配置

死荷重  $w_d = d_1 + (w_1 + w_2) \cdot A_d = 5.37 \text{ kN/m}$

活荷重  $P1' = P1 \cdot \eta_1 = 176.40 \times 1.000 = 176.40 \text{ kN}$

$P2' = P2 \cdot \eta_1 = 176.40 \times 1.000 = 176.40 \text{ kN}$

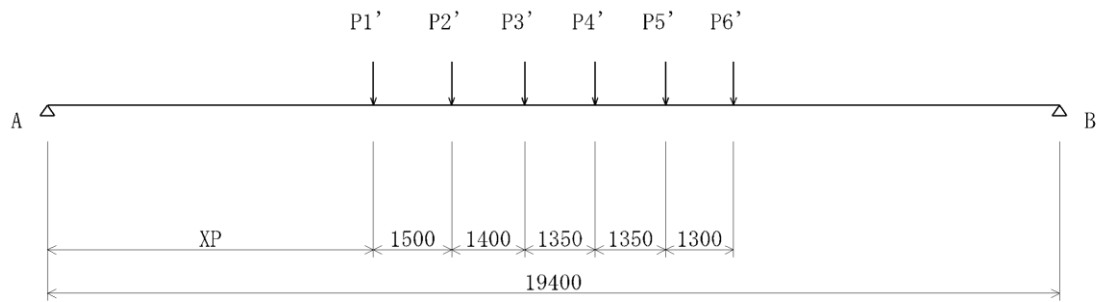
$P3' = P3 \cdot \eta_1 = 177.30 \times 1.000 = 177.30 \text{ kN}$

$P4' = P4 \cdot \eta_1 = 177.30 \times 1.000 = 177.30 \text{ kN}$

$P5' = P5 \cdot \eta_1 = 96.30 \times 1.000 = 96.30 \text{ kN}$

$P6' = P6 \cdot \eta_1 = 96.30 \times 1.000 = 96.30 \text{ kN}$

（参考） 8-12



(単位 : mm)

図 14 荷重配置①

## 6. 照査

### (1) 曲げモーメント

任意点（支点からの任意の検討位置  $X$ ）において，連行荷重の載荷による曲げモーメントを各々算出し，衝撃及び死荷重による曲げモーメントを含めた最大曲げせん断力と許容応力度を比較する。曲げモーメントの評価結果を表 12 に示す。

表 12 曲げモーメントの評価結果

検討位置 $x$ (m)	0.00	5.70	9.15	9.70	10.25	13.70	19.40
荷重配置 *1	①	①	①	①'	①'	①'	①'
載荷位置 $XP$ (m) *2	0.00	4.20	6.25	5.70	6.25	8.30	12.50
支点反力 $R_A$ (kN)	759.0	564.1	469.0	456.5	431.0	335.9	141.0
活荷重による曲げモーメント $MP$ (kN・m)	0.0	2950.9	3533.0	3543.5	3533.0	2950.9	0.0
衝撃による曲げモーメント $M_i$ (kN・m)	0.0	850.4	1018.2	1021.2	1018.2	850.4	0.0
死荷重による曲げモーメント $M_d$ (kN・m)	0.0	209.7	251.8	252.6	251.8	209.7	0.0
曲げモーメント 合計 $\Sigma M$ (kN・m)	0.0	4011.0	4803.0	4817.3	4803.0	4011.0	0.0
抵抗曲げモーメント $M_a$ (kN・m)	2129.0	4084.3	5075.8	5381.9	5075.8	4084.3	2129.0
評価結果	OK	OK	OK	OK	OK	OK	OK

注記\*1 : ①' は荷重配置①を保守的に反転して載荷

\*2 : 左支点から荷重載荷開始位置までの距離

(2) せん断力

任意点（支点からの任意の検討位置  $X$ ）において，連行荷重の載荷によるせん断力を各々算出し，衝撃及び死荷重によるせん断応力度と許容応力度を比較する。せん断力の評価結果を表 13 に示す。

表 13 せん断力の評価結果

検討位置 $x$ (m)	0.00	5.70	9.15	9.70	10.25	13.70	19.40
荷重配置 * <sup>1</sup>	①	①	①	①'	①'	①'	①'
載荷位置 $XP$ (m) * <sup>2</sup>	0.00	5.70	9.15	9.70	3.35	6.80	12.50
支点反力 $RA$ (kN)	759.0	494.5	334.5	309.0	565.5	405.5	141.0
活荷重によるせん断力 $SP$ (kN・m)	759.0	494.5	334.5	309.0	334.5	494.5	759.0
衝撃によるせん断力 $Si$ (kN・m)	218.7	142.5	96.4	89.0	96.4	142.5	218.7
死荷重によるせん断力 $Sd$ (kN・m)	52.1	21.5	3.0	0.0	3.0	21.5	52.1
曲げせん断力 合計 $\Sigma S$ (kN・m)	1029.8	658.5	433.8	398.0	433.8	658.5	1029.8

注記\*1：①' は荷重配置①を保守的に反転して載荷

\*2：左支点から荷重載荷開始位置までの距離

$$\text{最大せん断力 } S_{\max} = 1029.8 \text{ kN}$$

$$\text{ウェブ断面積 } A_w = 13 \times 973 = 12649 \text{ mm}^2$$

$$\text{せん断応力度 } \tau = S_{\max} / A_w = 1029778 / 12649 = 81 \text{ N/mm}^2$$

$$\leq \tau_a = 180 \text{ N/mm}^2 \quad \text{OK}$$

(3) 評価結果のまとめ

評価結果のまとめを表 14 に示す。対象車両の活荷重に対して許容限界以下であることを確認した。

以上より、地震後において、仮設耐震構台の可搬型重大事故等対処設備通行時の健全性を確認した。

表 14 主桁（20m）の評価結果

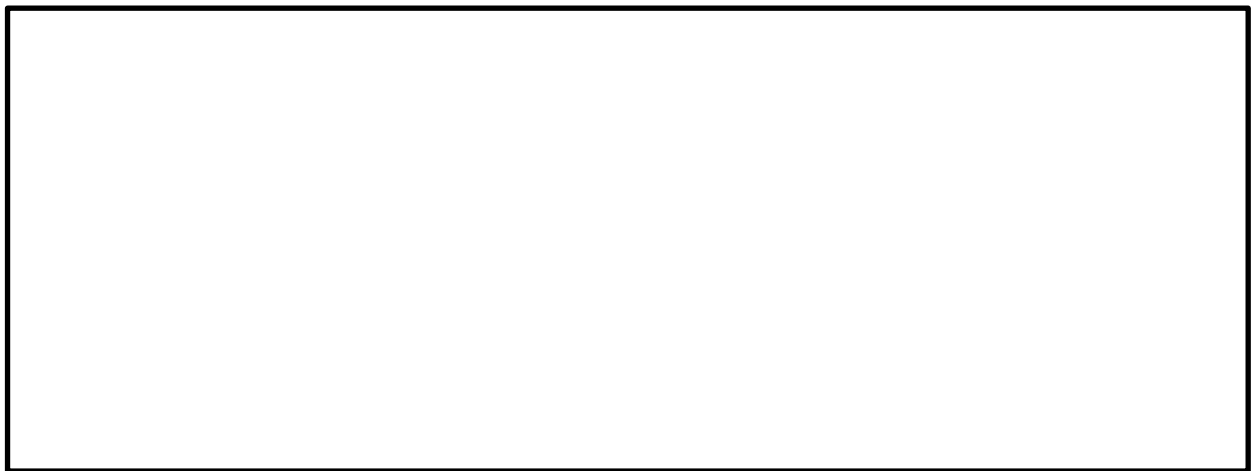
主桁	照査項目		単位	発生値	許容限界	評価結果
	曲げ モーメント	X=0.00	N/mm <sup>2</sup>	0.0	2129.0	OK
X=5.70		N/mm <sup>2</sup>	4011.0	4084.3	OK	
X=9.15		kN・m	4803.0	5075.8	OK	
X=9.70		kN・m	4817.3	5381.9	OK	
X = 10.25		kN・m	4803.0	5075.8	OK	
X = 13.70		kN・m	4011.0	4084.3	OK	
X = 19.40		kN・m	0.0	2129.0	OK	
せん断応力度			N/mm <sup>2</sup>	81	180	OK

(参考資料 9) 橋台 (東側) の安定性について

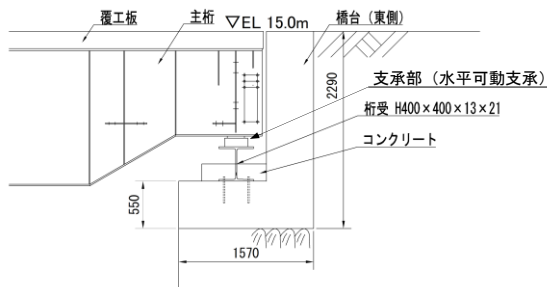
1. 概要

図 1 に示す仮設耐震構台の B - B 断面の東側の橋台については、主桁との間に支承部 (水平可動支承) を設置していることから主桁からの西側方向の水平荷重が作用しないため、構造部材 (鉄筋コンクリート) を評価対象部位として選定しているが、本検討では、橋台の安定性を確認する。

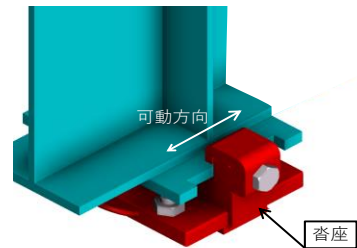
なお、橋台 (東側) 近傍のグラウンドアンカについては、安定性の評価を含む耐震計算において期待しないため、モデル化しない。



(B - B 断面 (東西方向))

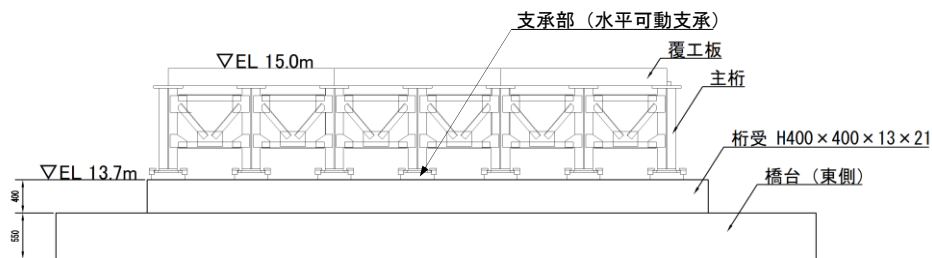


(断面図)



(水平可動支承)

(単位 : mm)



(正面図)

(単位 : mm)

図 1 橋台 (東側) 概要図  
(参考) 9-1



## 2. 評価方針

橋台（東側）の安定性評価は，橋台と地盤との水平方向の相対変位を算定し，アクセスルートとしての通行性に影響を及ぼすような滑動が生じないこと，また，橋台の基礎地盤に生じる最大接地圧が極限支持力度以下であることにより確認する。

解析ケースについては，橋台（東側）の部材の照査結果が最大となるケースである  $S_s - D(+, +)$  とする。

### 3. 確認結果

#### 3.1 橋台（東側）と地盤との相対変位による評価結果

図 2 に示す位置において、橋台と地盤の水平方向の相対変位を算定した結果を、表 1 に示す。

橋台と地盤との滑動方向の水平相対変位は 0mm であり、アクセスルートとしての通行性に影響を及ぼすような滑動の恐れはないことを確認した。

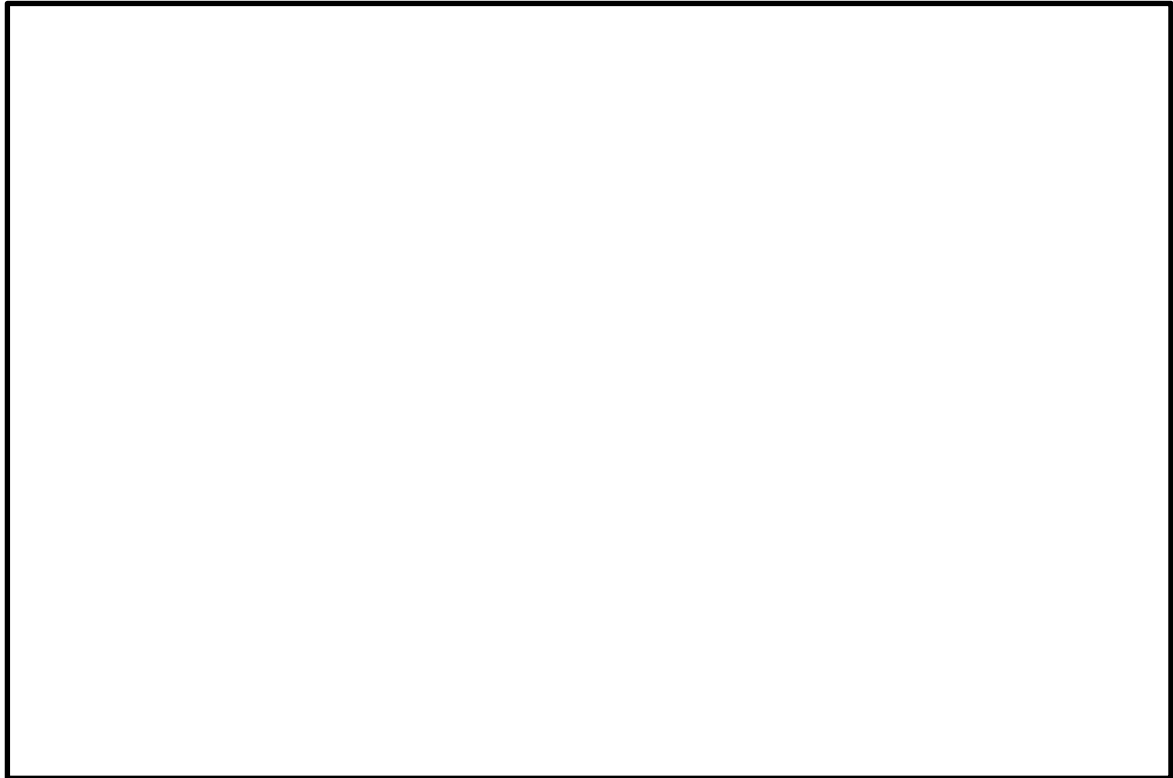


図 2 橋台（東側）と地盤との水平相対変位算出位置

表 1 橋台（東側）と地盤との水平方向相対変位（西側方向：+）

地震動		水平相対変位算定位置	水平方向最大相対変位
S s - D	++ *	①	0mm
		②	0mm

注記\*：地震動の位相について、左側は水平動、右側は鉛直動を表し、「++」は反転なしケースを示す。

### 3.2 橋台（東側）の基礎地盤の支持性能に対する評価結果

橋台（東側）の基礎地盤の支持性能に対する照査結果を表 2 に、基礎地盤の最大接地圧分布図を図 3 に示す。橋台（東側）の基礎地盤に生じる最大接地圧が極限支持力度以下であることを確認した。

また、最大接地圧発生時刻における橋台（東側）付近の地盤の局所安全係数分布図を、図 4 に示す。図 4 のとおり、橋台（東側）周辺の岩盤は健全であることを確認した。

表 2 橋台（東側）の基礎地盤の支持性能評価結果

地震動		最大接地圧 $R_d$ (N/mm <sup>2</sup> )	極限 支持力度 $R_u$ (N/mm <sup>2</sup> )	照査値 $R_d/R_u$
S s - D	++ *	0.23	9.8	0.03

注記\*：地震動の位相について、左側は水平動、右側は鉛直動を表し、「++」は反転なしケースを示す。

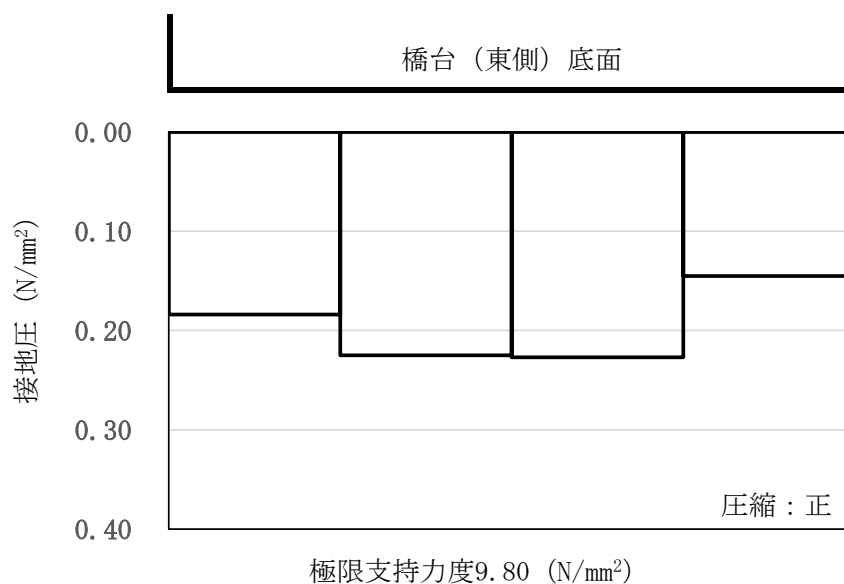


図 3 橋台（東側）の基礎地盤の最大接地圧分布図

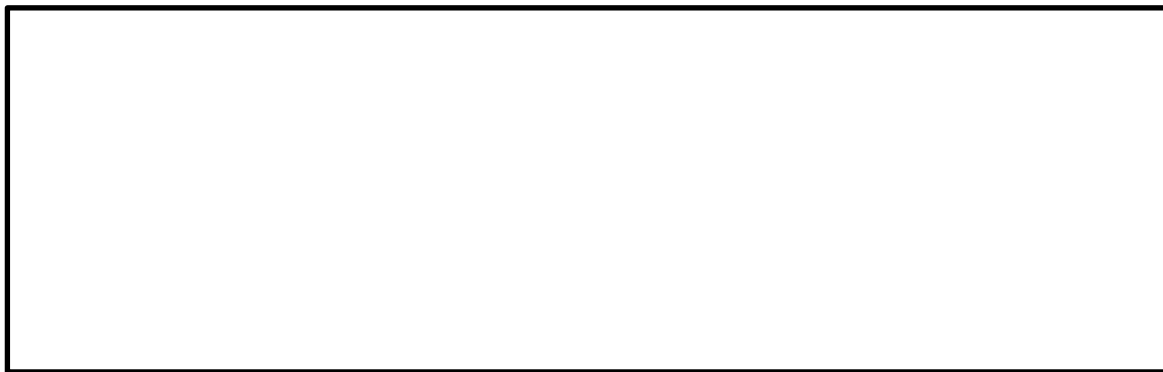


図 4 局所安全係数分布図

(構台 (東側) の接地圧が最大となる  $S_s - D(++)$ ,  $t=10.10s$ )

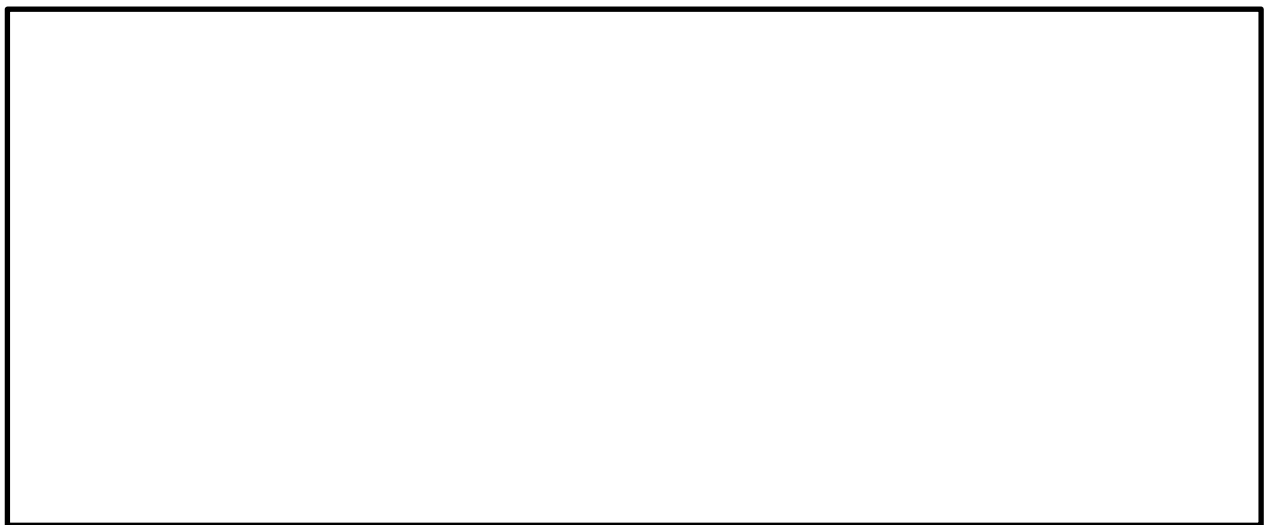
#### 4. まとめ

本検討では、橋台と地盤との水平方向の相対変位を算定し、アクセスルートとしての通行性に影響を及ぼすような滑動が生じないこと、また、橋台の基礎地盤に生じる最大接地圧が極限支持力度以下であることから、基準地震動  $S_s$  に対する橋台（東側）の安定性を確認した。

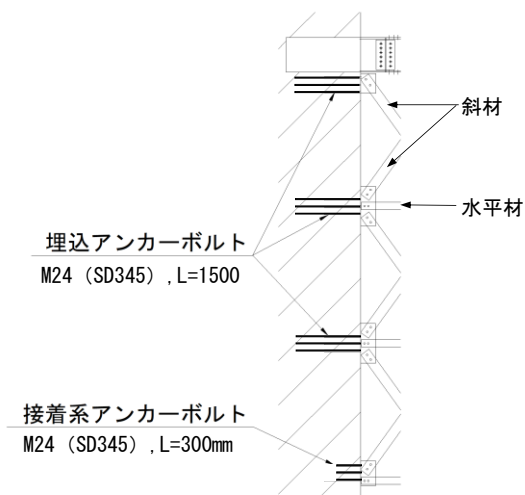
(参考資料 10) 置換コンクリート（西側）と水平材及び斜材を接合するアンカーボルトの健全性について

1. 概要

仮設耐震構台の B-B 断面の西側の置換コンクリートと水平材及び斜材の接合部は、図 1 のとおり、埋込アンカーボルト及び接着系アンカーボルトにより接合している。当該アンカーボルトは、水平材及び斜材の地震時の応答を置換コンクリート（西側）へ伝達することから、解析モデルにおいて 2 重節点 MPC 結合（鉛直及び水平方向）によりモデル化しているため、基準地震動  $S_s$  に対する健全性を確認する。



(B-B 断面 (東西方向))



(単位: mm)

(斜材接合部 拡大図)

図 1 置換コンクリート（西側）と水平材及び斜材接合部 概要図

(参考) 10-1

## 2. 評価方針

アンカーボルトの健全性は、アンカーボルトに発生する引張力及びせん断力に対して、アンカーボルトの許容限界以下であることにより確認する。

評価対象とする解析ケースについては、斜材及び水平材の部材の照査結果が最大となるケースである  $S_s - D(+, +)$  とする。

## 3. 許容限界

アンカーボルトの許容限界は、「各種合成構造設計指針・同解説（日本建築学会，2010年11月）」を踏まえて、表1の値とする。

なお、埋込アンカーボルトが引張を受ける場合においては、アンカーボルトの降伏により定まる許容引張力とする。接着系アンカーボルトが引張を受ける場合においては、アンカーボルトの降伏により定まる許容引張力と付着力により定まる耐力を比較していずれか小さい値を作用する。また、アンカーボルトがせん断力を受ける場合においては、アンカーボルトのせん断強度により定まる許容せん断力、定着したコンクリート躯体の支圧強度により定まる許容せん断力及び定着した躯体のコーン状破壊により定まる許容せん断力を比較して、いずれか小さい値を採用する。

なお、埋め込みアンカーボルトの根入れ長さは、「鉄筋コンクリート構造計算規準・同解説（日本建築学会，2010年改訂）」に基づき、必要定着長以上となるように、また、接着系アンカーボルトの根入れ長さは、「各種合成構造設計指針・同解説（日本建築学会，2010年11月）」に基づき、有効埋め込み長さがアンカー筋径の7倍以上となるように設定した値を基に、許容限界の算定をしている。

表1 アンカーボルトの許容限界

材質	許容引張力 (kN)	許容せん断力 (kN)
埋込アンカーボルト (M24, DS345)	122	72
接着系アンカーボルト (M24, DS345)	24	72

#### 4. 確認結果

アンカーボルトの引張及びせん断に対する照査結果を、表 2 及び表 3 に示す。発生引張力及び発生せん断力とも、許容限界を下回っており、基準地震動  $S_s$  に対する健全性を確認した。

表 2 アンカーボルトの引張に対する照査結果

地震動		種類	本数	最大引張力 (kN/箇所)	発生引張力 (kN/本)	許容引張力 (kN/本)	発生引張力 / 許容引張力
$S_s - D$	++*	埋込アンカーボルト	6	39	7	122	0.06
		接着系アンカーボルト	6	36	6	24	0.25

注記\*：地震動の位相について、左側は水平動、右側は鉛直動を表し、「++」は反転なしケースを示す。

表 3 アンカーボルトのせん断に対する照査結果

地震動		種類	本数	最大引張力 (kN/箇所)	発生せん断力 (kN/本)	許容せん断力 (kN/本)	発生せん断力 / 許容せん断力
$S_s - D$	++*	埋込アンカーボルト	6	96	16	72	0.23
		接着系アンカーボルト	6	48	8	72	0.12

注記\*：地震動の位相について、左側は水平動、右側は鉛直動を表し、「++」は反転なしケースを示す。